

THE FIELD MUSEUM LIBRARY



3 5711 00063 3165

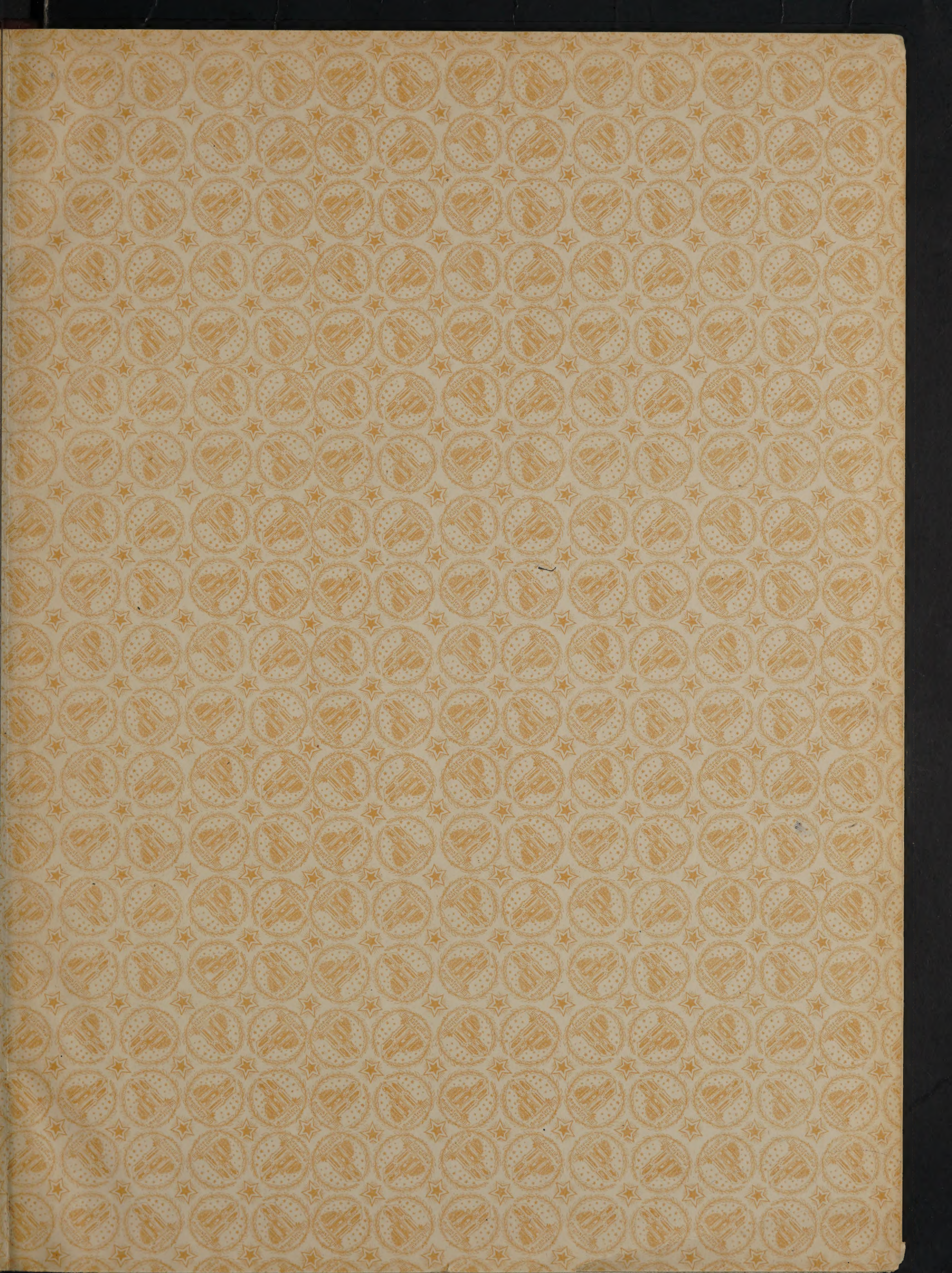
Field Museum of Natural History

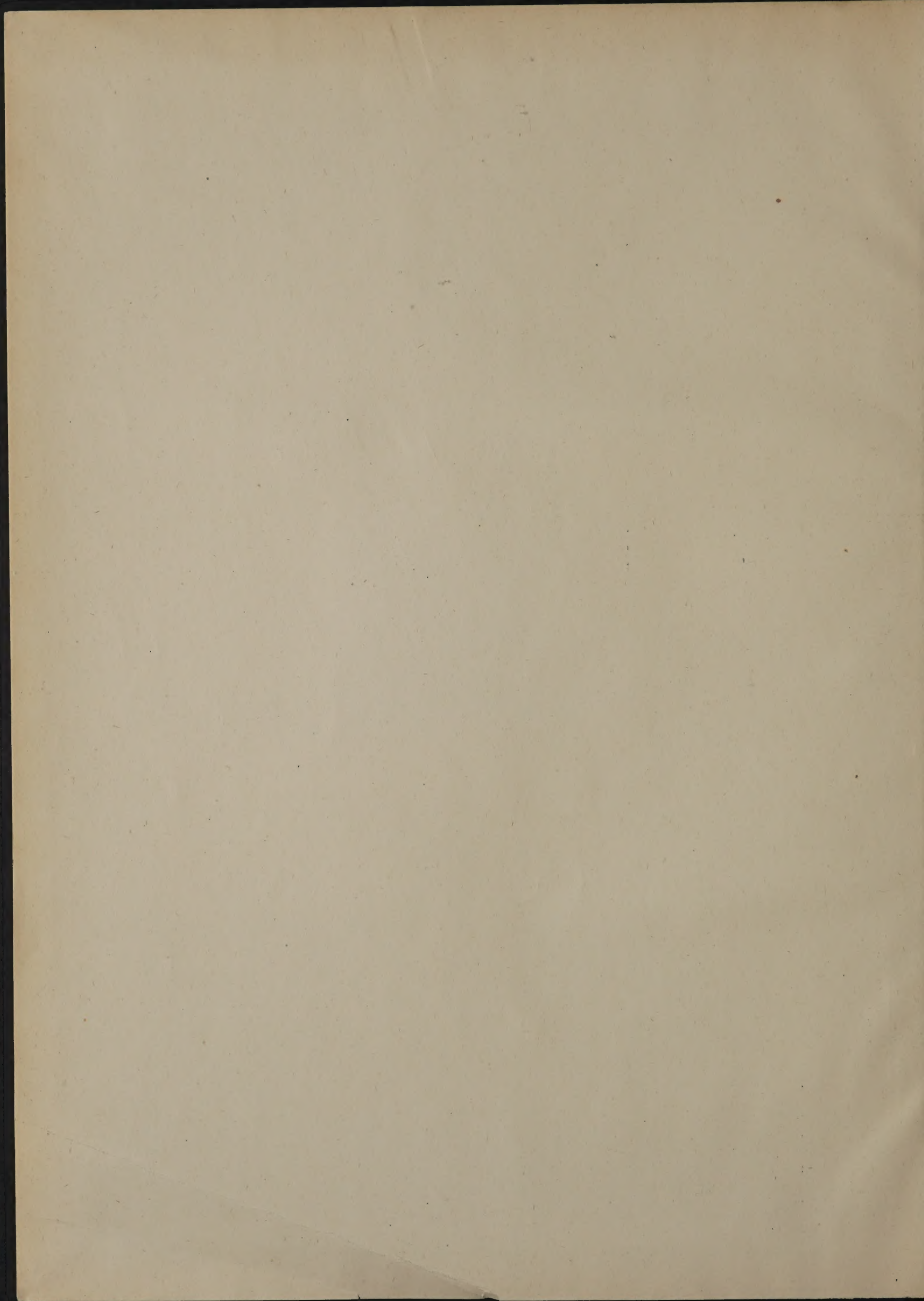
LIBRARY

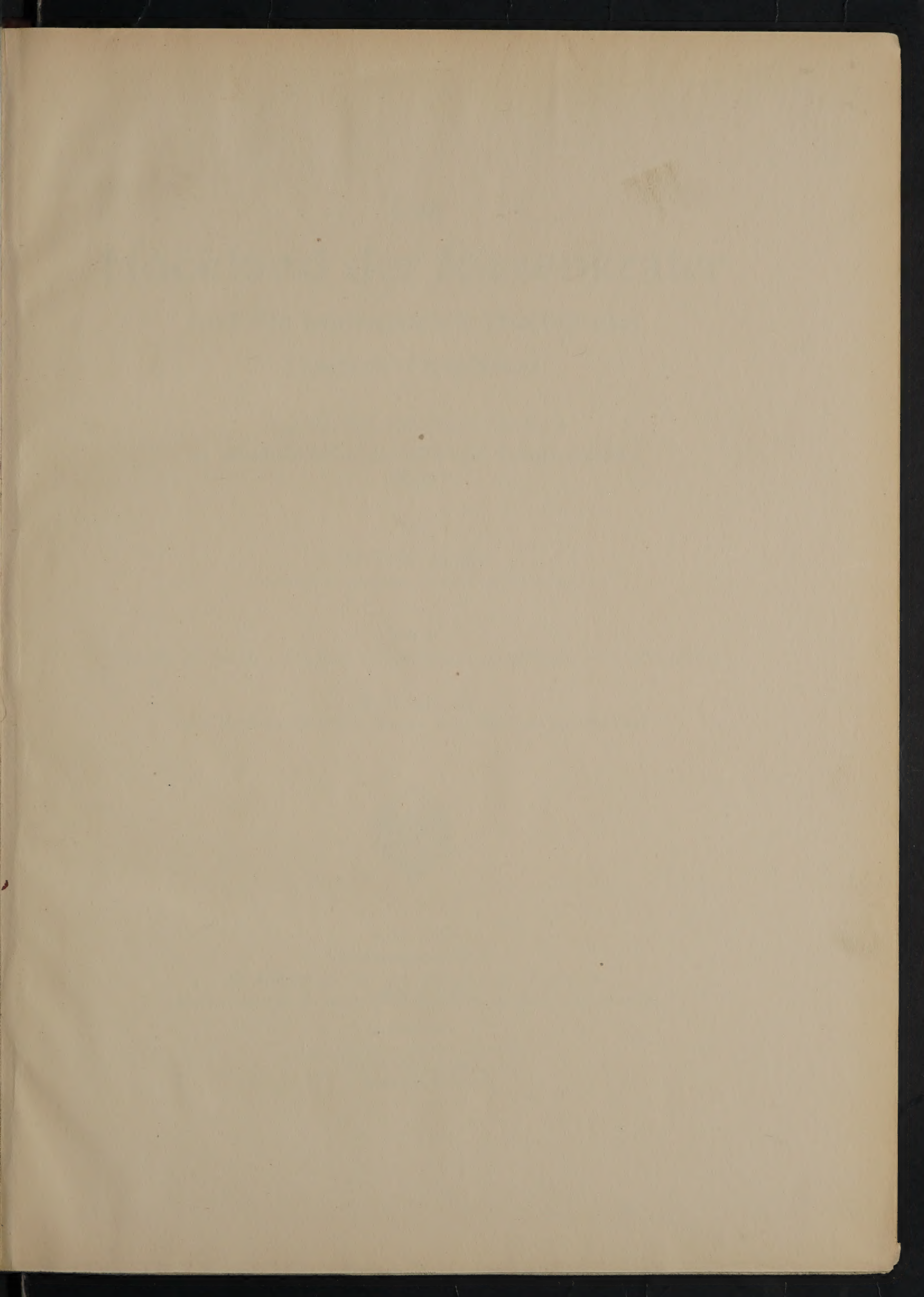
Chicago

From _____

Class 508.4 Book #4892







1

Das
Hochland der Riesenkrater
und die umliegenden Hochländer
Deutsch-Ostafrikas

Ergebnisse einer amtlichen Forschungsreise
ins abflußlose Gebiet des nördlichen Deutsch-Ostafrika
1906/07

Von

Dr. Fritz Jaeger

Privatdozent der Geographie an der Universität Heidelberg

Teil I:

Aufgaben und Verlauf – Die Karte – Ergebnisse der Sammlungen – Ethnographisches

Mit Beiträgen von

Dr. A. Wedemeyer, Prof. Dr. L. Ambronn, Dr. L. Finckh und Bernhard Struck



Mit drei Karten

Ergänzungsheft Nr. 4

der Mitteilungen aus den Deutschen Schutzgebieten

46190

Berlin 1911

Ernst Siegfried Mittler und Sohn
Königliche Hofbuchhandlung
Kochstraße 68–71

Das

Hochland der Kissenkristalle

Q

115

M58e

und die hochalpinen Hochländer

Deutsch-Österreich

Das Hochland der Kissenkristalle
im südlichen Ostalpengebiet
1908

Dr. Felix Jochmann

1908

DEUTSCHES
MUSEUM

Inhaltsverzeichnis.

	Seite		Seite
I. Aufgaben der Expedition	I	VIII. Die barometrischen Höhenmessungen	38
Unbekanntheit des Gebiets	I	1. Die Beobachtungen auf der Reise	38
Eduard Oehler	3	2. Die Auswertung der Beobachtungen	39
Aufgaben der Expedition	3	A. Befreiung von Instrumentalfehlern	39
Reiseplan	4	α . Siedethermometer	39
Wissenschaftliche Ausrüstung	4	β . Aneroide	40
II. Verlauf der Reise	5	B. Die Berechnung	44
Geographische Bedingtheit der Schwierigkeiten	10	α . Die Haupthöhen	44
III. Die Wegaufnahme	11	β . Die Zwischenhöhen	45
Instrumente	11	γ . Genauigkeit der Höhenzahlen	48
Verfahren der Aufnahme	12	Tabelle I. Herleitung der Aneroidkorrekturen aus	
Aufnahme der Marschlinie	12	den Siedethermometermessungen	49
Aufnahme des Geländes	13	„ II. Ableitung der Aneroidkorrekturen durch	
IV. Triangulation mit Peiltisch und Theodolit	14	Vergleich der Aneroide untereinander	49
Instrument	15	„ III. Luftdruck und Höhe	51
Papier	15	„ IV. Berechnung der Haupthöhen	66
A. Die Aufnahme. Mathematische Grundlagen. Die		„ V. Berechnung der Zwischenhöhen	67
Triangulation	15	IX. Konstruktion und Zeichnung der Karte	67
Standpunkt I	15	Konstruktion der Wegaufnahmen	67
Standpunkt II	16	Fremdes Material	68
Standpunkt III	17	Die zwei Kartenblätter, Projektion	68
Anschluß benachbarter Blätter	18	Grundlagen	69
Trigonometrisches Netz	18	Einpassung der Wegaufnahmen	69
B. Einzeichnung der Situation und des Geländes	19	Geländezeichnung	69
Arbeitsweise im Aufnahmeort	19	Signaturen	70
Nachträgliche Ergänzung im Lager	21	Namen	71
C. Maßstab, absolute Lage, Orientierung	21	X. Die meteorologischen Beobachtungen	71
Anschluß	21	XI. Die von F. Jaeger in Deutsch-Ostafrika gesammelten Gesteine. Von L. Finckh, Berlin	71
Maßstab	21	1. Küste	71
Orientierung	22	2. Usigua	71
Ortsbestimmung	22	3. Südöstliche Massai-steppe	71
D. Verwendbarkeit der Peiltischaufnahme	22	4. Gebiet des Kilimandscharo	72
Vorzüge	23	5. Merugebiet	72
V. Die Basismessung	23	6. Weg Aruscha-Umbugue	73
VI. Das Triangulationsnetz. Von A. Wedemeyer	25	a. Mondul-Essimingorgruppe	73
Anlage 1. Koordinaten	29	b. Kristallines Gebiet bei Umbugue	73
Anlage 2. Azimute. Restfehler der ausgeglichenen		7. Gebiet des Ngurue (Hanang)	73
Peilungen	30	a. Grundgebirge	73
Anhang. Der Rückwärtseinschnitt auf der Kugel	31	b. Nguruevulkan	74
VII. Bericht über die astronomischen Arbeiten während der Reise. Von Prof. Dr. L. Ambronn	36	8. Gebiet der Maare	74
Zusammenstellung der auszuwertenden astronomischen		9. Issansu-Iramba	75
Beobachtungen und deren Resultate	37	10. Wembere-Steppe	76

	Seite		Seite
11. Ussukuma	76	Säugetiere	95
12. Gegend von Ikoma	76	Mollusken	95
13. Sonjobergland (Ndassekera)	77	Arachniden	95
14. Tuffhügelland zwischen Sonjobergland und Balbal	77	Orthopteren	95
15. Balbal und Serengetisteppe	78	Rhynchoten	95
16. Hochland der Riesenkrater	78	Coleopteren	95
a. Ngorongoro-Vulkan	78	Hymenopteren	95
b. Baumann-Hochland	79	Dipteren	95
α. Ol Deani	79	Odonaten	95
β. Malanja-Vulkan	79	Crustaceen	95
γ. Lemagrut	80	XV. Ethnographisches	96
c. Winterhochland	80	1. Iraku	96
α. Ol Olmoti	80	Geographie und Statistik	96
β. Embulbul	80	Wohnstätten und Einrichtung	96
γ. Elaneirobi	80	Ernährung	98
δ. Loolmalassin	81	Schmuck und Haartracht	98
ε. Ol Ossirwa	81	Künstliche Verunstaltungen	98
17. Njarasagraben	81	Kleidung	99
a. Südostufer	81	Waffen	99
b. Nordwestlicher Njarasagrabenrand	82	Jagd, Viehzucht, Ackerbau	99
c. Südöstlicher Njarasagrabenrand	84	Genußmittel	100
18. Hohenlohegraben	84	Musik und Tanz	100
19. Iraku-Maussa	84	Transportmittel	101
20. Engotiekplateau	84	Handel	101
XII. Chemische Analysen einiger Wasser- und Bodenproben	85	Technik	101
XIII. Die gesammelten Pflanzen, nach Gegenden, Standorten und Vegetationsformationen geordnet	88	Politische Verhältnisse	102
1. Nördliches Usigua	88	Rechtspflege und soziale Verhältnisse	102
2. Südöstliche Massaisteppe	88	Familie	102
3. Panganiebene	89	Religion	102
4. Kilimandscharo	89	Sprache	102
5. Esimingor, Südseite	89	2. Die Tatoga	102
6. Umbugwe und östlich angrenzende Steppen und Fuß der Bruchstufe	89	Geographie und Statistik	102
7. Mburu, Iraku	90	Wohnstätten und Einrichtung	103
8. Hochplateau der Landschaften Maussas, Gebiet der Maare	90	Tracht, Sitten, Gebräuche	105
9. Gebiet des Vulkans Ngurue (Hanang)	91	Wirtschaftliches Leben	105
10. Issansu, Iramba	91	Häuptlinge	105
11. Njarasagraben (einschließlich Wemberesteppe)	91	Historisches	105
12. Hohenlohegraben	91	3. Wakindiga	105
13. Ussukuma, von der Wemberesteppe bis Muansa	92	4. Wakuafi von Unteraruscha	106
14. Busch- und Baumsteppen zwischen Ikoma und Sonjobergland	92	XVI. Über die Sprachen der Tatoga und Irakuleute. Von Bernhard Struck	107
15. Bergland von Sonjo	92	Kapitel I. Die Tatogasprache	111
16. Ol Balbal und Serengeti	92	A. Lautlehre	112
17. Das Hochland der Riesenkrater	92	B. Zur Grammatik	113
18. Buschsteppe zwischen Deani und Mburu	94	1. Das Nomen	113
XIV. Liste der gesammelten Tiere	95	2. Adjektivum	115
Fische	95	3. Zahlwort	116
Reptilien	95	4. Pronomen	116
		5. Verbum	116
		6. Partikeln usw.	117
		Kapitel II. Die Sprache von Iraku	117
		A. Die Laute	118
		B. Grammatisches	119
		Kapitel III. Vergleichendes Wörterverzeichnis	119

I. Aufgaben der Expedition.

Im Jahre 1905 wurde unter dem Vorsitz von Prof. Dr. Hans Meyer-Leipzig eine „Kommission für die landeskundliche Erforschung der Schutzgebiete“ ins Leben gerufen, die sich die Aufgabe stellte, die Erforschung unserer Kolonien systematischer als bisher und im Sinne der modernen Geographie zu betreiben, d. h. in jeder Landschaft die Vereinigung, die ursächlichen Zusammenhänge und Wechselwirkungen der verschiedenen Naturreiche und des Menschen zu untersuchen.

Für Deutsch-Ostafrika war unter anderem die Erforschung des bisher unbekanntesten Stückes, des abflußlosen Gebiets zwischen Kilimandscharo und Victoriasee vorgesehen. Auf Antrag der landeskundlichen Kommission erhielt ich Anfang 1906 von der Kolonialabteilung des Auswärtigen Amtes (dem jetzigen Reichs-Kolonialamt) den Auftrag, eine Forschungsreise in dieses abflußlose Gebiet zu unternehmen. Da ich schon 1904 an der Expedition der Otto Winter-Stiftung teilgenommen hatte, die mein Freund Prof. Dr. Carl Uhlig in den östlich der großen Bruchstufe gelegenen Teil des abflußlosen Gebietes führte, so besaß ich die geeignete Vorbildung für meinen Auftrag. Ich möchte der Kolonialabteilung, der landeskundlichen Kommission und insbesondere ihrem Vorsitzenden Herrn Geheimrat Hans Meyer, dessen unermüdlicher Eifer das baldige Zustandekommen dieser Expedition gegenüber andern Wünschen durchgesetzt hat, für diesen Auftrag meinen herzlichsten Dank aussprechen.

Unbekanntheit des Gebiets.

In der Tat zeigten die Länder zwischen dem Kilimandscharo und Meru einerseits und den Landschaften am östlichen Gestade des Victoriasees andererseits bis dahin die größten weißen Flecken auf der Karte unserer ostafrikanischen Kolonie. Während am Kilimandscharo und Meru kolonialpolitische, wirtschaftliche und Missionsinteressen Anlaß zur Gründung von Stationen und zur Ansiedlung einer Anzahl von Europäern gegeben

hatten und auch das Land östlich des Victoriasees durch die Stationen Muansa, Schirati und Ikoma zum tatsächlichen Machtbereich unserer Kolonie gehörte, hatten in den weiten Landstrichen dazwischen bisher nur einzelne Forschungsreisende auf weit voneinander liegenden Linien das Gebiet durchzogen. Ihre Reisen seien hier kurz aufgezählt.

G. A. Fischer¹⁾ wagte 1882/83 die recht gefahrvolle Reise ins Land der damals noch ungebeugten Massai, brachte uns eingehende Schilderungen dieses interessanten Volkes und legte die Hauptzüge der Topographie kartographisch nieder. Vom Meru zog er westwärts bis Engaruka, folgte dann dem Fuß der großen Bruchstufe nordwärts, den Magad-Salzsee rechts lassend, bis weit ins heute englische Gebiet. Den Rückweg nahm er östlich des Magadsees und des Gelei-Vulkans. Bis 1905 trugen alle unsere Karten der Gegend am Magad die Züge der Fischerschen Aufnahmen, obwohl inzwischen eine Reihe anderer Forscher, größtenteils dem Fischerschen Wege folgend, das Land durchquert hatten.

1887 zogen Graf Teleki und Ritter v. Höhnel²⁾ denselben Weg, schloßen aber dann weiter nordwärts wichtige Entdeckungen an. Höhnels Aufnahmen entschleierten das Relief im heute englischen Gebiet so weit, daß Eduard Sueß³⁾ daraus den großen ostafrikanischen Graben erkannte. v. Trotha⁴⁾ folgte 1896, die Schoel-

¹⁾ Fischer, G. A., Bericht über die im Auftrag der Geographischen Gesellschaft in Hamburg unternommene Reise in das Massailand. Mitt. Geogr. Ges. Hamburg 1882/83, S. 36 bis 99, 189 bis 279.

²⁾ v. Höhnel, Zum Rudolfsee und Stephaniesee. Wien 1892. v. Höhnel, Ostäquatorial-Afrika zwischen dem Pangani und dem neuentdeckten Rudolfsee. Ergebnisse der Graf S. Telekischen Expedition 1887 bis 1888, Petermanns Mitt. Ergh. 99. Gotha 1890.

³⁾ Sueß, Ed., Die Brüche des östlichen Afrika. Denkschr. d. k. k. Akad. Wiss. Wien. Math. nat. Klasse LVIII, S. 555 bis 584. Wien 1891.

⁴⁾ v. Trotha, Meine Bereisung von Deutsch-Ostafrika. Berlin 1897.

lersche¹⁾ Expedition 1897, die Pendel-Expedition²⁾ von Kohlschütter und Glauning 1900 den Spuren Fischers. Uhlig³⁾ und ich untersuchten 1904 wesentlich die große Bruchstufe zwischen den Seen Magad und Lawa ja Mweri sowie die Gegend östlich davon bis zum Meru, stiegen aber auch an zwei Punkten auf das Hochland westlich über der Bruchstufe hinauf: Beim Militärposten Sonjo und am Vulkan Loolmalassin. 1902 bis 1905 wurde ferner längs der deutsch-englischen Grenze ein Streifen Landes in vorher völlig unbekanntem Gebiet vermessen.

Durchquert war dieses Hochland nur weiter südlich und westlich von Oskar Baumann.⁴⁾ Auf seiner großen, im Auftrag des Antisklaverei-Komitees unternommenen Expedition marschierte er 1892 von Unter-Aruscha südlich des Kilimandscharo westlich nach Umbugwe und erstieg am Nordende des Lawa ja Mweri die große Bruchstufe. Auf dem Hochland über der Bruchstufe entdeckte er den riesigen Krater Ngorongoro und die benachbarten Bergriesen Lerobi (Deani) und Lmagro (Lemagrut) sowie die tiefe Grabensenke mit dem Ejassisee (Njarasasee) und zog dann nordwestwärts durch die Grassteppe Serengeti nach Ikoma und an den Victoriasee. Auf dem Rückweg marschierte er viel südlicher. Uns interessiert nur, daß er dabei in den westlichen Teil des Njarasagrabens hinabstieg, und daß er von Kondoa Irangi aus am Nguruevulkan vorbei nordwärts noch einmal bis Umbugwe zog, um von da über die westlich der Bruchstufe gelegenen Hochländer Mburu und Iraku zurückzukehren.

¹⁾ M. Schoeller, Mitteilungen über meine Reise nach Äquatorial-Ostafrika und Uganda 1896/97. 2 Textbände, 1 Kartenband. Berlin 1901 bis 1903.

²⁾ E. Kohlschütter, Die kartographischen und geophysischen Arbeiten der Pendel-Expedition usw. Verhandlungen des XIII. Deutschen Geographentags zu Breslau. Berlin 1901. E. Kohlschütter, Die Grabenländer im nördlichen Deutsch-Ostafrika. Ztschr. Ges. Erdk. Berlin 1901, 36, 152 bis 164. E. Kohlschütter, Ergebnisse der Ostafrikanischen Pendel-Expedition. Bd. I. Abh. d. Kgl. Ges. d. Wiss. zu Göttingen. N. F. V, Nr. 1. Berlin 1907.

³⁾ Carl Uhlig, Der sogenannte Große ostafrikanische Graben zwischen Magad (Natronsee) und Lawa ja Mweri (Manyarasee). Geogr. Ztschr. XIII. 1907, 478 bis 505. Carl Uhlig, Die Ostafrikanische Expedition der Otto Winter-Stiftung. Mitteilungen über eine Forschungsreise. Ztschr. Ges. Erdk. Berlin 1908, 75 bis 94. Carl Uhlig, Die Ostafrikanische Bruchstufe und die angrenzenden Gebiete zwischen den Seen Magad und Lawa ja Mweri sowie dem Westfuß des Meru. Mitt. a. d. Deutsch. Schutzg. Ergh. 2. Berlin 1909.

⁴⁾ Oskar Baumann, Die kartographischen Ergebnisse der Massai-Expedition des deutschen Antisklaverei-Komitees. Petermanns Mitt. Ergh. III. Gotha 1895. Oskar Baumann, Durch Massailand zur Nilquelle.

Die Hochländer zwischen der großen Bruchstufe in der Breite von Iraku einerseits, dem Njarasagraben andererseits durchzogen 1893 Langheld und Werther,¹⁾ 1894 Graf Goetzen,²⁾ 1897 Werther³⁾ und sein Begleiter v. Tippleskirch. Werther erkannte daselbst einen Parallelgraben zum Njarasagraben, den er Hohenlohegraben nannte. Doch haben diese Reisen nur ein sehr mangelhaftes Kartenbild dieser Gegend gebracht.

Sehr wertvoll sind hingegen die Aufnahmen der Pendel-Expedition von Glauning und Kohlschütter,⁴⁾ welche 1900 von Issansu am Nordwestufer des Njarasasees entlang zog bis zum Westfuß des Lemagrut, dann durch Engotiek und Iraku und schließlich von Umbugwe am Fuß der Bruchstufe nordwärts zum Magad, wo wir sie schon angetroffen haben. Diese wertvollen Aufnahmen sind sehr spät konstruiert und erst 1909 in der Uhlig'schen Karte erstmalig veröffentlicht worden, so daß ich sie auf der Reise noch nicht benutzen konnte.

Die Aufnahmen von Johannes,⁵⁾ Merker und Hoesemann⁶⁾ haben östlich der Bruchstufe einige wichtige Feststellungen gebracht, westlich reichen sie bis Ngorongoro.

Oskar Neumann,⁷⁾ der 1894 das Gebiet vom Ngurue nordwärts am Fuß der Bruchstufe entlang durchzog, hat sich auf zoologische Untersuchungen beschränkt. Schließlich hat noch 1900 der Geologe Dantz⁸⁾ den westlichen Teil des Gebiets, von Ikoma südwärts nach Issansu, durchzogen.

Trotz dieser ganz stattlichen Zahl von Forschungsreisen blieben westlich der großen Bruchstufe noch ansehnliche Gebiete unbekannt, während östlich von ihr die Grenzvermessung und die Reise von Uhlig und mir eine ziemlich zusammenhängende Kenntnis des Landes gebracht hatte. Zwischen unserm Forschungsgebiet im Osten, dem

¹⁾ Werther, Zum Viktoria Nyanza. Berlin 1896.

²⁾ C. A. Graf v. Goetzen, Durch Afrika von Ost nach West. Berlin 1899.

³⁾ Werther, C. W., Die mittleren Hochländer des nördlichen Deutsch-Ostafrika. Berlin 1898.

⁴⁾ Siehe nebenstehende Anmerkung ²⁾.

⁵⁾ Johannes, Geographische Angaben aus Ostafrika. Mitt. a. d. Deutsch. Schutzg. 1898. 171 bis 172.

⁶⁾ Unveröffentlichte Wegaufnahme, erst 1909 in Uhlig's Karte verarbeitet.

⁷⁾ Neumann, Oskar, Bericht über seine Reisen in Ost- und Zentralafrika. Verh. Ges. Erdk. Berlin 1895, 270 bis 295.

⁸⁾ Dantz, Die Reisen des Bergassessors Dr. — in Deutsch-Ostafrika in den Jahren 1898, 1899, 1900. Mitt. a. d. Deutsch. Schutzg. Bd. 15, 16. Berlin 1902, 1903.

vermessenen Grenzstreifen im Norden und dem Weg von Baumann und Dantz im Süden und Westen blieb noch ein Gebiet von etwa 80 km ost-westlicher und gegen 100 km nordsüdlicher Ausdehnung auch topographisch völlig unbekannt. Die Gegend zwischen dem Vulkan Ngurue und dem Ejassi- oder Njarasasee war zum Teil auch noch völlig unbekannt, zum Teil erwiesen sich die Kartendarstellungen als sehr mangelhaft. Selbst zwischen dem von Baumann entdeckten Ngorongoro und Lerobi und Lemagrut einerseits, den Vulkanen Loolmalassin, Olmoti und Elaneirobi, die Uhlig und ich gefunden hatten, anderseits, fehlte noch der topographische Zusammenhang, der sowohl Baumann als auch uns infolge von Bewölkung verborgen geblieben war. Baumann und wir hatten das Gebiet nur flüchtig durchzogen und berührt. Was wir aber davon erfahren hatten, reizte sehr zu näherer Erforschung. Und wo sonst das Gebiet westlich der Bruchstufe topographisch auch einigermaßen bekannt war, da war es doch nach seinem Aufbau und seiner sonstigen Natur noch so gut wie ganz unbekannt. So durfte man also erwarten, daß eine Forschungsreise, die sich die Aufgabe stellte, die Länder westlich der Bruchstufe nicht nur topographisch, sondern geographisch, ihrer ganzen Natur nach, zusammenhängend zu erforschen, von Erfolg gekrönt sein würde.

Eduard Oehler.

Als Begleiter schloß sich mir an mein Vetter und treuer Freund Eduard Oehler. Er nahm auf seine eigenen Kosten an der Expedition teil, mit Genehmigung der landeskundlichen Kommission und der Kolonialabteilung. Von wissenschaftlichen Arbeiten übernahm er die meteorologischen Beobachtungen, das botanische Sammeln und vor allem das Photographieren. Seine Bilder, von denen zahlreiche den zweiten Band dieser Veröffentlichungen schmücken werden, zeichnen sich aus durch großes ästhetisches Verständnis. Er war stets darauf bedacht eine künstlerische Bildwirkung zu erzielen. Dadurch wird in dem Beschauer eine lebhaftere Anschauung von der Landschaft hervorgerufen und so sind Oehlers Bilder gerade durch die Berücksichtigung des ästhetischen Moments geographisch besonders wertvoll geworden. Außerdem hat Oehler sich um die Expedition sehr verdient gemacht, indem er einen großen Teil der so zeitraubenden technischen Expeditionsarbeit übernahm. Es ist dies eine undankbare Aufgabe, da sie keine unmittelbaren wissenschaftlichen Früchte trägt, die man nachher veröffentlichen kann. Und doch sind diese technischen Arbeiten für den Erfolg der Expe-

dition ebenso notwendig, wie die wissenschaftlichen. Daher darf Oehler einen wesentlichen Teil unseres Erfolges sich zuschreiben. Für alle seine treue Freundschaft und selbstlose Mitarbeit gebührt ihm mein wärmster Dank.

Aufgaben der Expedition.

Die Aufgaben der Expedition waren geographische. Es handelte sich nicht um naturwissenschaftliche Spezialforschung, sondern darum, das Land als Ganzes, die Landesnatur, wie sie sich ergibt, aus der Wechselwirkung der verschiedensten Faktoren, kennen zu lernen. Dafür mußte vor allem durch topographische Aufnahmen eine sichere Grundlage gewonnen werden. Denn ein großer Teil des Gebiets war noch ein weißer Fleck auf der Karte, und wo bereits Karten vorlagen, waren sie noch höchst mangelhaft. Die topographische Aufnahme gibt außerdem Veranlassung zu einer Fülle geographischer Beobachtungen. Weiter galt es, die Hauptzüge des geologischen Baues zu ergründen. Ich habe deshalb nicht nur Gesteine gesammelt, sondern namentlich danach gestrebt, ihren tektonischen Verband, ihre Lagerungsverhältnisse zu erkennen. Von morphologischen Problemen war z. B. das der Inselberge von vornherein ins Auge gefaßt, konnte aber aus technischen Gründen nicht so eingehend studiert werden, wie es wünschenswert gewesen wäre. Andere ergaben sich erst nachträglich bei der Bearbeitung des Materials. Daß die Gewässer des abflußlosen Gebiets besonders interessant sein würden, war zu erwarten. Wir rüsteten uns deshalb mit einem Faltboot und Instrumenten aus, um die wichtigsten Beobachtungen an Seen vorzunehmen. Über das Klima einer Gegend läßt sich auf einer Reise nur eine sehr unvollkommene Vorstellung gewinnen, selbst wenn man die Gegend in verschiedenen Jahreszeiten besucht. Längere Beobachtungsreihen an einem Ort können nicht ausgeführt werden. Dennoch lassen sich Wetterbeobachtungen anstellen, die von geographischem Interesse sind. Die örtlichen Verschiedenheiten des Wetters treten gerade dem Forschungsreisenden, der stets den Ort verändert, auffällig entgegen. Wir haben deshalb meteorologische Terminbeobachtungen in das Programm aufgenommen. Außerdem haben wir den Verlauf des Wetters auch außerhalb der Terminstunden 7a, 2p und 9p sowie die örtlichen Verschiedenheiten beobachtet. In erster Linie wurden die Terminbeobachtungen nicht klimatologisch, sondern zur barometrischen Höhenmessung ausgenutzt. Auch die Pflanzenwelt suchten wir geographisch zu erforschen, d. h. besonders den

Charakter und die Ausdehnung der Vegetationsformationen kennen zu lernen. Wir haben deshalb beim Sammeln nicht nach neuen Arten gefahndet und deswegen den Botanikern eine kleine Enttäuschung bereitet, sondern vielmehr Charakterpflanzen gesammelt. Wir haben die Vereinigung der Pflanzen zu Vegetationsformationen beobachtet und deren Verbreitung kartographisch aufgenommen. Da zoologisches Sammeln einen großen Apparat und besondere technische Schulung voraussetzt, geographisch aber weniger bedeutsam ist, so haben wir uns grundsätzlich darauf beschränkt, die Planktonfauna der Gewässer zu sammeln, die vielleicht auf die Entstehung der Salzseen einiges Licht werfen konnte. Ethnographische Forschungen lagen nicht in unserm Plan. Denn gleichzeitig mit uns sollte Prof. Weule im Auftrag der Kolonialabteilung eine Forschungsreise ins abflußlose Gebiet unternehmen, zur eingehenden Erforschung der Völkerschaften jener Gegenden. Wenige Tage bevor wir von Daressalam gemeinsam dorthin aufbrechen wollten, wurden unsere Pläne durch den Aufstand in der Landschaft Iraku gestört, der Prof. Weule veranlaßte, sich dem Südosten von Deutsch-Ostafrika zuzuwenden.¹⁾ Oehler und ich waren für ethnographische Forschungen nicht ausgerüstet und konnten sie nur gelegentlich nebenher betreiben. Beobachtungen und Erkundigungen über das wirtschaftliche Leben der Eingeborenen haben mich dabei vom geographischen Standpunkt am meisten interessiert.

Reiseplan.

Oehler und ich wollten zusammen mit Prof. Weule im Juni 1906 von Tanga aufbrechen und westwärts durch die südliche Massaisteppe nach Kondoa Irangi marschieren. Nach Erforschung des Vulkans Ngurue wollten wir uns den Hochländern westlich der großen Bruchstufe Deutsch-Ostafrikas zuwenden. Hier gedachten wir die Gräben des Hohenlohesees und des Njarasasees (besonders den letzteren) eingehender zu erforschen. Nach einem Abstecher an den Victoria-see nach Muansa, sollte dann das Gebiet der großen Vulkane nordöstlich des Njarasasees studiert werden. Dem Njarasasee war noch ein zweiter Besuch in der Regenzeit zgedacht. Auf dem Rückweg nach der Küste beabsichtigten wir, den Gletschern an der Westseite des Kilimandscharo, bei genügender Zeit auch dem Meru einen Besuch abzustatten. Die einzelnen Programmpunkte sind im wesent-

¹⁾ Karl Weule, Wissenschaftl. Ergebnisse meiner ethnographischen Forschungsreise in den Südosten Deutsch-Ostafrikas. Mitt. a. d. Deutsch. Schutzg. Ergh. I. 1908.

lichen durchgeführt worden, allerdings in ganz anderer Reihenfolge.

Wissenschaftliche Ausrüstung.

Die für die astronomische Ortsbestimmung, die topographische Aufnahme im weitesten Sinne und die meteorologischen Beobachtungen verwandten Instrumente sind in den betreffenden Abschnitten aufgezählt.

Photographische Ausrüstung: 2 Stegemannsche Handkameras 9×12 mit Mayerschen Objektiven von 15 cm Brennweite. 1 Auszugbalg, der an die Handkamera angesetzt werden konnte, um sie für 13×18 Aufnahmen und verschiedene Brennweiten zu verwenden. Ein Ansatzobjektiv für Teleaufnahmen. Die beiden Objektive waren lichtstark und zeichneten vollkommen scharf, wenn die ganze Kombination verwendet wurde, also bei allen 9×12 Aufnahmen und Weitwinkelaufnahmen im 13×18 Format. Dagegen waren die Einzellinsen, die bei 13×18 Aufnahmen der größeren Brennweite wegen oft verwandt wurden, ziemlich lichtschwach, da sie wegen unscharfer Zeichnung stark abgeblendet werden mußten. Ein Zeißches Objektiv hätte hier bessere Dienste geleistet. An Platten verwandten wir hauptsächlich orthochromatische Agfapplatten, die aber trotz der „Tropenemulsion“ gegen Schluß der Reise leicht verschleierten. Wir ließen uns dann mehrfach frische Lumièreplatten durch die Daressalamer Firma Vincenti kommen. Alle Platten hat Oehler auf der Reise selbst entwickelt.

Die botanische Ausrüstung hat das Botanische Museum in Dahlem bei Berlin uns in dankenswerter Weise zur Verfügung gestellt. Sie bestand in Pflanzenpressen, Kisten mit Blechein-satz, Pflanzenpapier, 50 l reinem Alkohol. Die gesammelten Pflanzen wurden nach leichtem Pressen in gesonderte nummerierte Papierbogen gelegt, in diesen in die Kisten verpackt und mit Alkohol durchfeuchtet. Die vollen Kisten wurden luftdicht verschlossen an das Botanische Museum zurückgesandt, wo dann die Pflanzen getrocknet wurden. Herrn Geheimrat Engler und namentlich Herrn Prof. Volckens haben wir für freundliche Ratschläge und Unterweisungen zu danken.

Für zoologische Sammlungen hatte uns das Zoologische Museum zu Berlin, Direktor Prof. Brauer, freundlichst versehen mit Gläsern, Netzen und Reusen.

Etliche Hämmer, ein Erdbohrer, Salzsäureflasche, waren das geologische Handwerkszeug. Herrn Oberbergat Bornhardt verdanke ich freundliche Ratschläge.

Für hydrographische Untersuchungen hatten wir uns mit einem Faltboot aus Segeltuch versehen, das in zwei Teilen getragen werden konnte. Eine Rolle, auf der eine Lotschnur von 50 m aufgewickelt war, konnte am Rande des Faltboots befestigt werden. Ein Kippthermometer von Negretti und Zambra, ein Aräometersatz von Muencke, Berlin.

Von großer Wichtigkeit ist das Schreibmaterial. Sowohl für die Tagebücher, in die abends zusammenhängende Beschreibungen von Land und Leuten eingetragen wurden, als auch für alle sonstigen Notizen und Sammlungsverzeichnisse verwendeten wir Durchschreibehefte, in die mit Bleistift eingeschrieben wurde. Die durch Blaupapier erzeugte Durchschrift wurde bei jeder Gelegenheit aus den Büchern abgetrennt und als Brief in die Heimat geschickt. Das ist eine gute Sicherung gegen Verlust von Notizen, der glücklicher-

weise nie eintrat. Alle gesammelten Gegenstände erhielten eine Etikette nur mit der Nummer. Unter dieser Nummer wurde dann der Fundort und sonstige Angaben in ein Verzeichnis eingetragen (über photographische Aufnahmen, die geologische, botanische und ethnographische Sammlung führten wir gesonderte Verzeichnisse). Diese Methode ersparte die Arbeit, ausführliche Etiketten mehrfach schreiben zu müssen und ermöglichte vor allem die Übersicht über das bereits Gesammelte.

An Karten nahmen wir mit, was über das Gebiet veröffentlicht war, während wir uns mit Büchern auf das Allernotwendigste beschränkten.

Im übrigen waren wir für ostafrikanische Verhältnisse einfach ausgerüstet und reisten daher ziemlich billig. Unsere Karawane zählte durchschnittlich etwa 65 Köpfe, was für ein solches Unternehmen sehr wenig ist.

II. Verlauf der Reise.

Eigentlich begann unsere wissenschaftliche Arbeit schon in Neapel. Es waren nicht nur Photographierübungen, sondern namentlich auch geologische Vorstudien, die uns hier in Anspruch nahmen. Gerade vor einem Monat hatte der Vesuv den großen Ausbruch gehabt, bei welchem ein großer Teil des Berges in die Luft gesprengt und ein großer Krater gebildet wurde. Den damals ausgeflossenen Lavaströmen entstiegen noch Dämpfe und wir konnten ganz frisch die zerstörenden Wirkungen dieses Ausbruchs, der Lavaströme und des Aschenregens beobachten. Da wir hauptsächlich Vulkangebiete zu erforschen hatten, war dies eine wertvolle Einführung.

Am Abend des 14. Mai 1906 lichtete der „Prinzregent“ in Neapel die Anker und führte sowohl Eduard Oehler und mich als auch Prof. Weule, der ja den ersten Teil seiner Reise mit uns gemeinsam marschieren sollte, den ersehnten Gestaden Ostafrikas zu. Am 1. Juni setzte er uns mit all unserer Habe in Daressalam ans Land. Die nächsten Wochen waren der Vollendung der Ausrüstung und der Beschaffung der Karawane gewidmet. Da schien es, als würde uns ein Strich durch die ganze Rechnung gemacht. Kurz bevor wir aufbrechen wollten, kam die Nachricht, daß in Iraku, im Herzen der Länder, die wir besuchen wollten, ein Aufstand ausgebrochen sei. Unter diesen Umständen war an Forschungsarbeit dort

nicht zu denken, unser Plan ließ sich nicht durchführen. „Dann muß es eben anders gehen,“ sagte ich und beschloß, nach einigen Besprechungen, zunächst an den Kilimandscharo zu marschieren und die dort geplanten Forschungen auszuführen. Waren diese vollendet, so konnten wir, je nach den Nachrichten aus Iraku und den politischen Verhältnissen der Gegend, diesen oder jenen Teil unseres Forschungsgebiets aufsuchen. Prof. Weule aber mußte damit rechnen, daß auch im Falle baldiger Beendigung des Aufstands das Mißtrauen der Bevölkerung ihm ersprißliches ethnographisches Forschen unmöglich machen würde. Er hat daher seinen ganzen Plan aufgegeben und statt dessen eine Forschungsreise in den Südosten der Kolonie unternommen.

Am 21. Juni führte der kleine Gouvernementsdampfer „Rovuma“ uns und unsere Karawane aus Daressalam. Nachdem er an den Korallenriffen vor Sadani sich ein Leck geholt hatte, so daß wir beinahe Schiffbruch gelitten hatten, landeten wir am 23. glücklich in Tanga. Die Beschaffung von Proviant, Führern und anderen Dingen hielt uns noch so lange auf, daß wir erst am Nachmittag des 27. Juni von der Station Maurui der Usambarabahn abmarschieren konnten. Ich wollte nicht auf der vielbegangenen und auch mir schon bekannten Karawanenstraße nach Moschi am Kilimandscharo ziehen, sondern wenigstens einen Abstecher in die

völlig unbekannte südöstliche Massaisteppe unternehmen, wo auf den Karten der Kiniaroksee eingezeichnet war. Der Panganifluß war nach der sehr ausgiebigen letzten Regenzeit sehr angeschwollen, eine Verbindung über ihn war zur Zeit noch unmöglich, wir wären daher in der Wildnis von der Zufuhr abgeschnitten gewesen. Dies nötigte uns, zunächst im Norden der bewohnten Landschaft Usigua der Karawanenstraße nach Kondoa Irangi zu folgen bis Mgera am Nordfuß der Nguruberge und dann noch weiter westwärts bis zu den Kijungubergen zu ziehen. Dasselbst war ein Ansiedler, Herr S o d e r, seit kurzem ansässig, der uns freundlichst Führer, wenigstens für die nächsten Tagemärsche verschaffte. Es ging nun nach Nordosten in die Wildnis hinein, auf den Kiniaroksee zu. Mühselig ging es tagelang durch dichten unübersichtlichen Dornbusch, bis wir eine Grassteppe, Kitwej genannt, querten und von einigen Inselbergen uns orientieren konnten. Am 7. Tage erreichten wir wieder den Panganifluß. Ein Hauptergebnis dieser Durchquerung war, daß der vermeintliche Kiniaroksee nicht existiert. Durch unbewohnte Wildnis ging es am Ufer des Pangani aufwärts nach der von Wakuafi bewohnten Flußoase Unteraruscha und dann nach Moschi, wo wir am 21. Juli eintrafen.

Wir erwarteten dort 14 Trägerlasten, die wir durch einen Spediteur in Mombo auf dem direkten Wege von Maurui, „vorausgeschickt“ hatten, fanden sie aber noch nicht vor. Sie lagen vermutlich noch in Mombo, der Endstation der Usambarabahn. Die Telegraphenverbindung bestand damals noch nicht. Da wir die Lasten zu den Unternehmungen am Kilimandscharo unbedingt brauchten, so blieb nichts übrig, als eine Abteilung meiner Träger nach Mombo 225 km weit zurückzuschicken, um sie abzuholen. Um die Wartezeit auszunutzen, besuchten wir die östlichen Landschaften des Kilimandscharo, bis zum malerischen Dschallasee und der Massaisiedlung Laitokitok und lernten so einen großen Teil des Dschaggalandes kennen. Endlich, am 10. August, konnten wir nach Ankunft der Lasten nach Madschame aufbrechen und von da einen bisher für unmöglich gehaltenen Aufstieg unternehmen, um die Westseite des Kibo, des gewaltigen Schneedomes, zu erforschen. Die Ergebnisse dieser Forschungen sind bereits veröffentlicht.¹⁾

Inzwischen war der Aufstand in Iraku nieder-

¹⁾ Fritz Jaeger, Forschungen in den Hochregionen des Kilimandscharo. Mitt. a. d. Deutsch. Schutzg. 1909, S. 113 bis 146, 161 bis 197. Vgl. dazu Fritz Jaeger, Allerlei Beobachtungen über Schnee und Zackenfirn (Büßerschnee). Ztschr. f. Gletscherkunde IV. 1910, S. 351 bis 355.

geschlagen worden. Oberleutnant A b e l, der vom Kriegsschauplatz nach Moschi zurückgekehrt war, veranlaßte uns, jetzt dieses interessante Land aufzusuchen. Am 1. September 1906 brachen wir von Moschi westwärts auf. Die Karawanenstraße, der wir folgten, zieht über Aruscha am Südfuß des Meru südlich der Vulkangruppe Mondul, Tarosero, Burko, Esimingor vorbei nach der tischebenen Landschaft Umbugwe, die am Fuß der großen Bruchstufe das Südende des Salzsees Lawa ja Mweri umgibt. Denselben Weg hatten Uhlig und ich 1904 in umgekehrter Richtung zurückgelegt, deshalb durchzogen wir ihn rasch und machten nur einen kleinen Abstecher an die Südhänge des Esimingor.

Aus der heißen Ebene der hüttenbesäten Umbugwe, über die die Staubsäulen der Windhosen majestätisch hinziehen, stiegen wir empor über die hohe, steile Mauer der Bruchstufe, hinauf zu den luftigen Höhen der blühenden Landschaft Mburu oder Iraku. Diese mächtige Bruchstufe setzt den westlichen Rand jener gewaltigen Spalte des ostafrikanischen Grabens nach Süden fort, mitten durch unser Schutzgebiet, als scharfe Grenze zwischen tieferen Senken im Osten und bedeutenden Hochländern im Westen. Diese waren unser Hauptforschungsgebiet, das wir zuerst in Mburu betraten. Der Aufstand hatte dieser Landschaft soeben die erste nähere Berührung mit der europäischen Kultur gebracht. Ein Militärposten Iraku war gegründet worden. Vom beherrschenden Gipfel des Guaberges (2185 m) gewannen wir eine Übersicht über das fruchtbare Land mit seinen muntern Bächen und sauberen, von Tembenhütten durchsetzten Getreidefeldern. Der Häuptling Isara, der, wohl aus politischer Klugheit, allein der deutschen Regierung treu geblieben war und jetzt nach Absetzung der übrigen Häuptlinge das ganze Ländchen beherrschte, kam unsern Wünschen sehr entgegen, so daß wir hier besser als irgendwo ethnographisch forschen und sammeln konnten. Leider legten die andern Aufgaben uns eine starke Beschränkung auf. Prof. W e u l e hätte hier ein dankbares Arbeitsfeld gefunden.

Über das trennende Waldgebirge zogen wir von Iraku südwärts nach den von Tatoga bewohnten Landschaften des Akida Maussa und stiegen von dort wieder über die Bruchstufe hinab. Hier sind die Landschaften an ihrem Fuß immer noch über 1500 m hoch. Sie beherrscht der gewaltige Vulkan Ngurue (3402 m), von den Anwohnenden Tatoga Hanang genannt. Durch eine Besteigung und eine Umgehung lernten wir ihn näher kennen. Auch untersuchten wir den periodischen Salzsee Balangda an seinem Fuße.

Wieder über die Bruchstufe ansteigend, kehrten wir zum Wohnsitz des Akida Maussa zurück und gedachten uns von da zum Hohenlohegraben zu wenden. Wir hatten von zwei Seen, Masodisch und Basotu erfahren, die angeblich der Hohenlohesee der Karten sein sollten, und ließen uns deshalb von Leuten des Akida Maussa nach diesen Seen führen. Zu unserer Überraschung ging es nach Südwesten, anstatt wie nach der Karte zu erwarten, nach Westen. Noch größer wurde unsere Überraschung, als wir die Seen erreicht hatten. Statt in einem von Steilwänden begrenzten Graben, befanden wir uns in einer flachen Senke einer Hochfläche. Diese Senke war mit lauter kleinen Explosionskratern, sogenannten Maaren, übersät, von denen etliche Seen enthielten, so den Masodisch- und Basotusee. Von der Existenz dieser Maare hatten Literatur und Karten uns nichts ahnen lassen. Der Hohenlohegraben und Hohenlohesee lagen offenbar weiter im Norden. Wir zogen zunächst westwärts nach Issansu mit seinen bizarren Granitfelsen, um den Militärposten Mkalama zum Stützpunkt weiterer Unternehmungen zu machen.

Am 12. Oktober 1906 brachen wir von Mkalama auf zur Erforschung des Njarasa- oder Ejassigrabens. Mancherlei Umstände erschwerten die Reise. Oehler war fußkrank, seitdem wir den salzigen Balangdasee durchwatet hatten und mußte reiten. Es mußte also das Maultier mitgenommen werden, was einen stärkeren Wasserkonsum bedingte. Einen Führer konnten wir nur bis zum Südwestende des Sees kriegen, weiterhin mußten wir uns selbst die Wasserstellen suchen. Nachdem ich vom Seeufer aus die erste Übersicht gewonnen hatte, beschloß ich, am Nordostende des Sees, wo hohe Berge ihn überragten und den Graben größtenteils abschlossen, ein Standlager zu errichten. Bei der Wasserlosigkeit der Gegend — das Salzwasser des Sees ist ungenießbar — konnte ich es nicht wagen, mit der ganzen Karawane dorthin zu ziehen, bevor eine ausreichende Wasserstelle gefunden war. Deswegen unternahmen wir mit ganz wenigen Leuten, dem allernotwendigsten Gepäck und ziemlichen Wasservorräten eine Erkundungstour am südlichen Seeufer ostwärts. Nach einem Vorstoß von etwa 60 km fanden wir nur eine im Augenblick sehr willkommene, aber für die ganze Karawane völlig unzureichende Wasserstelle. Einige Träger waren erschöpft zurückgeblieben, daher hinderte uns Proviantmangel an weiterem Vordringen. Auch schien dies in bezug aufs Wasser ziemlich aussichtslos zu sein. So beschlossen wir umzukehren und die nähere Erforschung des Njarasasees auf die Regenzeit zu verschieben. In der Nacht drang ein

Nashorn in unser kleines Zeltchen ein. Glücklicherweise hatten wir das Zelt rechtzeitig verlassen können und so zerschlitzte und zertrampelte es nur das Zelt, nicht unsere Bäuche und Rippen.

Nach unserer Rückkehr zur Hauptkarawane und einem Abstecher an die Mündung des Wembereflusses zogen wir über den trennenden Horst des Kiderogebirges hinüber nach dem Hohenlohegraben. Die Entfernung nach dem Hohenlohesee war kaum halb so groß, als wir nach den Karten erwarteten, in einem Tagemarsche war er erreicht. Dieser „Hohenlohesee“, nach Werthers¹⁾ Angaben auch ein Salzsee, entpuppte sich als ein zur Zeit fast trockener Schilfsumpf, der jedoch Lachen von süßem, trinkbarem Wasser enthielt. Von verschiedenen Punkten des nördlichen und des südlichen Grabenrandes (H₂₂, Kinjangiruberg, ein halbes Jahr später auch vom Gieda Mara) verschaffte ich mir gute Übersicht und stellte fest, daß die hier auf v. Tippleskirchs Aufnahme begründete Karte Werthers völlig falsch ist. Der genannte Sumpf, der durch den Jaidabach gespeist wird, ist an drei verschiedenen Stellen, einmal als Hohenlohesee, einmal als Jaidasee, einmal als Kiderosee verzeichnet. Dem entsprechend ist auch das Kiderogebirge zweimal verzeichnet, einmal als Südostrand des Njarasagrabens, einmal als Nordwestrand des Hohenlohegrabens und dazwischen ist noch eine weite Kiderosteppe hineingeschmuggelt. Die drei Seen fallen in einen, die zwei Gebirge in eines zusammen, so daß die ganze Gegend sehr zusammenschumpft. Wie in leidlich übersichtlichem Gebiet so grundfalsche Aufnahmen herauskommen können, ist mir — in allen Einzelheiten wohl verständlich.

In Mkalama endete diese Rundtour. Nachdem wir dort wieder die Gastfreundschaft von Oberleutnant Hartmann genossen hatten, brachen wir am 1. November auf. Wir stiegen zunächst hinauf auf das hochragende Irambaplateau, fanden bei Herrn Liebling in der Goldmine Kirondatal freundliche Aufnahme, querten die zur Zeit trockene Wemberesteppe und marschierten rasch durch das dicht bevölkerte, aber eintönige Ussukuma an die malerischen Gestade des Victoriasees, nach Muansa. Rüstungen für die Weiterreise, bei denen Oberleutnant Baumstark uns seine kräftige Unterstützung lieh, sowie verschiedene Fieberanfalle, die Oehler und mich nicht verschonten, hielten uns hier einen ganzen Monat, bis zum 16. Dezember fest. Auch die Weiterreise ostwärts nach dem Militärposten Ikoma ging zunächst infolge wiederholter Fieberanfalle nur langsam vonstatten.

¹⁾ C. W. Werther, Die mittleren Hochländer des nördlichen Deutsch-Ostafrika, S. 100.

Am Neujahrstage 1907 brachen wir von Ikoma auf. Unser Ziel war der große rätselhafte Kessel Ngorongoro. Dazwischen lagen noch weite, unbewohnte und völlig unbekannte Gebiete. Führer hatten wir nur für die nächsten Tagemärsche. Wir marschierten erst vier Tage östlich durch wellige, bald dichtere, bald lichtere Parksteppe, aus der einzelne höhere Berggipfel herausragten, bis zu einem nordsüdlich verlaufenden Gebirgsanstieg. Es ist der Westabfall jenes Gebirgslandes, dessen viel geschlosseneren Ostabfall Uhlig und ich 1904 beim Militärposten Sonjo erreicht hatten. Auf den Karten steht hier seit langem Ndassekera über die im übrigen weiß gelassene Fläche geschrieben. Dieser Name scheint jedoch eigentlich nur einer kleinen Landschaft im Nordosten zuzukommen. Ich habe das Gebirge, dessen Berge oft durch weite Talungen ziemlich isoliert sind, als das Bergland von Sonjo bezeichnet.¹⁾ Seinem Westabfall südwärts folgend trafen wir zwei größere Krале nomadisierender Wandorobo. Wir berührten gerade noch die wildreiche Grassteppe Serengeti, die südwärts des Parklandes eine Fläche von 5000 qkm bedecken mag. Beim Überschreiten des Gebirges bot sich vom Lamuniane (2390 m) prächtige Übersicht. An seinem Ostabfall entlang setzten wir den Marsch in der Salegrassteppe fort, die südwärts um das Bergland herum mit der Serengeti zusammenhängt. Je weiter südlich wir kamen, desto trockner und ungestaltlicher wurde das Land. Es scheint völlig unbewohnt zu sein, wir trafen keine Wandorobo mehr. Ich teile daher nicht Schlobachs Hoffnungen, daß aus Ndassekera ein Gebiet für europäische Ansiedler erstehen werde. Anders als durch intensivste Schafzucht wird es landwirtschaftlich nicht nutzbar gemacht werden können.

Vom Lamuniane aus erblickten wir zum ersten Male im Südosten die großen Vulkane des Winterhochlandes, das Uhlig und ich 1904 besucht, ja man darf wohl sagen, entdeckt hatten, wenn auch die Berge schon früher von ferne gesichtet waren. Zwischen ihnen und dem Sonjobergland in der südlichen Fortsetzung der Salesteppe vermuteten wir nach den Angaben unseres Führers, der inzwischen durchgebrannt war, und nach sonstigen Anzeichen, unser Ziel, den Kessel Ngorongoro. In der Tat kamen wir hier in ein tief eingesenktes, abflußloses Becken, dessen Boden mit Grassteppe bedeckt war. Im übrigen aber wollte es mit Baumanns Beschreibung von Ngorongoro nicht übereinstimmen. Es fehlte der See, doch der konnte wohl ausge-

¹⁾ Vorläufiger Bericht über eine Reise in das abflußlose Gebiet Deutsch-Ostafrikas. Ztschr. Ges. Erdk. Berlin 1908, S. 254.

trocknet sein. Auch die sonstige Topographie stimmte schlecht zur Karte, doch Baumann war bei Nebel hier durchgezogen, kein Wunder, daß er das Gelände sehr mangelhaft wiedergegeben hatte. Es mußte doch wohl Ngorongoro sein, was in aller Welt auch sonst? Wo aber war die Farm des Herrn Siedentopf, bei der wir unser Standquartier für längere Zeit aufschlagen wollten? Schon etliche Tage lebten unsere Leute nur noch „von Patronen“, wie Oehler sagte, d. h. von dem Wild, das er schoß. Auch hatte es mehrere Tage kein leidliches Trinkwasser mehr gegeben, es war stets salzig, nur zur Not trinkbar gewesen. Kein Wunder, daß etliche krank wurden. Es war höchste Zeit, daß wir wieder eine Wasser- und vor allem eine Futterstelle erreichten. Zur Erkundung stieg ich an den östlichen Hängen der Senke durch Busch und hohes Gras mühsam empor. Ich war schon gegen 900 m angestiegen und hatte die Hoffnung auf Erfolg des Suchens eigentlich aufgegeben. Da plötzlich öffnet sich der Blick nach Osten und zu meinen Füßen erstreckte sich ein riesiger, fast kreisrunder Kessel, dessen ebener Grasboden von 500 m hohen Steilwänden umrahmt war. Und da war auch der See und der Bach und an dessen Ufer die Farm! Das also war Ngorongoro. „Donnerwetter, was für ein Krater,“ das war fast mein erster Gedanke bei dem überraschenden Anblick. Die Senke, in der wir uns erst befanden, war demnach ein neu entdecktes abflußloses Becken. Die Entdeckerfreude wurde allerdings später etwas gedämpft, als wir erfuhren, daß Feldwebel Bast schon vor 2 $\frac{1}{4}$ Jahren sie durchzogen hatte. Seine Wegaufnahme hatte zu Beginn unserer Reise noch nicht den Weg zum Gouvernement nach Daressalam, geschweige denn zur kolonial-kartographischen Zentrale in Berlin gefunden und war mir daher unbekannt geblieben. Auf ihr fußt Uhligs Karte in dieser Gegend.

Bei der Farm der Brüder A. und F. W. Siedentopf schlugen wir nun für $\frac{1}{4}$ Jahr unser Standlager auf, von wo wir Reisen in die weitere Umgebung unternahmen. Die Verpflegung unserer zwar nur 65 Mann starken Karawane verursachte ziemliche Schwierigkeiten. Siedentopf konnte uns von dem wenigen, was er für sich und die in seinem Dienst stehenden Massai angebaut hatte, kaum etwas abgeben. Wir waren also auch hier in Ngorongoro mitten in der Wildnis, andere Nahrung als die Ergebnisse der Jagd war nicht zu erlangen. Und die ausschließliche Fleischnahrung der letzten Tage war schon zu einer Kalamität geworden. Deshalb mußten wir dauernd fast die Hälfte der Karawane in verschiedenen Abteilungen in die nächsten bewohnten Landschaften schicken, um

von dort für die Zurückbleibenden Proviant zu holen. Die Landschaft Engaruka war zwar nur zwei Tagereisen entfernt, aber dort war sehr wenig zu kriegen. Eine andere Abteilung mußte daher nach dem 8 Tage entfernten Meatu in Ussukuma gehen, wieder eine andere 7 Tage weit nach Aruscha am Meru. Die Verbindung nach Iraku war noch nicht erkundet, dahin konnten wir zunächst niemanden schicken. Es dauerte einmal fast einen Monat, bis eine solche Proviantkolonne mit 13 Lasten Mehl zurückkam. Eine Last Mehl reichte für die ganze Karawane als ausschließliche Kost gerade für einen Tag. Es war daher sehr schwierig, genügend pflanzliche Nahrung herbeizuschaffen, und das Fleisch spielte unter diesen Umständen dauernd eine wichtige Rolle bei der Ernährung der Karawane. Oehler mußte viel kostbare Zeit der Jagd opfern, und da er von Haus aus kein Jäger war, so war das Jagd-, „vergnügen“ meist gering.

Oskar Baumann, der 1892 Ngorongoro entdeckte, sprach schon die Ansicht aus, daß es ein vulkanischer Krater sei. Doch war dies auf Grund seiner Beschreibung und seiner Karte sehr bezweifelt worden. Auf den ersten Blick war mir die Kraternatur des Kessels unzweifelhaft und jede weitere Beobachtung bestätigte sie. Ngorongoro liegt in der Mitte einer Gruppe mächtiger Vulkane, die zu einem gewaltigen Hochland verwachsen sind. Fast alle sind über 3000 m hoch und tragen Krater von sehr bedeutenden Ausmaßen, weshalb ich diese einzigartige Landschaft das *Hochland der Riesenkrater* nenne. Ngorongoro, der größte der Krater, hat am oberen Rand nicht weniger als 22 km Durchmesser! Nachdem Ngorongoro selbst untersucht und u. a. vom höchsten Punkt seines Kraterandes, dem Geleriani (2460 m), topographisch aufgenommen war, besuchten wir die südwestlich gelegene Vulkangruppe, die ich nach ihrem Entdecker als das *Baumannhochland* zusammenfassen möchte. Wir bestiegen die gewaltigen Bergriesen Deani (3188 m) und Lemagrut (3132 m) und nahmen anschließend unsere Forschungen am Njarasagraben wieder auf. Wir folgten seinem nördlichen Rande westlich. Über die Beziehungen des Vulkangebiets zum Grundgebirge und zu den jungen Bruchstufen gewann ich hier wesentliche Aufklärung. Während Oehler am See hydrographische Untersuchungen vornahm, erstieg ich die „Hohe Ecke“ (Ei 9+ der Triangulation, 1920 m), einen Punkt, an dem der nördliche Njarasagrabenrand auf die doppelte relative Höhe ansteigt und von dem ich prächtige Übersicht über den See gewann.

Eine zweite Reise führte uns zum nordöstlichen

Teil des Hochlands der Riesenkrater, das Uhlig und ich schon 1904 berührten und das nach dem Förderer unserer damaligen Expedition den Namen Winterhochland erhalten hat. Oehler hatte vorher die Tour erkundet, während ich außer anderen Arbeiten in Ngorongoro die Basis für mein Triangulationsnetz vermaß (s. Abschnitt IV, V, VI). Auch hier bestiegen wir sämtliche Berge, wie ich überhaupt auf Bergbesteigungen, die eine weite Übersicht gewähren, stets den größten Wert legte. Sowohl für das geographische Verständnis der Landschaft wie für die topographische Aufnahme brachten stets die Aussichtspunkte die besten Ergebnisse. Zuerst bestiegen wir den Olmoti (3085 m) mit seinem flach pfannenförmigen Krater, dem der Lemungebach entströmt, in enger Durchbruchschlucht einen Wasserfall bildend.

Ein überraschendes Bild bot sich, als wir den Kraterrand des Elaneirobi erreicht hatten. Steil fallen die bewaldeten Wände des riesigen Kessels ab zu einem großen Salzsee auf seinem Grunde. Dem vielgipfeligen Kraterrand folgen wir auf einem Nashornpfade bis zum höchsten Punkt (3200 m). Es war eine erhabene Naturstimmung. Unheimlich brodeln die Nebel in dem finsternen Kraterkessel, oben fliegen die Wolken über die Gipfel, grell beleuchtet die untergehende Sonne die Bergriesen, die sich in naher und weiter Ferne aus den tiefliegenden Steppen östlich von uns, östlich der großen Bruchstufe erheben. Am nächsten Tag — wir hatten oben am Kraterrand gelagert — stieg ich noch auf den Gipfel der Somma des Elaneirobi (3180 m), den Uhlig später auf seiner Karte nach mir benannt hat, einen glänzenden Aussichtspunkt, von dem ich in 170 km Entfernung die Gletscher des Kilimandscharo in allen Einzelheiten scharf erkannte. Oehler unternahm unterdessen einen äußerst mühsamen, aber ergebnisreichen Abstieg durch den Urwald an den See des Elaneirobikraters.

Dann kam der Loolmalassin an die Reihe, der höchste Berg des Hochlands der Riesenkrater (3648 m) und der erhabenste Aussichtspunkt, den ich kenne. Wie eine Mondlandschaft liegen die gewaltigen Krater des Hochlands zu unseren Füßen, stolz erheben sich isolierte Vulkankegel aus dem Tiefland im Osten, unendliche Steppenflächen dehnen sich bis an den fernen Horizont. Die Gipfelpartie des Loolmalassin, mit freundlichen Alpenpflanzen bedeckt, ist in zwei Grate zerteilt. Den östlichen, den Uhlig und ich 1904 erstiegen, nenne ich zu Ehren meines Freundes den Uhliggrat, den höheren westlichen, den wir jetzt zuerst erreichten, nach meinem verehrten Lehrer, dem ord. Professor der Geographie in Heidelberg, den Hettnergrat.

Nachdem noch der Ossirwa (3297 m) erstiegen war, dessen Gipfelregion zwei malerische Seelein zieren, besuchten wir noch einmal den romantischen Krater des Elaneirobi zu etwas näherer Erforschung.

Am 3. März 1907 wurde die dritte Reise von Ngorongoro aus angetreten. Durch unbekannte Gebiete führte sie nach Iraku, um den Anschluß an die dortigen Forschungen herzustellen. Über das Baumannhochland, wo ich vom Gipfel des Malanjavulkans (2864 m) wichtige Aufnahmen vollendete, stiegen wir hinab nach den öden Gestaden des Njarasasees. Am Matetebach, einem starken Zufluß des Sees, der von den Urwäldern des Deani her gespeist wird, bezogen wir einige Tage ein malerisches Lager, da mir wiederum Aufnahmen oblagen und Oehler von Fieber geplagt wurde. Wiewohl das Fieber nicht nachließ, zwang uns Nahrungsmangel zu einem anstrengenden Marsch ohne Führer und Wasser durch unbekanntes, mit Dornbusch bewachsenes Gelände. Vielleicht deswegen wurde in Iraku Oehlers Malaria chronisch, auch die Kunst des Stationsarztes vermochte nichts dagegen auszurichten. Ich zog im Lande herum, es viel eingehender aufnehmend, als ursprünglich in meiner Absicht lag und auf seine Genesung wartend. Schließlich war er so geschwächt, daß seine weitere Teilnahme an der Expedition ausgeschlossen war. Aus seinem Feldbett konstruierten wir eine Art Hängematte, in der liegend er die Rückreise nach der Küste antrat. Auf dem Wege dahin ist er, wohl durch die Luftveränderung, allmählich wieder genesen.

Ich mußte die Expedition allein zu Ende führen. Oehlers Mitarbeit habe ich sehr vermißt. Manches hätte ich eingehender untersuchen können, wenn nicht jetzt auch die technische Expeditionsarbeit ganz auf mir gelegen hätte. Über die unbewohnte, aber als Grenzgebiet von Grundgebirge und vulkanischem Gestein sehr interessante Landschaft Engotiek kehrte ich nach Ngorongoro zurück und vollendete die Triangulation. Am 23. April verließ ich diese so vertraut gewordene Stätte. An der in die Balbal-senke mündenden Duwaischlucht konnte ich noch einen Überblick über den Aufbau der Serengeti-steppe gewinnen, durch die ich nun westwärts marschierte nach Meatu, um von da durch die Landschaften Ussukumás auf Muansa zuzueilen. Dort wurde die Karawane entlassen und für die Europa-reise alles verpackt, keine angenehme Arbeit. In den Pfingsttagen fuhr ich mit dem Dampfer „Sybil“ über den Victoriasee nach Port Florence, dann von da mit der Ugandabahn hinunter nach Mombasa. In Nakuru und in Nairobi unterbrach ich die Fahrt,

dort, um den Großen Ostafrikanischen Graben in seiner typischen Form, hier, um die Zentrale europäischer Ansiedlung in Britisch-Ostafrika zu besehen. In Mombasa traf ich noch einmal mit Oehler zusammen. Leider fügte es sich nicht, daß wir zusammen heimreisen konnten, da ich in Daressalam noch amtlich zu tun hatte. Auf dem „Kronprinz“ verließ ich Ostafrika, das Land, in dem ich ein Jahr erfolgreicher Arbeit soeben vollendet hatte.

Geographische Bedingtheit der Schwierigkeiten.

Der Leser erkennt aus obigem Bericht, welche durch die Natur des Landes bedingten Umstände uns die meisten Schwierigkeiten bereiteten. Sie sind auch die geographischen Ursachen dafür, daß das Land bisher so unerforscht geblieben war. Das abflußlose Gebiet des nördlichen Deutsch-Ostafrika gehört zu den trockensten Gebieten der Kolonie. Reicher bewässert ist es nur, wo schwer zugängliche Waldgebirge daraus emporragen. Die Trockenheit macht den größten Teil des Landes für dauernde Besiedlung durch fest ansässige Ackerbauern ungeeignet. Hier schweiften früher die kriegerischen Horden nomadisierender Massai umher und sperrten den Karawanen den Weg. Seitdem zu Anfang der neunziger Jahre dieses Volk infolge der Rinderpest, die es um seine Herden und damit um die Nahrung brachte, beinahe ausgestorben ist, sind diese Gegenden so gut wie unbewohnt. In unbewohntem Lande aber ist es schwierig zu reisen, besonders mit einer größeren Karawane, die nun einmal das Verkehrsmittel der afrikanischen Tropen ist. Es ist vor allem schwierig, die Nahrung für die Träger herbeizuschaffen, die von den nächsten bewohnten Landschaften viele Tage weit hergeholt werden muß. Während des Marsches aber verzehren die Träger bereits einen großen Teil ihrer Proviantlast. Die Ernährung der Karawane war in den unbewohnten Gebieten in der Tat die größte Schwierigkeit, die sich uns entgegenstellte.

Auch die Wasserarmut erschwert das Reisen. Wie oft waren wir froh, wenn wir nach einem anstrengenden Tagemarsch und mühevollen Suchen ein Wassertümpelchen fanden, von dem zu trinken man sich anderswo ekeln würde; wie manches Mal mußten wir auch ohne Wasser unser Lager aufschlagen! Hätten wir immer gute Führer gehabt, so hätte es wohl niemals an Wasser gefehlt. So trocken ist das Land nicht, daß es nicht in Abständen von etlichen Stunden immer wieder Wasserstellen gäbe. Aber man muß sie finden! Und das ist oft schwer, auch wenn man das Land schon so weit kennt, daß man weiß, an welchen Örtlichkeiten Wasser anzutreffen sein könnte. Wie manche dorn-

buschbewehrte Trockenschlucht habe ich vergebens durchklettert! Aber in dem unbewohnten Lande gibt es auch keine landeskundigen Führer. Wenn man sonst in Ostafrika von der Karawanenstraße abweicht, so nimmt man sich vor allem einen Führer. Wir aber mußten meistens, besonders da, wo das Reisen sonst schon schwierig war, ohne Führer gehen, selbst der Karawane den Weg zeigen und selbst unsere Wasserstellen suchen. Das hat uns viel Zeit und Kraft gekostet. Dieser Umstand muß auch einen Mangel meiner topographischen Aufnahmen entschuldigen: die Spärlichkeit der erkundeten Namen.

So sind teils die Trockenheit, teils die Unzugänglichkeit die Ursache, daß sich gerade hier weite Strecken unbewohnter Wildnis befinden, die am längsten von ganz Deutsch-Ostafrika der Erforschung getrotzt haben.

Dieser erste Teil der Veröffentlichung über die Reise enthält vor allem den größten Teil der topographischen Ergebnisse, niedergelegt in den beiden Karten in 1 : 150 000 und 1 : 300 000. Der Begleittext berichtet über die Entstehung der Karten. Weiter enthält der Teil I diejenigen Forschungsergebnisse, die zu speziell sind, um in einer geographischen Beschreibung des Landes Platz zu

finden, insbesondere die Bestimmungen der gesammelten Objekte. Der zweite Teil, der, wie ich hoffe, bald nachfolgen kann, soll dann die geographisch-länderkundliche Darstellung der durchforschten Gebiete geben.

Ich möchte diese Einleitung nicht schließen, ohne zuvor allen denen herzlich zu danken, die uns draußen in Afrika mit Rat und Tat gefördert haben. Der Raum verbietet mir, sie alle mit Namen zu nennen, aber einiger will ich hier gedenken. Vor allem meines Freundes *Carl Uhlig*, jetzigen ord. Professors der Geographie in Tübingen, bei dem ich auf unserer gemeinsamen Reise 1904 sozusagen in die Lehre ging und mir die praktische Ausbildung zum Forschungsreisenden erwarb. Ferner danke ich Herrn Geheimrat *Hans Meyer*, dem Vorsitzenden der Landeskundlichen Kommission, dessen energische Unterstützung wir auch in Afrikas Wildnis manches Mal angenehm verspüren konnten. Auch erkenne ich dankbar an, daß wir vom Kaiserlichen Gouvernement und der Schutztruppe und ihren Beamten und Offizieren sehr wesentliche Förderungen erhalten haben, sowohl in Daressalam als auch in Tanga, Moschi, Aruscha, Iraku, Mkalama, Ikoma und Muansa. In besonderem Maße haben uns gefördert und zu Dank verpflichtet die Herren Oberleutnant *Abel*, Oberleutnant *Baumstark*, Bezirksamtman *Gunzert* und Farmer *A. Siedentopf*.

III. Die Wegaufnahme.

Instrumente.

Bei den Wegaufnahmen (gewöhnlich Routenaufnahmen, Itinerare genannt) wurde zur Richtungsmessung in der Regel ein *Meißner*-scher Fluidkompaß Nr. 2376 benutzt, bisweilen auch ein Routenkompaß von *Sprenger* Nr. 3322. Am *Meißner*kompaß wurde stets nur das Nordende der Nadel abgelesen. Auch bei möglichst genauen Messungen hätte es keinen Zweck gehabt, zur Eliminierung etwaiger Exzentrizitätsfehler beide Enden abzulesen. Denn gleich bei Beginn der Aufnahmen stellte sich heraus, daß das Südende der Kompaßnadel ein wenig verbogen war und daher immer auf einen etwas abweichenden Punkt der Skala zeigte. Sonst war ich mit dem Instrument sehr zufrieden. Es besaß noch nicht die jetzt auf *Filchner*'s Vorschlag auch bei den Fluidkompassen übliche Arretierung. Bei Peilungen aus freier Hand läßt

es sich bequem auf $\frac{1}{2}$ bis 1° genau ablesen, was bei Kompassen ohne Dämpfung kaum möglich ist. Unbedingtes Erfordernis aber ist, daß man bei der Ablesung ruhig steht. Wenn andere mit dem Fluidkompaß schlechte Erfahrungen gemacht haben, so mag dies vielleicht darauf beruhen, daß sie, der Weisung mancher Autoren folgend, die Kompaßablesungen im Gehen vorgenommen haben. Dabei wird die Nadel durch die Pendelschwingungen der Flüssigkeit in irgend einer, möglicherweise um 90 oder 180° abweichenden Lage festgehalten und vermag sich nicht einzustellen, so daß man falsch abliest.

Für die Messung der *Marschdauer* und damit der Weglängen benutzte ich eine gewöhnliche, gut gehende Taschenuhr.

Zur *Höhenmessung* diente das *Bohne*-sche Aneroid Nr. 4098, manchmal auch das Aneroid

Bohne Nr. 5002. Beide wurden durch Siedethermometermessungen kontrolliert. Näheres darüber im Abschnitt über die Höhenmessungen.

Verfahren der Aufnahme.

Die Wegaufnahme habe ich in der üblichen Weise ausgeführt. Die Wegstrecke wurde durch die Marschdauer und -geschwindigkeit, die Azimute mit dem Kompaß, die Höhen mit dem Aneroid und Siedethermometer gemessen. Zahlreiche Peilungen sicherten die mathematische Grundlage. Meine normale Marschgeschwindigkeit habe ich öfters bestimmt, nicht nur nach den Kilometersteinen deutscher Landstraßen, sondern auch in Afrika an vermessenen Strecken, z. B. an meiner Standlinie (Abschnitt V). Gleichzeitig bestimmte ich die normale Schrittzahl in der Minute. Da bei der Aufnahme je nach Gelände, Wegbeschaffenheit usw. die Marschgeschwindigkeit oft von der normalen abweicht, gilt es, auch diese Abweichungen zu berücksichtigen. Bei gleicher Schrittlänge ist die Geschwindigkeit proportional der Anzahl der Schritte in der Minute. Diese Anzahl habe ich unterwegs öfters notiert. Abweichungen von der normalen Schrittlänge habe ich stets geschätzt und habe angegeben, um welchen Bruchteil die betreffende Strecke zu verkürzen ist.

Um Peilungen aus freier Hand auszuführen, ist der Meißnersche Fluidkompaß besonders geeignet. Doch habe ich auch möglichst viel auf dem Stativ gepeilt, wobei man auf $\frac{1}{10}^\circ$ ablesen kann. Wesentlich korrigiert und in ihrer absoluten Lage festgelegt wurden die Wege durch die Einpassung in das Triangulationsnetz (Abschnitt VI) und durch einige Bestimmungen der astronomischen Breite (Abschnitt VII). Ich habe auch absolute Längenmessungen ausgeführt durch Messung von Mondhöhen. Doch war dies eine vergebliche Arbeit, da diese Messungen mit dem kleinen Hildebrand'schen Reisetheodoliten nicht entfernt mit der nötigen Genauigkeit sich ausführen lassen.

Das Gelände habe ich stets durch Formenlinien (Gefühlsisohypsen) angedeutet. Häufige Schätzungen relativer Höhen, zahlreiche Ansichts- und Situationsskizzen sowie Oehlers Photographien unterstützten die Aufnahme des Geländes. Hierüber wird in den folgenden Abschnitten noch vieles zu sagen sein, zunächst möchte ich einige Erfahrungen über die Wegaufnahme mitteilen.

Aufnahme der Marschlinie.

Die meisten Wegaufnehmer legen das größte Gewicht auf eine möglichst genaue Aufnahme der zurückgelegten Marschlinie. Um eine richtige

Weglänge zu erhalten, scheut mancher nicht die stumpfsinnige Mühe des Schrittezählens. Auch kleinere und unwesentliche Krümmungen der Marschlinie werden durch mehrere Richtungsmessungen festgelegt, um die gesamte Weglänge und Richtung möglichst genau zu bestimmen. Uhlig hat schon darauf hingewiesen, daß das Schrittezählen nur unter Umständen empfehlenswert ist.¹⁾ Meines Erachtens hat das Schrittezählen überhaupt nur dann Zweck, wenn man eine beschränkte Örtlichkeit, z. B. eine Dorfanlage, in größerem Maßstabe aufnehmen will. Dann lassen sich die kurzen Strecken durch Messung der Marschdauer nicht genau wiedergeben. Beim Durchmarsch durch eine Gegend aber ist das Schrittezählen auf die Dauer sehr anstrengend und dazu die Gefahr des Verzählens groß. Auch hindert es an viel wichtigeren Tätigkeiten, namentlich am Beobachten. In der Regel wird man daher die Weglänge durch die zur Zurücklegung gebrauchte Zeit — bei bekannter Marschgeschwindigkeit — bestimmen.

Ebenso möchte ich widerraten, allzuviel Zeit und Arbeitskraft auf die Richtungsmessungen zu verschwenden. Eine Messung und Notierung der Wegrichtung erfordert eine Marschpause von etwa $\frac{1}{2}$ Minute. Beim Gebrauch eines Kompaß ohne Fluiddämpfung lassen sich zwar diese rohen Richtungsbestimmungen zur Not im Gehen ausführen. Doch empfiehlt sich dies nicht, weil man bei der Ablesung unwillkürlich langsamer geht und weil das Aufschreiben im Gehen die Lesbarkeit sehr beeinträchtigt. Was man aber später nicht mehr lesen kann ist wertlos. Bei Gebrauch eines Fluidkompasses ist Stehenbleiben bei der Ablesung unbedingt erforderlich. Wenn man alle 2 bis 5 Minuten die Richtung ablesen muß, verbraucht man daher viel kostbare Zeit.

Entspricht der Erfolg diesem Zeitaufwand? Auf die kleinen Krümmungen kommt es ja nicht an. Aber die Gesamtrichtung der Marschlinie ergibt sich theoretisch um so genauer, je öfters die augenblickliche Richtung gemessen wurde.¹⁾ Dies ist jedoch nur dann der Fall, wenn auch die einzelnen Strecken des gekrümmten Weges im richtigen Längenverhältnis zueinander stehen. Andernfalls wird selbst bei absoluter Richtigkeit aller Richtungsmessungen die Gesamtrichtung des auf-

¹⁾ Carl Uhlig, Die Ostafrikanische Bruchstufe und die angrenzenden Gebiete zwischen den Seen Magad und Lawa ja Mweri sowie dem Westfuß des Meru. Mitt. a. d. Deutsch. Schutzg. Erg. 2. 1909, S. 16.

²⁾ Vogel, Aufnahme des Reisewegs und Geländes. In Neumayers Anleitung zu wissenschaftlichen Beobachtungen auf Reisen. 3. Aufl., S. 119.

genommenen Weges von der Wirklichkeit abweichen. Kurze Wegstückchen lassen sich aber schwer im richtigen Längenverhältnis wiedergeben. Dazu müßte man entweder die Schritte zählen oder die Anfangs- und Endzeiten jedes Wegstücks auf Sekunden genau ablesen, was in der Praxis viel zu umständlich ist und bei der Konstruktion, selbst in ziemlich großem Maßstabe, gar nicht ausgenützt werden kann. Es kommt also durch die vielen Marschpausen eine neue Fehlerquelle für die Weglänge und mittelbar auch für die Wegrichtung hinzu, welche die durch die Zahl der Richtungsmessungen gewonnene Genauigkeit wieder zerstört.

Man muß daher generalisieren. Unter Vernachlässigung kleiner Krümmungen messe man die einzuschlagende Wegrichtung für eine möglichst große Strecke. Ist in übersichtlichem Gelände der Weg weithin zu sehen, so messe man nur seine Durchschnittsrichtung, diese aber durch sorgfältige Handpeilung auf 1° genau. So erreicht man für die Gesamtrichtung mit viel geringerer Mühe dasselbe wie durch die vielen Richtungsbestimmungen kurzer Strecken. Aber wenn man auch nur auf 5 oder 10° genau messen kann, so genügt dies für eine Wegstrecke von vielleicht $\frac{1}{4}$ Stunde und man braucht kleinere Richtungsänderungen nicht zu berücksichtigen.

Der Marsch auf dem gekrümmten Wege dauert länger, als er in der gemessenen geraden Richtung dauern würde. Man muß daher die aus der Marschdauer abgeleitete Wegstrecke entsprechend verkürzen, um den richtigen Abstand von Anfangs- und Endpunkt zu erhalten. Um wieviel zu verkürzen ist, läßt sich nur schätzen. Diese Schätzung ist auch durch die eingehendsten Aufnahmen selten zu vermeiden. Denn über die kleinsten Krümmungen, welche die Wege in bewachsenem Gelände zu machen pflegen, wird man stets generalisierend hinweggehen müssen und ihren Einfluß auf die Weglänge nur durch Schätzung berücksichtigen. Die Abschätzung etwas größerer Krümmungen erzeugt keine größeren Fehler als die der kleinsten. Auch die Geschwindigkeitsänderungen lassen sich meist nur schätzungsweise angeben.

Diese nicht zu vermeidenden Schätzungen sind wohl die größte Fehlerquelle bei Wegaufnahmen. Ihr wird am besten entgegengearbeitet, indem man eine Anzahl von Punkten des Geländes öfters anpeilt. Die Marschlinie läßt sich dann zwischen diesen Punkten „einrenken“. Durch diese mehr generalisierende Aufnahme der Marschlinie gewinnt man viel kostbare Zeit. Ich habe auch in Gelände, wo eine wechselvolle Topographie viel aufzunehmen gebot, nicht sehr viel länger gebraucht als meine

Karawane, sofern ich nicht durch anderweitige Arbeiten, wie geologische Untersuchungen, aufgehalten wurde. Auch hat sich bei der Konstruktion vielfach gezeigt, daß die Richtungen trotz der Vernachlässigung kleinerer Krümmungen gut getroffen waren. Bei Schleifen z. B. stimmte Anfangs- und Endpunkt gut zusammen.

Längere Wegstrecken durchzupeilen ist nur in übersichtlichem Gelände möglich. Wenn sich der Weg durch dichten Busch oder Wald windet, in dem man oft nur wenige Meter weit sieht, muß man sich anders helfen. Je weniger das Land zu übersehen ist, desto weniger gibt es auch darüber zu beobachten, daher kann man in diesem Falle eher auch kleinere Windungen aufnehmen. Ich habe dies bei der Durchquerung der südöstlichen Massai-steppe getan. Diese Aufnahme konnte nur den Zweck haben, den mathematischen Zusammenhang der Marschlinie zu wahren, denn vom Gelände war schlechterdings nichts zu sehen, als daß es mit Busch bewachsen war. Dieser Zweck wurde aber nur sehr mangelhaft erreicht. Die Aufnahme wäre kaum ungenauer geworden, wenn ich die Richtung nur nach der Sonne beurteilt und auch die Entfernung nur aus der Gesamtmarschdauer geschätzt hätte. Daß die Aufnahme dennoch ein gutes Ergebnis geliefert hat, war nur dadurch möglich, daß ich manchmal auf einen Inselberg oder auf einen überragenden Affenbrotbaum stieg und von da alle Inselberge der Landschaft anpeilte. Diese rohe magnetische Triangulation hat die Inselberge gut festgelegt. Die eigentliche Wegaufnahme konnte nicht einmal der Konstruktion als Längenmaßstab dienen, das Triangulationsnetz mußte vielmehr durch Fernpeilungen und astronomische Breitenbestimmungen eingepaßt werden. In solchem Gelände versagt die Wegaufnahme fast völlig.

Aufnahme des Geländes.

Die Marschlinie an sich ist in der Regel ziemlich gleichgültig — häufig folgt sie ja nicht einmal einem Fußpfad —, sie ist nur das Mittel zu dem Zweck, das Gelände in seinen Lagenverhältnissen richtig darzustellen. Auf die Wiedergabe des Geländes kommt es an. Wenn ich nur einen Strich durch die Natur ziehe, so ist gar nichts gewonnen. Das Gelände kann um so genauer dargestellt werden, je peinlicher die Krümmungen aufgenommen sind, in denen sich der Weg den kleinen Falten des Geländes anschmiegt. Aber was nützt es, solche Einzelheiten aufzunehmen, solange nicht die größeren Züge genau festgestellt sind? In den seltensten Fällen wird es Aufgabe des Wegaufnehmers sein, Einzelheiten zu bringen, die nicht einmal auf Karten

in 1 : 100 000 wiedergegeben werden könnten. Viel wichtiger ist es, die größeren Züge, den Zusammenhang der Täler und dergleichen richtig aufzufassen und wiederzugeben. Darauf richte der Aufnehmer sein Augenmerk. Dazu gehört dauerndes Beobachten der Landschaft. Richtet man seine Aufmerksamkeit zu sehr auf die genaue Aufnahme der Weglinie, so wird Zeit und Kraft den wichtigeren Dingen entzogen. Auch bei der Aufzeichnung des Geländes muß man generalisieren. Schon eine Karte großen Maßstabes, wie die Meßtischblätter in 1 : 25 000, ist im Vergleich zur Natur sehr generalisiert. Wieviel mehr muß bei der rohen Form der Wegaufnahme, die größere Gebiete in viel kleinerem Maßstab wiedergeben soll, bei der Übertragung direkt von der Natur generalisiert werden.

Es ist ein Fehler sehr vieler Wegaufnehmer, daß sie zahlreiche Einzelheiten geben, aber die großen Züge vernachlässigen. Ich habe Gelegenheit gehabt, meine Aufnahmen mit anderen aus demselben Gebiet zu vergleichen. Ein Aufnehmer hat sorgfältig jedes kleinste Trockenbett verzeichnet, welches er überschritt, aber über den Verlauf und den Zusammenhang der Flußsysteme hat er nichts gebracht. Ja, man kann der Aufnahme nicht einmal entnehmen, daß er um einen großen Berg herum-marschiert ist. Zwar hat er seinen Gipfel durch Peilungen festgelegt, aber über die Natur dieses Peilpunkts bringt die Aufnahme nichts als den Namen. Meist ist es schwer oder unmöglich, Punkte solcher Aufnahmen mit anderen Aufnahmen zu identifizieren, um sie einzupassen.

Folgende Gesichtspunkte scheinen mir darüber zu entscheiden, ob man eine Einzelheit im Gelände aufnehmen soll oder nicht. Es hat nur dann Sinn, überhaupt Einzelheiten einzuzeichnen, wenn man zugleich die Hauptzüge des übersehbaren Geländes zur Darstellung bringt, so daß die Lage des Einzelobjekts im Ganzen ersichtlich ist. Auffällige, charakteristische Einzelheiten, z. B. eine vereinzelte

Felsgruppe, ein einzelnes kleines Bachbett, sind wichtig. Sie können wesentlich dazu beitragen, Punkte verschiedener Aufnahmen miteinander sowie die Karte mit der Natur zu identifizieren, d. h. sich nach der Karte zu orientieren. Dagegen hat es wenig Nutzen, aus einer Fülle gleichartiger Einzelheiten, z. B. zahlreicher Hügel, zahlreicher Bachbetten, zahlreicher Täler, einzelne aufzuzeichnen und die anderen zu vernachlässigen. Selbst wenn die eingezeichneten ihrer Lage und Gestalt nach richtig auf der Karte wiedergegeben sind, wird es selten möglich sein, sie nach der Karte wiederzufinden. Eine kurze Beschreibung des allgemeinen Charakters mit Worten gibt dann ein richtigeres Bild, z. B. eines Hügellandes, als einzelne zerstreute Hügel auf der Karte. Erst wenn die Darstellung so ausführlich gehalten werden kann, daß alle Hügel in richtiger gegenseitiger Lage verzeichnet werden, dann hat ihre Aufnahme einen Zweck. Dann ist es möglich, sich nach dieser Aufnahme im Gelände zu orientieren. Das läßt sich aber durch eine Wegaufnahme kaum erreichen. Selbst bei der Peiltischaufnahme (Abschnitt IV), die viel gleichmäßiger über die ganze Fläche arbeitet, ist es oft nicht möglich. Dann gilt für die Auswahl von Einzelheiten derselbe Grundsatz wie bei Wegaufnahmen. Bei der Aufnahme des Hochlands der Riesenkrater mußte ich darauf verzichten, am NW-Abhang des Elaneirobi und Olmoti die zahlreichen Schluchten aufzunehmen, obwohl Schluchten von 100 m Tiefe an sich ganz große Objekte sind. Auf der Karte sind sie, wie ersichtlich, nur schematisch angedeutet, um den allgemeinen Charakter der Landschaft zu zeigen. Im nordöstlichen Mburu, wo die Aufnahme sehr eingehend gehalten ist, habe ich alle Täler und Berge bis zu einer gewissen Größenordnung aufgenommen. Aber auf die Einzeichnung der Tälchen kleinster Ordnung, welche noch die eingezeichneten Rippen fiederförmig zerschneiden, mußte ich auch hier verzichten.

IV. Triangulation mit Peiltisch und Theodolit.

Um für mein Hauptforschungsgebiet eine gute Kartengrundlage zu gewinnen, beschloß ich, eine Triangulation auszuführen. Es veranlaßte mich dazu die Unsicherheit, welche den Wegaufnahmen anhaftet, auch wenn sie durch astronomisch fixierte Punkte gestützt sind, sowie namentlich schlechte Erfahrungen mit magnetischen Peilungen, die ich am Kilimandscharo hatte machen müssen. Dort

war die Genauigkeit der Peilungen durch mannigfache magnetische Störungen beeinträchtigt.

Es konnte sich nicht um eine genaue Triangulation handeln, die nur durch Zusammenarbeit Vieler nach einem vorher entworfenen Plane möglich ist. Wenn man als Forschungsreisender zum ersten Male in ein unbekanntes Gebiet kommt, ist es nicht möglich, vorher

einen Plan für die Triangulation festzulegen. Auch ist es nötig, daß man alle Arbeiten allein oder doch nur mit einem ungeschulten eingeborenen Gehilfen ausführen kann. Von der Aufstellung von Signalen konnte daher in der Regel keine Rede sein, dazu hätte ich die ganze Reise zweimal ausführen müssen.

Es kam also darauf an, mit einfachen Mitteln leicht und rasch ausführbare Messungen anzustellen. Herr Oberleutnant Abel, damals in Moschi, riet mir, ich solle mir von der Instrumentenreserve des Kaiserlichen Gouvernements in Daressalam einen Meßtisch kommen lassen. Dieser Rat, für den ich Herrn Abel hier besonders danken möchte, ist der beste von allen Ratschlägen, die mir für die Reise gegeben wurden. Ich danke ferner dem Kaiserlichen Gouvernement für die bereitwillige Übersendung.

Instrument.

Der übersandte Meßtisch war ein Instrument von der vereinfachten und leichten Form, wie sie E. d. Sprenger in Berlin konstruiert, die als Peiltisch (auch Krokiertisch, Detaillierbrett) bezeichnet wird. Statt mit einer Kippregel arbeitet man auf ihm mit einem Diopterlineal. Das erhaltene Instrument war nicht mehr ganz tadellos. Die aus mehreren Brettern zusammengefügte Tischplatte klaffte etwas auseinander und die beiden Teile lagen nicht mehr genau in einer Ebene. Doch sind die hieraus entstandenen Fehler verschwindend. Im folgenden werde ich Gelegenheit haben, einige Verbesserungen zu erwähnen, welche die Brauchbarkeit des Instruments noch erhöhen würden. Mit den Peiltischaufnahmen bin ich sehr zufrieden. Da der Erfolg zeigt, daß das Verfahren weitere Verbreitung verdient, will ich es genauer beschreiben. Es ist nichts anders als eine vereinfachte Meßtischaufnahme.

Papier.

Auf der Tischplatte wird das Papier für die Aufnahme mit Heftnägeln festgesteckt und mit der Platte im Segeltuchfutteral aufbewahrt. Eine nicht unerhebliche Fehlerquelle scheint das nachträgliche Sichverziehen des Papiers zu sein. Da verschiedene Papiere sich hierbei verschieden verhalten, wird schon die Wahl der Papiersorte nicht gleichgültig sein. Doch stehen mir hierfür keine Erfahrungen zu Gebote. Vermutlich verzieht sich geleimtes Papier weniger als ungeleimtes, dagegen ist letzteres zum Zeichnen geeigneter. Das Rollen und Wiederaufspannen des Papiers wirkt jedenfalls ungünstig. Deshalb nehme man von vornherein Blätter im Format der Tischplatte mit und bewahre sie nicht

gerollt, sondern in einer Mappe eben auf, desgleichen die vollendeten Blätter. Bei Meßtischaufnahmen wird, um das Verziehen möglichst zu vermeiden, die Tischplatte schon lange vorher mit Papier bespannt, und zwar durch Aufkleben am Rand. Auf der Reise wird ein Blatt meist nur kurze Zeit benutzt, dann muß ein neues heran. Oftmals muß die Arbeit an einem Blatte unterbrochen und ein neues aufgespannt werden, während das erste viel später vollendet wird. Das kunstgerechte Aufspannen wird daher in der Regel nicht zugänglich sein, weil man dazu eine ganze Anzahl Tischplatten mitnehmen müßte. Man ist also auf das Aufstecken des Papiers angewiesen. Doch lasse man das Blatt so lange als möglich aufgesteckt. Eine gewisse Kontrolle über das Verziehen des Papiers während und nach der Aufnahme wird man erhalten, wenn man zu Beginn der Arbeit mit einem Maßstab eine bestimmte möglichst lange Strecke in zwei aufeinander senkrechten Richtungen auf das Blatt aufträgt. Stellt sich später heraus, daß die Strecke sich um einen bestimmten Betrag verkürzt oder verlängert hat, so kennt man die eingetretene Verzerrung des Papiers.

A. Die Aufnahme. Mathematische Grundlagen. Die Triangulation.

Standpunkt I.

Zunächst wähle ich einen möglichst von fernher erkennbaren Übersichtspunkt aus, die höchste Spitze eines Berges oder dergleichen, auf dem die Aufnahme beginnen soll. Nennen wir ihn Standpunkt I. Hier wird der Peiltisch mit Hilfe der Dosenlibelle horizontal aufgestellt. Es ist darauf zu achten, daß das Stativ während der Aufnahme feststeht. Man hüte sich sehr, daran zu stoßen und ziehe die Schrauben der Stativbeine fest an. Ferner darf sich die Tischplatte nicht drehen, weil sonst die Winkel falsch gepeilt würden. Deshalb muß man die Schraube, welche den Tisch auf dem Stativ festhält, stark anziehen. Es wäre vorteilhaft, wenn er durch eine weitere, exzentrisch an der Stativscheibe anzubringende Schraube festgeklemmt werden könnte.

Nach vollendeter Aufstellung setze ich die Lage des Standpunktes auf dem Blatt fest. Je nachdem ich die Gegend mehr nach einer Seite oder ringsum bis zu gleicher Entfernung auf das Blatt zu bringen wünsche, muß er mehr am Rand oder in der Mitte liegen. In diesen Fixpunkt wird eine Nadel senkrecht eingesteckt, an der das Diopterlineal bei allen Peilungen anliegen muß. Dies wird erreicht, indem man das Lineal beim Einstellen des Diopters leicht

gegen die Nadel andrückt. Das Lineal hat eine kleine Kerbe von der halben Dicke der Nadel. Liegt die Kerbe an der Nadel an, so geht die Ziehkante genau durch den Mittelpunkt des Nadelstiches. Man muß daher den Peilstrich mit scharf gespitztem, hartem Bleistift hart an der Kante ziehen. Verwendet man eine zu dicke Nadel, oder liegt das Lineal nicht in der Kerbe an, so wird der Strich exzentrisch, er läuft nicht durch die Mitte des Nadelstiches. Man kann diesen Fehler dadurch vermeiden, daß man die Bleistiftspitze in geeignetem Abstand an der Ziehkante entlang führt. Da die Kerbe in der Mitte des Lineals liegt, lassen sich nur Strahlen von der halben Länge des Lineals ziehen. Will man die ganze Länge ausnutzen, so muß man das dem Auge benachbarte Ende des Lineals an die Nadel anlegen. Es wäre daher zweckmäßig, hier die Kerbe oder eine zweite Kerbe für die Nadel anzubringen.

Mit dem Diopter kann man nur Objekte anvisieren, die nicht allzu weit von der Ebene des Tisches, d. h. von der Horizontalebene des Standpunkts, entfernt sind. Um auch hohe Bergspitzen anpeilen zu können, die weit über diese Ebene emporragen, ist an dem Diopterarm mit dem Spalt, der dem Auge zunächst liegt, ein zweites Diopter angebracht, mit welchem man durch Aufklappen des Arms nach beliebigen Höhen visieren kann. Ich habe bei meinen Aufnahmen dieses „Bergdiopter“ kaum benutzt. Da ich von den höchsten Bergen die Gegend aufzunehmen pflegte, habe ich vielmehr ein „Taldiopter“ oft vermißt, mit dem man Objekte unter der Ebene des Horizontes anpeilen könnte. Ein solches ließe sich an dem Diopterarm mit dem Faden, der vom Auge entfernt ist, ohne Schwierigkeit anbringen. Da es den bisherigen Instrumenten fehlt, half ich mir mit einem Lot, etwa der an der Kette aufgehängten Taschenuhr. Damit bestimmte ich einen Punkt, der von meinem Standpunkt gesehen senkrecht über dem Objekt in geeigneter Höhe lag. Diesen peilte ich statt des gewünschten an. Natürlich ist dies nur ein Notbehelf. Die Peilung wird ungenau. Indes, wenn man steil bergab peilen muß, so ist ja das Objekt nicht weit entfernt und daher ist der Schaden nicht groß.

Mit dem Diopter peile ich ringsum alle bemerkenswerten Punkte an. Ich erhalte dadurch auf dem Peilblatt ein Strahlenbüschel, welches die Winkel, d. h. die Azimutdifferenzen der angepeilten Punkte, vom Standpunkt aus darstellt. Das Azimut, die wahre Richtung, ist noch unbekannt. Um dafür von vornherein einen Anhalt zu gewinnen, habe ich jedesmal mit dem Kompaß auch die magnetische Nordsüdrichtung auf dem Blatte eingezeichnet. So

erhielt ich später auch die magnetischen Deklinationen meiner Standpunkte. Das Wichtigste für die weitere Verwertung dieser Winkelmessungen ist, daß man sowohl den Standpunkt als auch die einzelnen Strahlen so genau bezeichnet, daß eine Verwechslung ausgeschlossen ist und man die Objekte von anderen Standpunkten aus wiedererkennt. Nur selten ist es möglich und für die Wiedererkennung ausreichend, daß man an die einzelnen Strahlen die Namen der Objekte hinschreibt. Ich lasse vorläufig dahingestellt, wie die Bezeichnung der Strahlen dann geschehen kann.

Standpunkt II.

Für die weitere Aufnahme wähle ich unter den von I aus angepeilten Punkten einen Standpunkt II. Dort stelle ich den Peiltisch so auf, daß der seinerzeit von I nach II gezogene Strahl wieder in diese Richtung fällt. Zu diesem Zweck lege ich das Diopterlineal an den Strahl an und drehe dann die Tischplatte so lange, bis ich den Punkt I in der Zielrichtung des Diopters erblicke. Dann erst klemme ich sie fest. Alle von I gezogenen Strahlen liegen nun parallel zu ihrer ursprünglichen Richtung. Auf den Strahl I II bestimme ich jetzt den Punkt II. Kenne ich die Entfernung I II, so kann ich einen bestimmten Maßstab, z. B. 1 : 100 000 wählen. Damit ist der Abstand der Punkte I und II auf dem Zeichenblatt gegeben. In diesem Abstand von I stecke ich auf dem Strahl I II die Nadel auf. Sie bezeichnet Punkt II. Gewöhnlich aber kenne ich nicht die Entfernung. Wenn ich nun den Punkt II willkürlich auf den Strahl I II festsetze, so ist der Abstand I II auf dem Blatt und somit der Maßstab der Karte bestimmt, jedoch kenne ich ihn vorläufig nicht. Ich wähle den Abstand I II willkürlich so groß, daß das gewünschte Gelände auf das Peilblatt kommt. Nach vorläufiger Festsetzung des Punktes II peile ich einige der äußersten Punkte an, die noch auf das Blatt kommen sollen. Fallen die Schnittpunkte der Peilstrahlen mit den von I nach denselben Objekten gezogenen Strahlen noch in angemessenem Abstand vom Rand auf das Blatt, so ist der Punkt gut gewählt. Andernfalls verkleinere oder vergrößere ich den Abstand I II.

Nach endgültiger Festsetzung des Punktes II auf dem Kartenblatt werden alle die von I angepeilten Objekte, die ich wiedererkennen kann, wiederum angepeilt. Der Deutlichkeit wegen ziehe ich die Peilstrahlen nicht ganz aus, sondern jeweils nur das Stückchen, das den von I nach demselben Objekt gezogenen Strahl schneidet. Die Schnittpunkte stellen die angepeilten Objekte in richtiger gegenseitiger Lage dar. (Prinzip des Seitwärts-Ein-

schneidens.) Denn da die von II gezogenen Strahlen mit denen der Natur zusammenfallen, die von I gezogenen denen der Natur parallel sind, so sind alle Figuren denen der Natur ähnlich. Nur den Maßstab der Karte kenne ich noch nicht. Außer den früher angezielten, peile ich auch noch andere wichtige Punkte an, auch solche, die nicht mehr auf das Kartenblatt fallen. Gerade diese können sogar sehr wichtig werden. Bei allen neu hinzukommenden Punkten kommt es wiederum auf genaue Bezeichnung der Strahlen an.

Standpunkt III.

Punkte, die annähernd in der Verbindungslinie I II oder ihrer Verlängerung liegen, sind durch die bisherigen Peilungen nicht oder durch sehr spitzwinklige Schnitte nur mangelhaft bestimmt. Um sie festzulegen sowie zur Kontrolle der bisherigen Messungen, wähle ich tunlichst noch einen Standpunkt III, der nicht in der Geraden I II liegt. Am günstigsten ist es, wenn er mit I und II etwa ein gleichseitiges Dreieck bildet. Selten wird sich gerade ein so günstig gelegener Punkt darbieten. Denn noch wichtiger ist, daß der Punkt gewisse topographische Anforderungen erfüllt. Er muß scharf erkennbar und ein guter Übersichtspunkt sein, ferner muß er von I und II bereits angepeilt sein, so daß ich seine Lage auf dem Kartenblatt kenne, dessen Maßstab ja bereits bestimmt ist. Wenn ich nun in III wie vorher in II den Tisch in die richtige Richtung drehe und dann wieder die früheren Punkte anpeile, so müssen sich die drei nach demselben Objekt gezogenen Strahlen jeweils in einem Punkte schneiden.

Bei meinen Aufnahmen hat dies immer gut gestimmt, wenn der angepeilte Gegenstand ein „guter Punkt“, d. h. von überall scharf erkennbar war, so daß von jedem Standpunkt genau derselbe Punkt angepeilt wurde. Dagegen bei schlechten Punkten, z. B. flachen Bergkuppen war der angepeilte Punkt nicht von allen Standpunkten scharf erkennbar. Da kam es leicht vor, daß von den verschiedenen Standpunkten etwas verschiedene Stellen der Kuppe gepeilt wurden, und daß die Peilstrahlen sich nicht in einem Punkt, sondern in einem kleinen Dreieckchen schnitten. Ohne Aufstellung von Signalen ist dies nicht zu vermeiden. Die genaue Übereinstimmung bei den guten Punkten zeigt aber, daß die Methode auch den besten Kompaßpeilungen an Genauigkeit weit überlegen ist.

Als Standpunkt III kann ich auch einen beliebigen, noch nicht vorher angepeilten Punkt wählen, wenn mindestens drei Punkte, A, B und C, schon auf dem Blatte festgelegt sind. Es gilt dann,

die Lage des Standpunktes auf dem Blatt durch „Rückwärtseinschneiden“ zu bestimmen.¹⁾ Ich stelle den Tisch in dem gewählten Punkt auf und orientiere ihn roh nach Schätzung oder mit dem Kompaß. Wäre er richtig orientiert, so würden, wenn ich in A, B und C die Nadel einstecke und von diesen Punkten des Blattes den entsprechenden Punkt des Geländes anpeile, die rückwärtigen Verlängerungen dieser Peilstrahlen sich in einem Punkte schneiden und dieser Punkt wäre das Abbild des Standpunkts. Ist der Tisch nicht ganz richtig orientiert, so erhalte ich statt des Schnittpunkts ein kleines Dreieck, das sogenannte fehlerzeigende Dreieck. Dann drehe ich den Tisch ein wenig, wiederhole die Peilungen und erhalte ein anderes fehlerzeigendes Dreieck. Die Verbindungslinien entsprechender Eckpunkte der fehlerzeigenden Dreiecke schneiden sich in einem Punkte und dieser ist das gesuchte Abbild des Standpunkts. Es kommt daher keineswegs darauf an, schon vorher möglichst genau zu orientieren, um möglichst kleine Dreiecke zu erhalten. Dagegen ist es gut, durch geeignete Drehung zwei solche Dreiecke zu erzeugen, die den gesuchten Punkt zwischen sich einschließen. Nur wenn der Standpunkt innerhalb des Dreiecks der Punkte A, B, C liegt, fallen die beiden fehlerzeigenden Dreiecke ineinander. Das ist der günstigste Fall.

Man kann den Standpunkt auch dadurch rückwärts einschneiden, daß man über dem Peilblatt ein Stück Pauspapier festheftet, von einem beliebigen Punkte X des Pauspapiers die Objekte A, B und C anpeilt, das Pauspapier loslöst und so lange auf dem Peilblatt verschiebt, bis die Strahlen durch die Bildpunkte A, B und C gehen. Die Lage des Punktes X gibt dann das Abbild des Standpunkts, das man mit der Nadel auf das Peilblatt durchsticht. Diese Methode dürfte nur dann vorzuziehen sein, wenn man keine besonders günstigen Punkte A, B, C, aber noch andere Punkte zur Verfügung hat. Dann kann man mehr als drei Punkte anpeilen und beim Suchen der Lage von X läßt sich ein gewisser Ausgleich zwischen den verschiedenen, nicht scharf stimmenden Peilungen erzielen.

Ist das Abbild des Standpunkts gefunden, so wird der Tisch genau orientiert und wie sonst weiter gepeilt.

Ob nun Punkt III schon von I und II aus gepeilt war, oder durch Rückwärtseinschnitt gefunden wurde, in beiden Fällen ist seine Lage auf dem Blatt mit den Fehlern der ihn bestimmenden Peilungen behaftet. Deshalb muß man ihn durch mög-

¹⁾ Jordan, Handbuch der Vermessungskunde. Bd. II, Feld- und Landmessung. 6. Aufl. Stuttgart 1904, S. 778 bis 781.

lichst sichere Peilungen festzulegen suchen. Entweder wählt man daher einen „guten Punkt“ unter den von I und II gepeilten aus, oder man sucht ihn durch Rückwärtseinschneiden nach „guten“ Punkten zu ermitteln. So lange man ohne Signale arbeitet und daher mit topographisch schlechten Punkten rechnen muß, kommt es vielmehr darauf an, für die grundlegenden Punkte topographisch gute Punkte zu wählen, als solche, die eine mathematisch günstige Lage haben. Denn die durch spitze Schnitte an topographisch guten Punkten entstehenden Fehler sind nach meiner Erfahrung viel geringer als die durch schlechte Punkte hervorgerufene, dadurch, daß von den verschiedenen Standpunkten nicht genau derselbe Punkt angepeilt wurde.

Anschluß benachbarter Blätter.

Ist die Aufnahme eines Blattes vollendet, so kommt die angrenzende Gegend an die Reihe. In derselben Weise wie vorher werden die Standpunkte für die Triangulation ausgewählt. Es kommt nicht darauf an, daß das nächste Blatt genau an das vorige anschließt. Meistens wird es sogar zweckmäßig sein, daß es übergreift. Dagegen dürfen keine Lücken zwischen den Blättern bleiben, wenn man auf ununterbrochene Aufnahme der Topographie Wert legt. Es sei hierbei bemerkt, daß durch weitreichende Peilungen der mathematische Anschluß wohl gewahrt sein kann, ohne daß dazwischen die ganze Fläche aufgenommen wird. So wird nach und nach auf anschließenden Blättern ein immer größeres Gebiet aufgenommen. Natürlich kann es der Reiseweg mit sich bringen, daß ein in einem Standpunkt begonnenes Blatt nicht sogleich, sondern erst nach Herstellung zahlreicher anderer Blätter von einem II. und III. Standpunkt vollendet wird. Um so sorgfältiger müssen alle Strahlen bezeichnet werden.

Der Maßstab der Blätter ist willkürlich, jeweils nach den Bedürfnissen der Gegend gewählt und daher — wenn nicht ein ganz besonderer Zufall eintritt — auf allen verschieden. Überdies ist er bei allen noch unbekannt. Es kommt darauf an, die Blätter aneinander anzuschließen. Am einfachsten geht dies, wenn jedes neue Blatt mit der bisherigen Aufnahme mindestens zwei Punkte oder was dasselbe ist, eine Strecke gemeinsam hat. Es ist nicht nötig, daß die Punkte wirklich auf den Blättern verzeichnet sind, es können auch Schnittpunkte von Strahlen sein, die sich erst außerhalb des Kartenblattes schneiden. Aber sie müssen in ihrer Lage relativ zu den anderen Punkten des Blattes bestimmt sein. Die gemeinsame Strecke gibt das gegenseitige Verhältnis der Maßstäbe und

der Richtungen auf beiden Blättern an. Wenn ich das eine Blatt auf den (absolut unbekanntem) Maßstab des andern vergrößere oder verkleinere und dann die gemeinsame Strecke zur Deckung bringe, so befinden sich alle Punkte der beiden Blätter in richtiger gegenseitiger Lage. Je größer die gemeinsame Strecke ist, um so genauer können die Maßstäbe aufeinander reduziert, die Blätter an einander angeschlossen werden. Schon deshalb sind für den Anschluß Fernpeilungen, die über den Rand des Blattes hinausfallen, von großer Bedeutung.

Der Anschluß kann aber auch ohne gemeinsame Punkte, nur durch Peilungen geschehen. Wenn von einem Punkt A des anzuschließenden Blattes Strahlen nach drei Punkten gehen, die durch die übrige Aufnahme fixiert sind, so ist damit nicht nur die Lage von A bestimmt, sondern auch die Richtung aller von A ausgehenden Peilstrahlen. Geht nun noch von einem andern Punkt B des Blattes, welcher auf dem Peilstrahl A B liegt, ein Strahl an einen schon festliegenden Punkt, so ist auch die Lage von B bestimmt und damit der Maßstab, auf welchen das Blatt beim Anschluß zu reduzieren ist. So lassen sich noch weitere Fälle denken. Natürlich sind diese Rückwärtseinschnitte nur dann praktisch verwertbar, wenn die Winkel nicht zu spitz sind. Hat man mehr Peilungen, als zum Anschluß erforderlich sind, so lassen sich die übrigen zum Ausgleich von Fehlern verwenden, sei es auf graphischem oder auf rechnerischem Wege. Auch aus diesem Grunde empfiehlt es sich, zahlreiche Fernpeilungen in jedes Blatt aufzunehmen.

Trigonometrisches Netz.

Wenn man genötigt wäre, mosaikartig Blatt an Blatt zu setzen, so würde, auch bei genauer Aufnahme der Blätter, die so konstruierte Karte große Fehler zeigen, da sich die kleinen Fehler summieren. Man muß deshalb von vornherein sein Augenmerk darauf richten, durch ein möglichst weitmaschiges Triangulationsnetz die Gegend zu überspannen, in welches dann die übrigen Aufnahmen als Kleintriangulation eingepaßt werden können. Auch dies kann mit dem Peiltisch erreicht werden, indem man stets auch recht ferne Punkte anpeilt. Bei der rohen Aufnahme ohne Signale sind ferne Punkte meist viel günstiger als nahe, weil z. B. ein Berggipfel, der aus der Nähe als Kuppe ohne deutlichen Zielpunkt erscheint, aus der Ferne klein genug aussieht, um scharf angepeilt werden zu können. Die Zielungen nach Fernpunkten werden daher verhältnismäßig genau. Es wäre nicht zweckmäßig, dieses weite Netz auf einem Blatt aufnehmen zu wollen, weil dann die Dreiecksseiten zu

klein würden und die Winkel nicht genau genug gemessen werden könnten. Man ziele vielmehr bei der gewöhnlichen Aufnahme auch ferne Punkte an und ziehe diese Strahlen möglichst lang bis zum Rand des Blattes aus. Unbedingt nötig aber ist es, eine Übersicht über die Triangulation zu gewinnen. Es ist dies um so notwendiger, als man nicht nach einem vorher bestimmten Plane arbeiten kann, sondern der Plan erst während der Arbeit entsteht. Für die Übersicht genügt eine ganz rohe aus freier Hand gezeichnete Situationsskizze der Punkte. Diese aber versäume man ja nicht, denn nur durch eine solche Übersicht erhält man Rechenschaft darüber, ob die ausgeführten Peilungen zur Konstruktion oder Berechnung des Netzes ausreichen, oder ob noch wesentliche fehlen oder als Ergänzung wünschenswert sind.

Bei meiner Aufnahme habe ich die Winkel dieses Hauptnetzes mit einem kleinen Hildebrand'schen Reisetheodoliten Nr. 2348 gemessen und dadurch wesentliche Verbesserungen erzielt. Einmal läßt sich mit dem Theodolit überhaupt genauer messen, als mit dem Peiltisch, zweitens vermeidet man die so wesentliche Fehlerquelle der Papierverzerrung. Doch braucht man sehr viel mehr Zeit als mit dem Peiltisch. Ausdrücklich möchte ich deshalb hervorheben, daß eine solche Triangulation auch ohne Theodolit, nur mit dem Peiltisch, der Wegaufnahme weit überlegen ist.

Eine noch ausgiebigere Benutzung des Theodolits, etwa statt des Peiltischs für die Kleintriangulation hätte die Genauigkeit nicht erhöht. So lange man ohne Signale arbeiten muß, kann ja, wie gesagt, häufig nicht einmal die Genauigkeit des Diopterlineals völlig ausgenützt werden. Es wäre also sinnlos, einen genaueren Apparat zu verwenden, mit dem die Arbeit viel zeitraubender ist. Außerdem hätte ich mich dadurch des größten Vorteils der Peiltischaufnahmen beraubt, der klaren Übersicht über die Topographie.

B. Einzeichnung der Situation und des Geländes.

Die Peiltischaufnahme bietet nicht nur durch die Triangulation eine viel genauere mathematische Grundlage, als die Wegaufnahme, sondern ihr Hauptwert liegt darin, daß die Topographie besser und gleichmäßiger dargestellt werden kann. Bei der Wegaufnahme können innerhalb eines schmalen Bandes längs des Weges mannigfache Einzelheiten angegeben werden, außerhalb des Bandes aber kaum das Wichtigste. Ein Überblick, ein topographischer Zusammenhang über die ganze Fläche hin wird selbst bei ziemlich dicht verlaufenden Marschlinien

meist nicht gewonnen. Die Peiltischaufnahme aber geht von vornherein darauf aus, die ganze Fläche zusammenhängend zu überblicken und aufzunehmen und verzichtet lieber auf Einzelheiten.

Schon dadurch, daß der Aufnehmer auf Aussichtspunkte sich begeben muß, gewinnt er einen guten Überblick über die Landschaft und das Geschaute kann er auf dem Peilblatt bequem niederlegen. Wenn ich erst die gegenseitige Lage etlicher über die Gegend verteilter Punkte auf dem Papier festgelegt habe, so vermag ich es unschwer, zwischen diesen Punkten die ganze Topographie einzutragen. Genau richtig werden hierbei nur die durch Peilungen festgelegten Objekte zu liegen kommen, die dazwischenliegenden können nur schätzungsweise eingezeichnet werden. Doch ist es um so leichter, ihre Lage annähernd richtig zu treffen, als ja von hohen Übersichtspunkten aus die Gegend schon fast wie eine Landkarte vor dem Beobachter liegt. Er braucht nur dieses perspektivische Bild in die Kartenprojektion auseinanderzuziehen und zwar derart, daß die Abbilder der schon festgelegten Objekte auf den entsprechenden Punkten des Peilblatts festgenagelt werden. Außerdem kann jeder beliebige Punkt des Geländes seiner Richtung nach durch eine Peilung festgelegt werden. Nur seine Lage auf dem Peilstrahl, sein Abstand vom Standpunkt bleibt der Schätzung überlassen. Diese Schätzung ist nicht schwer, wenn benachbarte Punkte schon festliegen. Es empfiehlt sich namentlich, die vom Standpunkt aus äußersten Punkte einer Grenzlinie anzupeilen. D. h. man zieht die Tangente an die Linie, z. B. an eine Flußkrümmung, ein Seeufer, einen Bergfuß, einen Waldrand u. dgl. und weiß damit, daß die Grenze an keiner Stelle über diesen Peilstrahl hinausgehen darf.

So gewinnt man bei der Peiltischaufnahme gleich an Ort und Stelle eine in den Lagenverhältnissen richtige Karte der Gegend.

Arbeitsweise im Aufnahmepunkt.

Die richtige Einzeichnung von Situation und Gelände ist allerdings erst möglich, nachdem man bereits von zwei Standpunkten aus die Gegend bepeilt und dadurch eine Anzahl von Punkten festgelegt hat, also erst von Standpunkt II aus, nicht von Standpunkt I. Um auch die topographischen Beobachtungen von Standpunkt I, d. h. so oft ich ein neues Peilblatt begann, festzuhalten und kartographisch zu verwerten, habe ich folgendermaßen gearbeitet.

1. Ich zeichnete ein Rundpanorama. Das Zeichnen wird dadurch sehr erleichtert, daß man

das Zeichenheft auf den Peiltisch auflegen kann. Man kann auch das Panorama auf ein besonderes Peilblatt zeichnen, auf welchem man erst die Peilstrahlen zieht und dann die Landschaft ringsum abzeichnet, so daß die Objekte durch ihre Peilstrahlen gehen. Oskar Baumann hat diese Methode häufig angewandt. Wenn man aber vollständige Karten entwirft, wie bei der Triangulation mit dem Peiltisch, so daß die Zeichnung nicht zur Messung zu dienen braucht, dann ist es für einen halbwegs geübten Zeichner vorzuziehen, das Panorama gesondert zu zeichnen. Es entsteht dann ein natürlicheres Bild, meist auch in größerem Maßstabe, als wenn das ganze Panorama im Kreise auf dem Peilblatt angeordnet ist.

2. Ich peile alle wichtigen Punkte an. An die Peilstrahlen werden dieselben Buchstaben oder Namen geschrieben, wie in dem Panorama. Damit sind die Peilstrahlen unzweifelhaft bezeichnet und ich kann die Objekte nach der Panoramazeichnung in der Natur wiedererkennen. Wenn etwa die Zeit für ein Rundpanorama nicht ausreicht, so zeichne ich wenigstens die angepeilten Gegenstände ab, um sie sicher wiederzuerkennen, denn das ist ja für die mathematische Grundlage unbedingt notwendig.

3. In das begonnene Peilblatt zeichne ich die ganze Topographie als Kartenskizze ein. Da Punkte darauf noch nicht festgelegt sind, so kann ich die Gegenstände nur der Richtung nach genau eintragen, die Abstände muß ich schätzen. Immerhin bieten die Peilstrahlen soviel Anhaltspunkte, daß das Kroki viel leichter und richtiger gelingt, als wenn ich es ohne vorgezeichnete Peilstrahlen auf ein weißes Blatt zeichnen würde. Man tut gut, zunächst die Hauptpunkte in den gepeilten Richtungen und geschätzten Entfernungen (die Entfernungen brauchen nur relativ zu einander, nicht absolut geschätzt zu werden) einzutragen, dann läßt sich zwischen den schätzungsweise fixierten Punkten das Gelände ebenso einzeichnen, wie wenn sie durch Peilungen festlägen. Ich zeichne Situation, Gelände, Vegetationsbedeckung ein, alles was charakteristisch ist. Welche Signaturen ich verwende, ist natürlich gleichgültig. Das Gelände pflegte ich in Formenlinien (Gefühlsisohypsen) wiederzugeben. Bei den eingehendsten und besten Peilblättern im Hochland der Riesenkrater habe ich schon bei der Aufnahme versucht, das Gelände in äquidistanten Gefühlsisohypsen darzustellen, indem ich mir vorstellte, wie im Gelände die Isohypse um den Berg herum lief. So ist das Originalblatt des Elancirobikraters mit Gefühlsisohypsen in 50 m Abstand, das von Ngorongoro und das des ganzen Winterhochlandes mit

100 m Abstand der Formenlinien gezeichnet. Für die Vegetationsformationen verwandte ich dieselben Farben, wie in den Panoramazeichnungen. So habe ich erreicht, daß ich auf meiner Karte überall die Grenzen der Vegetationsformationen eintragen kann. Durch die Einzeichnung des Geländes wird das Blatt für weitere Peilungen von andern Standpunkten aus unbrauchbar. Denn wollte ich es in einem Standpunkt II wieder benutzen, so würden die Schnittpunkte der Peilstrahlen nicht mit der vorher schätzungsweise angenommenen Lage der Punkte übereinstimmen. Ich muß deshalb

4. auf einem besonderen Blatt noch einmal sämtliche Peilungen wiederholen, um dieses später zu verwenden. Hierbei muß ich genau peilen und auch möglichst Fernpeilungen aufnehmen. Bei dem vorigen Blatt, das nur zur bequemeren Zeichnung der Kartenskizze dient, kann ich des Zeitgewinns halber mich mit flüchtigen Peilungen begnügen.

5. Hat man von einem Übersichtspunkt aus sowohl eine weite Fernsicht als auch eine an Einzelheiten reiche nähere Umgebung aufzunehmen, so läßt sich dies auf einem Kartenblatt schlecht ausführen. Man muß dann zwei Kartenskizzen zeichnen, eine in kleinem Maßstab für die Ferne, eine in großem für die Nähe.

6. Höhenmessung und -Schätzung: Die Höhe des Standpunkts wird barometrisch mit dem Aneroid, bei wichtigeren Punkten mit dem Siedethermometer bestimmt. Um eine Übersicht über die übrigen Höhenverhältnisse zu gewinnen, schätze ich die Höhen zahlreicher Punkte relativ zum Standpunkt. Schätzt man die Höhe desselben Punktes von mehreren ihrer Höhe nach bekannten Standpunkten aus, so kann man durch Ausgleich ganz gute Ergebnisse erhalten, besonders wenn die Höhe des geschätzten Punktes zwischen den Höhen der Standpunkte eingeschlossen ist. Auch die Messung von Höhenwinkeln mit Neigungsmessern dürfte sich für nicht zu weit entfernte Gegenstände empfehlen, doch habe ich sie praktisch nicht erprobt. Die gemessenen Winkel oder geschätzten relativen Höhen trägt man ins Rundpanorama, auf die Kartenskizze oder in eine besondere Tabelle ein, mit Angabe des Standpunkts, auf den sie bezogen sind.

Zu diesen Arbeiten kommt unter Umständen noch:

7. Die Messung der wichtigsten Horizontalwinkel, besonders des Hauptnetzes, sowie auch von Höhenwinkeln mit dem Theodolit. Doch halte ich eine ausgiebige Aufnahme der Topographie für wichtiger als den größeren Grad der Genauigkeit, der sich hierdurch erzielen läßt.

8. Photogrammetrische Aufnahmen können eine sehr wesentliche Verbesserung sein. Ich habe sie nicht angewandt.

9. Um die topographischen Namen, die ich erfahren kann, festzuhalten, lege ich mir eine besondere Tabelle im Notizbuch an, die angibt, welchen Buchstabensignaturen die und die Namen entsprechen. Dies empfiehlt sich umso mehr, als man die Namen meist erst nach mehrmaligem Fragen verschiedener Leute einigermaßen zuverlässig erfährt.

In dieser Weise spielt sich auf allen Aufnahme-punkten die Arbeit ab. Auf Standpunkt II und III eines Blattes vereinfacht sie sich nur insofern, als für die Peilungen und die Geländezeichnung nicht gesonderte Blätter erforderlich sind, sondern, nachdem die Punkte festliegen, die Topographie gleich in das Peilblatt eingezeichnet werden kann. Man hat also eine Fülle von Arbeit. Um sie auf einem guten Übersichtspunkt einigermaßen vollständig auszuführen, ist ein strammes Tagewerk erforderlich. Ich hielt deshalb stets darauf, daß ich auf den Hauptpunkten genügend Zeit hatte, indem ich das Lager möglichst hoch am Berge vorschob, um von morgens früh bis gegen Sonnenuntergang arbeiten zu können. In einzelnen Fällen habe ich an zwei aufeinanderfolgenden Tagen den Gipfel besucht (Loolmalassin, Dili). Es ist dies wirklich keine Zeitvergeudung. Die Übersicht von den Gipfeln ist die beste und wichtigste Arbeit des Geographen. Es waren immer die erfolgreichsten Tage der Reise, die ich zu solchen Aufnahmen von Übersichtspunkten aus verwenden konnte.

Nachträgliche Ergänzung im Lager.

So sehr es sich empfiehlt, möglichst viel an Ort und Stelle zu vollenden, so wird es doch nötig sein, im Lager in aller Ruhe die letzte Hand an das Blatt zu legen. Vor allem ziehe man die Peilstriche mit Ziehfeder und mit Tusche nach, damit diese Grundlage für die spätere Konstruktion der ganzen Karte nicht verwischt wird. Auch die Topographie mit Tusche auszuzeichnen, wird sich in der Regel nicht verlohnen, denn hierbei schadet es nichts, wenn auch die Striche etwas weniger scharf werden. Wohl aber wird sich manches, was im Gelände nur roh angedeutet werden konnte, jetzt noch klarer zeichnen lassen. Später wären die rohen Andeutungen vielleicht nicht mehr recht verständlich. Schließlich versäume man nie, das Peiltischblatt und die Panoramazeichnungen mit allen nötigen Hinweisen zu versehen über Ort und Zeit der Aufnahme, Anschluß an Nachbarblätter und über das Material, was sonst noch zu diesem Blatt gehört (Höhen- und

Namentabellen, Zeichnungen, Photographien, Theodolitaufnahmen, Wegaufnahmen derselben Gegend, Notizen).

C. Maßstab, absolute Lage, Orientierung.

Aus dem durch die Triangulation gewonnenen Material lassen sich alle Punkte in ihrer gegenseitigen Lage konstruieren, aber noch fehlt der Karte dreierlei: der Maßstab, die Festnagelung in einem bestimmten Punkt der Erdoberfläche und die Orientierung nach der Himmelsrichtung. Alle diese unerläßlichen Daten können nur durch andere Messungen gewonnen werden, die von der Triangulation unabhängig sind und auf die ich deshalb nur kurz hinweise.

Anschluß.

Am einfachsten ist es, wenn andere diese Messungen schon ausgeführt haben und der Forschungsreisende seine Triangulation an Punkte anschließen kann, die bereits mit einer der Triangulation entsprechenden Genauigkeit nach geographischer Länge und Breite bekannt sind. Dann genügt es, zwei bekannte Punkte, die in möglichst großem Abstand liegen, durch Peilungen an die Triangulation anzuschließen, derart, daß ihre Lage relativ zu den übrigen Punkten der Triangulation bekannt ist. Die Entfernung dieser beiden Fundamentalpunkte gibt den Maßstab, das Azimut ihrer Verbindungslinie die Orientierung und ihre nach Länge und Breite bekannte Lage den Ort auf der Erdoberfläche. Kann man an mehrere Punkte anschließen, so ist es um so besser.

Ist ein solcher Anschluß nicht möglich, so muß der Aufnehmer selbst die Messungen vornehmen, um die grundlegenden Daten zu erhalten. Aber auch wenn er sein Netz anschließen kann, ist dies zur Kontrolle sehr vorteilhaft, es sei denn, daß der Anschluß an zahlreiche, durchaus gut festliegende Punkte so sicher geschieht, daß eine erneute Messung überflüssig ist. Meine Triangulation habe ich einerseits an die Vermessung der Nordgrenze von Deutsch-Ostafrika angeschlossen, andererseits durch eine Basismessung gestützt (s. Abschnitt V und VI).

Maßstab.

Um zunächst den Maßstab zu gewinnen, ist eine Basismessung erforderlich. In ebenem Gelände kann sie mit einem Meßband, in unebenem mit Meßlatte, Wasserwage und Lot in einer für die Zwecke der graphischen Triangulation durchaus hinreichenden Genauigkeit ausgeführt werden, ohne die zeitraubenden besonderen Kniffe, die für feinere Basismessungen erforderlich sind. Dabei bedenke man,

daß es vorteilhafter ist, die doppelte Basislänge mit der halben Genauigkeit zu messen, als umgekehrt. Der Anschluß an das Triangulationsnetz geschieht wiederum durch eine kleine Triangulation, die graphisch mit dem Peiltisch oder mit größerer Genauigkeit mit dem Theodolit ausgeführt werden kann. In beiden Fällen sind Signale in den Basisendpunkten und nahen Punkten, die zur Übertragung aufs Hauptnetz eingeschaltet werden, nicht zu entbehren. Auch kommt es darauf an, besonders wenn man das rohere Verfahren der graphischen Peilungen anwendet, solche Punkte zur Übertragung auszuwählen, die sich durch möglichst günstige Schnitte der Peilstrahlen scharf bestimmen lassen. Nur dann wird die Verbindung der Basisstrecke mit den Punkten des Hauptnetzes mit hinreichender Genauigkeit erfolgen können.

Orientierung.

Das nächste Erfordernis ist die Festlegung der Himmelsrichtungen. Dazu genügt es, von einem der Standpunkte aus die absolute Richtung der Peilstrahlen, ihr Azimut, zu bestimmen, dann ist das ganze Netz orientiert. Dies geschieht, indem man außer den terrestrischen Objekten zu einer genau anzugebenden Zeit auch ein bestimmtes Gestirn ansteuert. Auch dies kann mit dem Diopterlineal mit hinreichender Genauigkeit ausgeführt werden. Am besten peilt man die auf- oder untergehende Sonne an, weil damit zugleich die Zeit gegeben ist. Wenn man nur mit dem Diopterlineal das Azimut bestimmt, empfiehlt es sich, diese Bestimmung an mehreren Standpunkten auszuführen, um Ungenauigkeiten, besonders die der Zeitangabe, auszugleichen.

Ortsbestimmung.

Soweit können alle Messungen ohne Theodolit ausgeführt werden. Es kann somit auch ein mit der Handhabung des Theodolits und mit astronomischen Messungen nicht vertrauter Aufnehmer eine in sich richtige Karte liefern. Durch eine astronomische Ortsbestimmung nach Länge und Breite erleidet eine solche Karte nur noch eine Parallelverschiebung, keine Veränderung in sich. Ich brauche auf die Ortsbestimmung hier nicht einzugehen. Nur darauf möchte ich noch hinweisen, daß sich die Basismessung ersetzen läßt durch genaue astronomische Bestimmung zweier möglichst weit voneinander entfernten Punkte des Triangulationsnetzes. Da die Bestimmung der geographischen Länge schwierig ist, so ist diese Methode nur beschränkt verwendbar, besonders wenn man sich für die astronomischen Messungen mit dem üblichen kleinen

Reisetheodolit begnügen muß. Sie kann aber gute Dienste leisten, wenn man zwei Punkte wählt, die etwa nordsüdlich voneinander liegen, mindestens 50 km voneinander entfernt sind und deren gegenseitiges Azimut durch die Triangulation und Azimutmessung bekannt ist.

D. Verwendbarkeit der Peiltischaufnahme.

Die geschilderte Aufnahme mit dem Peiltisch, mit der ich sehr befriedigende Ergebnisse erzielt habe, will die gewöhnliche Wegaufnahme oder andere Aufnahmeverfahren nicht ersetzen, sondern ergänzen. Je nach den Verhältnissen verdient das eine oder andere Verfahren den Vorzug. So lange der Forschungsreisende weite Strecken ziemlich schnell durchreisen muß, ist er auf die Wegaufnahme angewiesen. Doch kann auch hier der Peiltisch ergänzend hinzutreten und große Dienste leisten, ohne daß damit eine regelrechte Triangulation ausgeführt wird. So hat ihn Oskar Baumann verwandt. An Übersichtspunkten werden die Peilungen statt mit dem Kompaß genauer graphisch mit dem Peiltisch ausgeführt. Eine Kartenskizze kann gleich auf dem Peilblatt entworfen werden, so wie sie bei der Triangulation im Standpunkt I auszuführen empfohlen wurde. Je bekannter aber die Erdoberfläche wird, desto mehr kommt es auf eingehendere und über die ganze Fläche zusammenhängende Erforschung beschränkter Gebiete an. Gerade hierfür scheint mir nach meinen Erfahrungen die Peiltischaufnahme sehr geeignet und deshalb glaube ich, daß sie auf Forschungsreisen mehr und mehr Verwendung finden wird. Zwar kann auch in diesem Falle die kartographische Aufnahme geschehen durch kreuz und quer über das Gebiet verlaufende Wegaufnahmen, wie es z. B. v. Prittitz in Deutsch-Ostafrika mit gutem Erfolg getan hat. Oftmals ist dies sogar die einzig mögliche Art der Aufnahme, nämlich überall, wo es an Übersichtspunkten fehlt, in weiten Ebenen oder dicht bewachsenem Gelände. Bietet aber das Gelände hinreichend Übersichtspunkte, so läßt sich die Aufnahme über die ganze Fläche hinweg von diesen aus mit dem Peiltisch viel leichter und in kürzerer Zeit bewerkstelligen, als es durch zahlreiche Wegaufnahmen möglich wäre. Je beherrschender die Übersichtspunkte, desto weiter können die Standpunkte auseinanderliegen, desto schneller kann man große Gebiete aufnehmen, wobei allerdings Einzelheiten mehr und mehr verloren gehen. Mein afrikanisches Forschungsgebiet mit seinen großen Vulkanbergen war in dieser Hinsicht besonders günstig. Liegen die Aufnahmepunkte sehr weit auseinander, so empfiehlt

es sich, daneben noch die Wegaufnahme anzuwenden. Vermöge der zahlreichen Punkte, die durch die Triangulation festgelegt sind und mit dem Kompaß angepeilt werden können, läßt sich eine solche Aufnahme recht genau einpassen. Diese Wegaufnahmen können oftmals dazu dienen, gerade solche Verhältnisse aufzuklären, die man von den hohen und entfernten Übersichtspunkten schlecht erkennen kann, z. B. manche Zusammenhänge des Talnetzes oder den genaueren Verlauf einzelner Täler.

Vorzüge.

Gegenüber einem Netz von Wegaufnahmen hat die Peiltischaufnahme zunächst den Vorteil bedeutend größerer Genauigkeit. Mit dem Dioptrilineal peile ich leicht auf $1/20^\circ$, mit dem Kompaß aus der Hand höchstens auf $1/2^\circ$, auf dem Stativ höchstens auf $1/10^\circ$ genau. Die Längenmessung bei der Wegaufnahme ist vollends unsicher. Wenn sie bei größeren Entfernungen auf 3% richtig wird, ist sie sehr gut. Meine Basis ist auf etwa $1/5000$ genau gemessen, die Fehler in der gegenseitigen Lage der Netzpunkte sind im Vergleich zu denen der Wegaufnahme verschwindend. Während bei Wegaufnahmen starke Verzerrungen eintreten, liegen bei der Peiltischaufnahme über das Gebiet zerstreut Punkte in richtiger gegenseitiger Lage und die Verzerrungen bleiben beschränkt auf die kleinen Flächen zwischen den festen Punkten, in denen das Gelände ohne Messung eingezeichnet ist.

Den Hauptvorteil gegenüber der Wegaufnahme erblicke ich jedoch nicht in der größeren Genauigkeit, sondern in Folgendem: durch die Peiltischauf-

nahme erhält der Aufnehmer von zahlreichen Punkten aus eine gute Übersicht über das ganze Land. Er lernt dadurch seine Hauptzüge viel besser kennen, als durch die Wegaufnahme, die nur gar zu leicht an Einzelheiten kleben bleibt. Für den geographischen Forschungsreisenden ist dies ein Punkt von größter Wichtigkeit. Diese Übersicht kann zwar auch der Wegaufnehmer gewinnen, wenn er auf die Berge steigt, was allerdings die wenigsten bisher getan haben. Aber bei der Peiltischaufnahme wird die Übersicht dadurch viel klarer, daß sie gleich in einem richtigen Kartenbild festgehalten wird. Auf dem Peilblatt liegen die Hauptpunkte schon in richtiger gegenseitiger Lage fest und zwischen ihnen zeichnet der Aufnehmer die Topographie ein. Es leuchtet ein, daß er dies viel leichter und mit viel größerer Sicherheit kann als der Wegaufnehmer, der seine Kartenskizzen nach Schätzung und Augenmaß entwerfen muß, ohne die Hilfe vorgezeichneter Punkte und Peilstrahlen. Erst nachträglich kann er seine Karte konstruieren. Nehmen wir einmal an, was in Wirklichkeit lange nicht erreicht wird, er könnte dabei alle angepeilten Punkte ebenso genau festlegen, wie es durch die Peiltischaufnahme geschieht. Dann muß er jetzt die Topographie nach seiner verzerrten Kartenskizze einzeichnen, während der Peiltischaufnehmer sie unter sonst gleichen Umständen nach der Natur einzeichnete und dabei noch den Vorteil genoß, jederzeit die Richtung eines Punktes durch eine Peilung genau festlegen zu können. Hier ist die Peiltischaufnahme der Wegaufnahme bedeutend überlegen.

V. Die Basismessung.

Die Basismessung wurde in Ngorongoro auf ebenem, mit kurzem Gras bewachsenen Boden ausgeführt. In Abständen von ungefähr 100 m wurden Stangen aufgestellt und mit dem Theodolit einvisiert, zwischen diesen wurde ein Kokosseil straff gespannt und an dem Seil entlang mit dem Meßband gemessen. Anfangs- und Endpunkt des Meßbands wurden jedes Mal mit dem Daumnagel zu Boden gedrückt. Ich achtete sorgfältig darauf, den Anfangspunkt genau wieder da anzusetzen, wo mein schwarzer Gehilfe den Endpunkt noch mit dem Daumen festhielt. Die Basisendpunkte wurden durch senkrechte Pfähle mit Signalfahnen markiert. Die Messung wurde zweimal mit einem 25 m langen Sprenger'schen „Ideal“meßband mit Phosphor-

bronzedrahteinlage ausgeführt. Die erste Messung ergab den Wert Basis AB = 1107,92 m, die zweite Messung ergab BA = 1107,58 m.

Das Meßband stellte sich später als 14 mm zu lang heraus. Da es vor und nach der Basismessung so gut wie gar nicht benutzt wurde, muß man annehmen, daß die Dehnung während der Messung entstand, namentlich während der zweiten Messung, wo es etwas straffer gespannt wurde. Die Dehnung macht für die ganze Basislänge $44\frac{1}{3} \cdot 14 \text{ mm} = 62 \text{ cm}$ aus. Wäre bei der ganzen ersten Messung die Dehnung noch nicht vorhanden gewesen, so ergäbe sich 1107,92 m als Wert aus dieser Messung. Wäre bei der zweiten Messung die Dehnung von 14 mm schon von Anfang an vorhanden gewesen, so ergäbe

sich 1108,20 m als Basiswert aus dieser Messung. Nun ist aber die Dehnung während beider Messungen allmählich infolge zu starken Zuges entstanden und zwar vermutlich zum größeren Teil während der zweiten Messung.

Wir wollen den Einfluß der Dehnung auf die Basismessung unter verschiedenen Annahmen berücksichtigen.

a) Die Hälfte der Dehnung sei bei der ersten Messung entstanden, also am Ende der ersten und am Anfang der zweiten Messung vorhanden gewesen. Dann war das Meßband bei der ersten Messung durchschnittlich um $\frac{1}{4}$, bei der zweiten Messung durchschnittlich um $\frac{3}{4}$ des schließlichen Betrages gedehnt. Daraus folgt für die erste Messung eine Verlängerung um $15\frac{1}{2}$ cm, also ein Basiswert von 1108,07 m, für die zweite Messung eine Verlängerung um $46\frac{1}{2}$ cm, also ein Basiswert von 1108,04 m.

b) Wäre $\frac{1}{4}$ der Dehnung bei der ersten, $\frac{3}{4}$ bei der zweiten Messung entstanden, so ergäben sich Verlängerungen von 8 cm und von 39 cm, demnach Basiswerte von 1108,0 und 1107,97 cm.

c) Wäre, und das ist das wahrscheinlichste Verhältnis, $\frac{1}{3}$ der Dehnung bei der ersten, $\frac{2}{3}$ bei der zweiten Messung entstanden, so ergäben sich Verlängerungen von 10 cm und 42 cm, also Basiswerte von 1108,02 m und 1108,00 m.

In allen drei Fällen kommen wir also bei Berücksichtigung der Dehnung auf nahezu 1108,00 m und nur 3 cm Differenz beider Messungen. Mit andern Worten, wäre das Meßband konstant geblieben, so hätte ich beide Messungen um nur 3 cm verschieden erhalten. Die Differenz von 3 cm, die noch bleibt, beruht im wesentlichen auf dem Fehler beim Ansetzen des Meßbandes an der Stelle, wo es vorher endigte. Daß sie nicht größer ist, kann nicht wundernehmen. Der Ansatzfehler mag pro Messung ± 1 mm betragen haben und bei 44facher Wiederholung der Operation heben sich die Fehler zum Teil heraus.

Legen wir 1108,00 m zugrunde, mit einer Unsicherheit von $\pm 0,08$ m, welche alle obigen Werte einschließt. In diesen $\pm 0,08$ m ist also der Dehnungsfehler und der Ansatzfehler berücksichtigt. Außer der dauernden Dehnung fand jedesmal beim Anspannen des Meßbandes eine elastische Dehnung statt, die wieder zurückging nach Aufhören des Zuges. Nach einem später angestellten Versuch muß diese Dehnung 1 bis 2 mm betragen haben. Nehmen wir 1,5 mm als durchschnittlichen Betrag

der elastischen Dehnung an, so ergibt sich eine Basisverlängerung von etwa 6 cm, dadurch erhöht sich der Basiswert auf 1108,06 m. Der Fehler, der durch falsche Schätzung dieser elastischen Dehnung entsteht, ist gering. Wäre ± 1 mm die Abweichung vom angenommenen Betrag von 1,5 mm, so würde bei 44facher Wiederholung der Operation der wahrscheinliche Fehler gleich $\sqrt{1^2 + 1^2 + \dots + 1^2} = \sqrt{44} = \pm$ etwa $6\frac{1}{2}$ mm. Eine so große Abweichung ist aber nach dem angestellten Versuch nicht zu erwarten. Dagegen könnte eine kleinere, aber konstante Abweichung nach einer Seite hin (stets + oder stets - auftreten), so daß die Fehler sich nicht aufheben, sondern summieren. Ist $\pm 0,5$ mm ein konstanter Fehler, so würde das ± 2 cm auf die Basislänge ausmachen.

Noch folgende zwei Fehlerquellen sind von Bedeutung:

1. Der ursprüngliche Längenfehler des Meßbands. Das Meßband war neu, aber nicht geeicht, da diese „Ideal“meßbänder wegen der Gefahr nachträglicher Veränderung nicht geeicht werden. Indes habe ich bei drei neuen Idealmeßbändern nachher feststellen können, daß ihr Fehler höchstens ± 4 mm auf 25 m beträgt, ein Wert, den wir unserer Messung als wahrscheinlichen Fehler zugrunde legen wollen.

2. Der Exzentrizitätsfehler der Signale in den Basisendpunkten A und B, der vielleicht je 6 cm betragen kann.

Unter Zugrundelegung des Meßbandfehlers $dM = \pm 4$ mm, der Exzentrizitätsfehler $e_A = \pm 60$ mm, $e_B = \pm 60$ mm, des Dehnungs- und Ansatzfehlers $dx = \pm 80$ mm und des Elastizitätsfehlers $dy = \pm 20$ mm für die ganze Basislänge ergibt sich also als mittlerer Fehler der Basis a

$$da = 44\frac{1}{3} dM + e_A + e_B + dx + dy$$

$$da = \sqrt{44\frac{1}{3}^2 \cdot 4^2 + 60^2 + 60^2 + 80^2 + 20^2} = \pm 213 \text{ mm.}$$

Also ist die Basis a = 1108,06 m $\pm 0,213$ m. Der Fehler beträgt noch nicht $\frac{1}{5000}$ der Länge.

Selbst wenn alle diese Fehler unglücklicherweise sich addieren sollten, betrüge der Fehler nur $\pm 0,39$ m. Das Ergebnis zeigt, daß man bei sorgfältiger Ausführung auch mit so rohen Mitteln Befriedigendes erreichen kann.

Zu bemerken ist noch, daß der Basisendpunkt A etwa 4 m tiefer liegt als B. Die Projektion der gemessenen Basis auf die Horizontale ist aber nur etwa 1 cm kürzer als diese und kann füglich unberücksichtigt bleiben, da der Unterschied weit unter der Fehlergrenze bleibt.

VI. Das Triangulationsnetz

mit einem Anhang: Der Rückwärtseinschnitt auf der Kugel.

Von A. Wedemeyer.¹⁾

Die von Herrn Dr. Jaeger ausgeführte Vermessung sollte für die im Maßstab 1:150 000 herzustellende Karte des bereisten Gebietes möglichst sichere Koordinaten der Hauptpunkte liefern. Da in einer solchen Karte Winkelfehler von einigen Minuten kaum merkbar sind, so wurden, je nach Umständen, die Hauptpunkte der neuen Karte teils mit dem Theodoliten, teils mit dem Peiltisch, teils mit beiden Instrumenten zugleich angeschnitten. Um den Anschluß der neuen Karte an Uhligs Merutriangulation zu ermöglichen, wurden, soweit zugänglich, auch auffällige Punkte der Merutriangulation und der Deutsch-Englischen Grenzvermessung angepeilt. Da die weit entfernten Berggipfel nicht scharf angezielt werden konnten, der Anschluß mithin den mitgeführten Hilfsmitteln nicht entsprechend ausfallen mußte, suchte Herr Dr. Jaeger diesem Nachteil durch Messen einer Basis in dem vermessenen Lande entgegenzuwirken. Jedenfalls mußte durch den auf doppelte Weise ermöglichten Anschluß eine Prüfung der errechneten Koordinaten und damit auch der Messungen, auf denen die Rechnung beruht, gewonnen werden.

Über die Messung der Basis hat Herr Dr. Jaeger bereits berichtet (Abschnitt V), wobei er als mittleren Fehler den Wert 0,21 m angibt. Mit Rücksicht auf die zur Messung dieser langen Strecke (1108,06 m) verwandten Hilfsmittel habe ich diesen Wert nicht für wahrscheinlich gehalten und daraus keine Folgerungen gezogen. Das heterogene Beobachtungsmaterial — die Winkel der Peiltischblätter müssen infolge ungleicher Papierzerrung mit Fehlern behaftet sein, deren Grenzen nicht einmal abgeschätzt werden können²⁾ — hätte überhaupt derartige Schlußfolgerungen nicht zugelassen. Deshalb habe ich mir auch allenthalben die Mühe der Berechnung wahrscheinlicher Fehler der Koordinaten erspart, denn der damit verbundene enorme Arbeitsaufwand kann durch das zu erwartende Ergebnis nicht gerechtfertigt werden. Solche Fehlerangaben können meines Erachtens nur einen Sinn haben, wenn man

¹⁾ Für die mühsame Bearbeitung und Berechnung meiner Triangulation sage ich Herrn Dr. Wedemeyer meinen herzlichen Dank, desgleichen Herrn Professor Dr. Kohlschütter für seinen fachmännischen Rat bei dieser Arbeit. F. J.

²⁾ Nach meiner täglichen Erfahrung mit Seekarten, die auf bestem Papier hergestellt werden, dürfte diese Behauptung nicht übertrieben sein.

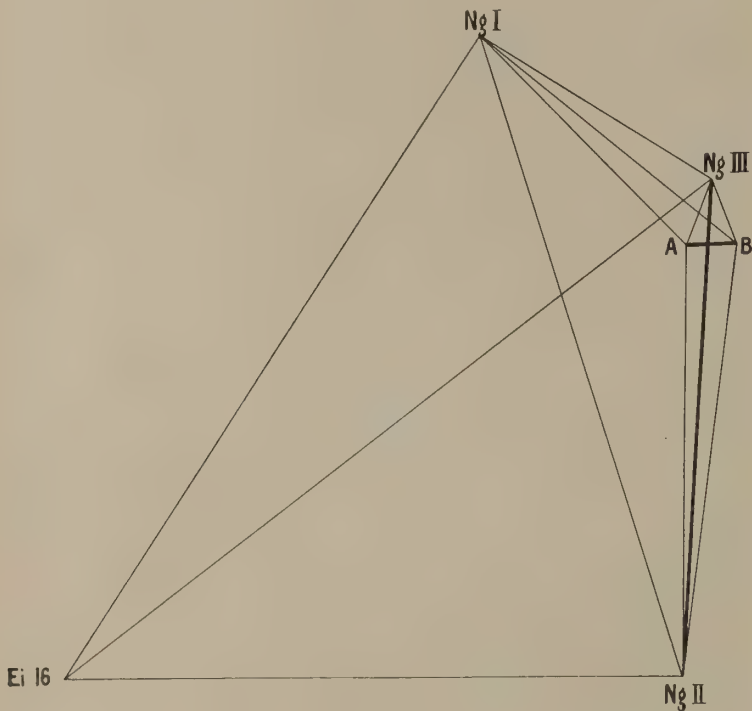
über die Gewichte der zur Rechnung verwandten Peilungen sichere Annahmen machen darf, was im vorliegenden Falle ganz ausgeschlossen war. Die Messungen sind gelegentlich gemacht und nicht nach einem einheitlichen Plane ausgeführt, wie Herr Dr. Jaeger mir bei Übergabe des Materials mitteilte. Dies geht auch aus der höchst ungünstigen Lage mehrerer Vierecke hervor. Hätte Herr Dr. Jaeger vor Antritt der Reise die Absicht gehabt, das bereiste Land zu vermessen, so würde er sich, falls ihm an den Universitäten dazu überhaupt Gelegenheit geboten würde, genauer über die Anlage von Vermessungen orientiert haben, wodurch er sich auf der Reise viele Mühe erspart und mit geringerer Mühe ein besseres Ergebnis erzielt hätte. Aus der Tatsache, daß einige Vierecke größere Schlußfehler haben, darf man aber nicht ohne genauere Prüfung die Messungen einer gründlichen Bearbeitung unwert erachten, wie geschehen war. Man muß noch bedenken, daß ohne eigene Kenntnis des Landes und der näheren Begleitumstände nicht einmal angegeben werden kann, ob der Beobachter in dem unerforschten Lande in der Lage war, günstigere Punkte auszuwählen und bessere Messungen mit den nicht durch Baken oder Signale bezeichneten Zielpunkten zu machen.

Ich mußte daher zuerst danach trachten auf dem kürzesten Wege mir ein Urteil über die Brauchbarkeit der Messungen zu einer gründlichen Bearbeitung zu verschaffen. Die Veröffentlichung der vorliegenden Arbeit bezeugt schon, daß das Urteil nicht ungünstig ausgefallen ist. Infolge einer größeren Anzahl Kontrollpeilungen, wie sie sich bei einer ungeschlossenen Dreieckskette von selbst darbieten, konnten grobe Ablese- oder Messungsfehler von vornherein entdeckt und von der Arbeit ausgeschlossen werden. Ferner mußte ich feststellen, ob die gemessene Basis bei der endgültigen Ausgleichung mit berücksichtigt werden durfte, worüber Zweifel bestanden.

Kriterium für die Brauchbarkeit der Basismessung und Peilungen. Nach dem Vorschlage von Herrn Dr. Kohlschütter habe ich die Strecke Elaneirobi—Loolmalassin β als Kriterium für die Bewertung der Basismessung herangezogen. Diese Strecke war bereits in eine vorläufige Ausgleichung des Meru-Netzes miteinbezogen. Durch eine vorläufige Ausgleichung weniger Vierecke der Jaeger'schen Ver-

messung mußte sich für diese Strecke ein neuer Wert ergeben. Falls der entstehende Widerspruch zu groß ausfiel, sollte die Basis unberücksichtigt bleiben. Bei kleinem Widerspruche sollte untersucht werden, ob durch Einführung der Basis die Darstellung der Peilungen von Loolmalassin β und Elaneirobi nach Punkten der Meru-Karte und der Deutsch-Englischen Grenzvermessung derart verschlechtert werden würde, daß die Widersprüche in den Peilungen nicht mehr durch Messungsfehler erklärt werden könnten. Das Verfahren ist umständlich, beruht aber auf Gesetzmäßigkeit, nicht auf Willkür und Geschmack des Bearbeiters. Die Hauptergebnisse der vorläufigen Rechnung sollen im folgenden mitgeteilt werden.

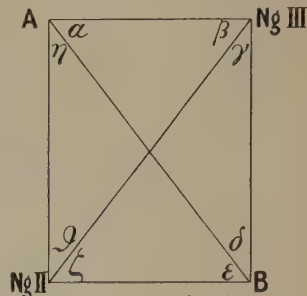
In dem Viereck NgIII—A—NgII—B¹⁾ waren sämtliche Winkel gemessen worden. Die erheblichen



Schlußfehler legten die Vermutung nahe, daß mehrere Winkel fehlerhaft seien. Da mir nur eine handschriftliche Zusammenstellung der Messungen vorlag, die von anderer Seite zur Rechnung benutzt war, mußte ich mir die Routenbücher verschaffen und darin nach dem etwaigen Grunde der Schlußfehler suchen. Ich fand den Vermerk, daß in einer Gruppe Messungen von NgIII aus bei Kreis rechts der Azimutfaden lose und bei Kreis links ganz herausgefallen sei. Diese Peilungen waren daher auszuschließen. Außerdem fand ich, daß diese Messungen an einem anderen Tage wiederholt

¹⁾ In der Figur im Maßstab 1 : 200 000 gezeichnet.

waren. Die Widersprüche wurden dadurch wesentlich verkleinert, der Widerspruch in dem Winkel ε (NgII—B—A) konnte jedoch nicht aufgeklärt werden. Der Winkel ε wurde daher bei der Ausgleichung ausgeschlossen. Daß der Ausschluß gerechtfertigt war, zeigten auch andere Vierecke, die ebenfalls den Strahl B—NgII enthielten. Den Winkeln ζ und ϑ wurde der Häufigkeit der Messungen (und ihrer guten Übereinstimmung) entsprechend, das Gewicht 4 zuerteilt, während den übrigen das Gewicht 1 zuerteilt wurde.



Die Ausgleichung mit Korrelaten führte in bekannter Weise zu folgenden Winkelverbesserungen und Winkelwerten:

$\Delta \alpha = -38.1$	$\alpha = 64 \ 43 \ 23$	} und damit für die Strecke Ng II — Ng III zu dem Werte 13 229 m.
$\Delta \beta = -27.2$	$\beta = 17 \ 55 \ 30$	
$\Delta \gamma = +40.4$	$\gamma = 17 \ 28 \ 16$	
$\Delta \delta = +50.5$	$\delta = 79 \ 52 \ 50$	
$\Delta \eta = -86.3$	$\eta = 94 \ 27 \ 2$	
$\Delta \vartheta = +17.1$	$\vartheta = 2 \ 34 \ 5$	
$\Delta \zeta = -36.4$	$\zeta = 2 \ 54 \ 4$	
	$\varepsilon = 80 \ 4 \ 49$	

Das Sechseck NgII—NgIII—A—B—NgI—Ei 16 lieferte für die Strecke NgII—Ei 16 den Wert 16 462 m, während aus dem Viereck NgII—Ei 16—Olm α —Lom β für NgII—Lom β der Wert 37 922 m ermittelt wurde. Eine Prüfung dieses Wertes durch das Viereck NgII—A—B—Lom β war nicht möglich, da von Lom β aus A und B nicht angepeilt werden können und die drei Strahlen nach Lom β sich unter zu spitzen Winkeln schneiden. Lom = Loolmalassin.

Das Viereck NgII—Olm α —El—Lom β endlich ergab die Seite El—Lom β zu 19 875 m.

Da dieser Wert nur wenig von dem bereits bekannten abwich, wurden der vorläufigen Ausgleichung aus dem Meru-Netze die Koordinaten für Loolmalassin β $\varphi_L = -3^\circ 3' 3.4''$ $\lambda_L = +35^\circ 48' 54.1''$ entnommen. Unter der Annahme, daß Elaneirobi von Loolmalassin $348^\circ 30' 0''$ 19 875 m entfernt liegt, ergibt sich für Elaneirobi

$$\varphi_E = -2^\circ 52' 29.3'' \quad \lambda_E = +35^\circ 46' 45.8''$$

Mit diesen Koordinaten wurden in bekannter Weise die (sphäroidischen) Azimute von Deutsch-Sambu, Gelei, Meru-Kegel, Meru-Turm berechnet und mit den Peilungen verglichen. Die Meßtischpeilungen wurden als Winkelmessungen verwertet. Die Richtungssätze wurden so gedreht, daß das

Mittel der Richtungen, die gleichzeitig auch mit dem Theodoliten eingemessen waren, gleich dem Mittel der aus den Theodolitmessungen hervorgegangenen Richtungen wurde. Für beide Arten Richtungsätze wurde auf jeder Station nur eine unbekannte Nullpunktskorrektur (z) angenommen. Den Messungen wird dadurch ein gewisser Zwang angetan. Es wäre richtiger gewesen, für Peiltischsätze und für Theodolitsätze je einen Nullstrahl einzuführen, die Zahl der Unbekannten wäre dadurch überall um ein Drittel gewachsen. Der zu erwartende Gewinn an Genauigkeit schien eine solche große Arbeitsmehrerung nicht zu rechtfertigen. Auf solche Weise entstanden 10 Fehlergleichungen mit 6 Unbekannten. Zwei Peilungen von Herrn Dr. Kohlschütter von Pp 14 und Pp 15 nach Loolmalassin β wurden noch hinzugenommen. Die Bedingung, daß die Entfernung von Loolmalassin nach Elaneirobi = 19 875 m sein sollte, lieferte noch die Gleichung.

$$30,100\Delta\varphi_E - 6,157\Delta\lambda_E - 30,100\Delta\varphi_L + 6,157\Delta\lambda_L = 0,$$

woraus folgt

$$\Delta\lambda_E = \Delta\lambda_L + 4,862\Delta\varphi_E - 4,862\Delta\varphi_L.$$

Mit dieser Relation wurde $\Delta\lambda_E$ aus den Gleichungen eliminiert, so daß zur Ausgleichung noch 12 Gleichungen mit 5 Unbekannten übrig blieben. Um die Gleichungen gleichwertig zu machen, wurde für Theodolitpeilungen das Gewicht 4, für Peiltischpeilungen das Gewicht 1¹⁾ angenommen. Die Auflösung der Gleichungen nach der Methode der kleinsten Quadrate ergab:

$$\begin{aligned} z_E &= -1.''37 & \Delta\varphi_E &= -3.''79 & \Delta\lambda_E &= +0.''49 \\ z_L &= +2.''87 & \Delta\varphi_L &= -3.''74 & \Delta\lambda_L &= +0.''24 \\ \varphi_E &= -2^\circ 52' 33.''1 & \lambda_E &= +35^\circ 46' 46.''3 \\ \varphi_L &= -3^\circ 3' 7.''2 & \lambda_L &= +35^\circ 48' 54.''3 \end{aligned}$$

und folgende Restfehler in den Peilungen, denen zum Vergleich unter II die aus der vorläufigen Ausgleichung des Meru-Netzes²⁾ folgenden Restfehler beigefügt sind.

Elaneirobi	I	II	Loolmalassin β	II
nach Deutsch-Ssambu	+0.3	+2.4	-0.5	+1.3
„ Gelei	-6.9	-10.5	+0.0	-1.7
„ Meru-Kegel	+4.2	+4.0	+0.9	-0.4
„ Meru-Turm	-0.7	-1.1	+2.7	+2.0
„ Loolmalassin β	+3.1	+5.2	-1.1	+0.2
	Pp ₁₄	II	Pp ₁₅	II
nach Loolmalassin β	+4.3	+3.2	+7.0	+5.3

¹⁾ Nach Vorschlag von Dr. Kohlschütter, der zu dieser Gewichtsfestsetzung auf Grund vieler Vergleichen gekommen war.

²⁾ Worüber Herr Dr. Kohlschütter demnächst berichten wird.

Wie ersichtlich, sind beide Darstellungen nicht gleichwertig, die Fehlerquadratsummen sind I $p\delta\delta = 160''$, II $p\delta\delta = 222''$. Dabei ist zu berücksichtigen, daß die Restfehler II aus einer vorläufigen Ausgleichung stammten, weil die definitive Ausgleichung erst nach Monaten zu erwarten war. Der Hauptgrund, daß II $p\delta\delta > I\delta\delta$ ist, liegt darin, daß bei II sämtliche übrige Bedingungen des Meru-Netzes (etwa 70 Gleichungen mit 43 Unbekannten) erfüllt sein mußten, auf die bei I keine Rücksicht genommen worden ist. Es schien mir jedoch sicher, daß gegen die Benutzung der Jaegerschen Basis keine ernstlichen Bedenken mehr vorlagen. Ferner war erwiesen, daß die Jaegerschen Peilungen zu einer gründlichen Bearbeitung brauchbar waren.

Die definitive Ausgleichung des Meru-Netzes ergab die Fehlerquadratsumme $p\delta\delta = 162''$ und die Koordinaten von¹⁾

$$\begin{aligned} \text{Loolmalassin } \beta & \varphi = -3^\circ 3' 5.''6 & \lambda &= +35^\circ 48' 54.''3 \\ \text{Elaneirobi} & \varphi = -2^\circ 52' 31.''6 & \lambda &= +35^\circ 46' 46.''1. \end{aligned}$$

Da in Elaneirobi nur mit dem Peiltisch gepeilt war und die Widersprüche der Peilungen von Loolmalassin wesentlich geringer waren, wurde auf Vorschlag von Herrn Dr. Kohlschütter Loolmalassin β als Fixpunkt angenommen.

Das Triangulationsnetz. Um den Arbeitsaufwand nach Kräften einzuschränken, wurde das ganze vermessene Gebiet von Herrn Dr. Kohlschütter in drei Triangulationsnetze eingeteilt. Zuerst wurde das Ngorongoro-Netz berechnet; daran wurde das Njarasa-Netz angeschlossen, wobei die Punkte des Ngorongoro-Netzes als Fixpunkte betrachtet wurden. Endlich wurde in gleicher Weise das Kinjangiru-Netz an das Njarasa-Netz angeschlossen. In den untenstehenden Umrißzeichnungen sind der Übersichtlichkeit halber die Verbindungsstrahlen zwischen den einzelnen Netzen, sowie die beobachteten Strahlen innerhalb der Netze weggelassen. Sie ergeben sich aus Anlage 2.

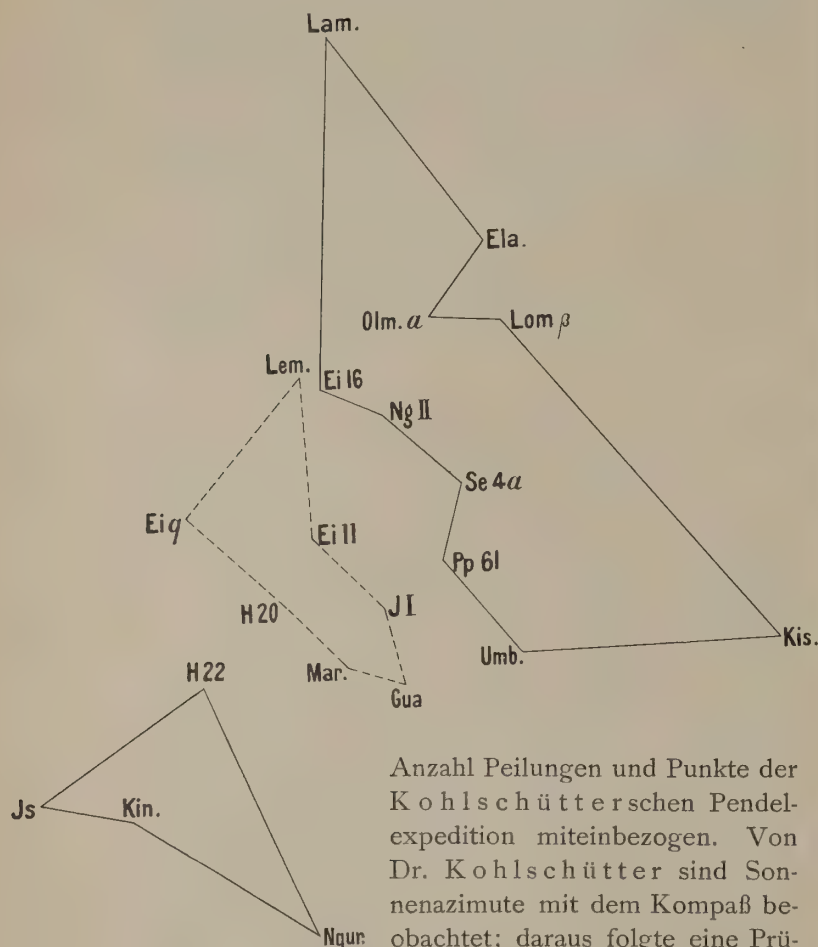
Eine kleine Anzahl Peilungen (in Anlage 2 eingeklammert) wurde von vornherein als unbrauchbar erkannt und verworfen. Die Fehler sind teilweise durch Verwechslung der angeschnittenen Punkte, teilweise wohl auch durch fehlerhafte Ablesungen entstanden.

Die Netze wurden in der üblichen Weise nach der Methode der kleinsten Quadrate ausgeglichen.²⁾

¹⁾ Die Zehntelsekunden sind natürlich nur als Rechenresultate aufzufassen, denen jede reale Bedeutung fehlt. Sie müssen aber zur Prüfung der langen Rechnungen mitgeführt werden.

²⁾ Die Koordinaten der Fixpunkte und abgekürzte Formeln zur Berechnung sphäroidischer Azimute verdanke ich Herrn Dr. Kohlschütter.

Um die Basis ohne zu große Arbeit zu verwerten, wurde im Ngorongoro-Netz noch eine Fehlergleichung mit großem Gewicht eingeführt, die aus der Strecke NgII—Ei 16 = 16 462 m hervorging. Die Strecke NgII—NgIII direkt einzuführen, schien nicht zu lohnen, da von NgIII aus zu wenig Punkte angeschnitten waren. In die Ausgleichung wurden eine



Anzahl Peilungen und Punkte der Kohlschütterschen Pendel-expedition miteinbezogen. Von Dr. Kohlschütter sind Sonnenazimute mit dem Kompaß beobachtet; daraus folgte eine Prüfung der Orientierung der Karte. Die Ergebnisse der Sonnenazimutmessungen von Dr. Jaeger wurden auf Anraten von Prof. Ambronn nicht verwertet. Es dürfte genügen, die Koordinaten der berechneten Punkte und die errechneten Azimute mit den Rest-

fehlern der Peilungen aufzuzählen (siehe Anlage 1 und 2). Besonders bemerkt werden möge nur noch, daß die definitive Ausgleichung des Ngorongoro-Netzes für die Strecke Loolmalassin β —Elaneirobi die Länge 19 910 m ergab, mithin 35 m oder $\frac{1}{568}$ länger als nach der ersten Rechnung,

d. i. in der Karte 0,23 mm, also eine kaum darstellbare Größe. Der Zweck der Vermessung, die Koordinaten der Hauptpunkte zu liefern, ist mithin erfüllt. Daß der Kartograph durch Vergleich der Fehlerdreiecke die Karte auch nicht annähernd so genau entwerfen kann, als auf Grund berechneter und ausgeglichener Koordinaten, steht wohl außer allem Zweifel. Wenn auch bei der Anwendung der Methode der kleinsten Quadrate nicht alle Willkür ausgeschaltet wird (was durch graphische Ausgleichung überhaupt nicht zu erreichen ist), so werden doch stark fehlerhafte Beobachtungen auch in der endgültigen Darstellung große Restfehler hervorrufen. Tatsächlich fehlerhafte Peilungen werden als solche erkannt und ausgemerzt, während bei graphischen Ausgleichungen die Gefahr besteht, daß gute Peilungen auf Kosten schlechter „verbessert“ werden. Deshalb scheint mir die Ausgleichung nach der Methode der kleinsten Quadrate, trotz der damit verbundenen großen Arbeit, nicht nur berechtigt, sondern sogar notwendig zu sein.

Astronomische Beobachtungen. Auf Veranlassung von Herrn Dr. Kohlschütter habe ich anderthalb Jahr nach Abschluß der obigen Rechnungen auch die astronomischen Beobachtungen von Dr. Jaeger, soweit sie für die Triangulation in Frage kommen, ausgewertet, da sie noch anderweitig gebraucht werden sollen. Die Azimutbeobachtungen vom 9. Februar 1907 wurden nicht gerechnet, da der Azimutfaden beim Umschlagen des Fernrohres herausgefallen und nur die Schnittmarke mit dem Horizontalfaden benutzt war. Ich habe folgendes Ergebnis¹⁾ gefunden:

Datum	Ort	Uhr	Stern	Zweck	Anzahl der Einstellungen	Stand der Uhr	φ	Ablesung des Nordpunktes am Horizontalkreise
1906 Okt. 2.	Lager am Masodisch-See	Lange 33 956 (Sternzeit)	ϵ Sagittarii α Gruis	Zeit West Breite	6 6	+ 2 ^h 19 ^m 37 ^s	- 4° 18'.0	
1907 Febr. 9.	Ngorongoro III	Lange 33 956	α Leonis Canopus	Zeit Ost Breite	4 8	- 32 59	- 3° 9'.3	
1907 Febr. 20.	Loolmalassin β	Lange 43 325 (Wahre Zeit)	Sonne	Zeit West Azimut	3 4	+ 1 52		331° 11'.3
1907 April 22.	Ngorongoro III	Lange 43 325	Sonne	Zeit Ost Azimut	4 4	+ 12 10		42° 31'.3

Alle Beobachtungen sind gut, die Einzelwerte stimmen unter sich gut überein. Nimmt man an, daß der Reisende das Instrument vor der Azimut-

bestimmung gut horizontiert hat, was bei der über-

¹⁾ Vergleiche Ambronn's hiervon unabhängige Berechnung auf S. 37.

all zutage tretenden Sorgfalt der Beobachtungen wahrscheinlich ist, so dürfte der Fehler der Azimutmessungen sich in geringen Grenzen halten, obgleich der unbekanntene Neigungsfehler wegen des ungünstig hohen Standes der Sonne etwa mit dem 1.7fachen Betrage in das Azimut eingeht. Eine Bestätigung dieser Ansicht läßt sich darin erblicken, daß in Loolmalassin β und in Ngorongoro III die Orientierung des ausgeglichenen Netzes nach diesen Beobachtungen fast die gleiche Korrektur erfordert, nämlich -3.9 und -4.4 . Es ist außerordentlich bedauerlich, daß diese offenbar zuverlässigen Beobachtungen bei der Ausgleichung des Netzes nicht mitbenutzt sind. Für Gua z. B. würde sich eine relative Verschiebung gegen Loolmalassin um $108 \text{ m} = 3.6''$ nach Osten ergeben, d. i. in der Karte 0.72 mm , also eine darstellbare Größe. Außerdem müßte das ganze Triangulationsnetz etwa um $5'' (= 1 \text{ mm})$ nach Osten verschoben werden. Diese Verschiebung ist für die Jaegersche Karte ohne Belang, kommt aber für die Merukarte in Betracht.

Trigonometrische Höhenbestimmungen. Von Ng III aus sind einseitige Zenitdistanzen (je eine Einstellung) von Ng II, Deani f und Lemagrut α gemessen worden. Nimmt man die Seehöhe von Ng III zu 1779 m und die Refraktionskonstante k zu 0.13 an, so folgen daraus die Höhen von

Ngorongoro II	2469 m,
Lemagrut α	3153 „
Deani f	3200 „

Bemerkung über Rückwärtseinschnitte. Die vorläufigen Koordinaten von Elaneirobi und Loolmalassin wurden durch Berechnung von Rückwärtseinschnitten gewonnen. Da die Zielpunkte teilweise mehr als 100 km entfernt waren, versuchte ich bessere Werte durch Berech-

nung sphärischer Rückwärtseinschnitte zu erlangen, wodurch mein Interesse für derartige Rechenmethoden geweckt wurde. Ich habe mich seither mehr mit der Aufgabe befaßt und gefunden, daß man mit Leichtigkeit auch größere sphärische Dreiecke berechnen kann, während die Methoden der Lehrbücher infolge der Einführung des sphärischen Exzesses nur auf kleine Dreiecke beschränkt sind. Jordan bemerkt, daß derartige Rechnungen nur selten ausgeführt werden. Den besten Beweis dafür liefern die fehlerhaften Formeln im Jordanschen Handbuche zur Berechnung des Exzesses.¹⁾ Die von mir gefundene Methode werde ich in einem besonderen Anhang auseinandersetzen. Die Veröffentlichung an dieser Stelle scheint am Platze zu sein, da sie der Jaegerschen Vermessung ihren Ursprung verdankt. Geographen haben sich in neuerer Zeit mehrfach mit dem Problem der astronomischen Ortsbestimmung im Polargebiet befaßt. Dort ermöglichen Rückwärtseinschnitte naturgemäß die beste Ortsbestimmung, da Azimute nicht durch Strahlenbrechung gefälscht werden. Auch bei Vermessungen in den Kolonien dürfte die Anwendung sphärischer Rückwärtseinschnitte, zumal ihre Berechnung ebenso leicht wie die ebener Rückwärtseinschnitte ist, zur astronomischen Ortsbestimmung Empfehlung verdienen. Aus diesen Gründen dürfte ebenfalls die Veröffentlichung in einer geographischen Zeitschrift angebracht sein.

1) Handbuch der Vermessungskunde, 3. Bd., 5. Aufl., S. 184 und 249, wo es $\tan \frac{\epsilon}{4}$ statt $\tan \frac{\epsilon}{2}$ heißen muß. Ferner muß auf S. 263 in der Formel für $\sin \epsilon$ im Nenner $\frac{S}{2r}$ statt $\frac{S}{2}$ stehen. In der Tafel [43] ist für das Argument 5.09 der Funktionswert 269.1 statt 169.1 zu setzen.

Anlage 1.

Koordinaten.

Station	φ	L östl. Gr.
Ngorongoro-Netz.		
Loolmalassin β	— 3 3 5.6	35 48 54.3
Elaneirobi (Jaergergipfel)	— 2 52 30.3	35 46 46.2
Ol Olmoti a	— 3 2 35.4	35 39 8.2
Se 4a	— 3 24 47.6	35 42 45.2
Ng II	— 3 15 26.2	35 32 35.7
Lamuniane β	— 2 24 58.5	35 26 58.2
Ei 16	— 3 11 40.7	35 24 32.4
Njarasa-Netz.		
Lemagrut α	— 3 9 52.2	35 22 6.5
Gua	— 3 51 20.8	35 34 31.6
J I	— 3 41 11.0	35 32 5.2
Ei 11	— 3 31 51.3	35 22 55.8
Mara	— 3 48 45.6	35 26 53.3
Ei q	— 3 28 21.4	35 6 17.2
H 20	— 3 40 49.2	35 18 59.7

Station	φ	L östl. Gr.
Kinjangiru-Netz.		
Ngurue α	— 4 25 48.6	35 23 54.1
Kinjangiru	— 4 9 29.0	34 58 2.8
H 22	— 3 51 40.0	35 7 48.2
Js	— 4 7 27.8	34 45 32.0
Nebenpunkte.		
Ol Ossirwa a	— 3 3 15.5	35 45 15.8
Ol Deani i	— 3 17 25	35 27 48
Ei 17	— 3 26 50	35 7 0
Ei 2	— 3 54 3	34 52 30
Masodisch	— 4 17 54	35 7 39
Ng III	— 3 9 11	35 36 6

Bemerkung: Die Koordinaten der Punkte, die nur auf Rückwärtseinschnitten und Peiltischmessungen beruhen, werden hier nicht aufgezählt; desgl. zwei kleinere Netze, die nur auf Peiltisch- und Kompaßpeilungen beruhen.

Anlage 2.

Azimute. Restfehler der ausgeglichenen Peilungen (im Sinne B—R).

Loolmalassin β			
Deutsch-Ssambu	8	16.4	+ 0.4
Gelei	33	24.4	- 0.7
Meru-Nordkegel	99	35.4	- 0.1
Meru-Gipfel	101	38.2	+ 2.8
Se 4a	195	54.2	+ 6.5
Gua	196	39.8	+ 1.5
Ngurue α	196	52.7	+ 0.6
Kinjangiru	217	33.1	- 3.8
H 20	218	32.0	+ 0.1
H 22	220	21.2	+ 0.1
Ei 11	222	13.0	- 3.9
Ng II	233	1.0	- 0.5
Ei 16	250	40.2	+ 6.8
Lemagrut α	255	52.0	- 3.0
Ol Ossirwa	267	26.5	- 0.4
Ol Olmoti a	272	55.9	+ 0.4
Lamuniane β	329	56.2	(- 17.4)
Elaneirobi	348	32.5	- 3.7

Elaneirobi			
Deutsch-Ssambu	13	3.0	- 0.2
Gelei	51	7.5	- 11.7
Meru-Nordkegel	108	47.2	- 0.4
Meru-Gipfel	110	47.8	- 3.9
Loolmalassin β	168	32.5	- 1.2
Ol Olmoti a	217	16.0	+ 6.8
Ng II	211	51.0	+ 8.8
Lemagrut α	234	58.8	+ 8.5
Lamuniane β	324	7.3	+ 0.5

Ol Olmoti a			
Elaneirobi	37	16.4	- 0.8
Longido West	71	33.7	+ 4.9
Loolmalassin β	92	56.5	- 2.8
Se 4a	170	42.4	- 2.3
Gua	185	26.9	- 5.8
Ngurue α	190	24.7	+ 3.4
Ng II	207	6.2	+ 0.4
H 20	207	53.4	- 2.3
Kinjangiru	211	39.1	(+ 14.0)
Ei 16	238	13.0	+ 0.6
Lemagrut α	246	57.0	- 1.4

Ng II			
Ol Olmoti a	27	6.6	0.0
Ng III	29	28.2	0.0
Elaneirobi	31	51.8	+ 3.2
Ol Ossirwa	46	16.8	+ 0.4
Loolmalassin β	53	1.8	- 0.2
Meru-Nordkegel	88	0.8	- 6.5
Mondul I	89	53.5	- 0.2
Kissale	120	44.4	+ 3.1
Se 4a	132	30.5	- 0.3
Gua	176	54.4	- 2.2
Ei 11	210	36.0	- 2.0
Ei 16	294	54.0	- 1.5
Lamuniane β	353	36.3	(+ 26.1)

Ei 16			
Ol Olmoti a	58	13.8	- 1.7
Ol Ossirwa	67	59.9	- 0.8
Loolmalassin β	70	41.6	- 0.2
Ng II	114	54.4	+ 0.4
Se 4a	125	37.6	+ 1.5
Ei 11	184	35.0	+ 2.5
H 20	190	49.4	+ 1.7
Ei q	227	42.9	- 1.8
Ei 17	229	19.0	- 3.0
Lemagrut α	306	28.9	+ 1.2

Se 4a			
Ol Ossirwa	6	41.0	0.0
Loolmalassin β	15	54.6	- 0.9
Longido West	53	59.5	+ 0.8
Meru-Kegel	79	25.1	+ 2.2
Gua	197	17.1	- 0.3
Ngurue α	197	13.3	- 4.4
J I	213	10.5	- 0.7
Mara	213	36.9	+ 0.5
Ei 11	250	28.0	+ 0.2
Ei q	264	25.5	- 1.4
Ei 16	305	36.6	+ 0.1
Lemagrut α	305	42.7	- 1.8
Ng II	312	29.9	- 1.0
Ol Olmoti a	350	42.2	+ 1.3

Lamuniane β			
Deutsch-Ssambu	63	4.0	- 3.1
Gelei	106	41.5	+ 1.4
Mondul	129	3.7	+ 4.2
Loolmalassin β	149	57.2	+ 1.7
Ng II	173	36.5	+ 1.4
Ei 16	182	59.6	- 5.7
Lemagrut α	186	12.8	+ 0.1

Ei II			
Ei 16	4	35.1	+ 0.7
Ng II	30	36.6	- 0.3
Ol Ossirwa	38	8.2	+ 0.4
Loolmalassin β	42	14.5	- 2.3
Se 4a	70	29.2	+ 1.7
H 20	203	48.0	- 0.2
Ei q	281	48.4	+ 0.4
Ei 17	287	25.0	- 3.7
Lemagrut α	357	50.7	- 1.2

Mara			
Ng II	9	45.9	0.0
Loolmalassin β	25	51.6	- 2.3
Se 4a	33	37.9	+ 1.2
J I	34	34.2	- 0.8
Gua	108	37.9	- 0.4
Ngurue α	184	37.5	+ 3.2
Kinjangiru	234	24.1	+ 0.2
H 22	261	22.0	- 4.7
Ei q	314	35.1	+ 1.9
H 20	315	2.1	- 0.2
Ei 17	317	38.6	+ 11.2
Ei 16	356	21.5	+ 0.3

Gua			
Loolmalassin β	16	40.6	- 1.0
Se 4a	17	17.6	- 0.2
Ngurue α	197	11.6	- 0.3
Mara	288	37.4	+ 0.6
Ei q	309	0.2	- 1.7
J I	346	26.2	+ 1.4
Ng II	356	54.3	+ 0.1

Ei q			
Ei 17	25	2.5	+ 3.5
Ei 16	47	43.9	+ 0.1
Ei 11	101	49.4	+ 1.1
H 20	134	18.8	- 1.2
Kinjangiru	191	22.5	+ 0.3
Ei 2	208	18.9	0.0

J I			
Ng II	1	8.1	- 0.1
Ol Olmoti a	10	24.4	+ 0.5
Loolmalassin β	23	56.3	- 1.0
Se 4a	33	11.1	+ 0.1
Longido West	49	40.3	+ 0.9
Gua	166	26.4	- 1.0
Ngurue α	190	25.8	- 9.0
Mara	214	33.9	+ 0.2
H 20	271	34.4	- 0.2
Ei 11	315	23.6	+ 3.7
Lemagrut α	342	14.3	+ 0.8

Kinjangiru			
Ei 17	11	54.4	- 4.8
H 22	28	48.7	+ 2.3
H 20	36	17.5	+ 2.1
Ngurue α	122	11.2	+ 0.4
Ei 2	340	8.5	+ 4.1

H 22			
H 20	46	1.9	- 3.8
Mara	81	23.2	+ 3.9
Ngurue α	154	40.5	+ 4.6
Kinjangiru	208	48.1	- 5.0
Ei 2	261	9.4	- 3.5
Ei 17	358	7.7	+ 0.4

Js			
Ei 2	27	33.6	- 4.6
Ei q	28	4.4	+ 0.1
Lemagrut α	32	33.5	+ 7.0
H 22	54	46.7	- 2.2
Mara	65	46.9	- 4.4
Kinjangiru	99	8.1	+ 2.9
Ngurue α	115	29.6	- 2.6

Anhang.

Der Rückwärtseinschnitt auf der Kugel.

Die strenge Rechnung erfordert die Auflösung einer Gleichung¹⁾ vierten Grades und wird daher nur angewandt werden, wenn keine Näherungswerte für die Wurzeln der Gleichung anderweitig bekannt oder zu beschaffen sind. Herr Oberst v. Kobbe²⁾ empfiehlt mit den als bekannt angenommenen Koordinaten des gesuchten Ortes die entsprechenden Winkel zu berechnen, mit den gemessenen zu vergleichen und dann durch Auflösung zweier Gleichungen ersten Grades die Fehler der angenommenen Koordinaten zu berechnen. Mit Ausnahme weniger Fälle, in denen auch die direkte Rechnung nur schwer zum Ziel führt, ist dies Verfahren, das in den Vermessungslehrbüchern auf mehr als zwei Beobachtungen allgemein im Gebrauch ist, auf alle sphärischen Dreiecke anwendbar.

Anstatt Näherungswerte für die Koordinaten des gesuchten Ortes zu verwenden, kann man, da die Koordinaten nicht direkt aus der Gleichung vierten Grades bestimmt werden, sondern nur trigonometrische Funktionen einer der beiden Koordinaten, auch solche trigonometrische Funktionen als bekannt voraussetzen, die sich bei starker Änderung dieser Koordinate nur gering ändern; soll z. B. die Funktion $\sin x$ oder $\tan x$ berechnet werden und ist x ein kleiner Wert, so wird man als bekannt die Funktion $\cos x$ einführen dürfen, falls für x ein brauchbarer Näherungswert bekannt ist. Auf solche Weise lassen sich oft Gleichungen höheren Grades auf solche niederen Grades zurückführen. Beim sphärischen Rückwärtseinschnitt kann man in dieser Art das sphärische Problem in ein ebenes umwandeln, wie wir im folgenden zeigen wollen.

Die Handbücher für Vermessungskunde³⁾ und geographische Ortsbestimmung⁴⁾ beschränken die Aufgabe auf die Auflösung kleiner sphärischer Vierecke. Durch Ermittlung des sphärischen Exzesses führen sie statt des sphärischen Vierecks ein ebenes (Legendresches) Hilfsviereck ein. Die Berechnung des sphärischen Exzesses kann in der bekannten Weise aber nur für kleine Vierecke mit einiger Sicherheit vorgenommen werden. Die oben angedeutete Methode ist von solchen Einschränkungen

¹⁾ A. Wedemeyer, Die ebenen und die sphärischen Cassinischen Linien als geometrische Örter. Das Pothenotsche Problem auf der Sphäre. Astron. Nachrichten, Bd. 185, Nr. 4440.

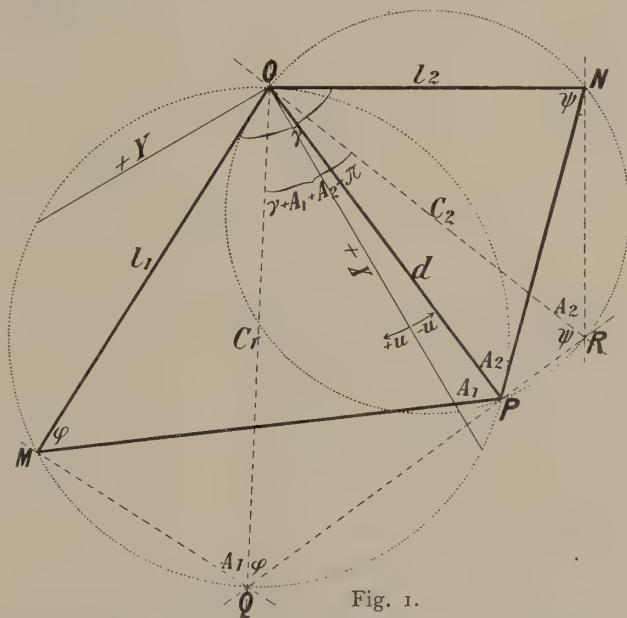
²⁾ Annalen d. Hydrographie usw. 1910, S. 288.

³⁾ Jordan, Handbuch d. Vermessungskunde, III. Bd., 5. Aufl., S. 262.

⁴⁾ Albrecht, Formeln und Hilfstafeln für geographische Ortsbestimmungen.

frei. Wie mir scheint, ist die Einführung der Legendreschen Hilfsdreiecke nur notwendig und nützlich in dem Falle, wo die drei Seiten des Dreiecks gegeben sind und die Winkel berechnet werden sollen, ein Fall, der bei Vermessungen kaum eintreten dürfte.¹⁾

Um zu zeigen, daß auch in der Ebene die Entfernung des gesuchten Punktes von dem Durchschnittspunkte der beiden bekannten Seiten des Vierecks durch eine quadratische Gleichung gefunden wird, was nach Einführung des Burckhardtschen Winkels μ nicht deutlich zutage tritt, mögen die Formeln hier entwickelt werden, und zwar in derselben Weise, wie es Herr Günther²⁾ für das sphärische Viereck durchgeführt hat. In Fig. 1 sind die drei Punkte MON gegeneinander festgelegt durch die zwei Entfernungen $OM = l_1$ und



$ON = l_2$, und durch den Winkel $MON = \gamma = 2s$. Vom Punkte P aus seien die Winkel A_1 und A_2 gemessen worden. Durch O als Ursprung legen wir ein rechtwinkliges Koordinatensystem XY, dessen X-Achse mit der Halbierungslinie des Winkels γ zusammenfallen soll. Sei u der Polarwinkel, den $OP = d$ mit der X-Achse einschließt, dann ist

$$\begin{aligned} d \cos u &= x \\ d \sin u &= y \\ d^2 &= x^2 + y^2. \end{aligned}$$

¹⁾ Nach brieflicher Mitteilung hat Herr Hammer bereits vor 15 Jahren die gnomonische Abbildung ebenfalls angewandt.

²⁾ Das Pothenotsche Problem auf der Kugelfläche. Sitzungsber. d. math. phys. Klasse d. Königl. Bayer. Akad. d. Wissensch. 34, München 1904, S. 115 u. A. d. Archiv d. Seewarte, Hamburg 1910, Nr. 1, S. 8.

Nach dem Sinussatze hat man in den beiden Dreiecken MOP und NOP

$$\begin{aligned} d \sin A_1 &= l_1 \sin(A_1 + s - u) = l_1 \sin(A_1 + s) \cos u - l_1 \cos(A_1 + s) \sin u \\ d \sin A_2 &= l_2 \sin(A_2 + s - u) = l_2 \sin(A_2 + s) \cos u + l_2 \cos(A_2 + s) \sin u \end{aligned} \quad (1)$$

und nach leichter Entwicklung:

$$\left. \begin{aligned} x^2 - l_1 \frac{\sin(A_1 + s)}{\sin A_1} x + y^2 + l_1 \frac{\cos(A_1 + s)}{\sin A_1} y &= 0 \\ x^2 - l_2 \frac{\sin(A_2 + s)}{\sin A_2} x + y^2 - l_2 \frac{\cos(A_2 + s)}{\sin A_2} y &= 0 \end{aligned} \right\} \quad (2)$$

Durch Einführung der Sylvesterschen Determinante eliminieren wir x oder y und schreiben:

$$\Delta = \begin{vmatrix} 1 - l_1 \frac{\sin(A_1 + s)}{\sin A_1} & + y^2 + l_1 \frac{\cos(A_1 + s)}{\sin A_1} y & 0 \\ & 1 & - l_1 \frac{\sin(A_1 + s)}{\sin A_1} \\ 1 - l_2 \frac{\sin(A_2 + s)}{\sin A_2} & + y^2 - l_2 \frac{\cos(A_2 + s)}{\sin A_2} y & 0 \\ & 1 & - l_2 \frac{\sin(A_2 + s)}{\sin A_2} \end{vmatrix} = (33 - 31)^2 + (21 - 23)(21 \cdot 33 - 23 \cdot 31) = 0. \quad (3)$$

Die Ausrechnung ergibt:

$$\begin{aligned} y &= \frac{2J}{w^2} (l_1 \sin A_2 \sin(A_1 + s) - l_2 \sin A_1 \sin(A_2 + s)) \\ x &= \frac{2J}{w^2} (l_1 \sin A_2 \cos(A_1 + s) + l_2 \sin A_1 \cos(A_2 + s)) \\ \text{tang } u = y : x &= \frac{l_1 \sin A_2 \sin(A_1 + s) - l_2 \sin A_1 \sin(A_2 + s)}{l_1 \sin A_2 \cos(A_1 + s) + l_2 \sin A_1 \cos(A_2 + s)} \\ \text{tang } (s - u) &= \frac{l_2 \sin A_1 \sin(\gamma + A_2) - l_1 \sin A_2 \sin A_2}{l_2 \sin A_1 \cos(\gamma + A_2) + l_1 \cos A_1 \sin A_2} \\ d^2 = \frac{4J^2}{w^2} &= \frac{(l_1 l_2 \sin(\gamma + A_1 + A_2))^2}{l_1^2 \sin^2 A_2 + l_2^2 \sin^2 A_1 - 2 l_1 l_2 \sin A_1 \sin A_2 \cos(\gamma + A_1 + A_2 - \pi)} \\ \text{oder } d^2 &= \frac{(l_1 l_2 \sin(\gamma + A_1 + A_2) : \sin A_1 \sin A_2)^2}{\frac{l_1^2}{\sin^2 A_1} + \frac{l_2^2}{\sin^2 A_2} - \frac{2 l_1 l_2}{\sin A_1 \sin A_2} \cos(\gamma + A_1 + A_2 - \pi)} \\ \text{mithin } d \cdot g &= 2J. \end{aligned} \quad (4)$$

Die geometrische Auslegung der Gl. (4) führt zu der bekannten Cassinischen Konstruktion,¹⁾ wie sie in der Figur angedeutet ist.

Die Fehler im gesuchten Orte, die durch un-

endlich kleine Fehler in den beobachteten Winkeln hervorgerufen werden, ermitteln wir durch Differentiation von d und u nach A_1 und A_2 und erhalten:

$$(5) \begin{cases} \delta u \cdot w^2 = l_1 \sin A_2 (l_1 \sin A_2 - l_2 \sin(A_2 + \gamma)) \delta A_1 - l_2 \sin A_1 (l_2 \sin A_1 - l_1 \sin(A_1 + \gamma)) \delta A_2 \\ \delta d \cdot w^2 = \frac{d}{\sin(A_1 + A_2 + \gamma)} \cdot (l_1 \sin A_2 - l_2 \sin(A_2 + \gamma)) (l_2 \sin A_1 + l_1 \sin A_2 \cos(A_1 + A_2 + \gamma)) \delta A_1 + ((l_2 \sin A_1 - l_1 \sin(A_1 + \gamma)) (l_1 \sin A_2 + l_2 \sin A_1 \cos(A_1 + A_2 + \gamma)) \delta A_2 \\ (\delta \sigma)^2 = (\delta d)^2 + d^2 (\delta u)^2. \end{cases}$$

Um den Übergang von der Ebene auf die Kugel- fläche vorzunehmen, vergleichen wir die entsprechenden Formeln für beide Flächen. Im Kugeldreieck MOP haben wir nach dem Kotangentensatze:

$$\begin{aligned} \cot A_1^1 \sin(s - u) &= \cot l_1 \sin d - \cos d \cos(s - u) \\ \text{oder } \frac{\cot A_1^1}{\cos d} \sin(s - u) &= \frac{\text{tang } d}{\text{tang } l_1} - \cos(s - u) \\ \frac{\cot A_1^1}{\cos d} &= \frac{\text{tang } d}{\text{tang } l_1 \sin(s - u)} - \cot(s - u), \quad (6) \end{aligned}$$

während aus (1) für das ebene Dreieck MOP folgt:

$$\cot A_1 = \frac{d}{l_1 \sin(s - u)} - \cot(s - u). \quad (6a)$$

¹⁾ Journal des Sçavans de l'an 1669, ed. Amsterdam, S. 548 bis 552. Im Handbuch von Jordan, 2. Bd., 5. Aufl., S. 307, wird nicht erwähnt, daß diese Konstruktion von Cassini herrührt.

Diese beiden Gleichungen gehen ineinander über, wenn wir setzen:

$$\frac{\cot A_1^1}{\cos d} = \cot A_1, \quad \text{tang } d = d, \quad \text{tang } l_1 = l_1.$$

Wie leicht ersichtlich, entspricht nun (6a) dem durch gnomonische Projektion auf eine die Kugel in O berührende Ebene entworfenen Dreiecke. Die Winkelverzerrung in der gnomonischen Projektion wird durch die einfache Beziehung

$$\text{tang } A_1 = \text{tang } A_1^1 \cos d \quad (7)$$

ausgedrückt. d , der Abstand des gesuchten Ortes vom Berührungspunkte, ist bei Landvermessungen stets eine kleine Größe, mithin ist $\cos d$ nur um eine Größe zweiter Ordnung von der Einheit verschieden, die man bei einer ersten Näherungsrechnung vernachlässigen kann. Ebenso findet man:

$$\text{tang } A_2 = \text{tang } A_2^1 \cos d \quad (7a)$$

Die sphärischen Winkel A_1^1 und A_2^1 sind gleich den projizierten Winkeln, wenn A_1^1 und A_2^1 , jeder für sich, gleich einem Rechten sind; Sphärische rechte Winkel erleiden keine Verzerrung in der Projektion, während spitze Winkel verkleinert und stumpfe Winkel vergrößert werden. Daraus folgt, daß für $A_1 = A_2 = R$ das sphärische Viereck MONP streng als ebenes behandelt werden kann. Der durch die erste Näherungsrechnung mit den Winkeln A_1^1 und A_2^1 gefundene Ort liegt weiter von O ab als der wahre Ort, wenn beide Winkel spitz, und näher an O, wenn beide Winkel stumpf sind. Die Maximal-

$$\text{und} \quad \text{tang } x = \text{tang } (A^1 - A) = \frac{2 \text{ tang } A^1 \sin \frac{2d}{2}}{1 + \text{tang }^2 A^1 \cos d} = \frac{\sin 2 A^1 \sin \frac{2d}{2}}{1 - 2 \sin^2 A^1 \sin \frac{2d}{2}} = \frac{\sin 2 A^1 \text{ tang } \frac{2d}{2}}{1 + \cos 2 A^1 \text{ tang } \frac{2d}{2}} \quad (8)$$

Da x eine kleine Größe ist, wenden wir auf (8) bekannte Reihenentwicklungen¹⁾ an und finden:

$$x \cdot \sin r'' = \sin 2 A^1 \text{ tang } \frac{2d}{2} - \frac{1}{2} \sin 4 A^1 \text{ tang } \frac{4d}{2} + \frac{1}{3} \sin 6 A^1 \text{ tang } \frac{6d}{2} - \frac{1}{4} \sin 8 A^1 \text{ tang } \frac{8d}{2} + \dots \quad (8a)$$

Das Gesetz der Reihe ist einfach. Die sehr konvergente Reihe liefert x auf 0,001 genau bei Mitnahme des ersten Gliedes für $d = 1^\circ 8'$, des zweiten Gliedes für $d = 5^\circ 40'$, des dritten Gliedes für $d = 12^\circ 24'$, des vierten Gliedes für $d = 19^\circ 40'$ und entsprechend auf 0,1 genau für $d = 9^\circ 59'$, $23^\circ 47'$, $35^\circ 44'$, $44^\circ 55'$. Man erhält z. B. für $A^1 = 11^\circ 15'$ und $d = 45^\circ$, $x = 13\ 543,0 - 2146,7 + 320,8 -$

$$x \sin r'' = \sin 2 A \text{ tang } \frac{2d}{2} + \frac{1}{2} \sin 4 A \text{ tang } \frac{4d}{2} + \frac{1}{3} \sin 6 A \text{ tang } \frac{6d}{2} + \frac{1}{4} \sin 8 A \text{ tang } \frac{8d}{2} + \dots \quad (8b)$$

Die Nepperschen Gleichungen liefern zur Berechnung des Exzesses (ε) aus zwei Seiten a , b und dem eingeschlossenen Winkel γ

$$\text{tang } \frac{1}{2} (\gamma - \varepsilon) = \text{tang } \frac{1}{2} \gamma \cos \frac{1}{2} (a + b) \sec \frac{1}{2} (a - b),$$

folglich nach (8)

$$\frac{1}{2} \varepsilon = n \sin \gamma + \frac{1}{2} n^2 \sin 2 \gamma + \frac{1}{3} n^3 \sin 3 \gamma + \dots \quad (8c)$$

worin gesetzt wurde

$$n = \text{tang } \frac{1}{2} a \text{ tang } \frac{1}{2} b.$$

Helmert, l. c., S. 100 berechnet auf dreierlei Art ε für $a = b = 14^\circ 19' 26,202$, $\gamma = 90^\circ$ und findet $\varepsilon = 6512,978$, $6512,978$, $6512,976$. Nach (8c) wird $\frac{1}{2} \varepsilon = 54' 16,7591 - 0,27064 + 0,00003$, mithin $\varepsilon = 6512,9770$.

Wie vorher schon gesagt wurde, werden rechte Winkel in der gnomonischen Projektion nicht verzerrt (was auch aus der Reihe [8a] hervorgehen muß). Daraus folgert man leicht, daß für das rechtwinklige sphärische Dreieck, und zwar nur für das rechtwinklige, $x = \varepsilon$, d. i. dem sphärischen Exzesse des Dreiecks, ist. Da die Formel (7) streng richtig ist, so kann man bei der Berechnung der Winkel eines sphärischen Dreiecks aus zwei Seiten und dem

winkelverzerrung tritt ein, wenn beide Winkel $= 45$ oder $= 135^\circ$ sind.

Die Winkelverzerrung läßt sich aus (7), wenn der Bogen d eine kleine Größe ist, direkt nur mit vielstelligen Logarithmen berechnen. Der Ausdruck muß daher so umgeformt werden, daß die vorhandenen Tafeln auf alle Fälle ausreichen. Wir setzen $A^1 = A + x$, also da A^1 der gegebene sphärische Winkel ist,

$$\text{tang } (A^1 - x) = \text{tang } A^1 \cos d.$$

Mithin wird

$$\frac{\text{tang } A^1 - \text{tang } x}{1 + \text{tang } A^1 \text{ tang } x} = \text{tang } A^1 \cos d$$

$$\frac{\sin 2 A^1 \sin \frac{2d}{2}}{1 - 2 \sin^2 A^1 \sin \frac{2d}{2}} = \frac{\sin 2 A^1 \text{ tang } \frac{2d}{2}}{1 + \cos 2 A^1 \text{ tang } \frac{2d}{2}} \quad (8)$$

44,7 = $3^\circ 14' 32,73$. Die direkte Rechnung nach Formel (8) gibt $x = 3^\circ 14' 37,461$. Für Vermessungszwecke reicht das erste Glied stets aus.²⁾ Um einen Winkel A im ebenen Dreieck auf den entsprechenden sphärischen zu reduzieren, hat man in (8a) A^1 durch A zu ersetzen und alle Glieder mit positivem Vorzeichen zu nehmen, also:

eingeschlossenen Winkel, das Dreieck als ein ebenes auflösen, wenn man die Bogen der Seiten durch ihre Tangenten ersetzt und dann die gefundenen Winkel des ebenen Dreiecks nach Formel (7) verbessert. Diese Rechnungsweise ist nicht mehr anwendbar, wenn eine Seite gleich oder fast gleich einem Rechten ist. Vor den Nepperschen Analogien verdienen diese Formeln den Vorzug, da das lästige Bilden der halben Summen und Differenzen fortfällt. Sind, wie in Schulbeispielen und in der ausübenden Nautik die Seiten auf Bogenminuten angegeben, so erspart man meist jede Interpolation bei Benutzung fünfstelliger Logarithmentafeln, deren Argumente in der Regel von Minute zu Minute fortschreiten.

Der nach Formel (8a) berechnete Unterschied zwischen dem sphärischen und dem entsprechenden ebenen Winkel kann in mehrfacher Weise zur Auflösung des sphärischen Vierecks verwandt werden. Wir wollen dabei, wie es in den Lehrbüchern ge-

¹⁾ Helmert, Die mathematischen und physikalischen Theorien der Höheren Geodäsie, Leipzig 1880, I. Teil, S. 42.

²⁾ Aus (8) folgt noch: $x'' = \sin A^1 \cos A^1 \cdot \frac{2 \sin \frac{2d}{2}}{\sin r''} + \dots$

schiebt, den Burckhardtschen Winkel μ einführen. Man reduziert die Bogen der Seiten l_1 und l_2 auf ihre Tangenten nach der Additamentenmethode, bildet also:

$$\log l_1^1 = \log l_1 + T l_1 \text{ und } \log l_2^1 = \log l_2 + T l_2.$$

Bei Benutzung der Tafel (43) in Jordan's Handbuch usw., 3. Bd., hat man $T = 2A^1$ zu setzen. Dann rechnet man mit vierstelligen Logarithmen:

$$\left. \begin{aligned} \frac{l_1^1}{\sin A_1^1} : \frac{l_2^1}{\sin A_2^1} &= \tan \mu, \quad \varphi + \psi = 360^\circ - (\gamma + A_1^1 + A_2^1) \\ \tan \frac{1}{2}(\varphi - \psi) &= \tan \frac{1}{2}(\varphi + \psi) \cot(\mu + 45^\circ), \\ d &= \tan \delta = l_1^1 \frac{\sin \varphi}{\sin A_1^1} = l_2^1 \frac{\sin \psi}{\sin A_2^1}. \end{aligned} \right\} (9)$$

Nun reduziert man die sphärischen Winkel auf ebene nach Formel (8a), indem man direkt $\Delta A_1^1 = \sin 2 A_1^1 \frac{\tan^2 \frac{\delta}{2}}{\sin r''}$ und $\Delta A_2^1 = \sin 2 A_2^1 \frac{\tan^2 \frac{\delta}{2}}{\sin r''}$ rechnet, oder indem man mit dem Argument $\delta^{\min} = \frac{\delta''}{15}$ aus Tafel 27 der Albrechtschen

Hilfstafeln den Faktor $\frac{2 \sin^2 \frac{\delta}{2}}{\sin r''}$ (aus Tafel 29 den log dieses Faktors) entnimmt und mit $\frac{1}{2} \sin 2 A_1^1$ bzw. $\frac{1}{2} \sin 2 A_2^1$ multipliziert.

In die obigen Formeln kann man jetzt statt A_1^1 und A_2^1 die Winkel $A_1 = (A_1^1 - \Delta A_1^1)$ und $A_2 = (A_2^1 - \Delta A_2^1)$ direkt einführen. Damit ergeben sich neue Werte für μ , φ , ψ und der definitive Wert von d und $u = \frac{1}{2} [(A_1 - A_2) + (\varphi - \psi)]$. Die so gefundenen φ und ψ reduziert man nach Formel (8b) mit den Seiten l_1 und l_2 auf die sphärischen Winkel φ' , ψ' . Die beiden noch fehlenden Seiten erhält man durch Anwendung des Sinussatzes für sphärische Dreiecke.

Da ΔA_1^1 und ΔA_2^1 kleine Größen sind, kann man d und u auch differentiell berechnen. Diese Art der Rechnung würde der Lösung der Aufgabe entsprechen: Welche Veränderung in den Polarkoordinaten des gesuchten Ortes entspricht Fehlern in den beobachteten Winkeln? In ähnlicher Weise löst Herr v. Kobbe das sphärische Viereck (Fünfeck) auf.

Ich würde der direkten oben beschriebenen

¹⁾ Nach einer Bemerkung auf S. 260 hat Bremiker eine Tafel für T berechnet. Das angezogene Werk ist aber von Baeyer verfaßt und nur als Manuskript gedruckt. Eine Tafel für T ist in dem mir gütigst von Herrn Helmert übersandten Exemplare nicht enthalten. Das Werk wird auch von Helmert, l. c., S. 239 zitiert.

Methode den Vorzug geben. Man erhält in dieser Weise alle Stücke des sphärischen Vierecks genauer ohne größere Rechenarbeit als nach den in den Handbüchern entwickelten Formeln. Bei der Anwendung der Methode zur geographischen Ortsbestimmung mittels Azimutdifferenzen dreier Sterne fällt die Vorbereitungsrechnung weg, wenn man die Zenitdistanz des Sternes O am Höhenkreise des Theodoliten mit abgelesen hat. In Polargegenden könnte man auf solche Weise die Refraktion bestimmen, worauf ich hier nicht näher eingehen will.

Eine interessante Anwendung der Winkelreduktion möge noch gestattet sein. Magnus¹⁾ löst

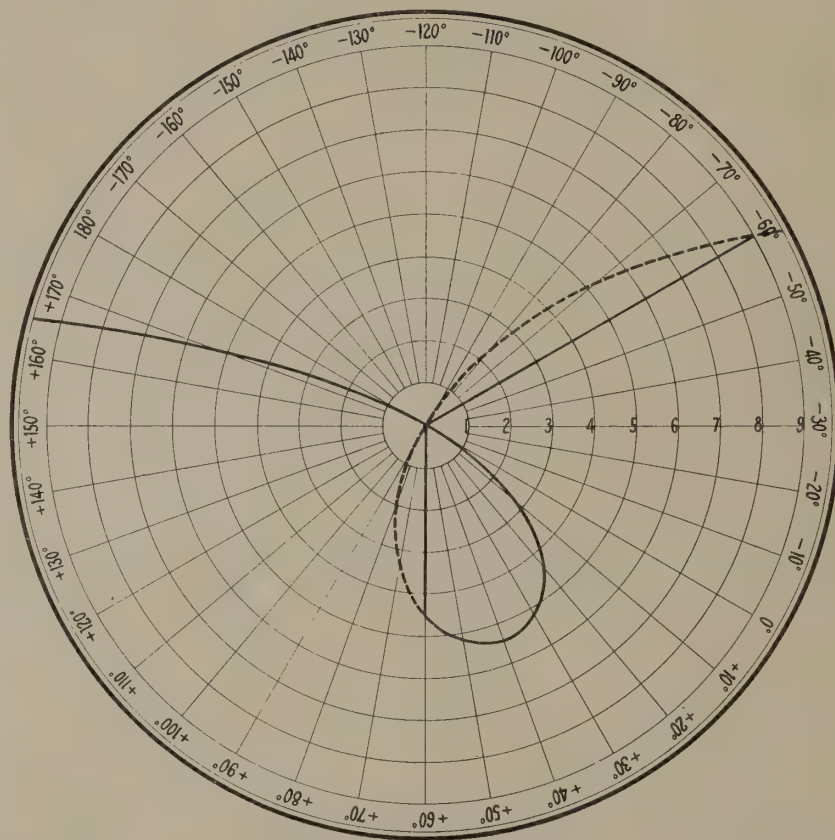


Fig. 2.

die Aufgabe: Es sind drei Punkte M, O, N gegeben. Man soll den Ort des Punktes P finden, der so liegt, daß die Geraden, die von P nach jenen Punkten gezogen werden, gleiche Winkel MPO, NPO bilden. Nach unserer Bezeichnungsweise ist also $A_1 = A_2 = A$. Nach dem Formelsystem (4) haben wir sofort:

$$\left. \begin{aligned} \tan u &= \tan (A + s) \frac{l_1 - l_2}{l_1 + l_2} \\ d^2 &= l_1 l_2 \sin 2(s + A) : (l_1^2 + l_2^2 + 2 l_1 l_2 \cos 2(s + A)) \end{aligned} \right\} (10)$$

¹⁾ Sammlung von Aufgaben und Lehrsätzen aus der analytischen Geometrie, Berlin 1833, S. 265.

²⁾ Diese Gleichung kann als besonderer Fall von (7) angesehen werden.

Durch Elimination von A ergibt sich die Gleichung der Ortskurve in Polarkoordinaten. Man erhält einfacher aus zwei Gleichungen (6a):

$$d = \frac{2 l_1 l_2 \sin u}{(l_2 - l_1) \sin s + (l_2 + l_1) \cos s \tan u} \quad (11)$$

oder in rechtwinkligen Koordinaten:

$$(x^2 + y^2) [(l_2 - l_1) \sin s \cdot x + (l_2 + l_1) \cos s \cdot y] = 2 l_1 l_2 xy \quad (11a)$$

Die Ortskurve ist mithin eine schiefe Strophoide. (Fig. 2.) Da in den Formeln nur $\cot A$ auftrat und $\cot A = \cot(A + \pi)$ ist, muß die Kurve auch die $A + \pi$ entsprechenden Orte mitenthalten, worauf Magnus nicht hinweist; diese Orte sind in der Fig. 2 durch gestrichelte Linien angedeutet.

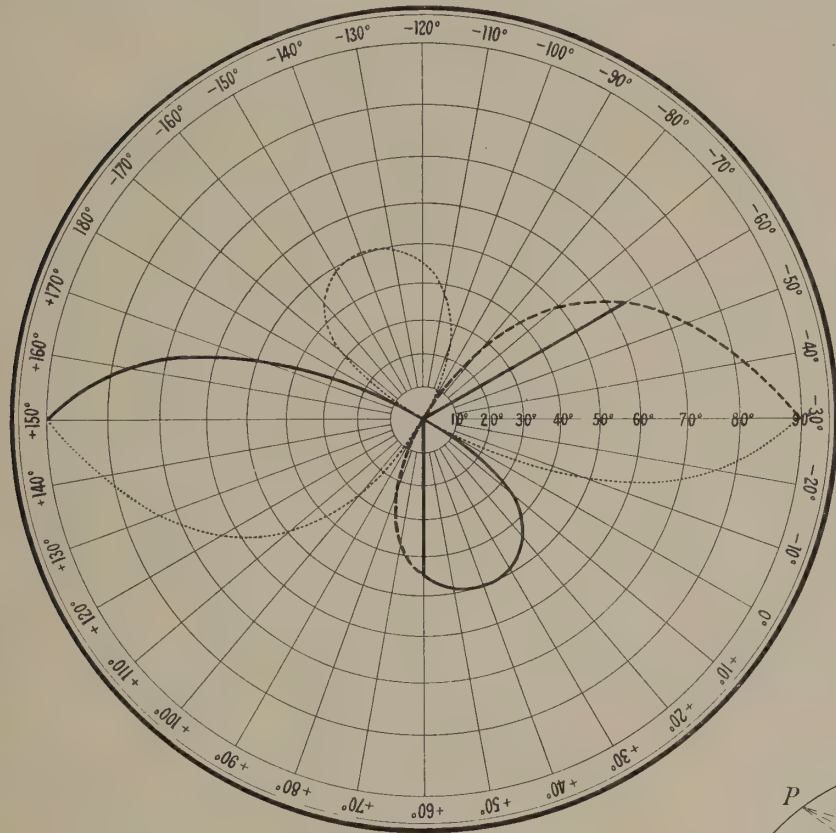


Fig. 3.

Diese Aufgabe soll auf die Kugel übertragen werden. Wie oben bewiesen, ist in der gnomonischen Projektion die Winkelverzerrung nur vom Abstand des projizierten Punktes vom Projektionszentrum abhängig, mithin müssen gleiche Winkel auf den Parallelkreisen gleichmäßig verzerrt werden, die projizierten Winkel haben zwar andere Werte als die Kugelwinkel, sind aber einander gleich. Die Ortskurve ist auch auf der Kugel eine schiefe Strophoide. Während die ebene Kurve zwei Zweige ins Unendliche sendet, schließen sich auf der Kugel diese Zweige wieder im Gegenpunkt des Doppelpunktes der Kurve. Fig. 2 zeigt die Kurve in gnomonischer, Fig. 3 in stereographischer Pro-

jektion auf ihren Doppelpunkt (und seinen Gegenpunkt); angenommen ist in beiden Figuren $l_1 = 45^\circ$, $l_2 = 63^\circ 26' 5.''82$, $\tan l_2 = 2 \cdot \tan l_1$.

Ist $l_1 = l_2$, so geht die ebene Strophoide in den Umkreis des Dreiecks der Fixpunkte und in die X-Achse über mit den Gleichungen:

$$\left(x - \frac{1}{2} \sec s\right)^2 + y^2 = \left(\frac{1}{2} \sec s\right)^2 \text{ und } y = 0 \quad (12)$$

Der Umkreis erfüllt bekanntlich die Bedingung, daß der Unterschied ($A_2 - A_1$) der Peripheriewinkel über denselben Bogen konstant (in diesem besonderen Falle $A_2 - A_1 = 0$) ist. Der Umkreis (gefährliche Kreis) ist ein besonderer Fall einer Ortskurve 4. Grades, die alle Orte vereinigt, für die $A_2 - A_1 = k$ ist. Dem Umkreise in der Ebene entspricht auf der Kugel ein rechtwinkliger Kegelschnitt.

Ist $\gamma = \pi$, so geht die Ortskurve ebenfalls in einen Kreis (Fig. 4) über mit der Gleichung (Satz des Apollonius):

$$x^2 + \left(y - \frac{l_1 l_2}{l_2 - l_1}\right)^2 = \left(\frac{l_2 l_1}{l_2 - l_1}\right)^2 \quad (12a)$$

Diesem Kreise entspricht auf der Kugel ebenfalls ein rechtwinkliger Kegelschnitt. Es ist bekanntlich $\sin MO : \sin ON = \sin MP : \sin PN$.¹⁾

Aus den obigen Ausführungen geht hervor, daß man beim Rückwärtseinschnitt das Kugelviereck durch seine gnomonische Projektion ersetzen und die gemessenen Kugelwinkel als ebene Winkel einführen kann, ohne bei Dreiecken von 100 km Seitenlänge größere Fehler im gesuchten Orte zu erhalten, als der Genauigkeit der Messungen ent-

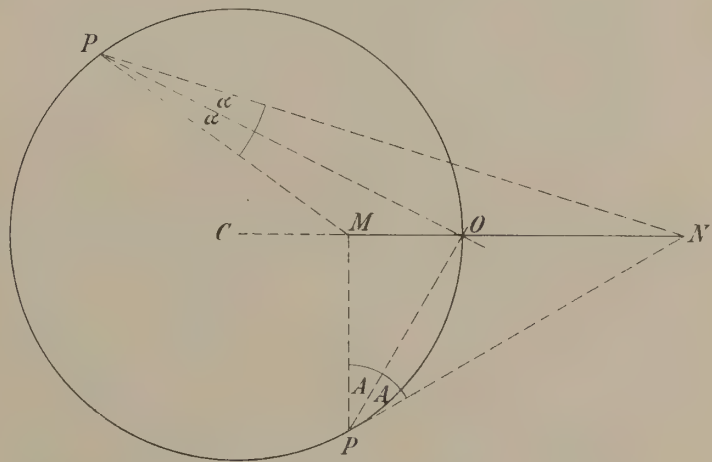


Fig. 4.

¹⁾ Ob diese Eigenschaften der sphärischen Kurven bekannt sind, entzieht sich meiner Kenntnis. Elementar lassen sich diese Eigenschaften kaum leichter auffinden, als durch die oben skizzierte Methode.

sprechen würde. In einer Merkator Karte wird der Fehler im gesuchten Orte durch direkte Einführung der gemessenen Winkel sehr stark vergrößert. Da

dieser Fall besonders bei der Bestimmung des Schiffsortes eine Rolle spielt, werde ich darauf in einer nautischen Zeitschrift ausführlicher eingehen.

VII. Bericht über die astronomischen Arbeiten während der Reise.¹⁾

Dem Reisenden standen für die astronomischen Beobachtungen zur Verfügung: ein kleines Universalinstrument von Hildebrand in Freiberg Nr. 2348, eine mittlere Zeituhr und zwei Sternzeituhren von Lange & Söhne in Glashütte. Die Ausrüstung genügte für die beabsichtigten Breiten-, Zeit- und Azimutbestimmungen, welche letztere zur Orientierung der ziemlich umfangreichen Triangulationsarbeiten nötig wurden. Wenn auch für den letzteren Zweck mehrfache Anschlüsse an die durch Herrn Hauptmann Schlobach ausgeführte Grenzvermessung mehrfach vorhanden waren, so war es doch namentlich bei größeren Entfernungen von dem genannten Vermessungsnetz wünschenswert selbständige Orientierung zu erhalten. Das benutzte kleine Universalinstrument gestattete noch eine Genauigkeit von 0.5 in Zenitdistanz und 1.0 am Horizontkreis. Die erhaltenen Werte für die Uhrkorrekturen sind dementsprechend durchschnittlich aus vier Einstellungen bis auf etwa ein bis zwei Zeitsekunden und die Breiten im allgemeinen bis auf ± 0.4 sicher, namentlich bei den letzteren ist aber mehrmals bei zweckmäßiger Anordnung der Beobachtungen noch eine etwas größere Genauigkeit erlangt worden. Beeinträchtigt ist diese nur dann, wenn — durch äußere Umstände bedingt — die Zenitdistanzmessungen zu weit außerhalb des Meridians angestellt werden mußten. Ist dann nur eine einseitige Zeitbestimmung vorhanden, die unter Umständen eine auf mehrere Sekunden unsichere Uhrkorrektur liefert, so können bei den großen Stundenwinkeln auch die Reduktionen auf den Meridian erheblich fehlerhaft werden. In der nachstehend angefügten Liste der Einzelbestimmungen sind die geschätzten — oder wenn genügendes Material vorhanden ist — auch scharf berechneten „Mittleren Fehler“ mit angegeben. Von den Azimutmessungen in Ngorongoro III kann nur eine einzige auf größere Genauigkeit Anspruch machen, da für die anderen Tage leider keine genügenden Zeitangaben erlangt werden konnten; denn am gleichen Tage ist leider

keine Zenitdistanzmessung der Sonne, welche ausschließlich für die Azimute beobachtet wurde, vorgenommen worden. Auch der Uhrgang ließ sich nicht mit genügender Sicherheit feststellen, so daß eine schärfere Extrapolation nicht angängig war.

Es muß hier darauf hingewiesen werden, daß Gestirne bei geringer Zenitdistanz nie zu Azimutbestimmungen mit so kleinen Instrumenten beobachtet werden sollten; denn die Bestimmung der Neigung der Horizontalachse ist kaum mit genügender Schärfe möglich, ein Fehler in dieser Neigung gewinnt aber einen sehr erheblichen Einfluß auf die Azimutdifferenz zwischen einem hochstehenden Gestirn und nahe dem Horizont gelegenen irdischen Objekt (Dreieckspunkt usw.).

Es ist gewiß anzuerkennen, wenn bei Gelegenheit auch Höhenmessungen des Mondes mit solchen von nahestehenden Gestirnen zugleich ausgeführt werden, da auf diese Weise eventuell eine Längenbestimmung gewonnen werden kann. Solche Messungen hat der Reisende auch versucht, aber leider in viel zu geringer Zahl und nur sehr sporadisch verteilt auf die verschiedenen Orte. Wenn es schon an und für sich sehr gewagt ist, ein so kleines Instrument zu solchen Beobachtungen verwenden zu wollen, so könnte doch gerade deswegen nur eine systematische Ausführung solcher Beobachtungen eine gewisse Aussicht auf Erfolg versprechen. Nach den vorliegenden Daten ist es aber aus den angeführten Gründen ganz unmöglich auch nur einen genähert richtigen Wert von absoluten Längen zu erhalten. Bei ganz plausiblen Annahmen betr. der Unsicherheiten in der gemessenen Zenitdistanz des Mondes und in der Zeitbestimmung aus einem dem Monde nahestehenden Stern — nämlich etwa 20" resp. 1^s — erhält man für den mittleren Fehler einer Längenbestimmung, den Betrag von 12 bis 13 Bogenminuten! Das ist selbstverständlich viel mehr, als auch einer ganz oberflächlichen Routenaufnahme, geschweige denn den gut ineinandergreifenden Triangulierungen, welche der Reisende ausführte, beizumessen sein dürfte. Es geht aus solchen Betrachtungen hervor, und die Praxis hat das in vielen Fällen bestätigt, daß Längenbestimmungen aus Mondzenitdistanzen nur von

¹⁾ Für die Berechnung der Beobachtungen und die Abfassung dieses Berichts sage ich Herrn Professor Dr. Ambronn meinen verbindlichsten Dank. F. J.

Erfolg begleitet sein können, wenn eine vorzügliche Ausrüstung mit großen Universalinstrumenten oder mit besonders für solche Beobachtungsmethoden gebauten Instrumenten (Zenitteleskopen, Astrolabium oder dergleichen) vorhanden ist. Jeder einfache Polygonzug von einem bekannten Orte aus oder die einfachste Dreieckskette liefert ohne solche Ausrüstung weit bessere Resultate.

Ich habe diese Betrachtungen hier nicht an- gestellt um die Mühen, die sich der Reisende mit der Messung von Mondhöhen gegeben hat, abfällig zu beurteilen, sondern als Warnung für spätere Fälle, um unnötige Arbeit zu inhibieren und die auf solche Dinge verwendete Zeit zweckmäßigeren Beobachtungen vorzubehalten.

Zusammenstellung der auszuwertenden astronomischen Beobachtungen und deren Resultate.

Datum	Ort	Gestirn	Beob. Zweck	Anzahl der Einstellungen	Uhrkorr.	Geogr. Breite	Azimut	Bemerkungen
					Δu	φ		
1906								
5. Juli	Kijungu b. Soders Ansidelung	γ Sagittarii α Centauri	Zeit. Ost Breite	2 2	$+1^{\text{h}} 38^{\text{m}} 31^{\text{s}}$ —	— $-5^{\circ} 41'.5$	— —	Im Beob. Buch steht ϵ Sagit. $\pm 1'$ Fast 2 Stunden aus dem Merid.
9. Juli	Mnaingolager	ϵ Sagittarii α Centauri	Zeit. Ost Breite	4 4	$+1^{\text{h}} 32^{\text{m}} 59^{\text{s}}$ —	— $-4^{\circ} 58'.6$	— —	$\pm 0'.5$ 2 Stunden aus d. Merid.
15. Juli	Lager am Pangani	α Lyrae α Centauri	Zeit. Ost Breite	4 4	$+1^{\text{h}} 34^{\text{m}} 2^{\text{s}}$ —	— $-4^{\circ} 25'.7$	— —	$\pm 1'$ $1\frac{3}{4}$ Stunden aus d. Merid.
18. Sept.	Akida Maussa	λ Scorpii α Gruis	Zeit. West Breite	6 6	$+2^{\text{h}} 22^{\text{m}} 14^{\text{s}}$ —	— $-4^{\circ} 4'.2$	— —	$\pm 1'$ $\frac{1}{2}$ Stunde aus d. Merid.
2. Okt.	Lager am Masodisch-See	ϵ Sagittarii α Gruis	Zeit. West Breite	6 5	$+2^{\text{h}} 19^{\text{m}} 44^{\text{s}}$ —	— $-4^{\circ} 17'.8$	— —	$\pm 0'.1$ Gute Position.
6. Okt.	Mkalama, Boma	δ u. σ Sagitt. α Gruis	Zeit. West Breite	6 6	$+2^{\text{h}} 17^{\text{m}} 35^{\text{s}}$ —	— $-4^{\circ} 6'.7$	— —	Zwei verschiedene Sterne. $\pm 0'.3$ Gute Position.
20. Okt.	Lager am Simbiti	σ Sagittarii α Gruis	Zeit. West Breite	6 6	$+2^{\text{h}} 15^{\text{m}} 4^{\text{s}}$ —	— $-3^{\circ} 52'.0$	— —	Gestirn war nicht angegeben. $\pm 0'.1$ Gute Position, obgleich über $\frac{1}{2}$ Stunde aus d. Merid.
1907								
9. Febr.	Ngorongoro III.	α Leonis Canopus	Zeit. Ost Breite	4 8	$+0^{\text{h}} 32^{\text{m}} 58^{\text{s}}$ —	— $-3^{\circ} 9'.3$	— —	$\pm 0'.1$ Gute Bestg., obgleich bis zu 55 Min. aus d. Merid. Damit Az. (Ng III—B) $11^{\circ} 49'.7$.
20. Febr.	Loolmalassin β	Sonne	Az.	6	Δu Wahre Zeit $+14^{\text{s}}$	—	Südpunkt $237^{\circ} 53'.0$	(Az. Ng [III—Ng II] $29^{\circ} 21'$). Loolmalassin β —Gelei $33'$ $16'.4$ daran eine größere Anzahl Richtungen angeschlossen.
22. April	Ngorongoro III.	Sonne	Az.	4	Δu Wahre Zeit $+2^{\text{m}} 16^{\text{s}}$	—	$331^{\circ} 13'.0$	Daran angeschlossen eine Anzahl geodätischer Punkte.
29. April	Meatu	δ Scorpii γ Gruis	Zeit. Ost Breite	4 6	$-1^{\text{h}} 59^{\text{m}} 9^{\text{s}}$ —	— $-3^{\circ} 24'.0$	— —	$\pm 0'.2$ Ziemlich sichere Position.

Beobachtungen sind noch ausgeführt am 17. Juli, am 10. und 28. Oktober. Einzelne Mondhöhen, welche ein brauchbares Resultat, wie oben ausgeführt, nicht liefern können; am 9. Februar eine Azimutmessung ohne Zeitbestimmung und an den Tagen: 9. und 28. Februar, 4., 7., 17. und 20. März, 10., 13. und 19. April geodätische Übertragungen.

VIII. Die barometrischen Höhenmessungen.

1. Die Beobachtungen auf der Reise.

Instrumente. Folgende Instrumente dienen zu den für die Höhenmessungen erforderlichen Beobachtungen: drei Siedethermometer *Fuess* Nr. 1018, 1020 und 1022. Alle drei Instrumente sind vor der Reise im Februar 1906, 1020, 1022 auch nach der Reise im April 1908 von der Physikalisch-Technischen Reichsanstalt geprüft worden. Drei *Bohne*sche Aneroide, Nr. 5002, 4098 und 5126. Das große Aneroid 5002, im Text α genannt, hatte eine in $\frac{1}{10}$ mm geteilte Skala, die zweimal ums Zifferblatt herumlief und von 790 bis 600 mm reichte. Aneroid 4098 (β) war ein Instrument von 71 mm Durchmesser und hatte eine Skala von 780 bis 400 mm. Aneroid 5126 (γ) war gleichfalls ein Instrument von 71 mm Durchmesser, das jedoch ein kleineres Werk besaß als β und deshalb kompakter war, seine Skala reichte von 780 bis etwa 350 mm.

Alle drei Instrumente waren gegen Temperatur kompensiert. Aber nur β war vor der Reise von der Physikalisch-Technischen Reichsanstalt geprüft worden.

Ein kleines *Abmann*sches Aspirationspsychrometer mit den geprüften Thermometern Nr. 2273 und 2274. Dieses Instrument wurde schon im zweiten Monat der Reise durch einen Defekt unbrauchbar, so daß später die Temperatur und Luftfeuchtigkeit mit Schleuderthermometern gemessen werden mußten. Dazu dienten die nicht geprüften *Fuess*schen Thermometer Nr. 3532, 2141, 2142 und 3363. Ein Vergleich des trocknen und des feuchten Schleuderthermometers mit einem „*Abmann*“ der Daressalamer Meteorologischen Hauptstation zeigte die völlige Übereinstimmung. Die Messungen mit Schleuderthermometern stehen also denen mit „*Abmann*“ nicht nach.

Methode der Beobachtungen. Luftdruck, Temperatur und Luftfeuchtigkeit wurden täglich um 7a, 2p¹⁾ und 9p beobachtet, in der Regel von *Eduard Oehler*. An den drei Aneroiden wurde der Luftdruck und die Innentemperatur des Instruments abgelesen, am „*Abmann*“ oder später an den Schleuderthermometern die Temperatur des trocknen und feuchten Thermometers. Außerdem habe ich bei den topographischen Arbeiten an

¹⁾ Die Beobachtung um 2p fand meist unterwegs statt, wo *Oehler* nur das Aneroid γ ablesen konnte. Die meisten der 2p Beobachtungen können zur Höhenberechnung nicht verwandt werden, weil sich der Punkt nicht genau im Gelände angeben läßt.

sehr vielen Punkten Aneroidstände notiert, bei denen nur an einem Aneroid, meistens β , Luftdruck und Innentemperatur abgelesen wurde, natürlich zu ganz zufälligen Zeiten. Die äußere Lufttemperatur wurde hierzu nur in vereinzelt Fällen gemessen.

Siedethermometermessungen, im ganzen 35, wurden nicht in bestimmten Zeitabständen, sondern an besonders wichtigen Punkten vorgenommen, die Mehrzahl von *Oehler*. Jede Messung bestand aus einem Satz von mindestens vier, meist sechs Beobachtungen, zwischen denen das Sieden mindestens einmal unterbrochen wurde. Es wurden immer zwei Thermometer benutzt, anfangs nur 1018 und 1022, zuletzt, als 1018 zerbrochen war, 1020 und 1022. In Daressalam und in Moschi konnten die Aneroide und Siedethermometer auch mit einem Quecksilberbarometer verglichen werden.

Mängel unserer Beobachtungen. Ich will hier gleich auf die Mängel unserer Beobachtungen hinweisen, die sich bei der Bearbeitung herausstellten und die von späteren Beobachtern vermieden werden können. Unsere Aneroide erlitten viel häufigere und größere Störungen als es sonst der Fall zu sein pflegt. Vielleicht wurden sie, wenn auch mit Sorgfalt, so doch nicht mit der nötigen Liebe behandelt. γ wurde meist von einem Neger getragen. Im Lager hingen die drei Aneroide, um bequem zur Hand zu sein, an einem Aufhänger an einer Zeltstange, meist noch mit anderen Gegenständen zusammen. Beim Abnehmen eines Gegenstandes mögen sie manchmal Erschütterungen erlitten haben.

Um so wichtiger ist eine häufige Kontrolle durch Siedethermometer. Eigentlich sollten die Aneroide alle drei Tage durch Siedethermometermessungen kontrolliert werden.¹⁾ Aber wer kann auf einer Forschungsreise alles ausführen, was er sollte und möchte! Wir haben in elf Monaten nur 35 Siedethermometermessungen gemacht; durch geeignete räumliche und zeitliche Verteilung der Siedethermometermessungen haben wir den Mangel der geringen Anzahl einigermaßen ausgleichen können. Trotz der vielen Standänderungen unserer Aneroide macht sich doch nur an wenigen Orten das Fehlen einer Kontrolle störend bemerkbar. An solchen Orten hätte jedesmal durch eine Siedethermometermessung eine ganze Reihe von Beobachtun-

¹⁾ v. *Danckelman*, in der Anweisung zu Höhenmessungen, die den üblichen Routenbüchern vorgedruckt ist, S. 6.

gen wesentlich an Sicherheit gewonnen. Der geringe Gewinn aber, der sich durch noch häufigere Siedethermometermessungen hätte erzielen lassen, würde der für die Beobachtungen aufgewandten Zeit und Mühe nicht entsprochen haben. In der Regel ließen sich die Korrekturen der Aneroide, auch wo sie sich zwischen zwei zeitlich entfernten Siedethermometermessungen änderten, durch den Vergleich der drei Aneroide hinreichend bestimmen. Nur in den Höhen, wo α nicht mehr ausreichte und nur β und γ verglichen werden konnten, entstehen trotz der gerade in diesen Höhegegenden häufigeren Siedethermometermessungen größere Unsicherheiten. Es ist also ratsam, drei Aneroide mitzunehmen, die alle drei bis zu den höchsten in Frage kommenden Höhen reichen. Wo die Kontrolle durch den Vergleich dreier Aneroide fehlt, sind viel häufigere Siedethermometermessungen erforderlich.

Bei den Siedethermometermessungen hat sich häufig herausgestellt, daß die erste Beobachtung des Satzes zu niedrig ausfiel, was ja auch Kohl-schütter und andere Beobachter herausgefunden haben. Bisweilen fiel die letzte zu niedrig aus; da hat offenbar der Beobachter in einer gewissen Ungeduld zu früh die Messung beendet. Manchmal fügten es die Umstände, daß nur ein Aneroid mit den Siedethermometern verglichen werden und die Korrekturen der anderen erst nachträglich durch den Vergleich mit diesem bestimmt werden konnten. Das sollte man möglichst vermeiden, weil das kontrollierte Aneroid in der Zwischenzeit wieder eine unkontrollierbare Änderung erleiden kann. Manchen Beobachtungsreihen haftet infolgedessen eine größere Unsicherheit an.

Nach hohen Bergbesteigungen werden die Aneroide sozusagen krank und zeigen ganz unregelmäßige Abweichungen, erholen sich aber nach ein bis zwei Tagen wieder. Alsdann sollte man eine Siedethermometermessung anstellen, um die etwa veränderten Korrekturen zu bestimmen.

2. Die Auswertung der Beobachtungen.

Vor allem möchte ich an dieser Stelle Herrn Admiraltätsrat Professor Dr. Kohl-schütter herzlich danken für seine freundliche Unterstützung mit sachkundigem Rat, die er mir bei der Auswertung der Höhenmessungen reichlich zuteil werden ließ. Auch meinem Freunde, Professor Dr. Carl Uhlig, habe ich für manchen freundlichen Rat zu danken und Herrn Kapitän Martens dafür, daß er die zeitraubende Berechnung der barometrischen Höhen übernommen hat. Der Deutschen Seewarte schulde ich Dank für die Überlassung handschriftlichen Beobachtungsmaterials.

A. Befreiung von Instrumentalfehlern.

α . Siedethermometer.

Zunächst wurden in einer Tabelle I alle Siedethermometerbeobachtungen und gleichzeitigen Aneroidablesungen zusammengestellt und daraus die Aneroidkorrekturen abgeleitet. Folgende mitten herausgegriffene Stücke zeigen die Einrichtung der Tabelle.¹⁾

Es zeigt sich bei vielen Beobachtungen, daß auch nach Anbringung der Korrekturen der Prüfungsscheine noch Differenzen der beiden Siedethermometer vorhanden waren, die offenbar keine Beobachtungsfehler, sondern Instrumentalfehler waren. Die Beobachtung in Iramba, wo beide Instrumente stets um etwa 1 mm differieren, zeigt dies deutlich. Da die Siedethermometer die Grundlage aller Messungen sein sollten, galt es vor allem, deren Instrumentalfehler zu ermitteln. Deshalb wurden die Thermometer 1020 und 1022 einer erneuten Prüfung in der Physikalisch-Technischen Reichsanstalt unterzogen. 1018, das bei der Mehrzahl der Messungen benutzt war, konnte leider nicht nachgeprüft werden, da es auf der Reise zerbrach.

Ich habe die bei den Prüfungen erhaltenen Abweichungen graphisch dargestellt. Beide Instrumente zeigen nach der Reise höher als vorher. Sie sind wohl durch den Luftdruck etwas komprimiert worden. Wenn man aber die entsprechenden Kurven von der ersten und der zweiten Prüfung ineinanderschiebt, sind die Abweichungen nicht bedeutend. Unregelmäßige Änderungen der Thermometer haben also nur wenig stattgefunden und die vorhandenen mögen zum Teil auch nur scheinbar sein, auf der Abrundung auf Fünftelmillimeter beruhend.

Wann und wie hat die Änderung stattgefunden? Die regelmäßige Änderung hat wahrscheinlich ganz allmählich stattgefunden. Aber es ist immerhin möglich, daß sie auf der Reise, wo die Instrumente erschüttert wurden, schneller vor sich ging als nach der Reise. Ebenso gut aber ist es möglich, daß sie auf der Reise, wo der Luftdruck geringer war, langsamer vor sich ging als nach der Reise. Die unregelmäßigen Änderungen können an verschiedenen Teilen der Skala und erst recht bei den verschiedenen Instrumenten zu verschiedenen Zeiten stattgefunden haben. Anhaltspunkte geben die Vergleiche der Siedethermometer unterwegs. Bei der Messung am 9. Februar 1907 in Ngorongoro, der ersten, wo die Instrumente 1020 und 1022 verglichen wurden, stimmen die Thermometer mit den alten Korrekturen gut überein, mit den neuen viel

¹⁾ Die Tabellen stehen am Schluß dieses Abschnitts, S. 49 ff.

schlechter. Hier gelten offenbar noch die alten. Daher darf man annehmen, daß auch vorher 1022 sich nicht wesentlich geändert hat. Auch die Siedethermometermessungen vom 11., 15., 16., 19., 21. Februar und 18. März stimmen unter Zugrundelegung der alten Korrektur viel besser überein als mit den neuen. Erst die Messung vom 5. April 1907 würde sehr viel besser übereinstimmen, wenn man die neuen Korrekturen von 1022 zugrunde legte. Für 1020 ist die Korrektur gerade an dieser Stelle der Skala vorher und nachher nahezu gleich. Woher kann eine plötzliche Änderung kommen? Man könnte an eine Verschiebung der Skala denken. Übrigens sind gerade bei dieser Messung nur zwei übereinstimmende brauchbare Beobachtungen von 1022, eine brauchbare von 1020 vorhanden. Trotzdem ist es wahrscheinlich, daß die Differenz von 0,4 mm, welche bei Anwendung der alten Korrekturen zwischen den Angaben beider Thermometer bleibt, nicht auf Beobachtungsfehlern, sondern auf Instrumentalfehlern beruht. Deshalb ist in Tabelle 1 dieser letzte Satz von Beobachtungen mit den neuen Korrekturen verbessert worden; alle vorigen aber mit den alten.

Zur Beurteilung der Fehler von 1018 stehen drei Vergleiche mit Quecksilberbarometern zur Verfügung.

Barometervergleiche.

Ort und Zeit	Stationsbarometer	Ablesungen		Siedethermometer Nr.	Ablesungen		Nach Prüfungschein korrig.	Übrige Korrektur
		Korrigiert	Korrigiert		Korrigiert	Korrigiert		
Daressalam 12. 6. 06. 9a	Fuess 472	766,4	761,5	1022	761,5	761,5		0,0
				1018	762,0	761,6		- 0,1
Moschi 8. 8. 06. 5,50 p	Hechelmann 2944 ¹⁾	670,8	667,0	1022	666,6	666,7		+ 0,3
				1018	668,1	667,6		- 0,6
Moschi 29. 8. 06. 3,20 p	Hechelmann 2944	671,9	667,8	1022	667,0	667,1		+ 0,7
				1018	667,6	667,1		+ 0,7

Die Änderung der Korrektur von 1022 von + 0,3 auf + 0,7 mm braucht nicht reell zu sein, sie kann auf Kapillardepression des Stationsbarometers und auf einem kleinen Ablesefehler beruhen. Daß sie in der Tat nur scheinbar ist, zeigt die nachmalige Prüfung von 1022, nach welcher unregelmäßige Änderungen der Korrektur in der Zwischenzeit nicht auftreten, regelmäßige nur im Sinne einer Verminderung der Korrektur, also gerade umgekehrt als es hier der Fall wäre. Überdies haben wir schon oben festgestellt, daß 1022 noch gegen Ende der Reise seine alten Korrekturen hat.

¹⁾ Korrektur zu + 0,5 angenommen (Mitt. a. d. Deutsch. Schutzg. 1908, S. 73).

Daraus ergibt sich nebenher, daß die in Dankelmans Mitteilungen angegebene Korrektur des Barometers Hechelmann 2944 mit + 0,5 zu hoch angenommen ist, daß sie etwa 0,0 beträgt. Das Barometer hing 1902 wohl im Wetterhäuschen,¹⁾ 1904 im Stationsgebäude, 1906 aber wieder im Wetterhäuschen. Vermutlich ist beim Transport die Veränderung der Korrektur erfolgt.

Dagegen hat nach obiger Zusammenstellung 1018 sicher eine wesentliche Veränderung erlitten. Bei der Messung vom 29. August stimmt es nach Anbringung der Korrektur mit 1022 überein. Trotzdem differiert es bei späteren Beobachtungen wieder. Es scheint demnach überhaupt etwas veränderlich zu sein; daher hat bei der Mittelbildung in Tabelle 1 1018 das Gewicht 1, 1022 das Gewicht 4 erhalten.

Das Mittel der Beobachtungen eines Satzes dürfte in der Regel um 0,1 mm, höchstens um 0,3 mm unsicher sein. Bei manchen Sätzen (Lemagrut) läßt sich die Änderung des Luftdrucks während der Messung deutlich an Siedethermometern und Aneroiden erkennen. In diesem Falle hat es natürlich keinen Sinn, ein Mittel aus allen Beobachtungen zu bilden, sondern es muß eine Beobachtung zu bestimmter Zeit für die Höhenberechnung herausgegriffen werden.

β. Aneroide.

Nach Tabelle 1 haben unsere Aneroide zu verschiedenen Zeiten ganz verschiedene Korrekturen gehabt. Fast bei jeder Siedethermometermessung hatten sich die Korrekturen aller drei Instrumente geändert. Um die zwischenliegenden Messungen verwerten zu können, kommt es darauf an, jederzeit die Korrektur zu kennen, also alle Änderungen und ihren Zeitpunkt genau zu ermitteln.

Ermittlung der Korrekturen. Durch den Vergleich der drei Aneroide, der in der Regel zweimal täglich stattfand, läßt sich eine Standänderung eines Aneroids leicht feststellen; weil die beiden anderen dann, nach Anbringung der bisherigen Korrekturen, noch übereinstimmen. Um den Vergleich übersichtlich zu machen, legte ich die Tabelle II an, deren Form durch das am Schlusse dieses Abschnitts (S. 49) abgedruckte Stück ersichtlich wird.

In den Vertikalspalten stehen die aufeinanderfolgenden Termine der Aneroidvergleiche und Siedethermometermessungen. In den Horizontalzeilen die korrigierten Ablesungen der Aneroide, darunter die Korrekturen. Zuerst wurden aus der Tabelle I die Siedethermometermessungen eingetragen (hier

¹⁾ Mitt. a. d. Deutsch. Schutzg. 1906, S. 77.

fett gedruckt) und die aus ihnen sich ergebenden Korrekturen. Dann ging ich von einer Messung vorwärts zu den folgenden Vertikalspalten (Terminen) und trug jedesmal die mit den gefundenen Korrekturen verbesserten Aneroidstände ein. Zeigte sich eine Abweichung eines Aneroids, so wurde seine Korrektur von da an um den Betrag geändert. Man darf jedoch nicht aus kleinen vorübergehenden Standschwankungen und momentanen Nasen, Fehlern, von denen unten die Rede sein wird, den Schluß ziehen, daß das Instrument eine andere Korrektur braucht. Daher ist es zweckmäßig, nicht aus einem einzigen Vergleich einen neuen Korrekturwert abzuleiten, sondern aus einer Reihe aufeinanderfolgender. In solchen Fällen zeigt eine Klammer in der Tabelle an, aus welchen Werten die neue Korrektur abgeleitet ist. Die Beobachtungen an einem und demselben Ort sind zur besseren Übersicht stark umrahmt.

Schwierig wird die Feststellung, wenn zwei Aneroide gleichzeitig ihre Korrekturen ändern. In solchen Fällen ging ich zunächst einmal von der folgenden Siedethermometermessung in gleicher Weise rückwärts. So ließen sich für große Zeiträume die Korrekturen sicher ermitteln. Man könnte diese Korrekturen auch auf graphischem Wege finden, indem man die Zeit als Abszisse, die Abweichungen jedes Aneroids vom Mittel der drei Aneroide als Ordinate aufzeichnet. Aber um das Mittel zu bilden, müßte man doch erst die drei in die Tabelle II einzutragenden Zahlen ausrechnen, die Tabelle ist daher bequemer. Über manche schwierige Stellen jedoch hat mir nur die graphische Darstellung hinweggeholfen. Öfters waren auch noch besondere Kniffe erforderlich. Deshalb mußte ich mir zur Tabelle II Bemerkungen machen, welche die einzelnen Gedankengänge wieder erkennen ließen. Von diesen Bemerkungen ist gleichfalls ein Stück auf Seite 50 abgedruckt.

Die Fehler der Aneroide. Gesamtfehler. Die Abweichung des auf einem Aneroid abgelesenen Luftdruckes vom wahren Luftdruck, kann verschiedene Ursachen haben. Abgesehen von etwaigen groben Ablesungs- oder Schreibfehlern kommen in Betracht Ungenauigkeit der Ablesung und Instrumentalfehler. Die Ungenauigkeit unserer Ablesungen dürfte, wenigstens bei den Instrumenten α und β höchstens 0,1 mm betragen. Das zeigt der mehrfach ausgezeichnet übereinstimmende Gang der Instrumente. Dieser Fehler kommt neben den Instrumentalfehlern nicht in Betracht. Durch den Vergleich mit dem Siedethermometer in Tabelle I und ebenso, wenn auch weniger sicher, durch den

Vergleich der Aneroide untereinander, in Tabelle II, wird nur der Gesamtfehler bestimmt. Um beliebige, nicht durch Siedethermometer kontrollierte Aneroidablesungen zu berichtigen, muß man nicht nur diesen Gesamtfehler, sondern auch seine eventuelle Veränderungen kennen. Deshalb zerlegt man den Gesamtfehler eines Instruments in verschiedene, teils konstante, teils mit dem Luftdruck und der Temperatur sich ändernde Komponenten, den Standfehler, den Temperaturfehler, den Teilungsfehler, den Trägheitsfehler und die elastische Nachwirkung. Auch die konstanten, d. h. nicht von Luftdruck und Temperatur abhängigen unter diesen Fehlern, können mit der Zeit sprungweise oder allmählich sich ändern. Da beim Vergleich mit Siedethermometern nur der Gesamtfehler beobachtet wird, so wird man genaue Luftdruckwerte nur durch allmähliche Annäherung erhalten können, indem man erst die gröberen Fehler beseitigt, und dann eventuell kleinere.

Standfehler. Nach der Methode von Kohlschütter,¹⁾ Tafel 14, habe ich die zeitlichen Änderungen der Aneroidkorrekturen graphisch dargestellt, indem ich das Datum als Abszisse, die aus Tabelle I entnommene Korrektur als Ordinate eintrug. Die Kurven der drei Aneroide zeigten ganz regellose Sprünge, die noch häufiger wurden, wenn ich verschiedene aus dem Vergleich der drei Aneroide untereinander, (nach Tabelle II) sich ergebende Korrekturveränderungen dazwischen fügte. Namentlich machte die Kurve von α etliche Male ganz unmotiviert Nasen, indem die Korrektur sprungweise um 5 bis 10 mm heruntergeht und dann ebenso um denselben oder einem ähnlichen Betrag wieder steigt. Bei weitem am unzuverlässigsten war γ , dessen Korrektur in wilden Sprüngen auf und niedersteigt und zuletzt +143 mm beträgt. γ war im ersten Monate der Reise einmal in einen Bach gefallen, aber sogleich sorgfältig abgetrocknet worden. Der Zeiger wurde hierbei frisch aufgesetzt. Es mag sein, daß der Zeiger nicht fest genug auf der Achse aufsaß, und daß deswegen gerade bei γ so außerordentliche Standschwankungen auftraten. Doch kann auch das kleinere Werk dieses Instrumentes gegen Störungen empfindlicher gewesen sein als das der anderen. Der geringe Vorteil, daß das Instrument flacher und bequemer in der Tasche zu tragen ist, wäre dann wirklich mit schwerwiegenden Nachteilen zu teuer erkauft.

Am besten verhielt sich das geprüfte Aneroid β , das ich auf dem Marsche stets bei mir zu tragen

¹⁾ Kohlschütter, Ergebnisse der ostafrikanischen Pendel-Expedition, Bd. I. Berlin, Weidmann 1907. Tafel 14.

pflegte, aber auch seine Korrektur ändert sich unregelmäßig. Daraus, daß die Korrekturen sich stets sprungweise ändern, und dann bis zum nächsten Sprung konstant bleiben, folgt, daß es sich um Veränderungen des Standfehlers handelt, die durch plötzliche Verrückungen des Zeigers veranlaßt werden.

Teilungsfehler. Wenn dagegen die Teilung der Skala nicht genau der mit der Luftdruckabnahme erfolgenden Ausdehnung der Büchse entspricht, so verändert sich die Korrektur stetig mit dem Luftdruck, und geht mit diesem auch wieder auf den alten Wert zurück. Zur Ermittlung etwaiger Teilungsfehler ordnete ich daher die Korrekturen in einer Tabelle nach dem Luftdruck. Auch hier gingen die Korrekturen meist regellos durcheinander. Nur einige Schwankungen konnten als Teilungsfehler gedeutet werden, aber die Änderungen der Standfehler überwogen bedeutend. Am Aneroid α war von einem Teilungsfehler nichts zu bemerken. Über einen etwaigen Teilungsfehler von β konnte zunächst der Prüfungsschein Auskunft geben. Während der Prüfung zeigte β nach Beseitigung eines kleinen Standfehlers bei abnehmendem Druck durchschnittlich 3 mm zu hoch. Bei zunehmendem Druck durchschnittlich 5 mm zu niedrig. Es war also stark von Trägheit beeinflusst. Nach Anbringung entsprechender Korrekturen blieb zwischen 680 und 600 mm noch ein Fehler von +1,5 mm übrig, sowohl bei zunehmendem wie bei abnehmendem Druck. Das konnte also kein Trägheitsfehler sein, sondern nur ein Teilungsfehler. Aber kein Teilungsfehler, der gleichmäßig über die ganze Skala läuft und durch eine lineare Funktion dargestellt werden kann, sondern nur eine kleine Unregelmäßigkeit, ein Teilungsfehler von mindestens zweiter Ordnung. Beseitigte ich ihn durch eine entsprechende Korrektur, so blieben nur noch unregelmäßige Fehler übrig, die zum Teil bei abnehmendem und zunehmendem Druck entgegengesetzte Zeichen hatten, also sicher kein Teilungsfehler, sondern nur Unregelmäßigkeiten des Trägheitsfehlers sein konnten. Der gefundene Teilungsfehler war derart, daß sich die Gesamtkorrektur von β bei Druckabnahme von 720 auf 680 mm um 1,5 mm verkleinern, dann bis 640 mm konstant bleiben, bis 600 mm wieder um 0,5 mm steigen und bis 560 mm wieder den anfänglichen Wert erreichen sollte. Dieses letzte Ansteigen der Korrektur hatte ich schon aus zwei Siedethermometerbeobachtungen gefunden. Außerdem hatte β zur Zeit der Prüfung keinen Teilungsfehler. Auch während der ersten Hälfte der Reise war sonst kein Teilungsfehler zu bemerken. Zum Beispiel hielt

sich die Änderung der Korrektur von Aruscha (645 mm Druck) bis Umbugwe (680 mm) und bis Iraku (620 mm) innerhalb der Grenzen der „kleinen, vorübergehenden Standschwankungen“, d. h. die Korrektur blieb konstant. Während der zweiten Hälfte der Reise ergab sich zwischen 670 und 560 mm eine stetige Zunahme der Gesamtkorrektur von +17 auf +21,7 mm, also ein anderer Teilungsfehler. Daß es sich um einen Teilungsfehler handelt und nicht um eine Standänderung, ergibt sich, obgleich manche Korrekturen hier nur auf knifflige Weise und nicht sehr sicher, bestimmt werden konnten, unzweifelhaft daraus, daß bei mehrmaliger Luftdruckänderung in den genannten Grenzen die Korrektur immer wieder dieselben Werte annimmt. Ganz am Schlusse der Reise scheint dieser Teilungsfehler von β wieder zurückgegangen zu sein, doch fehlt es gerade hier an sicherer Kontrolle.

Solche Veränderungen des Teilungsfehlers, die wohl nur auf Änderung im molekularen Zusammenhang der Büchse beruhen können, hat auch Kohl-schütter an den von ihm untersuchten Aneroiden beobachtet.

γ hatte am Kilimandscharo folgende Gesamtkorrekturen (da sich die Korrektur infolge von Trägheit und elastischer Nachwirkung auch an den einzelnen Stationen noch dauernd änderte, läßt sie sich meist nur ungefähr angeben):

Bei 665 mm Druck beim Aufstieg	+ 1,4 mm	beim Abstieg	+ 7,0 mm
„ 640 „ „ „ „	1,4 „ „	„ „	etwa 12 „
„ 545 „ „ „ „	etwa 30 „ „	„ „	„
„ 500 „ „ „ „	50 „ „	„ „	60 „
„ 450 „	anfangs etwa 65 mm	wächst allmählig auf	82 „

Daraus scheint, abgesehen von einer Standänderung von 5,6 mm und bedeutenden Trägheitsfehlern, ein sehr großer Teilungsfehler zu folgen, der über die ganze Skala läuft, also linear ausgedrückt werden kann. Daß ein solcher Teilungsfehler plötzlich verschwinden sollte, ist kaum denkbar. Trotzdem ist er später bei der Besteigung des Hanang und bei der Besteigung des Loolmalassin nicht mehr vorhanden. Daraus möchte ich fast schließen, daß diese eigentümlichen Korrekturänderungen am Kilimandscharo doch nicht auf einem Teilungsfehler, sondern auf mehrfachen Standänderungen beruhten. Später zeigt γ einmal eine Schwankung der Korrektur, die als ein auf einen Teil der Skala beschränkter Teilungsfehler gedeutet werden könnte. Vielleicht handelt es sich aber auch hier um mehrfache Standänderungen.

Temperaturfehler. Den Temperaturfehler aus den Beobachtungen zu bestimmen, bietet sich keine Möglichkeit. Indes ist er bei kompensierten Instrumenten in der Regel sehr klein. Laut

Prüfungsschein beträgt bei β die Verbesserung für 1° C. 0,00 mm bei 780 mm Druck, +0,03 mm bei 525 mm Druck, 0,05 mm bei 490 mm Druck. 15° Abweichung von der durchschnittlichen Temperatur würden also bei 525 mm kaum 0,5 mm Standänderung bedingen. Außerdem sind bei niedrigen Luftdrücken die Temperaturen niedrig, bei hohen hoch, daher wird die Temperaturverbesserung meist viel weniger als 0,5 mm schwanken. Und nur auf die Schwankung kommt es an, da der konstante Teil des Temperaturfehlers beim Vergleich mit den Siedethermometern als Standfehler berücksichtigt wird. Bei den anderen Instrumenten dürfte der Temperaturfehler von ähnlicher Kleinheit sein, so daß er vernachlässigt werden kann.

Trägheitsfehler. Das große Aneroid α scheint den Luftdruckschwankungen am besten zu folgen. Nirgends zeigt sich in den Korrekturen der Tabelle II, daß es erst nach und nach den veränderten Luftdruck angibt. Allerdings war es auch keinen so bedeutenden Schwankungen ausgesetzt wie die andern.

β hatte bei der Prüfung unter der Luftpumpe einen bedeutenden Trägheitsfehler, der bei zunehmendem Druck noch größer war als bei abnehmendem. Nur sehr langsam gingen diese Fehler durch die elastische Nachwirkung wieder zurück. Auf dem Marsche aber wird durch die kleinen Erschütterungen der Trägheit entgegengewirkt. Mehrfach konnte ich feststellen, daß das Instrument bei Bergbesteigungen gleich bei der Ankunft auf dem Gipfel schon den richtigen Druck anzeigte, der nachher durch eine Siedethermometermessung kontrolliert wurde. Dagegen gab es beim Abstieg vom Hanang und vom Kilimandscharo erheblich zu niedrigen Druck an und ging überhaupt unregelmäßig. Nur bei starker Druckzunahme hat man also mit wesentlichen Trägheitsfehlern von β zu rechnen.

γ scheint besonders stark an Trägheit und elastischer Nachwirkung zu leiden. An Stationen, wo wir einige Tage blieben, sind seine täglichen Schwankungen geringer als die von β und α . Während des Aufstiegs am Kilimandscharo wurde in jedem Etappenlager sein Stand allmählich niedriger. Im obersten Lager dauerte dieses allmähliche Niedrigerwerden die ganzen sechs Tage an, seine Korrektur änderte sich in dieser Zeit um 18 mm. Beim Abstieg wurde umgekehrt auf jeder Etappe der Stand allmählich höher.

Vorübergehende kleine Standschwankungen. Abgesehen von diesen größeren Fehlern, zeigen die Aneroide noch kleine, unregelmäßige und vorübergehende Schwankungen. Bei durchschnittlich übereinstimmendem Gang

weichen sie etwas von einander ab, bald nach der einen, bald nach der andern Seite. Die Abweichung vom Mittel erreicht bei α und β etwa 0,3 mm, bei γ 0,5 mm, ist also weit größer, als daß man sie für Ungenauigkeit der Ablesung halten könnte. Zum Teil mögen diese vorübergehenden, kleinen Standschwankungen, die sich durch Mittelbildung aus den drei Aneroidablesungen (wobei γ geringeres Gewicht erhält) einigermaßen herausheben, auf Trägheit beruhen, zum Teil steckt auch der Temperaturfehler drin, den wir ja nicht berücksichtigt haben, vielleicht kommt auch ein „toter Gang“ des Zeigers in Betracht.

Genauigkeit der Luftdruckmessungen. Nachdem alle Korrekturen ermittelt waren, wurde die hier vollständig wiedergegebene Tabelle III angelegt, in welcher sämtliche korrigierten Luftdruckbeobachtungen verzeichnet sind und nach der Berechnung zuletzt die Höhen eingetragen. In der Spalte „Charakter“ dieser Tabelle bezeichnet P den Plateaucharakter, B den Bergcharakter, G den Grabencharakter des betreffenden Ortes. Zu der hinter den einzelnen Luftdruckbeobachtungen angegebenen „Unsicherheit“ ist folgendes zu bemerken: Sie ist ein geschätzter, nicht durch rechnerische Berücksichtigung der Einzelfehler erhaltener Wert, der eher größer ist als der „mittlere Fehler“, aber doch gelegentlich weit überschritten werden kann.

Es ist folgendes zu beachten: Die 0,1 bis 0,3 mm betragenden Fehler der Siedethermometermessungen gehen als systematische Fehler in die Korrekturen der Aneroide ein. Die Luftdruckzahlen, die durch Vergleich der drei Aneroide (Tabelle II) und Mittelbildung gewonnen sind, leiden auch an diesen systematischen Fehlern, außerdem aber an zufälligen Fehlern, die auf vorübergehenden kleinen Standschwankungen und auf unsicher bestimmten Korrekturen beruhen. Aus der Übereinstimmung der drei Werte läßt sich ein Anhalt gewinnen über die Unsicherheit, die im allgemeinen nicht mehr als 0,5 bis 1 mm beträgt. Wo nur zwei Aneroide verglichen sind, oder gar mehrere Tage nur eines abgelesen ist, wird sie natürlich größer. In die Ablesungen eines Aneroids gehen die Fehler der begrenzenden Vergleiche als systematische Fehler ein. Dazu kommen als zufällige noch die vorübergehenden kleinen Standschwankungen, sowie die Trägheitsfehler, die nicht berücksichtigt werden können, aber nur bei stark zunehmendem Luftdruck (wenigstens bei dem in der Regel benutzten β) eine größere Unsicherheit veranlassen. Diese Beobachtungen haben daher eine Unsicherheit von 1 bis 3 mm, manchmal noch mehr.

B. Die Berechnung.

α. Die Haupthöhen.

In der Tabelle III ist statt der einzelnen Beobachtungen das Tagesmittel oder das Mittel mehrerer Tage eingetragen, wenn von einem Ort Beobachtungen zu den drei Terminstunden 7 a, 2p und 9p vorlagen. Es zeigte sich später, daß dies nicht sehr zweckmäßig ist. Zwar erhält man aus dem mittleren Barometerstand die Höhe des Ortes ebenso sicher, wie wenn man aus den einzelnen Barometerständen die Höhe berechnet und erst dann das Mittel der Höhen nimmt. Die einzelnen Höhen aber hätten gezeigt, ob die klimatischen Fehler hinreichend eliminiert sind, oder ob noch weitere systematische Korrekturen anzubringen sind und hätten außerdem den Wert der anschließenden Höhenstufen sicherer erkennen lassen. Als Mittel sowohl des Luftdrucks als auch der Temperatur wurde angenommen $\frac{7a + 2p + 9p}{3}$.

Von den gegen 1200 Luftdruckbeobachtungen der Tabelle III wurden die 60 fettgedruckten von Kapitän Martens nach dem Kohlschütterschen Verfahren¹⁾ berechnet. Es waren dafür Beobachtungen an besonders wichtigen Punkten oder von besonderer Sicherheit ausgewählt. Als Basisstationen dienten Daressalam, Tabora, Neuwied, deren gleichzeitige Beobachtungen die Kaiserliche Seewarte mir freundlichst zur Verfügung gestellt hatte. Bei den aus einem Mittelwert zu berechnenden Höhen wurde das Monatsmittel der Basisstationen, welches in den Beobachtungstabellen angegeben ist, zugrunde gelegt, wenn der Mittelwert aus mehreren Tagen gewonnen war. Handelte es sich jedoch nur um das Mittel eines Tages, so wurde auch von den Basisstationen der Mittelwert desselben Tages genommen.

Die Berechnung erfolgte in Form der Tabelle IV, von der S. 66 zwei Spalten als Beispiel abgedruckt sind. Ihre Bezeichnungen sind die Kohlschütterschen. In Zeile 3 ist φ die auf $\frac{1}{4}^\circ$ abgerundete, geographische Breite, u eine Korrekturengröße für die Temperatur, interpoliert und auf ganze Grade abgerundet nach den Werten, die Professor Kohlschütter aus seinen Beobachtungen für verschiedene Gegenden gefunden und mir freundlichst zur Verfügung gestellt hat. Der beobachtete Luftdruck in Zeile 4 bedarf keiner Schwerekorrektur, da ihm Siedethermometerbeobachtungen zugrunde liegen. Dagegen werden in Zeile 5, 6, 7, die Luftdruckbeobachtungen der Basisstationen auf Normal-

schwere reduziert, die von Daressalam außerdem auf Meeresniveau in der geographischen Breite des zu bestimmenden Ortes. Die für letztere und die entsprechende Temperaturreduktion (Zeile 15) erforderlichen Korrekturen, sowie alle ($\beta - b$) und ($\delta - t$) Korrekturen (Zeile 8 bis 13 und 18 bis 21) sind aus Kohlschütters Tafeln und Karten entnommen oder berechnet. Zeile 14 enthält die an dem zu bestimmenden Ort (Index St) beobachtete Lufttemperatur. In Zeile 22, 23, 24 wird das Mittel der an der Basisstation und am Ort beobachteten Temperaturen mit den gefundenen Korrekturen auf „barometrische Temperatur“ ϑ gebracht. Zeile 25 bis 28 enthalten die korrigierten Luftdrucke. Mit diesen Argumenten b , β und ϑ sind in Zeile 29 bis 34 aus den Jordanschen Höhentafeln¹⁾ die zugehörigen Höhen entnommen. Da die Tafeln nur für ganze Grade berechnet sind, so wurden ihnen die Höhenzahlen für die nächst tiefere (links) und für die nächst höhere Gradzahl (rechts) entnommen und in der Mitte für die zehntel Grade interpoliert. Die Zeilen 35, 37 und 39 ergeben durch Subtraktion die Höhendifferenzen des Ortes gegen die Basisstationen. Zu diesen müssen noch in Zeile 36, 38 und 40 die Tafelverbesserungen wegen des anderen Luftdrucks in Ostafrika (vgl. Jordan) die Temperaturkorrektur des Jahresmittels Q und die Höhe der Basisstation addiert werden. Um die Höhe zu finden, die in Zeile 41, 42, 43 angegeben ist. Zeile 44 endlich gibt das Mittel aus diesen Werten.

Die Größen Q wurden nicht aus der im Kohlschütterschen Werke gegebenen Tafel 52 entnommen, sondern aus drei Tafeln, die Professor Kohlschütter eigens für die drei Basisstationen Daressalam, Tabora, Neuwied hatte anfertigen lassen. Aus ihnen waren die zu einem bestimmten u -Wert gehörigen Q direkt zu entnehmen.

Höhen der Basisstationen. Für die Basisstationen wurden folgende Höhen angenommen:

Daressalam 7,6 m laut Mitt. a. d. Deutsch. Schutzgeb. 1908, Seite 51.

Neuwied 1216 m. Diese Zahl beruht auf der durch Nivellement zu 1135,6 m festgestellten Höhe des Viktoriasee-Spiegels und der von Uhlig²⁾ barometrisch gemessenen Höhendifferenz Seespiegel-Neuwied. Die Luftdruckänderung in der Zeit zwischen den beiden Siedethermometermessungen oben und unten wurde durch Barograph und

¹⁾ Kohlschütter, Ergebnisse der ostafrikanischen Pendel-Expedition, I. Bd. Berlin 1907, namentlich S. 140ff.

¹⁾ Jordan, Barometrische Höhentafeln für Tiefland und für große Höhen. Hannover 1896. Jordan, Barometrische Höhentafeln. Zweite bis 35° erweiterte Auflage. Stuttgart 1886.

²⁾ Nach freundlicher, persönlicher Mitteilung.

Quecksilberbarometer kontrolliert. Bei der geringen Höhendifferenz kann der Fehler dieser barometrischen Messung nur sehr gering sein, der des Nivellements kommt gar nicht in Betracht.

Für Tabora wurde 1238 m angenommen. Schon bei Uhlig's Berechnungen seiner Höhenmessungen, ergab sich mit Wahrscheinlichkeit, daß Kohlschütters Werte für Tabora³⁾ zu hoch seien. Kohlschütter hatte mit Daressalam und Kwai als Basisstation die Höhe der alten Station von Tabora auf Grund zahlreicher Beobachtungen zu 1214 m berechnet, die Höhendifferenz von alter und neuer Station auf Grund einer beobachteten Luftdruckdifferenz von 3,1 mm zu 41 m bestimmt, mithin die Höhe der neuen Station zu 1255 m. Ich erhielt als durchschnittliche Differenz entsprechender Monatsmittel des Luftdrucks, einerseits aus den Jahren 1899, 1901 und 1902 (alte Station), andererseits aus 1906/07 im Durchschnitt 2,8 mm. Danach ist die Höhendifferenz zwischen alter und neuer Station etwa 4 m geringer als Kohlschütter annahm. Die neue Station läge also 1251 m. Ferner berechnete ich aus den Mitteln sämtlicher Monate von Juni 1906 bis Mai 1907 die Höhendifferenz Neuwied—Tabora zu 22 m, woraus sich für die neue Station nur 1238 m ergibt, also 13 m niedriger, als nach Kohlschütter. Da bei der geringen Höhendifferenz von 22 m kein größerer, klimatischer Fehler unterlaufen kann, so schien nicht nur mir, sondern auch Kohlschütter dieser Wert der wahrscheinlichste. Danach wäre auch Kohlschütters Zahl für die alte Station um 13 m zu erniedrigen. Es scheint also, daß die von Kohlschütter angenommenen klimatischen Korrekturen für Tabora mit seinem exzessiven Steppenklimate noch immer zu gering waren.

Die Höhe von Moschi berechnete ich aus den sämtlichen Monatsmitteln von 1902 mit den Basisstationen Daressalam, Tabora (alte Station zu 1201 m angenommen) und Kwai. Für Station Kwai mußte ich die Monatsmittel von 1900 nehmen, da von 1902 keine Beobachtungen vorhanden sind. Als Mittel ergab sich 1149 m, ein Wert, der höchstens um 2 m unsicher sein dürfte. Es ist aber nicht ganz sicher, ob er fürs Wetterhäuschen, oder für das etwa 3 m höhere Erdgeschoß der Militärstation gilt. Im meteorologischen Bericht von 1902 steht,¹⁾ daß „die sämtlichen Instrumente“ sich im Wetterhäuschen befanden. Nach dem Bericht von 1903 und 1904 aber befanden sich²⁾ „die sämtlichen Ther-

momometer und der Thermograph“ im Wetterhäuschen. 1904 sahen Uhlig und ich das Barometer im Erdgeschoß des Stationsgebäudes, während es 1906 wieder im Wetterhäuschen hing. Ob es 1902 wirklich im Wetterhäuschen hing, wie man hieraus schließen sollte, kommt mir immerhin etwas zweifelhaft vor.

β. Die Zwischenhöhen.

Reduktion des Luftdrucks auf Tagesmittel. Nachdem diese „Haupthöhen“ berechnet waren, wurden die übrigen, dazwischenliegenden, durch differentielle Interpolation gefunden. Damit nicht die Tagesschwankungen des Luftdrucks nicht existierende Höhenunterschiede hervorriefen, wurden zuerst alle Beobachtungen aufs Tagesmittel reduziert, indem die Abweichung der betreffenden Stunde gegen das Tagesmittel des Luftdrucks subtrahiert wurde vom beobachtenden Luftdruck der Tabelle III. Da die Abweichungen an den einzelnen Orten und Tagen nicht bekannt waren, mußten wir uns mit den Monatsmitteln der stündlichen Abweichungen einer meteorologischen Station von ähnlichem Klimacharakter begnügen, was vollkommen hinreicht. Plateauorte wurden mit den stündlichen Abweichungen von Tabora 1903, Grabenorte mit denen von Langenburg, Bergorte mit denen von Kwai 1897 bis 1898 reduziert.¹⁾

Monatsmittel der Temperatur. Zur differentiellen Berechnung der Höhen war außer dem Tagesmittel des Luftdrucks auch noch das Tagesmittel der Temperatur erforderlich. Bei den meisten Barometerablesungen war die Temperatur nicht beobachtet worden. Wir waren darauf angewiesen sie aus den Beobachtungen einer meteorologischen Station unter irgend einer Annahme über die Temperaturabnahme mit der Höhe zu berechnen. Da war es am bequemsten gleich die Mittel zu berechnen, nach folgender Form

$$t = t_D - x \frac{h}{100} + A.$$

t ist die gesuchte Mitteltemperatur, t_D das Monatsmittel von Daressalam, h die rohe Höhe, die aus den Jordanschen Tafeln entnommen wurde. x ist die Temperaturabnahme für 100 m, sie wurde bei Plateau- und Grabenorten nach Kohlschütter zu $0,5^\circ$ angenommen, bei Bergstationen wurde sie aus Kohlschütters Tabelle¹⁾ abgeleitet. Da diese Tabelle nur bis 3000 m reicht, und der Versuch einer Extrapolation zu ganz unmöglichen

¹⁾ Heidkes Bericht in Mitt. a. d. Deutsch. Schutzgeb. 1908, S. 94. Kohlschütters Tabelle 74 a. a. O., S. 203. Deutsche Überseeische meteorologische Beobachtungen, herausgegeben von der Deutschen Seewarte, Heft 10.

²⁾ A. a. O., S. 203.

¹⁾ A. a. O., S. 150.

²⁾ Mitt. a. d. Deutsch. Schutzgeb. 1906, S. 77.

³⁾ Mitt. a. d. Deutsch. Schutzgeb. 1908, S. 73.

Werten führte, so mußte ich am Kilimandscharo aus unsern und Hans Meyers Beobachtungen die Tagesmittel der Temperatur zu finden suchen. Ich kam zu folgenden Werten, die der differentiellen Höhenberechnung zugrunde gelegt wurden.

in 3600 m Mitteltemperatur	6°
„ 4350 „	„ + 1°
„ 4900 „	„ - 4°

A ist die Temperaturanomalie des Innern gegen die Küstenstationen, für die einzelnen Monate aus Kohlschüppers Tafel 9 ersichtlich. Doch gilt diese Anomalie nur für Plateau- und Grabenorte. Bei Bergorten ist sie geringer. Ich ermittelte daher den Betrag, um welchen die Anomalie von 8 in Kohlschüppers Tafel ebenfalls eingetragenen Bergstationen von der normalen Anomalie abwich. Bei allen Bergstationen wurde als Anomalie die Differenz der normalen Anomalie und dieser Abweichung zugrunde gelegt. Wie wohl man auf diese Weise nur rohe Annäherungen an die Mitteltemperaturen der einzelnen Orte erhält, namentlich in den höheren Regionen, reicht dies doch für die in Frage kommenden Berechnungen vollständig aus.

Höhenstufen. Nachdem so das Tagesmittel des Luftdrucks und der Temperatur von allen Orten gefunden war, wurden die Höhendifferenzen je zweier, aufeinanderfolgender Orte gesucht. Mit dem auf ganze Grade abgerundeten Mittel der beiden Temperaturen — denn es kommt ja auf die Mitteltemperatur der zwischenliegenden Luftsäule an — und mit den beiden reduzierten Luftdrucken als Argumenten, wurden die Höhen der beiden Orte h_n und h_{n-1} aus den Jordanschen Tafeln entnommen. Die Differenz beider Zahlen, h_n bis h_{n-1} , ist der gesuchte Stufenwert. Aber auch diese Stufen bedürfen noch der Temperaturkorrektur des Jahresmittels Q . Für jeden Ort wurde das zugehörige Q aus der obenerwähnten Kohlschüpperschen Tabelle für Daressalam ermittelt. Das Argument u , mit dem man in die Q -Tabelle eingehen muß, ergab sich aus den u -Werten der benachbarten „Haupthöhen“ als ein zwischen diesen liegender Wert, der sich allmählich von einem zum nächsten ändert. Es kommt nur auf den ungefähren Wert desselben an. $Q_n - Q_{n-1}$, die Differenz der aufeinanderfolgenden Q ist die Q -Korrektur der Stufen, die noch zu $h_n - h_{n-1}$ addiert werden muß, um die richtigen Stufenwerte zu erhalten.

Alle diese Berechnungen, sowohl die Reduktionen auf Tagesmittel als auch die differentielle Interpolation, wurden in Form einer Tabelle V aus-

geführt, von der wiederum ein Stück folgt. Die Spalte 1 dieser Tabelle wurde an die Spalte „Luftdruck“ der Tabelle III angelegt. Die ganze Tabelle V ist die Zwischenrechnung, die erforderlich ist, um in der Tabelle III von der Spalte „Luftdruck“ zur Spalte „Höhe“ zu gelangen. Um aus den Höhenstufen in Spalte 14 die absoluten Höhen zu erhalten, muß man, von einer aus Tabelle IV bekannten Haupthöhe ausgehend, Stufe für Stufe addieren bis zur folgenden Haupthöhe. Die Summe der Stufen zwischen zwei Haupthöhen sollte gleich der Differenz der beiden Haupthöhen sein. Da dies nur annähernd der Fall ist, so muß der Unterschied auf die verschiedenen Stufen verteilt werden. Ich verteilte ihn teils auf solche Stufen, die aus zeitlich weiter auseinanderliegenden Beobachtungen hergeleitet waren, teils auf die größten Stufenwerte. In letzterem Falle verteilte ich ihn meistens im Sinne der Vergrößerung der Stufen, d. h. einen negativen Unterschied verteilte ich nur auf die negativen Stufen, einen positiven nur auf die positiven. Dies geschah aus dem Grunde, weil man infolge der Trägheit der Aneroide eher mit zu kleinen als mit zu großen Stufenwerten rechnen muß.

Ausgleich der Höhen. Waren auf diese Weise in Spalte 16 die Höhen gefunden, so galt es an solchen Orten, wo mehrfach beobachtet war, das Mittel der verschiedenen Werte zu nehmen oder den besten Wert herauszufinden. Trotz der Kohlschüpperschen Korrekturen, wichen die Beobachtungen zu verschiedenen Tages- und Jahreszeiten oft noch erheblich von einander ab, manchmal 20 m und mehr. Durch die Mittelbildung — mit Berücksichtigung des Gewichts — wurden öfters auch Haupthöhen noch verändert, wenn nämlich eine Haupthöhe nur aus einer Beobachtung berechnet war und noch Beobachtungen zu andern Zeiten vorhanden waren. Ferner wurden für die Mittelbildung auch einzelne Höhenzahlen von Uhlig und Kohlschütter verwandt. Nicht nur die Höhenzahlen an einem und demselben Punkt mußten zur Übereinstimmung gebracht werden, sondern auch die topographischen Beziehungen zwischen verschiedenen Punkten mußten an Hand der Aufnahmen berücksichtigt werden. Wo z. B. ein Flußlauf an zwei verschiedenen Stellen überschritten war, mußte die Höhendifferenz eine entsprechende sein. Das führte mehrfach zu erheblichen Korrekturen.

Ändert man willkürlich einen Höhenwert, so werden dadurch die benachbarten Höhenstufen verändert. Wenn man annehmen kann, daß nur die geänderte Höhe der Korrektur bedurfte, weil hier ein abweichender Luftdruck oder ein Instrumental-

fehler vorhanden war, die benachbarten Höhen aber nicht, weil sie zu einer anderen Tageszeit oder an einem anderen Tage gemessen sind, so ist die Stufenänderung gerechtfertigt. In der Regel aber hat die Änderung eines Höhenwertes auch die Änderung einer Reihe ganzer anderer zur notwendigen Folge, die Änderung muß auf die benachbarten Stufen verteilt werden. Man gelangt daher erst durch allmählichen Ausgleich und nicht ohne Willkür zu den definitiven Werten in Spalte 18. Diese allein sind in der Tabelle III aufgenommen. Wie ich dazu gelangt bin, geht meistens aus den Spalten 16, 17, 18 und 19 der Tabelle V hervor. In Spalte 17 wurde als erster Ausgleich das Mittel zwischen mehreren aufeinanderfolgenden Beobachtungen an einem Ort genommen und, falls erforderlich, auch die benachbarten Stufen entsprechend geändert. In Spalte 18 aber wurden auch etwaige frühere oder spätere Beobachtungen am gleichen Ort berücksichtigt, sowie auf Grund der topographischen Verhältnisse ausgeglichen. Die Bemerkungen in Spalte 19 deuten die hierbei jeweils maßgebenden Gesichtspunkte an. Einige besondere Fälle will ich hier noch erwähnen.

Beim Marsch am Pangani aufwärts, 15. bis 19. Juli 1906, ergaben die Höhenstufen teilweise ein widersinniges Gefälle; die Höhen mußten daher ziemlich willkürlich festgesetzt werden.

In Umbugwe erhielt ich aus drei Beobachtungen 958 m, Uhlig aus drei Beobachtungen 972 m, Kohlschütter an einem anderen Punkt, der aber in der tischebenen Landschaft nicht viel höher liegen kann, aus elf Beobachtungen 978 m. Es scheint während meiner Anwesenheit ein besonders hoher Luftdruck geherrscht zu haben. Ich nehme 970 m als richtigen Wert an.

In Iraku und im Land des Akida Mause stimmen die teils zu verschiedenen Tagen teils zu verschiedenen Jahreszeiten beobachteten Höhen gut überein. Für den Njarasasee ergibt unsere Beobachtungsreihe im Oktober (11 durch eine Siedethermometermessung kontrollierte Beobachtungen zu den Terminstunden) 1050 m. Eine Siedethermometermessung im Februar 1035 m. Kohlschütter erhielt aus 4 Beobachtungen im Jahre 1900 1022 m. Da gerade im Oktober in dieser Gegend die Kohlschütterschen Korrekturen nicht zu genügen scheinen, um den besonders niedrigen Luftdruck des Njarasagrabens zu reduzieren, so wurden die Oktoberbeobachtungen weniger berücksichtigt und 1030 m als Höhenwert angenommen. Das bestätigte die Höhenzahl 1054 m an dem Wembäreflußübergang etwa 90 km oberhalb seiner Einmündung in den Njarasasee, die bei dem geringen Gefälle des

Flusses zur Zahl 1030 gut stimmt. Es ist nicht ausgeschlossen, daß der abnorme Luftdruck im Oktober sich noch weiter erstreckt als auf den Njarasagraben, daß auch die Höhenzahlen der ganzen Route von Mkalama über den Njarasa und den Hohelohegraben nach Mkalama zurück entsprechend um 10 bis 20 m herabzusetzen wären. Doch ergaben sich dafür keine Anhaltspunkte, deshalb sind nur diejenigen im Njarasagraben mit der Annahme von 1030 m für den Seespiegel in Einklang gebracht. Ganz und gar nicht stimmt mit der angenommenen Höhe des Njarasasees die Höhe des Matetebachlagers überein, die aus dem Tagesmittel des Luftdrucks vom 8. März 1907 zu 1093 m berechnet wurde. Das Lager kann allerhöchstens 30 m über dem See liegen. Hier mögen indessen die angenommenen Instrumentalkorrekturen ungenau sein und zusammen mit einer Luftdruckabweichung die Differenz hervorrufen. Ich nehme 1060 m als Höhe des Lagers an und muß daher die benachbarten Werte im Njarasagraben auch entsprechend herabsetzen.

Rätselhaft sind die am Elanairobi sich ergebenden Höhenzahlen. Es kann nach verschiedenen Aufzeichnungen keinem Zweifel unterliegen, daß der höchste Gipfel des Kraterrandes, auf dem die Siedethermometermessung gemacht wurde, der höchste Gipfel des Elanairobi ist. Aber die Berechnung ergab etwa 60 m mehr für den Jaegergipfel. Sämtliche Höhenzahlen von dem Gipfel f an bis zum Jaegergipfel sind etwa um diesen Betrag zu hoch, relativ zum höchsten Gipfel. Das Lager und der Paß vor n liegt mindestens 100 m unterm höchsten Gipfel. Obgleich die Korrektur des Aneroids β bei der Siedethermometermessung bestimmt wurde und übereinstimmt mit der bei der folgenden Siedethermometermessung gefundenen, also anscheinend konstant geblieben ist, ergeben sich solche Unstimmigkeiten. Ja die Höhe von f wird sogar durch eine 8 Tage später erfolgte Messung bestätigt.

Könnte man annehmen, daß gerade während der Siedethermometermessung, aber nicht einhalb Stunden vorher und drei Stunden nachher ein um 4 mm zu hoher Luftdruck geherrscht hätte, so würde alles übereinstimmen. Aber ein so plötzlich abnorm hoher Luftdruck ist ausgeschlossen. Es müssen wohl Luftdruck- und Aneroidstörungen eingetreten sein. Ich bin darauf angewiesen nach meinen mit vielen Höhenschätzungen verbundenen Zeichnungen die Höhen festzusetzen. Den bei der Siedethermometermessung für den höchsten Gipfel gefundenen Wert erhöhe ich um 19 m, was einer unregelmäßigen Schwankung von gut 1 mm ent-

spricht. Die übrigen werden um bedeutend größere Beträge herabgesetzt. Auch die Höhe des Seespiegels wurde noch etwas herabgesetzt, weil die Siedethermometermessungen um $1\frac{1}{2}$ p einen zu hohen Wert ergeben haben dürften. Fast gleichzeitig ergab nämlich auf dem Jaegergipfel die Aneroidablesung einen 19 m höheren Wert als die Ableseung morgens 8 a. Leider sind auf der Karte einige Zahlen am Elaneirobi falsch eingetragen. Sie müssen nach Tabelle III verbessert werden.

γ. Genauigkeit der Höhenzahlen.

Wie groß ist die Genauigkeit der berechneten Höhen? Ihr Fehler setzt sich zusammen aus der Unsicherheit des beobachteten Luftdruckes und den zufälligen klimatischen Fehlern, die die Berechnung beeinflussen. Die systematischen klimatischen Fehler sind ja durch die Kohlschüttersche Methode berücksichtigt. Die zufälligen klimatischen Fehler einer aus einer einzigen Beobachtung berechneten Höhe betragen nach Kohlschütter 6 bis 13 m. Für meine Beobachtungen wird man eher einen größeren Wert des Fehlers annehmen müssen. Die starken Abweichungen verschiedener Beobachtungen an einem Orte zeigen, daß die klimatischen Schwankungen doch noch nicht hinreichend berücksichtigt sind, sei es, daß stärkere, zufällige Fehler auftreten, oder daß die Kohlschütterschen sowie die in Tabelle V Spalte 1 angenommenen Korrekturen für die betreffenden Gegenden nicht recht passen.

Die in Tabelle III angegebene Unsicherheit der Beobachtung ergibt, da 1 mm Luftdruck je nach der Höhe eine Höhenstufe von 10 bis 20 m entspricht, beim größten Teil unserer Beobachtungen ungefähr 15 m Höhenfehler. Eine um 1 mm fehlerhafte Beobachtung ergibt also meist einen größeren Höhenfehler, als er durch die klimatischen Unregelmäßigkeiten hervorgerufen wird. Da beide Fehler völlig voneinander unabhängig sind, werden sich die Fehler in der Regel nicht addieren, sondern teilweise aufheben. Man wird also bei einer Unsicherheit des Luftdruckes von 1 mm mit 20 bis 25 m Höhenfehler zu rechnen haben. Bei der Mehrzahl der Zwischenhöhen aber, wo nur 1 Aneroid abgelesen wurde, ist die Unsicherheit des Luftdruckes und daher der Höhe noch größer, hier sind Höhenfehler von 30 und 40 m nicht selten.

Die große Unsicherheit ganzer Reihen von Höhenzahlen ist indes für viele Zwecke nicht von so wesentlicher Bedeutung. Ein großer Teil des Fehlers ist nach früheren Erörterungen ein systematischer Fehler, der für eine längere Reihe von Zahlen derselbe bleibt; die zufälligen Fehler sind geringer, d. h. die relativen Höhen vieler Punkte

sind wesentlich genauer bekannt, als ihre absoluten Höhen.

Das Gesagte gilt für die unausgeglichene Höhen in Spalte 15 der Tabelle V. Durch den Ausgleich aber erhalten große Reihen der definitiven Höhenzahlen eine wesentliche Verbesserung. Mehrfach ergibt sich eine gute Übereinstimmung der zu verschiedenen Tagen oder zu verschiedenen Jahreszeiten gemessenen Höhen eines Punktes z. B. in Iraku, im Land des Akida Mause und im Winterhochland. Hier zeigt die Übereinstimmung der Höhen, daß die Unsicherheit in den Barometerständen erheblich zu groß angenommen war, daß der Aneroidstand in beiden Fällen ziemlich richtig korrigiert ist. Durch diese Feststellung gewinnt nicht nur die eine Beobachtung, sondern eine ganze Reihe von Beobachtungen vor und nachher wesentlich an Sicherheit und wir können ihren Höhenfehler bedeutend geringer ansetzen.

Nur vor einem Trugschluß muß man sich dabei hüten. Die Übereinstimmung zweier Beobachtungen an einem Ort beweist gar nichts, wenn etwa die Aneroidkorrektur der einen Beobachtung aus der anderen abgeleitet wurde. Dies ist aber nach den Anmerkungen zu Tabelle II nur in seltenen Fällen geschehen. Meist wurden die Doppelbeobachtungen nur zur Bestätigung einer schon auf andere Weise ermittelten Korrektur in Anspruch genommen.

Eine Berechnung des mittleren Fehlers der einzelnen Höhenzahlen hätte sich bei der Unsicherheit ihrer Grundlagen nicht verlohnt. Ich habe ihn daher in Spalte 9 der Tabelle III schätzungsweise angegeben, damit man doch einen Anhalt über die Unsicherheit der Höhenzahlen gewinnt. Der Ausgleich zeitlich verschiedener Beobachtungen an einem Ort erklärt, warum dieser Fehler oftmals kleiner ist als es der Unsicherheit des Luftdruckes in Spalte 6 entspräche. Im großen ganzen ist, trotz der Mangelhaftigkeit der Aneroide und der etwas spärlichen Siedethermometermessungen ein recht brauchbares Ergebnis unserer barometrischen Höhenmessungen herausgekommen.¹⁾

¹⁾ Nach Drucklegung dieses Abschnitts hat Herr Dr. Wedemeyer meine vereinzelt trigonometrischen Höhenmessungen berechnet (S. 29). Da die Messungen ohne Signale ausgeführt wurden, erreichen sie lange nicht die Sicherheit, die unter günstigen Verhältnissen erwartet werden kann. Dennoch bieten sie eine Kontrolle, weshalb ich hier die barometrischen und die trigonometrischen Höhenzahlen zusammenstelle. Der barometrisch gewonnene Wert 1779 m für Ng III dient als Fixpunkt.

	barometrisch	trigonometrisch
Olgeleruani (Ng II)	2460	2469
Lemagrut α	3132	3153
Ol Deani f	3188	3200

Tabelle I.

Herleitung der Aneroidkorrekturen aus den Siedethermometermessungen.

Beobachter	Ort	Zeit	Siedethermometer Nr.	Ablesung	korrigiert nach Prüfungsschein	Mittel	Aneroid α		Aneroid β		Aneroid γ				
							Ablesung	Korrektur	Ablesung	Korrektur	Ablesung	Korrektur			
Oehler	Irambaplateau, beim Jumben Kituru	1906		1018	623.0	622.7	621.9 \pm 0.3	614.3	21.5°	+7.7	612.1	22.5°	606.9	22.5°	+15.0
		52	1022	621.5	621.7										
		58	1018	623.0	622.7										
		10p 04	1022	621.5	621.7										
		10	1018	623.0	622.7										
	15	1022	621.5	621.7											
Oehler	Lemagrut, Gipfel α	1907		1018	524.5	524.4	524.4 \pm 0.1				502.5	17.5°	399.3	17.5°	+125.2
		32	1022	524.2	524.3										
		37	1018	524.4	524.3										
		44	1022	524.1	524.2										
		52	1018	524.3	524.2										
		59	1022	524.0	524.1										

Tabelle II.

Ableitung der Aneroidkorrekturen durch Vergleich der Aneroide untereinander.

1906	8. Oktober	9. Oktober	10. Oktober	11. Oktober	12. Oktober	13. Oktober	14. Oktober
	S 2p 10p	7a 2p 9p	7a 2p 10p	7a 2p 9p	7a	9p 7a	9p 7a 2p S 3p 9p
	α 53.3 54.8	56.4 53.3 54.2	55.9 52.6 54.3	55.6 52.1	55.7	61.4 70.5	69.6 73.1 70.8 71.4
	β 654.3	53.3 54.7	56.3 53.3 54.2	55.7 52.7 54.3	55.7 52.1	61.0 63.3	72.2 70.9 670.0 71.8
	γ 53.5 54.3	57.2 53.8 54.5	56.3 52.3 54.4	55.0 52.0	56.1	63.6 63.9	74.3 73.6 \pm 0.2 70.8
Korrekturen von	α + 8.3					+1.3	+3.3
	β +10.0						+10.0
	γ +5.3					+2.5	+0.5
1906	15. Oktober	16. Oktober	17. Oktober	18. Oktober	19. Oktober	20. Oktober	21. Oktober
	7a	7a 9p	7a 2p 9p	7a	9p 7a 2p 9p	7a	9p 7a
	α 72.6		72.9	73.0	75.7 72.1 74.0	74.5	69.1 70.9 69.1 69.4 63.8
	β 72.9		72.4	64.5	67.7 63.5 64.3	64.9	67.3 69.6 67.5 67.7 69.3
	γ 72.9					60.5 62.6 60.9 60.4 69.5	71.3 73.2 72.0 73.8
Korrekturen von	α				+1.8	+7.2	
	β		+8.3				
	γ				etwa +7.4		
1906	22. Oktober	23. Oktober	24. Oktober	25. Oktober	26. Oktober		
	7a 2p 9p	7a	9p 7a 9p	7a 2p S 9p	7a		
	α 71.4 67.3 69.4	71.0	52.5 54.1	51.8 53.5 50.1	52.4		
	β 70.8 67.8 69.2	71.0	52.3 53.7	52.3 53.0	651.5 52.3 54.1		
	γ 70.7 67.5 68.6	70.2	52.4 54.0	52.1 53.3 50.1 \pm 0.2	51.9 54.0		
Korrekturen von	α			+7.2	-2.3		
	β			+8.3			
	γ				+7.4		

Bemerkungen zu Tabelle 2.

8. bis 12. Oktober. Vom 8. bis 12. 7a mit den Korrekturen vom 8. vorwärts. α und β stimmen stets gut überein, ihr Mittel muß als richtiger Wert gelten. γ schwankt stärker, wird nicht beachtet.
12. bis 14. Oktober. Am 12. 9p erleidet γ , am 13. 7a erleidet α eine sprunghafte Änderung der Korrektur. Am 13. 9p haben zwei Instrumente ihren Stand verändert. Da β noch bei der nächsten Siedethermometermessung dieselbe Korrektur hat, so ist es wahrscheinlich, daß α und γ sich geändert haben. Dies beweist außerdem der ähnliche Stand von β am nächsten Abend 9p am gleichen Ort. Demnach hat α schon hier (von kleinen vorübergehenden Standschwankungen abgesehen) seine neue, bei der folgenden Siedethermometermessung festgestellte Korrektur angenommen, während γ noch eine andere Korrektur hat und sie vor der neuen Messung noch einmal ändert.
14. und 15. Oktober. α und β stimmen im Gang genau überein — ein Beweis für die Kleinheit der Ablesungsfehler. Die Differenz von 0.4 mm muß daher rühren, daß die Korrekturen infolge kleiner Standschwankungen zur Zeit der Siedethermometermessung nicht ganz genau gefunden sind. Der Stand von β dürfte der richtigere sein, da β seit dem 8. genau dieselbe Korrektur behalten hat.
16. bis 20. Oktober. Die Beobachtungen vom 16. 9p bis 18. 7a wurden am Njarasaseufer angestellt, in gleicher Höhe wie die letzte Siedethermometermessung. γ schwankt so unregelmäßig, daß es keine Auskunft geben kann. Der Gang von β stimmt, wie eine graphische Darstellung zeigt, mit dem Gang des Luftdrucks am 13. bis 14. überein, aber es steht fast 2 mm höher. Das könnte auf einem Luftdruckunterschied beruhen, der in wenigen Tagen 2 mm betragen kann. Aber wahrscheinlicher ist, daß es auf einer Standänderung von β beruht. Man wird den Betrag der Änderung am besten erhalten, wenn man die Kurve des Gangs von β für die Zeit vom 16. 9p bis 18. 7a, wo alle Ablesungen am Seeufer gemacht sind, in die Kurve des Gangs vom 13. 9p bis 15. 7a verschiebt. Die Verschiebung beträgt im Mittel $-1,7$ mm, die Korrektur von β also nur noch $+8,3$ mm. Für γ ergibt sich aus den Vergleichen vom 17. 2p bis 19. 9p als Korrektur $+7,4$ mm.
- Vom 18. bis 20. übereinstimmender Gang, aber verschiedener Stand von α und β , γ unregelmäßiger. Welche Angaben, ob β oder α richtig, bleibt einstweilen offen. Mit seiner alten Korrektur von $+10$ mm würde β noch leidlich mit α übereinstimmen. Das spricht fast zwingend dafür, daß obiges doch eine Luftdruckschwankung war. Oder sollten α und β zwischen 15. 7a und 18. 9p sich beide um denselben Betrag geändert haben? 20. 7a macht α einen Sprung. Wir korrigieren seinen Stand nach β und γ , es erhält die Korrektur $+7,2$, dann sind jetzt entweder alle drei Instrumente richtig korrigiert, oder sie zeigen alle drei 1.7 mm zu niedrig, wenn nämlich obiges keine Standänderung von β , sondern eine reelle Luftdruckschwankung war. Vielleicht können wir die Frage entscheiden, indem wir von der folgenden Siedethermometermessung rückwärts gehen.
23. bis 25. Oktober. Mit den Korrekturen der Siedethermometermessung rück- und vorwärts bis 23. 9p und 26. 7a. Alle Beobachtungen am gleichen Ort. γ , das am meisten abgelesen ist, läßt klar den täglichen Gang des Luftdrucks erkennen, erleidet also in dieser Zeit keinen Sprung. α stimmt im Gang leidlich mit ihm überein, zeigt aber viel zu niedrig. Die Korrektur ist etwa 10 mm zu klein. Also hat — wenn nicht etwa ein Ablesefehler um 10 mm vorliegt, was bei drei übereinstimmenden Ablesungen ausgeschlossen erscheint — während der Siedethermometermessung α einen ganz andern Stand gehabt. Es hat ausgerechnet in der Stunde, wo seine Korrektur bestimmt werden sollte eine Nase gemacht. β ist bei der Siedethermometermessung nicht verglichen worden. Die Korrekturen von α und β können also nur bestimmt werden durch Vergleich mit γ . Um die kleinen Standschwankungen, denen gerade γ stark ausgesetzt ist, zu eliminieren, nehmen wir das Mittel der aus den verschiedenen Vergleichen folgenden Korrekturen. Es ergibt sich für α $+7,2$ mm, für β $+8,3$ mm. In die Tabelle sind schon die hiermit korrigierten Zahlen eingetragen. Die noch vorhandenen Differenzen der Instrumente zeigen keine Regelmäßigkeit und halten sich in den Grenzen der kleinen Standschwankungen. Das Mittel der Ablesungen können wir als richtigen Wert annehmen, dessen Fehler $\pm 0,5$ mm nicht überschreiten dürfte.
20. bis 23. Oktober. Nun zeigt sich, daß die hier gefundenen Korrekturen schon am 20. 7a vorhanden sind. Fügen wir die zwischenliegenden Beobachtungen hinzu, so ergibt sich dauernde Übereinstimmung, die Instrumente erleiden in der Zwischenzeit keinen Sprung. Damit ist erwiesen, daß unsere vorläufige Annahme, β habe seine Korrektur am 16. um 1.7 mm erniedrigt, richtig war. Es folgt aber auch, daß α zwischen dem 15. und 18. seine Korrektur um etwa denselben Betrag erniedrigt hat! Wollten wir an diesen großen Zufall nicht glauben und jene Änderung doch als Luftdruckschwankung auffassen, so müßten wir später die noch viel gewaltsamere Annahme machen, daß zwischen dem 20. und 23. Oktober alle drei Aneroide gleichzeitig um denselben Betrag sich geändert hätten.

Luftdruck und Höhe.

B = Berg, G = Graben, P = Plateau, S = Siedethermometer, u = Messung unbrauchbar.

1906.

O r t	Cha- rakter	Z e i t		Instru- ment	Luftdruck	Unsicher- heit	Lufttem- peratur	Höhe	Fehler	
					mm	± mm	Grad			m
Maurui, Bahnhof	G	{ 27. Juni	7a	α, β, γ	734.9	0.4	16.0	} 334	}	
		"	2p	"	733.0	0.5	24.7			
Mabungu, Terrasse von Horns Haus	P	{ 28. Juni	9p 10	"	728.0	< 1	19.1	} 405	} 8	
		"	7a	"	729.0	0.5	16.6			
Route	P	"	8.50	β	729.3	1		406	} 15	
"	"	"	9.39	"	731.7	1		378		
"	"	"	10.10	"	732.4	1		370		
"	"	"	11.02	"	731.6	1		376		
"	"	"	12.00	"	732.4	1		362		
" (Mwaleni)	"	"	1p 06	"	729.6	1		390		
"	"	"	2.00	"	725.5	0.5	22.8	430		
"	"	"	3.20	"	728.9	1		385		
"	"	"	3.45	"	726.7	1		410		
"	"	"	4.43	"	728.8	1		385		
Lager in Kwa Ruma	"	{ 29. Juni	9p	α, β, γ	727.0	0.8	15.7	} 420	} 12	
		"	7a	"	727.0	0.8	15.3			
Route	"	"	8.04	β	727.4	1		419	} 15	
"	"	"	8.30	"	728.7	1		404		
"	"	"	8.50	"	728.2	1		411		
"	"	"	9.20	"	727.1	1		424		
"	"	"	9.45	"	726.1	1		436		
"	"	"	11.00	"	719.6	1		509		
"	"	"	11.56	"	714.5	1		565		
"	"	"	12p 10	"	715.4	1		554		
"	"	"	12.20	"	715.7	1		548		
"	"	"	12.45	"	715.6	1		548		
"	"	"	2p	"	715.0	1	23.0	546	} 15	
"	"	"	4.10	"	707.6	1		628		
"	"	"	5.05	"	702.3	1		692		
"	"	"	5.25	"	707.1	1		635		
Lager in Kwa Mdoe	"	{ 30. Juni	9p	α, β, γ	707.5	0.5	16.7	} 642		} 12
		"	7a	"	708.4	0.5	15.6			
Route	"	"	10.40	β	711.7	1		603		} 15
"	"	"	10.50	"	711.3	1		607		
"	"	"	11.41	"	709.6	1		624		
"	"	"	12p 06	"	704.6	1		683		
"	"	"	12.20	"	706.9	1		653		
"	"	"	1.25	α, β	703.1	1		693		
"	"	"	1.42	α	705.9	1	23.2	655		
"	"	"	2.37	"	702.8	1		689		
"	"	"	2.58	"	698.9	1		734		
Lager Kwa Mlinde	P	{ 30. Juni	9p	α, β, γ	702.5	0.5	17.0	} 702	} 8	
		{ 1. Juli	7a	"	703.5	0.5	15.2			
Route	P	"	8.22	α	708.3	1		647	} 15	
"	"	"	9.27	"	706.1	1		675		
" Msangassi	"	"	10.00	"	707.8	1		654		
"	"	"	11.04	"	705.1	1.2		683		
"	"	"	11.43	"	707.2	1.2		gestört, u		
" Msangassi	"	"	12.32	"	705.3	1.2		671		
" Msangassi	"	"	12.51	"	704.9	1.2		672		
"	"	"	2.49	"	698.0	1	22.6	748		
Lager in Mlembule Kwa Tscharumbi	"	{ 2. Juli	9p	α, β, γ	700.2	0.8	12.8	} 735		} 12
		"	7a	"	700.6	0.8				
Route	"	"	8.20	α	704.3	3		695	} 25	
"	"	"	8.56	"	700.7	3		742		
"	"	"	9.03	"	702.6	3		719		
"	"	"	9.22	"	697.4	3		784		
"	"	"	9.46	"	698.5	3		771		
"	"	"	10.00	"	697.0	3		789		
"	"	"	10.10	"	697.0	3		789		
"	"	"	10.19	"	694.8	3		815		
"	"	"	11.00	"	697.8	3		774		
"	"	"	11.24	"	693.3	3		827		
"	"	"	11.50	"	692.4	3		836	} 20	
Kwediboma	"	"	2p	α, γ	685.5	1.5	19.7	907		
Route	"	"	1.25	α	691.5	1.5		838		

1906.

Ort	Charakter	Zeit		Instrument	Luftdruck	Unsicherheit	Lufttemperatur	Höhe	Fehler
					mm	± mm	Grad	m	± m
Route	P	2. Juli	1.33	α	688.6	1.5		874	} 20
"	"	"	1.51	"	691.7	1.5		834	
"	"	"	2.15	"	683.6	1.5		931	
"	"	"	3.12	"	680.2	1.5		970	
"	"	"	3.57	"	683.5	1.5		927	} 15
Mgera	P	2./4. Juli	Mittel	α, β, γ	680.6	1	17.5	980	
Gipfel Z	B	{ 3. Juli	10.40	β	669.2	1.2		} 1138	} 20
"	"	"	12.15	"	668.2	1.2			
Route	P	4. Juli	8.45	α	676.4	1.5		1048	} 20
"	"	"	9.02	"	679.6	1.5		1008	
"	"	"	9.31	"	673.7	1.5		1082	
"	"	"	9.46	"	674.8	1.5		1068	
"	"	"	9.56	"	677.9	1.5		1029	
"	"	"	10.12	"	673.3	1.5		1086	
"	"	"	10.56	"	675.4	1.5		1055	
"	"	"	10.34 ^{1/2}	"	674.4	1.5		1069	
Kibiraschi	"	"	2p	α, γ	669.7	1.5		1106	
Route	"	"	3.51	α	664.2	1.5		1168	
Lager Engong Engussero	"	{ 5. Juli	9p	α, β, γ	666.8	0.8	15.1	} 1160	} 15
"	"	"	7a	"	666.3	1	14.2		
Route	"	"	9.31	α	666.3	1.5		1170	} 20
"	"	"	11.22	"	668.6	1.5		1138	
"	"	"	1.52	"	660.4	1.5	20.5	1230	
Kijungu, Mfleda bei Soder	P	{ 6. Juli	9p ²⁰	α, β, γ	649.5	1	12.1	} 1385	} 15
"	"	"	7a	"	648.6	1	13.2		
Route	P	"	12.40	α	659.2	1.2		1245	} 18
"	"	"	1.08	"	662.2	1.2		1206	
"	"	"	2.02	"	665.5	1.2	20.0	1151	
"	"	"	2.30	"	665.6	1.2		1152	
Wasserstelle Kibarbara	P	6. Juli	9p ¹⁵	α, β, γ	664.8	0.8	14.8	} 1188	} 12
"	P	7. Juli	7a	"	665.1	1	11.1		
Route	"	"	10.20	α	671.3	1.2		1116	} 15
"	"	"	3.37	"	671.0	1.2		1088	
Lager am Affenbrobaum	"	{ 8. Juli	9.10	α, β, γ	671.9	0.8	13.1	} 1097	} 12
"	"	"	7a	"	671.9	0.8	13.1		
Route	"	"	7.12	α	672.2	1.5		1090	} 15
"	"	"	9.49	"	673.4	1.5		1096	
"	"	"	9.59	"	672.9	1.5		1088	
"	"	"	10.55	"	673.1	1.5		1088	
"	"	"	11.26	"	674.3	1.5		1070	
"	"	"	"	"	673.3	0.7	17.0	1074	
Kaita Mgöi	"	8./9. Juli	Mittel	α, β, γ	673.3	0.7		1074	} 12
Route	"	9. Juli	8.07	α	672.9	1.2		1094	
"	"	"	8.35	"	672.9	1.2		1094	} 18
"	"	"	9.24	"	676.1	1.2		1054	
"	"	"	9.44	"	676.5	1.2		1047	
"	"	"	10.14	"	678.0	1.2		1025	
"	"	"	10.33	"	678.5	1.2		1010	
"	"	"	10.47	"	677.6	1.2		1020	
Mnaingo	"	"	10.45	"	675.6	1.2		1045	} 12
Mnaingo, höchster Punkt	"	{ "	1.15	"	676.3	1.2			
N-Fuß des Hügels Mnaingo	"	"	2p	γ	678.8	1.5	22.3	1007	} 15
Mnaingo, Wasserstelle	"	"	5p	α	680.9	1.2		972	
Mnaingo, Lager	"	{ 10. Juli	9p	α, β, γ	681.8	0.8	15.6	} 968	} 12
(Wasserstelle 5 m höher)	"	"	7a	"	682.3	0.8	13.2		
Route	"	"	10.25	α	688.6	1.2		897	} 15
Grassteppe Kitwej	"	"	2p	γ	687.8	1.5	23.3	882	
Lager in der Grassteppe Kitwej	P	10./11. Juli	Mittel	α, β, γ	689.1	0.5	16.1	875	
Ol Dönjo Kitwej, Gipfel	B	10. Juli	5p ³⁰	β	676.9	1		1020	} 18
Route, derselbe Punkt	P	{ 11. Juli	10a	α	690.7	1		} 872	
"	"	"	2p	γ	688.5	1.5			
Route	"	"	10.14	α	689.3	1		895	
"	"	"	10.38	"	691.5	1		859	
"	"	"	11.33	"	691.7	1		852	
"	"	"	1.15	"	689.5	1		868	
"	"	"	3.03	"	688.6	1		868	
"	"	"	3.53	"	686.6	1		890	
"	"	"	4.03	"	686.2	1		895	
"	"	"	6.07	"	683.3	1		936	
Lager am Gaboio	"	{ 12. Juli	10p	α, β, γ	682.0	0.5	16.1	} 965	} 12
"	"	"	7a	"	682.5	0.7	13.4		
Route	"	"	10.18	α	683.6	0.8		983	} 20
"	"	"	10.36	"	682.1	1			

1906.

O r t	Cha- rakter	Z e i t		Instru- ment	Luftdruck	Unsicher- heit	Lufttem- peratur	Höhe	Fehler
					mm	± mm	Grad	m	± m
Route	P	12. Juli	12.01	α	689.8	1		877	20
"	"	"	12.16	"	690.0	1		873	
"	"	"	1.20	"	691.1	1		850	
Lager Essoidandali	"	12./13. Juli	Mittel	α, β, γ	692.5	1	17.8	821	12
Route	"	"	8.53	α	693.7	0.8		820	
"	"	"	10.18	"	695.6	1.2		813	
"	"	"	11.05	"	693.9	1.2		833	20
"	"	"	12.07	"	693.1	1.2		839	
"	"	"	1.02	"	691.3	1.2		856	
Route, oberer Rand des Steilabfalls nach d. Pangani	B	13. Juli	2p	α, β, γ	693.2	1.2		826	15
Route	"	"	4.10	α	690.6	0.5	26.2	854	
Lager I am Pangani	G	13./15. Juli	Mittel	α, β, γ	703.7	1.2		690	20
Lager I am Pangani	G	14. Juli	7a	"	711.1	0.5	20.4	607	9
Route	"	"	9.48	β	712.4	0.5	17.8		15
"	"	"	10.31	"	709.3	1		653	
"	"	"	11.15	"	707.0	1		680	
"	"	"	1.55	"	702.6	1		727	
"	"	"	2p	α, γ	692.2	1		837	
Lager I am Pangani	"	15. Juli	9.43	α	709.9	0.5	26.6	607	15
Route	"	"	11.00	"	712.2	1		610	
"	"	"	3p 14	"	711.5	1		615	15
"	"	"	9p	α, β, γ	708.2	1		630	
Lager II am Pangani	"	16. Juli	7a	"	710.2	0.8	18.0		15
Route	"	"	12.49	α	711.3	0.8	17.2	617	
Lager III am Pangani	"	17. Juli	9p	α, β, γ	708.9	u.			20
Lager IV am Pangani in Trocken- bett 200 m vom Ufer	"	17. Juli	7a	"	709.3	0.5	18.3	630	
Route	"	18. Juli	7a	S, α, β, γ	710.2	0.7	18.0		20
"	"	18. Juli	9.20	S, α, β, γ	708.6	0.3	15.8	645	
"	"	"	10.00	α	708.1	0.4	15.4	685	15
"	"	"	11.10	"	708.1	0.8		655	
"	"	"	2p	"	704.3	0.8		675	15
"	"	"	4.22	"	703.4	0.8		680	
Lager V am Pangani zwischen Fluß und Litemabergen	"	19. Juli	9.15	α, β, γ	705.1	0.4	16.9		15
Route	"	"	7a	"	706.2	0.4	15.2	690	
Unter Aruscha	G	19./20. Juli	Mittel	α, β, γ	704.7	0.8		693	9
Route	G	20. Juli	8.43	α	703.6	0.3	19.0	690	
"	"	"	2.05	α, β, γ	705.1	0.8		690	15
"	"	"	4.07	α	702.1	0.5	25.0	707	
Kahe, Lager	"	21. Juli	9p	α, β, γ	701.3	0.8		718	15
"	"	21. Juli	7a	"	701.9	0.6	13.3	710	
Marangu, Lager vor Mareales Boma	B	24. Juli	9p	"	702.1	0.6	14.6		20
Dschallasee, Schlobachs Lager	"	24. Juli	9p	"	649.5	0.4	15.1	1358	
Dschallasee, 2 m über Spiegel	"	25. Juli	7a	"	649.9	0.5	14.3		20
Steppe zwischen Dschalla u. Rombo	"	25./26. Juli	Mittel	"	684.3	0.5	20.1	921	
"	"	26. Juli	11.40	γ	692.6	1		826	20
"	"	"	2p	β	673.2	1.5	24.2	1056	
Mkua, Lagerplatz bei Kiwabo	"	"	9.15	α, β, γ	644.5	0.5	14.3		15
Seinëuschlucht	"	"	7a	"	643.4	0.5	15.7	1436	
Schlobachs Leitokitoklager	B	27. Juli	2p	γ	631.5	1.2	20.2	1588	12
Useri, Lager bei Utshima	B	27./29. Juli	Mittel	α, β, γ	614.2	0.5	13.3	1854	
Keni, bei Tengia	"	29./30. Juli	Mittel	"	628.7	0.5	13.6	1656	15
Rombohügelland	"	30. Juli	2p 10	β	639.0	1	16.7	1518	
Mamba beim Häuptling Kambele	"	"	3p 30	γ	629.2	1.2		1644	20
Garangaübergang bei Mission Kiboscho	"	31. Juli	9p	α, β, γ	645.8	0.8	14.8	1440	
Madschame, Lagerplatz beim Häuptling	"	"	7a	"	646.2	0.8	13.6		15
Im Urwald daselbst	"	2. Aug.	2p 10	β	655.4	1.5	20.0	1313	
Lager unterm Urwald	"	3. Aug.	7a	"	647.5	1.5	13.5	1423	50
Unteres Erikawaldlager	"	"	3p	"	555.3	2.0	7.0	2675	
Punkt 9.55 vom 12. August	"	4. Aug.	10a 10	"	561.3	3			25
Madschame, Lager beim Häuptling	"	3. Aug.	9 $\frac{1}{4}$ p	"	606.2	2	10.5	1945	
Moschi, Beobachtungshütte	"	4. Aug.	7a	"	606.5	2	6.8		50
Kidakaübergang	"	"	11.40	"	537.4	3		2940	
Weruweruübergang nach Madschame	"	"	1p 30	"	516.4	2	9.5	3250	15
"	"	"	9p	"	645.9	2		1423	
"	"	5. Aug.	7a	"	646.6	2	10.9		2
"	"	8. Aug.	5 $\frac{3}{4}$ p	S	666.9	0.2		1149	
"	"	10. Aug.	2p	α	658.7	0.8		1254	15
"	"	"	3.30	"	640.8	u		u	

1906.

Ort	Charakter	Zeit		Instrument	Luftdruck	Unsicherheit	Lufttemperatur	Höhe	Fehler
					mm	± mm	Grad	m	± m
Madschame, Mission	B	11. Aug.	7a	α, β, γ	641.6	0.3	10.7	1476	10
Route	B	"	10.24	β	606.9	1		1960	25
"	"	"	11.15	"	594.1	2		2160	
"	"	"	12.57	"	577.0	2		2430	
"	"	"	2.50	"	564.9	2		2620	50
Unteres Erikawaldlager	"	"	4.27	"	546.2	2			auch
Route	"	12. Aug.	9p	γ u	545.9	2	6.9	2940	unter-
"	"	"	7a	β	546.0	2	6.5		ein-
"	"	"	9a	"	534.1	u		3000	ander
"	"	"	9.55	"	520.1	2		3250	wenig
"	"	"	10.45	"	511.1	2		3395	sicher
Oberes Erikawaldlager	B	14. Aug.	4 ³ / ₄ p	S	500.3	0.2	6.8	3552	20
Route Daube I	B	13. Aug.	8a	β	479.0	2		3932	
"	"	"	9.21	"	468.7	2		4112	30
"	"	"	12p	"	451.0	u		4450	rel. H.
"	"	"	2.45	"	482.0	2		3854	stimmen
Westkibolager	B	15. Aug.	6p	S	453.8	0.3	1.3	4342	12
Route	B	16. Aug.	10a 00	β	440.0	2		4613	
Daube am Gletscherende	"	"	11a	"	434.9	2		4700	20
Gletscherschliffe	"	"	4p 17	"	433.5	2			rel. H.
Standpunkt I	"	"	4 ¹ / ₂	"	436.0	2		4645	stimmen
Oehlergrat, β	"	15. Aug.	4p	"	442.6	2		4526	
Daube der Steinlinie	"	16. Aug.	5p 50	"	437.2	2		4630	
Zwischen Penckgletscher u. linker	"	17. Aug.	11a 15	"	426.2	3		4822	
Moräne bei Steinlinie	"	"	2p	β	427.2	3	0.7	4784	
Signalfels	"	"	4 ³ / ₄ p	"	423.5	3		4848	
Penckgletscherende	"	"	5p 20	"	433.0	3		4675	
Route 9.05—32	"	19. Aug.	9a 30	"	441.5	3		4520	
Route Bastions	"	"	10.00	"	449.2	3		4380	
Route roter Lavaturm	"	"	11.30	"	439.9	3		4540	
Route 12.00—1.43	"	"	1 ¹ / ₂ p	"	433.0	3		4650	
Hans Meyer Grat, Gipfel	"	"	4 ¹ / ₂	"	423.0	3		4826	
Sattel zwischen Lavaturm u. Kibo	"	"	5 ¹ / ₂	"	434.3	3		4620	40
Oberste Quellwiesen	"	20. Aug.	10a	"	433.0	3		4670	
Unterster Schnee, S-Hang	"	"	10 ¹ / ₂	"	431.0	3		4700	
Uhliggletscher, Nordzipfel, Ende	"	"	12p 30	"	429.3	3		4725	
" Südzipfel, Ende	"	"	1.45	"	427.9	3		4749	
" Fuß der Bastion	"	"	3	"	414.8	3		4980	
Lavafundpunkt in der Bresche	"	"	4 ¹ / ₂	"	434.0	3		4624	
Peilpunkt, Rückweg	"	21. Aug.	12p	"	458.7	3		4200	
Bachübergang	"	"	1 ¹ / ₂	"	466.0	3		4060	
Boden des Kars	"	"	1 ³ / ₄	"	468.0	3		4024	
Baumfarn u. Baumerika	"	22. Aug.	11 ¹ / ₂ a	"	555.0	6		2680	
Straße Kiboscho-Moschi, Rauübergang	"	23. Aug.	2p	β, γ	685.3	2	24.4	910	
Moschi, Beobachtungshütte	"	29. Aug.	3 ¹ / ₄ p	S	667.1	0.2		1149	2
Lager am Raufluß, Straße Aruscha-Moschi	"	1. Sept.	9p	α, β, γ	691.0	1	16.1	860	
Route, Garanga	G	2. Sept.	7a	"	691.5	1	15.3		
" Weruweru	"	"	10a	β	698.4	1.5		780	
" Kikafu	"	"	11.13	"	697.4	1.5		785	
"	"	"	12.00	"	698.5	1.5		765	
"	"	"	12p 21	"	694.5	1.5		810	15
"	"	"	12.40	"	692.0	1.5		836	
"	"	"	1.33	"	690.0	1.5		852	
Bachfurt	"	"	2p	β, γ	690.5	1.5	21.7	842	
Route	"	"	3.01	β	688.0	1.5		870	
Kwarebach	"	"	3.15	"	688.4	1.5		860	
Ebene Grasfläche	"	"	3.50	"	687.0	1.5		876	
Kwarebrücke, Viehboma	"	"	5.20	"	683.5	1.5		928	10
Lager am Sanjabach, Straße Moschi-Aruscha	"	3. Sept.	9 ¹ / ₄ p	α, β, γ	684.3	1	16.1	940	
Lager am Usabach, Straße Moschi-Aruscha	"	3./4. Sept.	7a	"	684.8	1	15.0		15
Balbalsee, Spiegel	B	"	Mittel	α, β, γ	667.6	1		1135	
Aruscha, 4 m tiefer als die Beobachtungsstation	B	4. Sept.	11a 40	β	659.4	1	16.5	1244	
Lager am Engare Olmotonj	G	5. Sept.	2 ¹ / ₄ p	S	646.1	0.1	20.9	1397	3
Lager am Nairascharaschbach	"	6. Sept.	9p	α, β, γ	648.6	1	10.0	1378	5
"	"	7. Sept.	7a	"	649.0	1	9.8		
"	"	7./8. Sept.	Mittel	"	648.0	0.4	17.0	1381	8

1906.

Ort	Charakter	Zeit	Instrument	Luftdruck mm	Unsicherheit ± mm	Lufttemperatur Grad	Höhe m	Fehler ± m
Oberer Rand eines Steilabfalls nach der ebenen Grassteppe im SW des Mondul	G	8. Sept. 2p	β, γ	648.0	0.5	22.3	1359	15
Lager Emugur Nasobere (Engegobei)	"	9. Sept. 9p 7a	α, β, γ	649.9	0.4	16.0	1368	5
Bachschlucht zwischen Barrabarra, Aruscha-Umbugwe u. Essimingorberg	"		10a 40	β	661.1	1		
Nächste Bergschlucht	"	11.48	"	656.3	1		1289	15
Rastplatz	B	1p	"	621.7	1		1750	
Kleiner Gipfel des Essimingorberges	"	2p	"	615.7	1	18.3	1825	15
Standpunkt des Croquis	"	3p	"	620.9	1		1745	
Lager Mbuyuni	G	9. Sept. 9p	α, β, γ	665.4	0.4	19.0	1164	12
Großes Trockenbett nach N	"	10. Sept. 7a	"	666.0	0.4	11.6		
Wasserstelle Msuakini	G	" 9a 30	β	677.2	1		1028	15
Lager Matjako Matakaiko	"	" 11a	"	675.0	1		1050	
	"	10./11. Sept. Tagesmittel	α, β, γ	678.6	0.4	21.4	997	8
Umbugwe, Lager	"	11. Sept. 9p 20	S	681.3	0.2	21.7	970	5
Umbugwe, Lager	G	12. Sept. 7a	α, β, γ	682.7	0.3	18.2		
Lager beim Affenbrothbaum, Fuß der Bruchstufe	B	11. Sept. Mittel	S, α, β, γ	681.2	0.5	22.3	970	5
	"	12. Sept. 2p	α, β, γ	672.5	< 1	25.5	1070	15
	"	9p	"	674.6	< 1	20.9		
	"	13. Sept. 7a	"	675.1	< 1	17.5		
Route, Kuppe	"	" 9a	β	640.0	2		1531	15
" Paßhöhe	"	" 9.25	"	631.5	2		1642	
" Bachübergang	"	" 9.50	"	633.2	2		1620	10
Mtunguriübergang	"	" 10 54	"	640.2	2		1515	
Route	"	" 12p 20	"	617.0	2		1824	15
	"	" 2.32	"	622.3	2		1735	10
Iraku, Lager bei der Boma, 6 m höher als die alte, so hoch wie die neue Boma	"	" 4p	α, β, γ	619.8	0.5	18.5	1765	5
	"	" 10p	"	621.4	0.5	14.7		
Guaberg, 1.5 m unter dem Gipfel	B	14. Sept. 7 1/2 a	S	620.7	0.5	14.5	2185	5
Iraku, Lager, Höhe der neuen Boma	B	14. Sept. 2p	"	588.4	0.2	17.9		
	"	" 10p 30	α, β, γ	620.3	0.5	14.2	1765	5
	"	15. Sept. 7a	"	620.3	0.5	12.9		
	"	" 8 1/2 a	S	620.9	0.3		1765	5
	"	" 2p	α, β, γ	618.7	0.5	23.8		
	"	" 9p	"	620.0	0.5	16.2	1765	5
	"	16. Sept. 7a	"	620.3	0.5	14.0		
	"	" 2p	β, γ	618.7	0.5	22.2	1765	5
Iraku, Lager	B	13.—16. Sept. Mittel	S, α, β, γ	619.7	0.5	17.5		
Route	B	16. Sept. 2p 15	β	617.1	1		1786	5
	"	" 2.30	"	618.9	1		1760	
	"	" 3p	"	616.0	1		1799	12
" Paß	"	" 3.57	"	610.1	1		1877	
	"	" 4.10	"	613.3	1		1833	12
	"	" 4.30	"	606.2	1		1931	
	"	" 4.41	"	611.4	1		1860	12
	"	" 4.55	"	612.4	1		1846	
	"	" 5.50	"	613.3	u		1835	10
Lager bei Mama Isara	"	17. Sept. 9p	α, β, γ	613.9	0.5	15.0		
Route	"	" 7a	"	614.0		10.8	1878	10
" Nambisübergang	"	" 10a 07	β	612.0	2			
	"	" 10.25	"	617.5	2		1801	20
	"	" 11.12	"	610.3	2		1888	
	"	" 11.30	"	608.9	2		1913	20
	"	" 11.55	"	606.6	2		1944	
	"	" 12p 26	"	604.8	2		1958	20
	"	" 2.30	"	594.7	2		2094	
	"	" 2.57	"	585.3	2	19.0	2224	20
	"	" 3.28	"	579.3	2		2310	
	"	" 3.40	"	586.6	2		2204	20
	"	" 3.49	"	586.1	2		2211	
	"	" 4.03	"	578.3	2		2324	20
" Jaëdabach	"	" 4.35	"	591.8	2		2131	
	"	" 5.04	"	585.2	2		2226	20
	"	" 5.18	"	593.3	2		2112	
	"	" 5.38	"	583.8	2		2250	20
Tumbati	P	18. Sept. 9p	β, γ	593.6	1.5	13.0	2125	
	"	" 7a	"	593.4	1.5	9.6		

1906.

Ort	Charakter	Zeit		Instrument	Luftdruck	Unsicherheit	Lufttemperatur	Höhe	Fehler
					mm	± mm	Grad	m	± m
Route	P	18. Sept.	8 a 24	β	596.9	1.5		2084	} 20
"	"	"	9.01	"	596.9	1.5		2085	
Akida Maussa	"	"	9.35	"	601.6	1	} 21.2	} 2017	} 15
			2 p 30	β, γ	600.2	1			
			10 p 30	"	601.8	1			
Route	"	19. Sept.	7 a	"	601.3	1	11.2		
"	"	"	9.24	β	606.2	1.5		1954	} 20
"	"	"	10.35	"	598.0	2		2073	
"	B	"	11.55	"	592.2	2		2142	} 15
"	P	"	12 p 26	"	598.8	2		2043	
"	B	"	1.45	"	589.4	2		2173	
Baschedübergang	"	"	2.38	"	595.7	2		2074	} 15
Route	"	"	3.12	"	593.1	2		2107	
Oberer Rand der Bruchstufe	"	"	3.50	"	593.4	2		2099	} 20
Route	"	"	4.10	"	606.0	3		1920	
Lager am Fuß der Bruchstufe	G	} 20. Sept.	9 p	α, β, γ	633.0	1	16.1	} 1570	} 15
Route	"		7 a	"	634.4	1	13.5		
"	"	"	8.45	β	635.8	2		1556	} 20
"	"	"	9.15	"	636.3	2		1549	
"	"	"	11.10	"	633.6	2		1576	
"	"	"	11.30	"	629.9	2		1624	
Dugumiegboden	"	"	2 p	"	629.0	2	22.8	1611	} 20
Dugumiegrücken	"	"	2 1/4	"	627.8	2		1627	
Mangati, Sumpf	"	"	4 p	"	634.9	2		1525	} 15
Mangati, Lager beim Jumben	}	} 21. Sept.	9 p	α, β, γ	636.9	1	17.0	} 1530	
Marumbi			"	7 a	β, γ	637.2	1		
Route	B	"	9.17	β	621.9	2		1745	
"	"	"	10.01	"	624.0	2		1716	} 15
"	"	"	11.00	"	625.9	2		1686	
"	"	"	12.00	"	626.5	2		1675	
Lager N-Fuß des Hanang	"	} 22. Sept.	9 p	β, γ	627.7	1	15.1	} 1640	} 20
Route	G		7 a	"	628.9	1			
Grassteppe auf Grabensohle	"	"	3 p 10	β	631.5	2		1573	} 20
Route	"	"	2 p	γ	637.6	u	25.5		
Gesteinsgrenze	B	"	4.53	β	635.1	2		1536	} 15
Lager N-Fuß des Hanang	"	"	5 1/2 p	"	630.9	2		1596	
Großer par. Krater, höchster Punkt des Randes (O-Seite)	"	} 23. Sept.	9 p	β, γ	628.6	1	16.1	} 1640	} 15
"	"		7 a	"	629.8	1	12.5		
Lager am N-Hang des Hanang	"	"	8.20	β	618.1	2		1800	} 50
"	"	"	2 1/2 p	γ	566.9	3	17.1	} 2522	
"	"	"	8 3/4 p	β, γ	566.6	3			
Hanang, 4 m unter Gipfel	B	24. Sept.	6 a 15	β	566.8	3			} 15
Hanang, Gipfel	B	24. Sept.	1 p	S	509.7	0.1	12.5	3398	
"	"	"	1.25	β	508.9	0.5		3402	} 15
"	"	"	4.20	"	506.7	0.5			
Paß im Grat	"	"	etwa 2 p	"	517.7	2		3247	} 30
Zwischengipfel	"	"	3 p	"	516.6	2		3261	
Hanang, Lager am N-Hang	"	} 25. Sept.	9 p	β, γ	565.0	3	12.0	} 2522	} 35
"	"		6 1/2 a	"	565.7	3			
Mangati, Lager beim Jumben	}	} 26. Sept.	9 p	α, β, γ	636.0	2	18.0	} 1530	} 15
Marumbi			"	7 3/4 a	"	637.4	2		
Route	B	"	2 p 57	β	630.4	2		1570	} 15
"	"	"	3.05	"	629.5	2		1582	
Lager am O-Fuß des Hanang	"	} 27. Sept.	3.45	"	631.7	2			} 1548
"	"		9 p	α, β, γ	635.2	1	19.2		
"	"	"	7 a	"	635.9	1	14.5		
Route	"	"	9.23	β	636.6	2			} 20
"	"	"	10.45	"	623.7	2		1714	
"	"	"	12 p 43	"	628.1	2		1635	} 20
"	"	"	1.45	"	618.4	2		1762	
"	"	"	2.30	"	619.6	2		1740	} 15
"	"	"	3 p	"	618.4	2		1756	
"	"	"	3.35	"	615.7	2		1792	} 15
"	"	"	4.23	"	618.6	2		1752	
"	"	"	4.50	"	625.3	2		1660	} 15
"	"	"	5.20	"	622.1	2		1702	
Lager am W-Fuß des Hanang	"	} 28. Sept.	8 1/2 p	α, β, γ	626.8	1	20.9	} 1643	} 15
"	"		7 a	β, γ	628.2	1			
Balangdasee	G	"	2 p	β	634.6	1.0	23.8	1528	} 13
Lager am O-Ufer des Balangdasees, 6 m üb. Spiegel	"	"	8 p	S	635.2	0.4			
"	"	"	9 p	α, β, γ	635.8	0.5	18.0	1534	

1906.

Ort	Charakter	Zeit	Instrument	Luftdruck mm	Unsicherheit ± mm	Lufttemperatur Grad	Höhe m	Fehler ± m	
Lager am O-Ufer des Balangda-sees, 6 m üb. Spiegel	G	29. Sept.	7a	β, γ	637.1	0.5	19.0	1534	13
		28. Sept.	Mittel	S, α, β, γ	635.7	0.5	20.3		
Lager am Fuß der Bruchstufe	G	"	9p	α, β, γ	633.2	1	16.5	1570	15
Oberer Rand der Bruchstufe	B	30. Sept.	7a	β, γ	634.6	1	14.5		
Baschenedübergang	"	"	9a	β	597.2	2		2099	20
			10a	"	598.8	1.5		2074	
Route	"	"	10.56	"	591.6	1.5		2178	20
			11.19	"	592.6	1.5		2160	
"	"	"	11.43	"	591.2	1.5		2170	20
			1p 29	"	596.2	1.5	22.2	2084	
Madumagasumpf	P	"	3.43	"	600.2	1.5		2016	20
			4.43	"	597.2	1.5		2060	
Lager beim Akida Maussa	P	1. Okt.	9p	β, γ	601.7	1	15.5	2017	15
			7a	"	601.5	1	12.5		
Route	"	18. u. 30. Sept.	Mittel	"	601.1	1	15.5	1948	15
			1. Okt.	9a	β	607.3	1.5		
"	"	"	9.40	"	609.8	2		1909	20
"	"	"	11.30	"	605.8	2		1954	
"	"	"	1p	"	607.0	2		1923	20
Lager, Wasserstelle Mruguast	"	2. Okt.	10p	β, γ	613.3	1.5	15.6	1846	
			7a	"	614.0	1.5	14.9		
Route	"	"	7.33	β	613.7	2		1665	20
			11.20	"	626.4	2		1633	
Tungobesch beim Masodischsee	"	"	5 ³ / ₄ P	"	626.6	2		1633	20
Lager am Masodischsee	"	3. Okt.	9p	α, β, γ	628.3	1	18.0	1638	
			7a	"	628.5	1	14.3		
Route	"	"	7.48	β	628.7	1.5		1628	20
			8.12	"	629.5	2		1610	
Kratersee Giromangi	"	"	8.25	"	630.8	2		1655	20
			9.53	"	627.7	2		1695	
Gipfel H ₄ des Kraters X	"	"	12p 35	"	623.6	2		1695	20
			1.35	"	623.2	2		1695	
"	"	"	2p	α, γ	629.1	0.6	27.5	1607	9
			9p	S	630.2	0.2	17.3		
Lager am Basotusee	P	4. Okt.	7a	α, β, γ	630.5	0.3	16.2	1607	9
			2p	"	628.0	0.6	27.0		
Peilpunkt beim Basotusee	"	3./4. Okt.	Tagesmittel	α, β, γ, S	629.8	0.5	20.3	1620	15
			4. Okt.	8a 30	β	629.9	1		
Krater XV, Wasserspiegel	"	"	11a	"	631.4	1.5		1590	15
			12 ¹ / ₄ P	"	627.7	1.5		1631	
Krater XVII, Gipfel	"	"	1p 20	"	627.5	1.5		1622	15
			1.48	"	628.4	2		1600	
Basotukraterand (25 m üb. See!)	"	"	2.45	"	627.8	1		1607	15
			2.52	"	625.8	1.5		1633	
Basotuseespiegel	"	"	3.43	"	625.5	1.5		1634	15
			4.10	"	623.6	1.5		1661	
Route, Lager	"	"	5.06	"	623.6	1.5		1661	15
			9p	α, β, γ	628.2	1	19.0	1620	
Lager in der Steppe	"	5. Okt.	7a	"	629.4	1	15.8	1585	20
			7.46 ¹ / ₂	β	632.4	1.5			
Route	"	"	8.14	"	629.4	1.5		1628	20
			8.32	"	630.5	1.5		1613	
"	"	"	11.44	"	640.5	1.5		1464	20
			12.22	"	633.8	1.5		1550	
"	"	"	12.41	"	635.6	1.5		1521	20
			2p	β, γ	631.1	1	26.7	1569	
Lager in Ijambi	"	6. Okt.	9p	α, β, γ	632.5	1	19.5	1569	15
			7a	β, γ	633.7	1	17.0		
Route	"	"	8.27	β	634.0	2		1569	30
			8.48	"	636.0	2		1542	
"	"	"	9.33	"	639.0	3		1502	30
			10.24	"	636.5	3		1532	
"	"	"	10.50	"	634.5	3		1557	30
			11.40	"	643.6	3		1429	
"	"	"	12p 04	"	645.0	3		1408	30
			12.16	"	641.9	3		1449	
"	"	"	12.40 ¹ / ₂	"	647.3	3		1371	30
			1.01	"	650.1	3		1332	
"	"	"	1.21	"	647.9	3		1359	30
			1.41	"	654.2	3		1272	
Mkalama, Lager	"	7. Okt.	7a	α, β, γ	656.1	< 1	19.0	1279	20
			11. Okt.	9.50	β	657.0	2		

1906.

Ort	Charakter	Zeit	Instrument	Luftdruck mm	Unsicherheit ± mm	Lufttemperatur Grad	Höhe m	Fehler ± m
Mkalama, Lager	P	7.—12. Okt. Mittel	α, β, γ, S	654.5	0.3	25.5	1279	7
Route	P	12. Okt. 9a 58	β	653.1	0.8		1315	} 20
"	"	" 11.18	"	644.4	0.8		1421	
"	"	" 1p 15	"	657.0	0.8	30.5	1232	
Lager am N-Fuß des Issansugebirges	G	13. Okt. 9p	α, β, γ	661.1	0.5	25.0	1171	
Route	"	" 7a	"	663.3	0.5	19.5	1078	18
Njarasaseespiegel	G	" 10.01	β	670.1	0.8		1030	10
Lager II am Njarasasee	G	13.—18. Okt. Mittel	α, β, γ, S	671.9	0.4	26.1	1050	} 10
Peilhügel beim Nashornlager	"	16. Okt. 7a	β, γ	672.8	1	20.0	1090	
Lager am SO-Rand des Njarasagrabens	"	" 5p 20	β	665.5	2.5		1065	} 20
Lager am Simbiti	"	19.—23. Okt. Mittel	α, β, γ	668.7	0.5	26.0	1036	
Route	B	20. Okt. Mittel	β, γ	671.3	0.8	29.8	1180	
Fuß des westl. Hohenlohegrabens	"	23. Okt. 8.59	β	662.3	1		1290	} 20
Route	G	" 10.41	"	654.3	1		1310	
Fuß des südöstl. Hohenlohegrabens	"	" 2p	β, γ	651.0	0.8	32.5	1300	} 20
Peilpunkt, Vorhügel von H ₁₆	"	" 3.45	β	651.6	0.8		1425	
Fuß von H ₂₂	B	24. Okt. 3p	"	641.0	1		1512	} 20
H ₂₂	G	" 4p	"	635.5	0.8		1308	
Lager am Jaidasee	G	25. Okt. 10a 05	"	653.9	0.8		1590	} 12
Lager am SO-Rand des Hohenlohegrabens	B	" 1p 05	"	631.0	1	23.1	1426	
Lager am Fuß des Kinjangirubergs	G	25. Okt. Mittel	α, β, γ, S	652.1	0.4	23.1	1496	} 20
Kinjangiruberg	G	26. Okt. 9p	α, β, γ	642.9	0.5	18.9	1890	
Route	B	27. Okt. 8a	"	645.0	0.5	16.9	1675	} 20
"	G	27./28. Okt. Mittel	α, β	638.3	0.8	19.0	1444	
"	B	27. Okt. 5 ¹ / ₂ p	S	608.2	0.2	16.3	1439	} 20
"	G	28. Okt. 2p 36	β	623.5	2		1432	
"	"	" 9a 41	"	642.9	1		1504	} 15
"	"	" 10.38	"	643.0	1		1562	
"	"	" 11.27	"	643.0	1		1637	} 20
"	P	" 1p 32	"	636.4	1		1346	
Issansu, Lager bei Kitandu	"	" 2.05	"	632.1	1		1272	} 15
Route	P	28./29. Okt. Mittel	α, β, γ	631.5	0.8	21.5	1286	
"	P	29. Okt. 7a 48	β	631.2	< 1		1357	} 20
"	"	" 10.55	"	650.4	< 1		1332	
"	"	" 11.38	"	655.6	< 1		1341	} 20
"	"	1. Nov. 9a 55	"	655.3	< 1		1201	
"	"	" 11.20	"	649.3	< 1		1310	} 20
"	"	" 12p 31	"	650.6	< 1		1560	
Dulumouübergang	G	" 1.26	"	649.2	< 1		1702	} 10
Route	B	" 1.58	"	659.4	1		1672	
"	"	" 2.40	"	651.7	1		1547	} 20
"	"	" 3.09	"	633.0	1		1451	
Iramba, Lager bei Kituru	B	" 3.57	"	622.8	1		1518	} 15
Route	P	1. Nov. 4p 15	S	620.7	0.5	17.0	1464	
"	P	2. Nov. 7a	β	621.9	0.3		1418	} 20
"	"	" 8.05	"	621.9	0.5		1368	
"	"	" 9.31	"	626.6	0.8		1398	} 20
"	"	" 11.31	"	635.3	1		1245	
Iramba, Kirondatal	P	" 12p 40	"	641.4	1		1316	} 20
Route	P	" 1.48	"	635.7	1		1195	
"	"	" 3. Nov. 7a	α, β, γ	638.8	1	17.4	659.9	} 15
"	P	" 2p	β, γ	644.0	0.5	29.5	662.0	
"	"	" 2.46	β	642.5	1.0		663.6	} 18
"	"	" 3.10	"	645.8	1		664.1	
"	B	" 3.48	"	643.5	1		667.3	} 22
"	G	" 4.00	"	655.6	1		668.5	
"	"	" 4.48	"	650.4	1		670.0	} 22
"	"	" 5.30	"	658.4	1		671.5	
Lager beim Jumben Kipapa	G	3. Nov. 9p	α, β, γ	659.9	1		669.4	} 18
Route	G	4. Nov. 7a	β, γ	662.0	0.5	25.1	674.2	
"	"	" 8.11	β	663.6	0.5	21.2	671.5	} 22
"	"	" 9.09	"	664.1	1		671.5	
"	"	" 10.32	"	667.3	1		671.5	} 18
"	"	" 12.40	"	668.5	1		671.5	
Sekenke	"	4./5. Nov. Tagesmittel	α, β, γ	669.4	0.6	25.5	1054	} 22
Wemberefluß	"	5. Nov. 8.50	β	674.2	1		1055	
Route	"	" 1.36	"	671.5	1		1055	

1906.

Ort	Charakter	Zeit		Instrument	Luftdruck	Unsicherheit	Lufttemperatur	Höhe	Fehler
					mm	± mm	Grad	m	± m
Route	G	5. Nov.	2p 09	β	671.3	1	30.2	1052	
"	"	"	2.50	"	671.2	1		1046	
Kwa Mtegasi	"	{ 6. Nov.	9p	α, β, γ	671.6	0.8	24.0	1051	22
Route	"		7a	β, γ	673.6	0.8	20.7		
"	"	"	8.52	β	672.4	1		1078	
"	"	"	9.07	"	673.4	1		1063	
"	"	"	12.00	"	672.3	1.5		1065	
Lager am Zusammenfluß von Mangu und Mashere	G	6./7. Nov. Tagesmittel		α, β, γ	669.9	0.8	25.6	1085	18
Route		G	7. Nov.	11.02	β	668.2	3		1127
"	"	"	12.39	"	666.9	3		1128	
Uduhe, Lager	P	{ 8. Nov.	9p	α, β, γ	665.2	1	25.7	1143	20
Route			"	7a	β, γ	666.7	1		
"	"	"	8a 10	β	668.4	2		1126	
"	"	"	11.53	"	661.7	2		1200	
"	"	"	12p 12	"	662.5	2		1187	25
"	"	"	1.01	"	659.5	2		1220	
"	"	"	2.35	"	655.8	2		1255	
"	"	"	3.47	"	656.5	2		1242	
Madui, Lager	"	8./9. Nov. Tagesmittel		α, β, γ	658.9	1	22.9	1229	18
Route	"	9. Nov.	8a 53	β	663.7	1.2		1186	
"	"	"	9.03	"	663.6	1.2		1187	
"	"	"	11.13	"	661.1	1.2		1211	22
"	"	"	2.05	"	657.8	1.2	32.0	1231	
"	"	"	2.50	"	657.2	1.2		1235	
Seke, Lager	P	9./10. Nov. Tagesmittel		α, β, γ	659.3	0.8	26.0	1223	18
Route		"	10. Nov.	9.05	β	661.4	1.2		1215
"	"	"	10.44	"	661.7	1.2		1204	
"	"	"	12p 56	"	656.5	1.2		1256	22
"	"	"	2.19	"	659.5	1.2		1204	
"	"	"	3.45	"	656.9	1.2		1234	
Djodjiro, Lager	P	{ 11. Nov.	9p	α, β, γ	657.9	1		1240	18
Route			"	7a	β, γ	659.1	1		
"	"	"	10a 46	β	665.4	1.5		1156	22
Misungui, Lager	P	{ 12. Nov.	9p	α, β, γ	660.9	1	21.2	1205	18
"			"	7a	β, γ	661.4	1.5		
Ukumbi	"	"	9p	α, β, γ	655.7	1	22.1	1267	
"	"	13. Nov.	6a	β, γ	656.3	1	20.0	1267	
Muansa, 5 m üb. Viktoriaspiegel	"	7. Dez.	5 ¹ / ₄ p	S	662.3	0.3		1140	2
Muhango	"	16. Dez.	9p	α, β, γ	655.3	0.5	17.8	1270	20
"	"	17. Dez.	6 ¹ / ₄ a	β, γ	655.5	0.5	17.2	1270	
Gahama	P	17.-19. Dez. Tagesmittel		α, β, γ	659.3	0.5	22.3	1220	15
Sanungu	P	19./20. Dez. Tagesmittel		"	660.7	0.5	20.8	1200	
Magu	"	20./21. Dez.	"	"	661.3	0.5	22.9	1191	
Massansa	"	21./22. Dez.	"	"	660.3	0.6	23.3	1204	20
"	"	22. Dez.	2p	"	652.5	0.6	27.3	1281	
Viehboma von Ngasamo	"	"	9p	"	655.2	0.6	19.0	1281	
1 ¹ / ₂ Stunde östl. Ngasamo	"	23. Dez.	7a	β, γ	656.4	0.8	19.3	1277	
Ngasamo	P	23.-26. Dez. Mittel		α, β, γ	657.8	0.4	22.0	1232	15
Ututwa, Lager	P	26./27. Dez. Mittel		"	652.3	0.5	22.6	1305	
Handatjiga, Lager	P	{ 27. Dez.	2p	β, γ	654.4	0.8	29.5	1258	20
"			"	9p	α, β, γ	656.6	0.6		
Mbalagetiübergang	"	28. Dez.	7a	γ	662.3	1.5	18.2	1189	
Rahu	"	"	2 ¹ / ₂ p	α, β, γ	656.9	0.5	28.0	1223	20
"	"	"	8p	"	658.8	0.8	21.0	1223	
1 Stunde östl. Rahu	"	29. Dez.	7a	γ	658.5	1.5	19.0	1238	
Hügelrücken in Buschsteppe	"	"	2p	"	648.9	2	27.5	1337	
Sassagu	"	"	9p	α, β, γ	650.0	0.5	17.0	1337	
1 Stunde östl. Sassagu	"	30. Dez.	7a	γ	650.6	1.5	17.5	1341	
"	"	"	2p	α, β, γ	645.3	0.3	27.0	1341	
Ikoma, Boma	P	{ 30. Dez.	3p 30	S	644.6	0.1	27.6	1386	10
"			"	31. Dez.	7a	α, β, γ	648.5		
"	"	"	2p	"	645.9	0.3	28.3	1386	
1907.									
Ikoma, Boma	P	{ 1. Jan.	7a	α, β, γ	648.8	0.3	17.7	1386	10
"			"	"	2p	β	644.4		
Route	"	"	2.15	"	651.0	0.8		1298	
"	"	"	4.34	"	647.1	0.8		1298	
Mangati, Lager	P	{ 2. Jan.	9p	α, β, γ	648.9	0.3	17.4	1344	12
"			"	"	6a 30	β	648.7		

1907.

Ort	Charakter	Zeit	Instrument	Luftdruck mm	Unsicherheit ± mm	Lufttemperatur Grad	Höhe m	Fehler ± m
Route	P	2. Jan. 7a 04	β	650.3	0.8	17.8	1326	17
"	"	" 9.57	"	647.2	0.8		1378	
"	"	" 10.16	"	649.0	0.8		1356	
"	"	" 11.20	"	649.1	0.8		1351	
"	"	" 12p 45	"	643.2	0.8		1422	12
Kral Ermessa	"	" Mittel	α, β, γ	641.2	0.4	19.5	1446	
Route	"	3. Jan. 8a 20	β	637.0	1		1520	20
"	"	" 9.50	"	634.8	1.5		1550	
"	"	" 10.27	"	631.1	1.5		1599	
"	"	" 1p 11	"	626.2	1.5		1650	
"	"	" 1.41	"	626.1	1.5		1643	15
Lager Mading	"	" Tagesmittel	α, β, γ	625.9	0.8	18.7	1655	
Route	"	4. Jan. 8a 26	β	621.7	1.5		1730	22
"	"	" 9.14	"	620.6	1.5		1747	
"	"	" 10.10	"	619.1	1.5		1767	
"	"	" 10.32	"	618.9	1.5		1770	
"	"	" 12p 20	"	612.8	1.5		1846	12
Lager beim Kral des Lambalalla	P	4./5. Jan. Mittel	α, β, γ	610.2	1.5	19.3	1879	
Route	P	5. Jan. 7a 25	β	611.6	0.5		1848	20
"	"	" 8.18	"	609.1	1		1896	
"	"	" 8.48	"	617.0	1		1790	
"	"	" 10.13	"	617.5	1		1784	
"	"	" 11.41	"	615.1	1		1816	15
"	"	" 11.41	"	619.0	1		1756	
"	"	" 12.02	"	618.0	1		1760	15
Wanderobbakral Galuluki	"	5./6. Jan. Mittel	α, β, γ	622.7	0.8	20.7	1696	
Route	"	6. Jan. 8a 26	β	618.3	1		1774	15
"	"	" 9.07	"	615.0	1		1822	
"	"	" 10.03	"	617.7	1.5		1783	
"	"	" 2.05	"	612.2	1.5	23.5	1830	
Lager am NO-Rand der Serengeti	G	" 4p	"	607.4	1.5		1887	20
Route	"	7. Jan. 9p	"	608.6	1.5	17.0	1887	
"	"	" 6 ¹ / ₂ a	"	609.2	1.5	16.2	1992	20
Lager am N-Fuß des Lamuniane (Quelle)	G	" 9a	"	603.1	1.5		1992	
"	"	" 10.07	"	597.9	1.5		2067	16.0
"	"	7. Jan. 9p	"	596.3	1.5	16.0	2067	
"	"	8. Jan. 7a	"	597.0	1.5	14.5	2067	25
Lamuniane α	B	7. Jan. 12p 52	"	576.0	2		2353	
Lamuniane β	"	" 5p	"	572.2	2		2392	20
Route	"	8. Jan. 8a 10	"	595.7	1.5		2080	
"	"	" 8.44	"	603.6	2		1966	25
"	"	" 9.33	"	609.1	2		1889	
"	"	" 10.12	"	605.5	2		1940	
"	"	" 11.04	"	592.2	2		2124	
"	"	" 11.15	"	596.0	2		2070	25
"	"	" 11.39	"	589.8	2		2157	
Peilpunkt bei Nd 16	"	" 5 ¹ / ₄ p	"	577.2	2		2316	15.5
Lager im oberen Arraschtal	"	" 9p	"	591.7	2	15.5	2125	
Route	"	9. Jan. 7a	"	591.5	2	13	2125	50
"	"	" 7.53	"	584.3	2		2237	
"	"	" 9.29	"	615.2	4		1806	
"	"	" 10.49	"	609.2	4		1888	
"	"	" 11.03	"	616.5	4		1786	12
"	"	" 12.00	"	618.0	4		1763	
"	"	" 1p 46	"	638.6	4		1480	1200
Ordebbachübergang (Malambo)	G	" 2.53	"	654.6	4		1200	
Route	"	10. Jan. 7.15	"	659.7	2		1210	25
Ordebbelager	"	9. Jan. 9p	α, β	656.0	2	23.0	1210	
Route	"	10. Jan. 11a 30	β	657.3	2		1246	12
Lager am Sanjangbach	G	10./11. Jan. Mittel	S, α, β, γ	654.3	0.4	22.2	1274	
Route	G	11. Jan. 8a 04	β	656.2	0.8		1266	20
Lolgarienschlucht, höchstes vulk. Gestein	"	" 12p 15	"	643.6	0.8		1418	
Lolgarien, Peilpunkt	"	" 2p	"	644.2	0.8		1393	15
Lolgarien, Lager	"	" 9p	α, β, γ	647.6	0.4	20.3	1358	
Route	"	12. Jan. 7a	β, γ	648.9	0.5	19.4	1358	20
"	"	" 9a	β	642.6	0.8		1449	
"	"	" 9.24	"	637.8	0.8		1513	
"	"	" 9.33	"	641.6	0.8		1461	
"	"	" 11.11	"	641.3	0.8		1460	15
Paß südl. Sonjobergland	"	" 10.24	"	638.7	0.8		1499	
Route	"	" 2p	"	638.8	0.8		1465	

1907.

Ort	Charakter	Zeit	Instrument	Luftdruck mm	Unsicherheit ± mm	Lufttemperatur Grad	Höhe m	Fehler ± m
Route	G	12. Jan. 2.15	β	646.2	0.8		1364	} 20
"	"	" 2.32	"	646.2	0.8		1361	
"	"	" 3.05	"	645.5	0.8		1366	
"	"	" 3.37	"	641.5	0.8		1416	
Balbal, erstes Lager	"	" 9p	α, β, γ	648.8	0.4	17.6	} 1337	} 15
	"	13. Jan. 7a	β, γ	650.4	0.5	17.7		
Balbal, zweites Lager	G	13. Jan. 9p 20	S	649.6	0.3	21.0	} 1328	} 10
	"	14. Jan. 7a	β, γ	651.0	0.4	16.2		
Peilpunkt Balbal	G	" 7.50	β	654.1	0.5		} 1292	} 10
	"	" 10.11	"	653.7	1			
Route	B	" 11.32	"	636.2	1		} 1516	} 20
"	"	" 12.59	"	617.7	1			
Peilpunkt	"	" 4.10	"	602.3	1		} 1763	} 20
	"	" 4.47	"	593.5	1			
Lager beim Ngorongorokraterand	"	14./15. Jan. Mittel	β, γ	596.6	0.8	15.6	} 2057	} 20
Ng I	"	15. Jan. 1p 20	β	583.5	1			
Route	G	" 3.07	"	614.0	1.5		} 1795	} 5
Ngorongoro, Hauptlager bei Siedentopf	G	Januar, Monatsmittel	S, α, β, γ	616.7	0.2	17.9		
Ngorongoro $\frac{3}{4}$ m üb. Seespiegel	"	17. Jan. 5 $\frac{1}{2}$ p	S	620.1	0.1	21.7	} 1722	} 10
Ngorongoro, Seeufer	G	19. Jan. 7a 45	β	621.9	0.4			
" Sumpf zwischen Viehkral und Keleruane	"	22. Jan. 4p 20	"	617.7	0.4		} 1722	} 10
" Olgeleruani, Vorberg	"	19. Jan. 9a	"	621.3	0.5			
" Olgeleruani, Gipfel	B	" 10a 50	"	579.6	1.5		} 2280	} 25
" "	"	" 11.52	"	568.7	0.4			
" Olgeleruani, Gipfel	B	" 2p	"	567.5	0.4		} 2460	} 15
" Olgeleruani, Vorberg	B	19. Jan. 4p 15	S	566.6	0.1	16.0		
" Viehboma	G	" 5 $\frac{1}{4}$ p	β	580.3	1.5		} 2280	} 25
	"	22. Jan. 9 $\frac{1}{2}$ p	β, γ	618.6	0.8	16.5		
Route Ol Tiribe	B	" 9.29	β	618.2	1	15.6	} 1747	} 12
Ol Deani, 5 m unter höchstem Gipfel d	"	23.—25. Jan. Mittel	β, γ	581.5	2			
Ol Deani d	B	" 23.—25. Jan. Mittel	β, γ	559.7	1	13.1	} 2560	} 18
Route, Wasserscheide zwischen Ngorongoro und Njarasa	"	24. Jan. 11a	S	521.4	0.1	12.8		
Route	"	" 2p	β, γ	520.5	0.5	9.5	} 3188	} 10
"	"	25. Jan. 8 $\frac{3}{4}$ a	β	563.7	1.5			
"	"	" 10.12	"	580.6	1.5		} 2288	} 30
"	"	" 11.29	"	578.1	2			
Lager am SW-Fuß des Lemagrut	"	" 12.00	"	581.6	2		} 2269	} 25
Paß zwischen δ und α Gipfel (etwa 40 m unter δ)	"	" 9p	β, γ	577.5	1.5	13.2		
Lemagrut α	B	26. Jan. 12.00	S	524.1	0.1	12.0	} 3132	} 12
Ol Tiribe	B	27./28. Jan. Mittel	β	560.8	1	10.6		
Route	"	28. Jan. 9.17	"	589.8			} 2143	} 18
Höhe des Plateaus NW des Njarasagrabenrands, tiefere Terrasse	"	" 11a	"	633.6	3			
Lager I am W-Fuß des Deani	"	" 9p	β, γ	661.2	1.5	18.7	} 1160	} 30
Gneis anstehend bei Ei ₂₉	"	29. Jan. 7a	"	660.8	1.5	18.0		
Ei ₂₉	G	" 1p	β	664.0	3		} 1116	} 25
Lager V am Njarasasee	"	" 12.08	"	652.4	2			
Njarasaseespiegel	G	30. Jan.—1. Febr. Mittel	β, γ	670.0	1.5	24.9	} 1042	} 20
Ei ₉ +	"	1. Febr. 12.00	S	671.3	0.2	27.5		
Lager bei Ei ₉	B	30. Jan. 3p	β	605.3	1		} 1920	} 20
ψ Ei ₉	"	" 5p 20	"	605.3	1			
Geologisches Profil beim Abstieg vom Njarasagrabenrand	"	" 8p	"	611.1	1	17.0	} 1853	} 20
	"	31. Jan. 7a	"	609.8	1	13.0		
	B	31. Jan. 9 $\frac{1}{4}$ a	"	604.3	1		} 1940	} 25
	"	" 1 $\frac{1}{2}$ p	"	610.1	1			
	"	"	"	618.0	2		} 1743	} 25
	"	"	"	626.4	2			
	"	"	"	632.8	2		} 1539	} 25
	"	"	"	636.5	2			
	"	"	"	649.2	2		} 1484	} 25
	"	"	"	656.5	2			
Lager am großen Regenbach	G	" 4p	"	667.5	2		} 1217	} 25
Schluchtecke im Njarasagrabenrand	"	" 8p	"	669.0	1.5	23.0		
Lager II am W-Fuß des Deani	"	2. Febr. 1 $\frac{1}{2}$ p	"	650.6	1.5		} 1059	} 20
Ol Tiribe	B	" 9p	"	652.5	1.5	21.0		
	B	3./4. Febr. Mittel	β, γ	560.6	1.0	12.7	} 1293	} 18
	"							

1907.

Ort	Charakter	Zeit		Instrument	Luftdruck	Unsicherheit	Lufttemperatur	Höhe	Fehler
					mm	± mm	Grad	m	± m
Wasserscheide Ngorongoro—Njarasa	} B	4. Febr.	7a 30	β	566.5			2505	30
Malanjagipfel Ei ₁₆		"	"	9 ¹ / ₂ a	"	542.8			2864
Ngorongoro, Hauptlager bei Siedentopf	} G	4.—10. Febr.	Mittel	α, β, γ, S	616.5	0.2	17.5	1779	5
Route		B	10. Febr.	11a 55	β	575.5	1.5		2375
Lager am O-Hang des Olmoti	"	"	2p	β, γ	569.5	1.5	20.0	2449	} 20
Olmoti, Gipfel a	B	{ 11. Febr.	9 ¹ / ₂ a	S	558.7	I		2620	
Lager, O-Hang des Olmoti	"		2p	β, γ	528.9	0.2	13.8		} 15
Lemungeübergang	B	"	8p	"	526.7	I	12.5	2620	
Route	"	12. Febr.	8a 17	β	556.7	2	12.2	2401	} 20
" Embulbul	"	"	9.53	"	573.0	3		2604	
" (Paß)	"	"	10.58	"	559.5	3		2439	} 20
Lager an dem Ossirwasee	"	"	11.30	"	570.4	3		2300	
Paß (wie gestern)	"	"	3p 49	"	580.0	3		3150	} 20
Paßhügel beim Paß zwischen Elaneirobi und Loolmalassin (40 m über Paßhöhe)	"	13. Febr.	6a 30	"	522.6	3		3100	
	"	"	7.15	"	526.5	3		3150	} 20
	"	"	2p 15	"	523.3	3		2775	
Lager am O-Hang des Elaneirobi	"	{ 14. Febr.	9p	β, γ	546.5	3			} 25
	"		7a	"	"	554.7	I	10.0	
	"	"	2p	"	553.8	I	11.3	} 2680	
	"	"	8p	"	552.7	I	19.8		} 2680
	"	15. Febr.	7 ¹ / ₄ a	"	553.2	I	11.6	} 2680	
	"	13.—15. Febr.	Mittel	"	553.8	I	10.5		} 2680
Elaneirobi g	"	15. Febr.	11 ¹ / ₂ a	β	553.5	I	13.7	} 3060	
Elaneirobi, Paß westl. g	"	"	11.40	"	527.5	1.5			2960
" t	"	"	12p 21	"	533.9	2		3030	} 40
" Paß östl. s	"	"	12.34	"	528.6	2		3030	
" s = f	"	"	1p	"	528.0	2		3100	} 40
Kraterartige Vertiefung zwischen e, d, r	"	"	1.53	"	522.9	2		3020	
Elaneirobi, Paß südlich von n	"	"	4.30	"	528.0	2	11.5	3100	} 30
Elaneirobi, höchster Gipfel	B	15. Febr.	6p	S	522.6	2		3200	
Elaneirobi, Lager auf d. Kraterand	B	"	9p	β, γ	518.7	0.1	6.5	3100	} 50
Elaneirobi, Atrium	"	16. Febr.	7.10	β	522.9	I	6.2	2970	
" Jaergergipfel	"	"	8a	"	531.8	I	etwa 9	3180	} 12
Elaneirobi, ³ / ₄ m über Spiegel des großen Kratersees	B	"	2 ¹ / ₄ p	"	518.7	1.5		2200	
	"	16. Febr.	1p 40	S	516.4	I		2200	} 12
Lager am O-Hang des Elaneirobi	B	{ 17. Febr.	8a	β, γ	585.5	0.1	22.2		
	"	"	2p	"	553.8	< I	12.6		} 2680
	"	"	9p	"	552.8	< I	16.8		
	"	18. Febr.	7a	"	554.0	< I	10.0		} 25
Lager am NW-Hang des Loolmalassin	"	17./18. Febr.	Mittel	"	553.5	< I	9.5		
Westlicher niedrigster Vorgipfel des Loolmalassin	"	18. Febr.	9p	"	553.4	< I	12.3		} 3050
Loolmalassin, 6 m unter Hettnergipfel (α)	B	19. Febr.	6a	β	532.4	0.5	7.3		
Loolmalassin β	B	"	7a	β, γ	532.0	< I			} 3050
Lager	"	"	7a	β, γ	515.0	1.5	10.3	3310	
β	"	19. Febr.	10 ³ / ₄ a	S	494.5	0.1	13.8	3642	} 15
Paß zwischen Ossirwa u. Loolmalassin	B	"	2p	β, γ	494.5	0.5	9.3	3622	
Ossirwa, Lager am See	"	{ 20. Febr.	9p	"	530.3	I	8.0		} 3050
Ossirwa, Oberer See	"	"	7a	"	530.8	I	4.6		
Ossirwa, Zentralgipfel	"	19. Febr.	3 ¹ / ₂ p	β	494.1	0.5		3622	} 15
Ossirwa, Atrium, Paßhöhe	"	20. Febr.	2p 20	"	494.3	I		3158	
Ossirwa, 6 m unter höchstem Gipfel des westl. Grats	B	"	3 ¹ / ₂ p	"	522.5	3		3158	} 35
Ossirwa, Lager in der Waldschlucht	B	{ 21. Febr.	3p	"	526.1	I	12.2		
	"	"	9p	β, γ	527.0	I	7.8	3100	} 10
	"	"	6a	β	527.0	I		3115	
	"	"	7 ¹ / ₂ a	γ	526.5	1.5	9.7	3297	} 15
	"	"	10a 15	β	515.3	I		3180	
	"	"	10 ³ / ₄	"	522.4	I		3180	} 15
	B	21. Febr.	1 ¹ / ₄ p	S	515.1	0.1	12.8	3284	
	"	"	9p	β, γ	543.5	0.5	10.8		} 15
	"	22. Febr.	2p	"	542.6	0.5	17.0	2845	
	"	"	9p	"	544.0	0.5	10.0		} 15
	"	23. Febr.	7a	"	543.5	0.5	5.2		
	"	21./23. Febr.	Mittel	"	543.3	0.5	10.9		} 15

1907.

Ort	Charakter	Zeit	Instrument	Luftdruck	Unsicherheit	Lufttemperatur	Höhe	Fehler		
				mm	± mm	Grad			m	± m
Elaneirobi f = s	B	23. Febr.	4 ¹ / ₂ p	β	523.0	1.5		3100		
		"	9p	β, γ	575.0	< 1	13.2			
Lager im Elaneirobikrater	"	24. Febr.	7a	"	575.3	< 1	13.5	2360	15	
		"	9p	"	576.2	< 1	14.0			
		25. Febr.	8a	"	576.2	< 1	12.7			
		"	2p	γ	574.1	< 1	18.0			
		"	8p	β, γ	575.5	< 1	11.9			
		26. Febr.	7a	"	576.2	< 1	11.7			
		23.—26. Febr.	Mittel	"	575.2	< 1	14.5			
Auf dem Lavastrom im Elaneirobikrater	"	24. Febr.	7 ³ / ₄ a	β	577.7	1		2334	20	
Kleiner Salzsee im Elaneirobikrater	"	"	11 a 10	"	587.5	1		2204		
Süßwassersee im Elaneirobikrater	"	"	1p 35	"	585.9	1		2204	13	
Terrasse, SW-Wand im Elaneirobikrater	"	"	2p	γ	585.1	1	23.7			
Embulbul, Engarukaweg	"	26. Febr.	8 ¹ / ₂ a	β	553.7	2		2700		
Lager am Engarukaweg, Lemunge-übergang	"	"	2p 40	"	579.2	2		2300		
	"	27. Febr.	9p	β, γ	577.1	2	12.0	2348	25	
"			7a	"	577.0	2	13.1			
"			2p	α, β, γ	615.5	0.5	23.2			
"			9p	"	617.2	0.5	18.7			
28. Febr.			8a	"	618.0	0.5	17.0			
"			2p	"	615.7	0.5	27.2			
	"	9p	"	616.7	0.5	16.7				
Ngorongoro, Hauptlager bei Siedentopf	G	1. März	7a	"	617.2	0.5	13.0	1779	5	
"		"	2 ¹ / ₄ p	"	615.0	0.5	21.9			
"		"	9p	"	616.1	0.5	16.0			
2. März		7a	"	617.2	0.5	15.4				
"		3p	"	615.3	0.5	20.3				
"		9p	"	616.1	0.5	14.6				
	"	3. März	7a	β, γ	617.3	0.5	14.8			
	"	Ende Febr., Anf. März	Mittel	α, β, γ	616.3	0.5	18.4			
Ngorongorosee	"	3. März	9a 40	β	620.9	1		1722	10	
Ngorongoro, Terrasse beim Mossaikral	"	"	11.20	"	618.7	1		1747	12	
Ol Tiribe, Lager	B	"	8p	β, γ	561.5	0.8	11.5	2560	18	
	B	4. März	5a 50	β	561.5	0.8				
	B	4. März	9p	β, γ	561.5	0.8	10.8			
Malanjagipfel E ₁₆	B	5. März	7a	"	561.9	0.8	13.3	2864	20	
Lager am Knie des Olgedju Olbosare	"	4. März	11 ¹ / ₂ a	β	542.0	< 1.2	26.0			
	"	5. März	2p	α, β, γ	644.4	1.2	22.0	1307	25	
	"	6. März	8p	β, γ	646.5	1.2	17.9			
Olgedju Olbosare Gesteinsgrenze am S-Fuß des Deani	"	5. März	7a	β, γ	649.0	1.5	22.0			
	"	5. März	Mittel	α, β, γ	646.6	1.3				
	G	6. März	3p 30	β	666.0	1.5				
	G	7. März	9p	α, β, γ	669.5	0.8	19.0	1060		
			8a	α, γ	669.7	1	23.0			
			8a	α, β, γ	670.0	0.8	22.8			
Lager am Matetebach			"	3p	"	666.4	0.8			30.5
"			9p	"	668.9	0.8	22.0			
"			7a	β, γ	670.3	0.8	20.5			
Matetebachübergang	G	8. März	Mittel	α, β, γ	668.5	0.5	23.8			
	"	7. März	6 ¹ / ₄ a	β	670.5	1.2		1057		
Gipfel E ₁₁	"	"	1 ¹ / ₂ p	"	651.1	3		1270	30	
Route, Talmulde	"	"	4p	"	650.9	3				
"	B	9. März	2p	γ	655.8	3	28.7	1225		
"	"	"	3p 20	"	643.0	< 1.5		1400		
"	"	"	4.24	"	639.4	< 1.5		1450		
"	"	"	5.16	"	628.0	< 1.5		1605		
Lager östl. Kiderogebirge	"	"	9p	α, β, γ	635.2	0.6	14.6	1530		
Route, Trockenbett	"	10. März	6a 45	β	636.5	1	17.0	1514		
"	"	"	9a 05	"	636.1	< 1.5		1531		
"	"	"	4p 20	"	607.0	1.5		1905	25	
Lager Ngatta Lugsoja	"	"	9p	β, γ	625.6	1	17.2	1675	15	
Route	"	11. März	7a	β	625.8	1	17.0			
"	"	"	7.20	β	624.5	1.5		1690		
"	"	"	8.36	"	618.4	1.5		1775	20	
Route, Standpunkt d. Croquis	"	"	10.15	"	601.5	1.5		2005		
"	"	"	J I	"	601.7	1.5		1988	10	
Route, Bachübergang	P	"	4p 35	"	621.7	1.5		1692	20	

1907.

Ort	Charakter	Zeit	Instrument	Luftdruck mm	Unsicherheit ± mm	Lufttemperatur Grad	Höhe m	Fehler ± m		
Lager bei Finda	P	11. März	2p	α, γ	617.2	1	25.1	1760	12	
		"	5p	β	617.0	1				
		"	8p	α, β, γ	618.3	1	16.4			
		12. März	7 $\frac{1}{2}$ a	β, γ	618.5	1.2	16.0			
Iraku, Lager bei der Boma	P	11. März	Mittel	α, β, γ	618.0	1	19.0	1765	5	
		April	Mittel	α, β, γ, S	617.8	0.2	19.5			
Route	P	12. März	7.52	β	617.6	0.2	19.5	1700	20	
"	"	"	8.47	"	623.0	1.5	1700			
"	"	"	9.14	"	613.4	1.5	1840			
"	"	16. März	4.03	"	619.7	1.5	1754			
Lager unweit Maraberg	"	"	"	"	605.6	1.5	1913	1828	10	
Maraberg, Gipfel	B	17. März	5a 35	"	613.2	1.5	1828			
Lager unweit Maraberg	P	18. März	4p	"	587.8	2	2168	1828	10	
Bassota Merka	"	"	7a 35	"	613.4	2	1828			
Bei Malimu, Tembe	"	"	9.30	"	608.5	2	1912	10		
Bassota Merka, 2 m über Spiegel	"	"	11a 00	"	603.8	2	1972	15		
Guaberg, Gipfel	P	18. März	7p 30	S	605.9	0.2	14.0	1914	10	
		"	7a 30	β	607.2	0.8				
J ₆	B	20. März	2p	"	587.4	1		2185	5	
		"	4p 45	"	587.2	1				
Lager bei Mama Isara (9 m höher als im vorigen September)	"	22. März	2 $\frac{1}{4}$ p	"	598.1	1		2018	15	
		"	4p	"	597.8	1				
		"	8p	"	611.3	1	16.9			
		23. März	7a	"	612.2	1	13.9			
Nambistübergang	"	"	8p	"	610.9	1	14.0	1843	10	
		24. März	7a	"	612.4	1	13.7			
Kuppe nahe Grabenrand (JII)	"	23. März	8.27	"	617.2	1	1776	1859	20	
Quarzkuppe	"	"	4p	"	600.4	1	1982			
Rücken	"	"	6p	"	609.4	1	1859			
Märmugipfel	"	24. März	8a	"	609.4	1	1882			
Aussichtslager in Kainam	"	"	1 $\frac{3}{4}$ p	"	605.5	1	1922	1864	15	
Route	"	25. März	8p	"	609.5	1	18.0			
Gipfel J ₃	"	"	7a	"	610.6	1	15.3	1774	20	
		"	8.21	"	617.2	1				
Lager am Hang von J ₃	"	"	2p	"	606.6	1.5	22.5	1898	20	
		"	6p	"	606.9	1.5				
Mtungurifluß, Übergang der Straße	"	26. März	8p	"	623.7	1.5	19.0	1667	10	
		"	7a	"	624.7	1.5	16.6			
Bergknoten nahe dem Mtunguri	"	"	8a	"	636.5	1.5	1515	1756	20	
Flache Kuppe	"	"	12.00	"	618.1	1	1756			
Rücken beim Paß des Jehandu	"	"	2 $\frac{3}{4}$ p	"	614.2	1	1790	1832	15	
Paß des Jehandu	"	"	6p	"	611.1	1	1832			
Berg b in Iraku	"	27. März	8p	"	616.6	1	17.7	1764	15	
		"	7a	"	617.5	1	15.4			
Sagassagbach (Route)	"	"	12.00	"	609.7	1	1872	1711	20	
Endadehut	"	"	8a	"	609.7	1	1681			
Route, Straße	"	"	4 $\frac{1}{2}$ p	"	623.7	1	1711			
Gipfel JI	"	12. März	10a 35	"	619.7	1	1789			
Lager Ngatta Lugsoja	"	10. April	2p	"	616.2	1.5	22.0	1988	10	
		"	9p	"	600.6	1.2				
Lager am Soidobussi(?)bach	"	11. April	7a	α, β, γ	623.0	0.5	17.8	1675	15	
		Route	"	7a	β	623.6	0.5			16.8
		"	"	8.59	"	620.9	1			1712
		"	"	10.00	"	627.2	1			1641
Route, Bachübergang	"	11./12. April	Mittel	α, β, γ	635.6	1	1527	1496	15	
		12. April	6a 52	β	637.0	0.6	21.7			
Lager am SSW-Fuß des Dönjo Dili	B	"	7a	α, β, γ	637.8	1	1492	1465	20	
		Route	"	8.17	"	640.0	1			1465
		"	"	8.48	"	640.1	1			1466
		"	"	9.27	"	647.0	1			1375
Route	"	"	10.03	"	644.6	1	1408	1372	15	
		"	11.17	"	647.0	1	1372			
Route	B	12./14. April	7a	α, β, γ	643.3	0.5	17.9	1426	15	
		"	8p	"	641.5	0.5	20.0			
Gipfel des Dönjo Dili	B	12. April	12.20	β	645.0	1	1392	1714	15	
		"	4p	"	619.3	1				
Route	"	13. April	2p	"	620.2	1		1540	20	
		"	6p	"	620.7	1				
Sumpf	"	"	4 $\frac{3}{4}$ p	"	620.0	1	1491	1460	15	
14. April	11a 14	"	12p 50	"	634.5	1.5	1540			
Lager am Dulelbach	"	"	4p 35	"	637.6	1.5	1491	1460	15	
		15. April	7a	"	638.3	1.5	15.8			

1907.

Ort	Charakter	Zeit	Instrument	Luftdruck mm	Unsicherheit ± mm	Lufttemperatur Grad	Höhe m	Fehler ± m
Dulelbach	B	14. April 5 p	β	640.2	1.5		1435	20
Ngorongorokraterand	"	15. April 3 ¹ / ₄ p	"	585.8	2		2216	25
Ngorongoroseeufer	G	16. April 7 a 40	"	623.3	< 1		1722	10
Ngorongoro, Hauptlager bei Siedentopf	"	17./22. April Mittel	a, β, γ	616.8	0.6	18.9	1779	5
Ngorongoro, beim Massaikral	"	19. April 6 ¹ / ₄ a	"	618.6	0.6		1747	12
Ngorongoro, Gipfel des Olgeleruani (Ng II)	B	" 11 ¹ / ₂ a	β	567.9	0.8		2460	15
Lager am westlichen Außenhang von Ngorongoro	"	" 2 p	"	566.9	0.8	15.0		
Route	G	24. April 6 ¹ / ₂ a	"	641.2	1.2	16.7	1448	18
Balbalebene	"	" 7.20	"	649.2	1.5		1353	
Lager Duwaischlucht	"	" 8a	"	654.2	1.5		1293	12
Duwaischlucht, 1. Terrasse über der Schlucht	"	" 9a	"	653.3	1.5		1300	
Duwaischlucht, Fuß des 2. Anstiegs	P	" 10 a 40	"	649.4	1.5		1354	
Duwaischlucht, obere Hochfläche	"	" 11.21	"	648.3	1.5		1366	
Duwaischlucht, Lavaterrasse	"	" 12 p 15	"	641.7	1.5		1448	18
Duwaischlucht, Bachbett	"	" 12.40	"	641.2	1.5			
Duwaischlucht, untere Lavaterrasse	"	" 1 ¹ / ₄	"	645.8	1.5		1385	
Balbal, Lager am Ausgang der Duwaischlucht	"	" 1.40	"	647.7	1.5		1353	
Route	"	" 3.10	"	647.3	1.5		1352	
Route	G	24. April 9 p	a, β, γ	652.7	1	19.0	1300	12
"	"	25. April 7a	β	653.8	1	17.5		
"	G	" 8.13	"	655.2	1.2		1281	
"	B	" 9.33	"	645.3	1.2		1410	18
"	"	" 10.09	"	636.5	1.2		1528	
"	"	" 12.20	"	623.2	1.2		1698	
Lager am WNW-Fuß des Lemagrut	B	25./26. April Mittel	a, β, γ	622.8	0.6	16.9	1700	15
Route	B	26. April 12.00	β	611.4	1		1863	
Lager am Vogelfluß	P	" 8 p	a, β, γ	622.5	0.6	15.3	1710	18
Route	"	27. April 7a	β	622.4	1	15.1		
Route, mitten auf der Serengeti	"	" 11.37	"	625.2	1.2		1677	20
Lager am W-Rand der Serengeti	"	" 2 p	"	623.3	1	20.2	1680	
Route	"	" 9 p 45	a, β, γ	628.8	0.6	15.2	1622	18
"	"	28. April 7a	β	629.3	0.8	15.2		
"	"	" 12.01	"	638.2	1		1499	
"	"	" 1.47	"	640.0			1464	
Lager im Pori von Meatu	"	" 9 p	"	643.2	1.2	18.0	1440	22
Route	"	29. April 7a	"	644.3	1.2	17.1		
"	"	" 9.34	"	649.9	1.5		1376	
"	"	" 10.25	"	653.4	1.5		1329	
"	"	" 12.45	"	651.8	1.5		1337	
"	"	" 1.43	"	646.2	1.5		1398	
"	"	" 2.17	"	650.2	1.5		1342	
Lager beim Ikuru von Meatu	"	30. April 7a	"	650.2	1.5	17.8	1367	
Kunabach	"	" 10.55	"	655.2	1.5		1303	
Semubachübergang	"	" 12.00	"	658.4			1261	
Lagerplatz in Klein Meatu, bei Sultan Manamira	"	1. Mai 7a	"	654.1			1320	
Route	"	" 10a	"	661.2			1233	30
"	"	" 12 p 13	"	662.2			1205	
"	"	" 12.50	"	660.0			1228	
Lager im Busch vor Muagalla	"	" 3 ¹ / ₄ p	"	657.4			1297	
Route	"	2. Mai 6 a 45	"	661.2				
"	"	" 8.20	"	659.7			1312	
"	"	" 8.30	"	661.3			1291	
Lager im Ikuru von Muagalla	"	3. Mai 6 a 45	"	655.8			1360	
Rastplatz Ngungu	"	" 12 p 40	"	652.0			1393	
Lager zwischen Ngungu und Sengerema	"	" 3 ¹ / ₂ p	"	650.6			1395	

Die Unsicherheit dürfte höchstens 2.5 mm betragen, doch ist das nicht gewiß, weil keine Kontrolle mehr folgt

Tabelle IV.

Berechnung der Haupthöhen.

1	Ort	Ngorongoro, Hauptlager bei Siedentopf		Loolmalassin, 6 m unter Hettnergipfel			
		Zeit 1907	4.—10. Febr.	Mittel	19. Febr.	10a 45	
2							
3	φ u		-3°	$+1^{\circ}$	-3°	-1°	
4	bSt		616.5		494.5		
5	bDes bMn		759.0 $\begin{smallmatrix} -1.9 \\ +0.7 \end{smallmatrix}$	757.8	759.9 $\begin{smallmatrix} -1.9 \\ +0.7 \end{smallmatrix}$	758.7	
6	bTab		658.6—1.8	656.8	659.0—1.8	657.2	
7	bNw		660.3—1.9	658.4	660.6—1.9	658.7	
8	$(\beta-b)^d_{Mn}$		—		+0.4		
9	$(\beta-b)^j_{Mn}$ f. St.		—0.4		—0.4		
10	$(\beta-b)^j_{Mn}$ f. Tab.		—0.6		—0.6		
11	$(\beta-b)^j_{Mn}$ f. Nw.		—0.4		—0.4		
12	0.87 () f. Tab.		+0.2		+0.2		
13	0.87 () f. Nw.		0.0		0.0		
14	tSt			17.5		13.8	
15	tDes tMn		27.1—0.9	26.2	27.1—0.9	26.2	
16	tTab			22.6		26.9	
17	tNw			22.5		27.9	
18	$(\vartheta-t)^d$		—		—3.1		
19	$(\vartheta-t)^j_{Mn}$		—0.4		—1.0		
20	$(\vartheta-t)^j$ f. Tab.		+0.3		0.0		
21	$(\vartheta-t)^j$ f. Nw.		—0.2		—0.6		
22	ϑ_{Mn}		21.8—0.4	21.4	20.0—4.1	15.9	
23	ϑ_{Tab}		20.0+0.3	20.3	20.3—3.1	17.2	
24	ϑ_{Nw}		20.0—0.2	19.8	20.8—3.7	17.1	
25	bSt			616.5		494.5	
26	β_{Mn}			757.4		758.7	
27	β_{Tab}			657.0		657.4	
28	β_{Nw}			658.4		658.7	
29	$\vartheta \left(\vartheta_{Mn} \begin{smallmatrix} bSt \\ \beta_{Mn} \end{smallmatrix} \right)$	1831	1833	1838	3660	3672	3673
30		52.3	52	52.5	36.7	37	36.8
31	$\vartheta \left(\vartheta_{Tab} \begin{smallmatrix} bSt \\ \beta_{Tab} \end{smallmatrix} \right)$	1825	1827	1831	3686	3689	3699
32		1276.0	1277	1280.4	1257.8	1259	1262.1
33	$\vartheta \left(\vartheta_{Nw} \begin{smallmatrix} bSt \\ \beta_{Nw} \end{smallmatrix} \right)$	1819	1824	1825	3686	3687	3699
34		1253.4	1257	1257.7	1240.9	1241	1245.2
35	ϑ_{Mn}^{St}			+1781		+3635	
36	VJord Q _{Mn} St HDes	+14.2	—24.1	+7.6	+29.9	—34.5	+7.7
37	ϑ_{Tab}^{St}			+550		+2430	
38	VJord Q _{Tab} St HTab	+4.4	—12.1	+1238	+19.4	—44.6	+1238
39	ϑ_{Nw}^{St}			+567		+2446	
40	VJord Q _{Nw} St HNw	+4.5	—10.2	+1216	+19.6	—36.3	+1216
41	HMn			1779		3637	
42	HTab			1780		3643	
43	HNw			1777		3645	
44	H			1779		3642	

Berechnung der Zwischenhöhen.

1	2	3	4	5	6	7	8	9	10	11	12	13	14	15	16	17	18	19
Charakter u. Korr. auf Tagesmittel	Tagesmittel des Luftdrucks	Rohe Höhe (h)	td	$\frac{h}{100}$	+ A	Tagesmittel der Temp.	Stufenmittel T	h_n	h_{n-1}	$h_n - h_{n-1}$	Q_n	$Q_n - Q_{n-1}$	Stufe	Stufensumme	Höhe, unausgeglichen	Erster Ausgleich	Endgültige Höhe	Bemerkungen
G +1.5	636.1	1448	23.4	-7.2	+4.0	20.2	20	1549.0	1658	-109	-21.2	+3	-106		1529		1528	6m niedriger als Lager
„ -0.2	635.0	1462	23.4	-7.3	+4.0	20.1	20	1569.2	1554.3	+15	-21.4	0	+15		1544		1534	
„ -0.8	635.0	1462	23.4	-7.3	+4.0	20.1	20	1569.2	1569.2	0	-21.4	0	0		1544	1534	1534	Früher 2. Beob. Mittel 1577, jedoch Höhe rel. Blandalsee wahren!
„ -0.8	636.3	1445	23.4	-7.2	+4.0	20.2	20	1551.6	1569.2	-18	-21.2	0	-18		1526			
„ -	635.7	1453	23.4	-7.3	+4.0	20.1	20	1559.7	1551.6	+8	-21.3	0	+8	-1836	1534	1569	1570	Früher 2. Beob. Mittel 1577, jedoch Höhe rel. Blandalsee wahren!
„ -0.8	632.4	1494	23.4	-7.5	+4.0	19.9	20	1604.5	1559.7	+45	-22.3	-1	+44		1578			
„ -0.8	633.8	1477	23.4	-7.4	+3.8	19.8	18	1585.5	1604.5	-19	-21.7	+1	-18		1560		1570	Früher 2. Beob. Mittel 1577, jedoch Höhe rel. Blandalsee wahren!
B -1.1	596.1	1969	23.4	-10.8	+3.0	15.6	16	2100	1575	+525	-28.7	-7	+518		2084	2090	2099	
„ -1.2	597.6	1948	23.4	-10.5	+3.0	15.9	16	2064	2085	-21	-28.4	0	-21		2063	2068	2074	Früher 2. Beob. Mittel 1577, jedoch Höhe rel. Blandalsee wahren!
„ -1.0	590.0	2051	23.4	-11.5	+3.0	14.9	15	2172	2064	+108	-29.8	-1	+107		2171	2173	2178	
„ -0.8	591.2	2035	23.4	-11.2	+3.0	15.2	15	2147	2165	-18	-28.1	+2	-16		2155		2160	Die ganze Reihe wegen obiger Mittel etwas erhöht
„ -0.6	590.6	2042	23.4	-11.4	+3.0	15.0	16	2157	2147	+10	-28.3	0	+10		2165		2170	
P +0.5	596.7	1960	23.4	-9.8	+3.8	17.4	18	2077	2164	-87	-26.8	+1	-86		2079		2084	Die ganze Reihe wegen obiger Mittel etwas erhöht
„ +1.3	601.5	1896	23.4	-9.5	+3.8	17.7	18	2015	2084	-69	-25.7	+1	-68		2011		2016	
„ +1.3	598.5	1936	23.4	-9.7	+3.8	17.5	18	2058	2015	+43	-26.2	0	+43		2054		2060	Die ganze Reihe wegen obiger Mittel etwas erhöht
„ +0.2	601.9	1891	23.4	-9.5	+3.8	17.7	18	2009	2058	-49	-25.6	+1	-48		2006		2017	
„ -1.5	600.3	1912	24.9	-9.6	+3.8	19.1	19	2032	2009	+23	-25.8	0	+23		2029	2017	2017	Die ganze Reihe wegen obiger Mittel etwas erhöht
„ -	601.1	1901	24.9	-9.6	+3.8	19.1	19	2034	2046	-12	-25.9	0	-12	+476	2017		2017	
„ -1.7	605.6	1842	24.9	-9.2	+3.8	19.5	19	1971	2034	-63	-24.9	+1	-62		1948	1948	1948	Die ganze Reihe wegen obiger Mittel etwas erhöht

IX. Konstruktion und Zeichnung der Karte.

Konstruktion der Wegaufnahmen.

Die Konstruktion der Wegaufnahmen hat Herr W. Rux, z. T. auch Herr Nobiling und Herr Stegemann im kartographischen Institut von Dietrich Reimer ausgeführt. Ich bin diesen Herren sowie auch den Leitern des Institutes, Herren P. Sprigade und M. Moisel für ihre hingebende Tätigkeit großen Dank schuldig. Daß die Karten auf dem Dritten Deutschen Kolonialkongreß bereits manche Anerkennung gefunden haben, beruht nicht zum wenigsten auf der geschickten technischen Ausführung durch die genannten Herren.

Die Rohkonstruktion wurde teils im Maßstab 1 : 37 500, teils in 1 : 75 000 ausgeführt. Die durch die Marschdauer in ihrer Länge und durch Kompaßpeilungen in ihrer Richtung bestimmten Wegstücke wurden in magnetischer Orientierung aneinandergereiht und dann die Kompaßpeilungen nach andern Objekten eingetragen. Es zeigte sich, daß die Kompaßpeilungen, schon die aus freier Hand, erst recht die auf Stativ vorgenommenen, viel größere Genauigkeit erreichen, als Aufnahmen der Marschlinie. Wo Peilungen nicht stimmten, da ließ sich meistens durch eine Drehung oder auch durch Verkürzung oder Verlängerung des Wegs

alles zu guter Übereinstimmung bringen. Im höchsten Grade zeigte sich dies in der südöstlichen Massaisteppe, wo die aufgenommenen Wege bei der Unübersichtlichkeit des dichtbewachsenen Geländes ganz ungleich ausgefallen waren. Dort hatte ich von einigen Inselbergen Peilungen vorgenommen, aus denen sich ein Dreiecksnetz konstruieren ließ. In dieses wurden die Weglinien eingepaßt. Selbst der Maßstab der Aufnahmen mußte gewonnen werden durch Anschluß der Peilungen an ferne Fixpunkte. Die aus der Marschdauer abgeleiteten Weglängen erwiesen sich in diesem Gelände als sehr mangelhaft.

Bei abweichenden Peilungen läßt sich meist leicht erkennen, woran der Fehler liegt. Weichen die Peilstrahlen eines Büschels um regelmäßig ab- und zunehmende Beträge in verschiedenem Drehungssinne von den bereits annähernd festliegenden angepeilten Punkten ab, so ist falsche Lage des Peilpunkts die Ursache. Der Punkt muß dann rückwärts eingeschnitten und die Wegaufnahme entsprechend verschoben werden. Weichen dagegen alle Peilungen in demselben Sinne um denselben Betrag ab, so liegt dies an magnetischen Störungen, an einer Abweichung der Deklination in diesem

Punkt. Durch eine Drehung des ganzen Büschels lassen sie sich einrenken. Wenn wenige Peilungen vorhanden sind, ist die Beurteilung manchmal etwas willkürlich. Das zeigt folgendes Beispiel: Bei der Konstruktion der Aufnahme des Ngurue (Hanang) in 1 : 37 500 schnitten sich vier Peilungen, die vom Umgehungsweg nach dem Werthergipfel führten, genau in einem Punkte, eine ungewöhnlich gute Übereinstimmung, aus der hervorgeht, daß nicht nur die Peilungen gut waren, sondern auch die Punkte, von denen aus gepeilt wurde, durch die Wegaufnahme in ihrer gegenseitigen Lage richtig bestimmt waren. Der Werthergipfel war danach in seiner Lage zur Marschlinie sehr genau festgelegt. Eine andere Peilung vom höchsten Gipfel des Ngurue nach dem Werthergipfel — beide sind nur 2 km voneinander entfernt — wich um etwa 10° von diesem Punkt ab. Ich verwarf sie als unbrauchbar, dachte an magnetische Störungen, obwohl die übrigen Peilungen vom Gipfel solche nicht zeigten. Es wäre ja in dem vulkanischen Gestein nicht ausgeschlossen, daß ich eine ganz andere Deklination erhielt, wenn ich mich bei einer Peilung einige Schritte abseits aufstellte. Indes, es wäre wohl möglich gewesen, die Peilungen dadurch zur Übereinstimmung zu bringen, daß man die ganze Marschlinie mitsamt den Peilstrahlen, die sich so gut schnitten, so weit verschob, bis der Schnittpunkt mit der Peilung vom Hauptgipfel zusammenfiel. Das wäre vielleicht möglich gewesen, ohne das in sich so gut stimmende Stück der Aufnahme zu verändern, nur durch eine geringe Verzerrung der Stücke vorher und nachher. Nachträglich scheint mir, daß dies wohl das Richtigere gewesen wäre. Ist dem so, so müßte der Werthergipfel mehr im Südwesten vom Hauptgipfel liegen und der sie verbindende Grat entsprechend verlaufen. Durch Peiltischaufnahme, die mir damals leider noch nicht zur Verfügung stand, hätten diese Zweifel beseitigt werden können.

Für die Berichtigung der Rohkonstruktionen war ferner der Umstand von Bedeutung, daß meine Wegaufnahmen sich mehrfach kreuzen oder Schleifen beschreiben. Die Rohkonstruktion ergab zunächst kein genaues Zusammenfallen der identischen Punkte verschiedener Marschlinien. Sie mußte daher so „eingerenkt“ werden, daß Zusammenfallen stattfand.

Fremdes Material.

Wie weit sich meine Karten in ihren mathematischen Grundlagen auf fremdes Material stützen, (Grenzvermessung, Kohlschütter, Uhlig) ist bei der Besprechung der Triangulation in Abschnitt IV und VI angegeben. Für den Karteninhalt kamen von

fremdem Material ausschließlich Wegaufnahmen in Betracht, und zwar die Aufnahmen von Abel, Bast, Baumann, Clauß, Dantz, Glauning, Graf v. Goetzen, Hoesemann, Kannenberg, Kohlschütter, Lademann, Langheld, Matting, v. der Marwitz, Merker, Methner, v. Prittwitz, Reitzenstein, Schlobach, Seyfried, Sperling, Stadlbaur, Stuhlmann, v. Tippelskirch, Tornau, Uhlig-Jaeger und Werther. Der Darstellung der Bruchstufe und der östlich an ihrem Fuß gelegenen Landschaften liegt größtenteils fremdes Material zugrunde. Meine Aufnahmen beginnen, anschließend an diejenigen von Uhlig und mir 1904, in Umbugwe und umfassen von den Landschaften östlich der Bruchstufe sonst nur noch die Gegend des Ngurue. Für die Gegend zwischen Umbugwe und dem Ngurue sind grundlegend die Aufnahmen von Schlobach und Sperling. Was nördlich und östlich von Umbugwe liegt, wurde aus Uhligs Karte¹⁾ größtenteils unverändert übernommen. In dem 1 : 300 000 Blatt sind außer den Gegenden östlich der großen Bruchstufe auch die Landschaften Issansu und Iramba grobenteils, die Nordwest-Ecke vollständig auf fremdes Material begründet und zwar auf Wegaufnahmen von Baumann, Dantz, Glauning, Graf Goetzen, Hoesemann, Kohlschütter, v. der Marwitz, v. Prittwitz, Seyfried, Tornau und Werther.

Die zwei Kartenblätter, Projektion.

Nur die von mir am eingehendsten aufgenommenen Gebiete, das Hochland der Riesenkrater und die südlich angrenzenden Gebiete, konnten als besondere Karte in 1 : 150 000 gezeichnet werden. Die Gegend des abflußlosen Rumpfschollengebietes zwischen Iramba, Njarasasee, Umbugwe und Ufiome wurde der Kostenersparnis wegen gleich für die Karte von Deutsch-Ostafrika, 1 : 300 000 gezeichnet, aus der das beiliegende Blatt einen Ausschnitt darstellt. Daher mußten auf diesem Blatt die Projektion, Geländezeichnung und Signaturen des genannten Kartenwerkes verwandt werden. Besondere Eintragungen, die sonst auf der 1 : 300 000 Karte nicht üblich sind, konnten nur durch Überdruck gegeben werden.

Das Gradnetz beider Karten ist in der flächentreuen Mercator-Sansonschen (bisher meist fälschlich²⁾ Sanson-Flamsteedsche genannten) Projektion entworfen. Der Mittelmeridian ist bei der 1 : 150 000 Karte $35^\circ 30'$, bei der 1 : 300 000 Karte 35° ö. L. v. Greenwich.

¹⁾ Carl Uhlig, Die Ostafrikanische Bruchstufe. Mitt. a. d. Deutsch. Schutzg. Erg. 2.

²⁾ Max Eckert, Die Kartenprojektion. Geogr. Ztschr. 1910, S. 312.

Diejenigen meiner Wegaufnahmen, die außerhalb dieser beiden Blätter liegen, können nicht gesondert veröffentlicht werden, obwohl sie größtenteils durch Gebiete gehen, die bis dahin völlig unbekannt waren. Es sind dies die Aufnahmen in der südöstlichen Massaisteppe und die im Sonjobergland, zwischen Ikoma und dem Hochland der Riesenkrater. Sie werden später in den Blättern A 4, B 4 und C 5 der 1:300 000 Karte von Deutsch-Ostafrika erscheinen.

Grundlagen.

Als Grundlage für die Karten dienten zunächst die nach Länge und Breite berechneten Punkte meines Triangulationsnetzes, welches an die Vermessung der Nordgrenze der Kolonie, an Uhligs Merunetz und an einige von Kohlschütter nach Länge und Breite bestimmte Punkte anschließt (Abschnitt VI), ferner einige von mir ausgeführte Breitenbestimmungen (Abschnitt VII). Alle durch Rechnung nach φ und λ bestimmten Punkte sind auf der Karte durch eine besondere Signatur kenntlich.

In das Netz der berechneten Punkte wurden die zahlreichen Punkte einkonstruiert, die durch die Peiltischaufnahme gut bestimmt, aber nicht zur Berechnung verwandt waren. Für den Punkt I_3 in Iraku wurden vorläufige Koordinaten zugrunde gelegt, da die endgültigen aus verschiedenen Gründen erst nach langer Zeit berechnet werden konnten. Die endgültigen verschoben den Punkt I_3 auf der Karte um etwa 1 mm. Dadurch waren auch alle von I_3 abhängigen Punkte der Umgegend um kleine Beträge verschoben worden. Wir mußten darauf verzichten, die überaus zeitraubende Konstruktion und Neuzeichnung vorzunehmen, die auch das Kartenbild kaum merklich verändert hätte.

Einpassung der Wegaufnahmen.

Nachdem alle Punkte der Peiltischtriangulation konstruiert und die Konstruktion der Wegaufnahmen in sich berichtigt und vollendet war, wurden die Weglinien zwischen den nunmehr festliegenden Punkten der Triangulation eingepaßt. Unter den Kompaßpeilungen gingen sehr viele nach solchen durch die Triangulation festliegenden Punkten. Durch Rückwärtseinschneiden dieser Peilungen ließen sich die Punkte der Aufnahme finden, von denen aus magnetische (Kompaß-) Peilungen vorgenommen waren. Zwischen ihnen wurde dann die übrige Wegaufnahme ohne Schwierigkeit eingepaßt. Beim Eintragen fremder Wegaufnahmen wurde in gleicher Weise vorgegangen, sofern sich genügend angepeilte Punkte mit den meinigen

identifizieren ließen. Am leichtesten waren Kohlschütters Wege einzupassen, dessen zahlreiche Peilungen sehr gut mit meinen übereinstimmten. Zwei seiner Peilpunkte wurden sogar in die Berechnung des Triangulationsnetzes einbezogen.

Geländezeichnung.

In das so erhaltene mathematische Gerüst wurde dann das Gelände eingezeichnet. Dafür stand folgendes Material zur Verfügung.

1. Die rohen und verzerrten Skizzierungen, ja oft nur Andeutungen des Geländes in meinen und fremden Wegaufnahmen, sowie einige gesonderte Situationsskizzen von Übersichtspunkten aus.

2. Meine im Grundriß ziemlich richtigen, aber in der Geländezeichnung meist nur knapp skizzierten Peilblätter. Nur einzelne waren in schätzungsweise äquidistanten Formenlinien gezeichnet (S. 20).

3. Zahlreiche Ansichtsskizzen vom Weg aus und Panoramen von fast allen wichtigen Punkten der Peiltischtriangulation.

4. Photographien von Oehler.

5. Die Höhenmessungen und Höhenschätzungen (darunter auch einzelne Zahlen von Kohlschütter und Uhlig).

6. Meine Erinnerung.

Ohne daß ich mit meiner Erinnerung zu Hilfe kam, wäre die Auswertung des Materials, die Vereinigung der verschiedenen Grundlagen von derselben Gegend nur sehr unvollkommen möglich gewesen. Mir aber erstand aus all den Karten und Zeichnungen ein anschauliches Bild der Landschaft. So konnte ich mit Skizzen und Worten dem Zeichner, Herrn W. Rux das charakteristische der Formen angeben, der sie dann mit besserer Technik ausführte. Schon in die Urkonstruktion der Wegaufnahmen wurde das Gelände eingezeichnet. Hierbei entstand zuerst ein übersichtliches Bild aus dem auf etwa 900 Seiten verschiedener Aufnahmebücher zerstreuten Material.

Auch die Zeichnung der endgültigen Karten in 1:150 000 und 1:300 000 habe ich größtenteils überwacht. Wo es sich um Einfügung fremden Materials handelte, habe ich Punkte identifiziert, scheinbare Widersprüche der verschiedenen Aufnahmen aufgeklärt. Fast überall gelang dies, nur Vereinzelt blieb zweifelhaft, z. B. die starke Biegung im mittleren Lauf des Matetebaches. So sind die Originalaufnahmen richtig gedeutet und vereinigt, so ist im ganzen der Charakter der Landschaft richtig zum Ausdruck gekommen. Daß dies in manchen Einzelheiten nicht der Fall ist, liegt daran, daß ich seit April 1909 die Zeichnung nicht

mehr fortwährend überwachen konnte und zum Teil auch an der den Zeichnern der Kolonialkarten noch nicht geläufigen Technik der Gefühlsisohypsen. Insbesondere machte der im vulkanischen Gelände öfters wiederkehrende Fall Schwierigkeiten, daß eine steile Wand mit gleichbleibender relativer Höhe am Abhang eines Berges herabzieht, wobei also die Isohypsen schräg über die Wand hinweglaufen müssen.

Im Anschluß an Uhlig's Karten¹⁾ wurden für die Geländedarstellung des 1:150 000 Blattes Gefühlsisohypsen gewählt. Auf eine besondere Schummerungsplatte, welche im Interesse plastischer Deutlichkeit dieses morphologisch so interessanten Gebiets sehr erwünscht gewesen wäre, mußte wegen der hohen Kosten verzichtet werden. Leider mußte ich auch verzichten auf kotierte Isohypsen, die Äquidistanz anstreben, obwohl mein Material für deren Zeichnung mehr Anhaltspunkte geboten hätte, als das, welches Uhlig und ich von unserer Reise heimgebracht haben. Das lag daran, daß die Berechnung der Höhenmessungen sich stark verzögert hat und die Zeichnung größtenteils schon ausgeführt war, bevor die Höhen endgültig vorlagen. Es wäre zu zeitraubend und kostspielig gewesen, sie in vielen Einzelheiten wieder zu ändern. Im allgemeinen wurde immer danach gestrebt, die Linien in etwa 30 m Abstand zu zeichnen, aber oftmals ist davon abgewichen worden. Für den Elaneirobkrater z. B. sind die 50 m-Abstände der Originalzeichnung beibehalten. Andererseits sind in flachem Gelände die Abstände oft geringer als 30 m. Um so wichtiger war es, alle gemessenen und geschätzten Höhenzahlen einzutragen.

Mit Hilfe der benachbarten Höhenzahlen geben daher die Gefühlsisohypsen innerhalb eines beschränkten und in seinen Höhenverhältnissen gleichartigen Gebiets einen Anhalt über die relativen Höhen. Sie können aber nicht dazu dienen, die relativen Höhen weiter voneinander entfernter Kartenstücke zu ermitteln. Dies kann nur aus den Höhenzahlen geschehen. Auch die geschätzten Höhenzahlen haben oft eine ziemliche Zuverlässigkeit, da vielfach die relative Höhe eines Punktes von verschiedenen Standpunkten mit gemessener Höhe geschätzt ist und die Schätzungen ausgeglichen wurden.

Auf dem 1:300 000 Blatt mußte natürlich die Bogenmanier der Karte von Deutsch-Ostafrika beibehalten werden.

Den Grad der Erforschung des Landes ersieht der Kartenleser aus der verschiedenen Ausführlich-

keit der Darstellung. Völlig unbekannte Strecken finden sich auf dem Gebiete der 1:150 000 Karte nicht mehr. Ich habe das ganze Land überschaut, manche Teile allerdings nur von entfernten Übersichtspunkten, so daß ich nur ihren allgemeinen Charakter angeben kann. Solche Flächen sind ganz schematisch dargestellt, z. B. der größte Teil der Außenabdachungen des Hochlands der Riesenkrater. Auch wurden alle von uns zurückgelegten Wege, auch die nicht aufgenommenen in die Karte eingetragen, um zu zeigen, was uns aus der Nähe, was nur aus der Ferne bekannt ist.

Signaturen.

Außer der Topographie enthalten die Karten noch manche geographisch wichtige Angaben über den geologischen Bau, die Vegetation und die Besiedelung des Landes. Diese Verhältnisse in ihrer Verbreitung übersichtlich darzustellen, wäre eine besondere geologische und eine Vegetationskarte mit Flächenkolorit erforderlich gewesen, auf die aus finanziellen Gründen verzichtet werden mußte. Ich mußte mich daher beschränken auf die Eintragung der Grenzen in verschiedenen Signaturen und auf Angaben mit Worten. Nur die besiedelten Landstriche sind durch Flächenkolorit hervorgehoben. Auf dem 1:300 000 Blatt konnten die Vegetationsgrenzen nur teilweise eingezeichnet werden.

Vom Aufbau des Landes ist angegeben die Grenze zwischen Grundgebirge und jungvulkanischer Bedeckung, die gemessenen Streich- und Fallrichtungen und die Fundpunkte der gesammelten Gesteine durch deren Nummer, unter der sie in Abschnitt XI beschrieben sind. Die Wichtigkeit einer genauen Fundortsbestimmung, die mit Worten nicht hinreichend gegeben werden kann, rechtfertigt diese bisher nicht übliche Eintragung. Wo beide Kartenblätter sich decken, sind die geologischen Angaben nur in das 1:150 000 Blatt eingezeichnet. Auf die Einzeichnung der Grenzen des vulkanischen Gesteins ins 1:300 000 Blatt wurde ganz verzichtet, da sie um den Ufiomeberg nicht näher bekannt sind, die Maare westlich des Hanang aber wesentlich aus Trümmern nicht vulkanischer Gesteine bestehen und die übrigen Grenzen auf dem 1:150 000 Blatt dargestellt sind.

In der Darstellung der Vegetation übertrifft die 1:150 000 Karte die meisten bisherigen Aufnahmen in Ostafrika durch Angabe der Grenzen der Vegetationsformationen — auch hierbei je nach dem Grad der Erforschung mehr oder weniger ins Einzelne gehend. Innerhalb der fein punktierten

¹⁾ Die ostafrikanische Bruchstufe.

Grenzlinien einer Vegetationsformation ist diese in Haarschrift näher bezeichnet.

Etwas ungleich wegen der Verschiedenheit der Grundlagen ist die Darstellung der Ansiedlungen ausgefallen. In dem ganzen Gebiet der Karte kommen geschlossene Dörfer kaum vor, sondern die Hütten sind zerstreut über die Fläche des bewohnten Landes. Solange nicht alle Hütten verzeichnet werden können, ist es daher das Beste, die bewohnten und angebauten Landflächen zu bezeichnen. Genauer konnte dies jedoch nur in Mburu und Iraku nach meiner Aufnahme geschehen. Andere Aufnehmer haben meist aus der großen Zahl der Hütten willkürlich einzelne verzeichnet, was nach den Darlegungen auf S. 14 wenig Wert hat.

Namen.

Da wir sehr viel ohne Führer reisen mußten, habe ich nur wenige geographische Namen erfahren. Was mir davon zuverlässig schien, ist eingetragen. Die Mehrzahl der Namen, besonders auf dem Blatt in 1:300 000, stammt von andern Autoren. Herr Bernhard Strück hatte die große Liebenswürdigkeit, die Namen linguistisch zu prüfen und geeignet zu transskribieren. Aus seiner Bearbeitung der Namen hat sich durch Einbeziehung anderer unveröffentlichter und veröffentlichter Materialien eine linguistische Untersuchung ergeben, die unter dem Titel: „Die Sprachen der Tatoga und Irakuleute“ den Abschnitt XVI dieser Veröffentlichung bildet.

X. Die meteorologischen Beobachtungen.

Aus finanziellen Gründen mußte leider davon abgesehen werden, diese zum Teil recht interessanten Beobachtungen, die meist von Oehler gemacht wurden, hier in extenso zu veröffentlichen. Manches wird in der landeskundlichen Beschreibung Erwähnung finden. Die Beobachtungen sind in 50 Exemplaren autographiert worden, von denen die

deutsche Seewarte, das Kolonialinstitut zu Hamburg, das Reichskolonialamt, das Geographische und das Meteorologische Institut der Universität Berlin, die Gesellschaft für Erdkunde zu Berlin und etliche größere Universitätsbibliotheken welche besitzen und an Interessenten verleihen.

XI. Die von F. Jaeger in Deutsch-Ostafrika gesammelten Gesteine.

Bearbeitet von L. Finckh, Berlin.

1. Küste.

1. Pleistocäner mariner Kalk. Dar-es-salam.

2. Usigua.

2. Pyroxenplagioklasgneis. Eine Stunde südlich Kwa Ruma.
3. Eisenkonkretionen im lateritischen Verwitterungsboden. Zwischen Kwa Ruma und Kwa Mdoë.
4. Feinkörniger Granitit. Felsiges Bachbett; Lagerplatz Luvalassi zwischen Kwa Ruma und Kwa Mdoë.
5. Amphibolit. Am Msangassi; zwischen Kwa Mlinde und Mlebule Kwa Tsharumbi.
6. Gangquarz. (Gang im Amphibolit 5.)
7. Granatreicher Plagioklasaugitfels. Gipfelblöcke des Berges Z. bei Mgera.

8. Lateritischer, sehr eisenschüssiger Verwitterungsboden des Gneises. Mgera.

9. Brecciöser Steppenalk. In der Niederung zwischen Kijungu und Kibarbara.

3. Südöstliche Massaisteppe.

10. Granit. Wasserstelle Kibarbara.

Verhältnismäßig grobkörniges Tiefengestein, das wesentlich aus Quarz, Orthoklas, etwas weißlichem Plagioklas und spärlichem Biotit besteht.

11. Biotitgneis. Unter der Wasserstelle Kibarbara am Nordhang des Berges Lössigido.

Fein- bis mittelkörniges hellgraues Gestein mit deutlicher Lagenstruktur, das in der Hauptsache aus Quarz, Feldspäten und dunklem Glimmer zusammengesetzt ist. Der Biotit, der von spärlichem Muskovit begleitet wird, reichert sich in dünnen Lagen etwas an.

12. Olivinfels. Kaita Mgoi-Hügel, 3 km westlich der Wasserstelle.

Dunkelgraugrünes, kristallines Gestein von mittlerer Korngröße, das aus Olivin, Diallag, Picotit und etwas Antigorit besteht.

13. Gneisgranit. Wasserstelle Mnaingo. (Flache Felskuppe mit Wasserlöchern.)

Verhältnismäßig feinkörniges granitisches Gestein, das im Handstück keine Lagenstruktur erkennen läßt.

14. Biotitgneis. Dönjo Kitwej. Dieser Gneis setzt anscheinend die Mehrzahl der Inselberge zusammen.

15. Marmor. Rücken südlich der Kitwej-Grassteppe.

Weißes, grobkristallenes Gestein, das vereinzelt Blättchen von weißem Glimmer, wahrscheinlich von Margarit und winzige Kriställchen von Schwefelkies einschließt.

16. Steppenalk.

17. Plagioklasamphibolit. Trockentälchen im Steilabfall zur Panganiebene, östlich der Mündung des Kiniaroktales.

18. Gneis mit Krusten von Steppenalk. Steilabfall der Massaisteppe gegen die Panganiebene.

Mittelkörnige granitische Gesteine, die deutliche Lagenstruktur erkennen lassen. Eine Probe ist durch Führung von Hornblende ausgezeichnet; in der zweiten Probe ist Biotit als wesentlicher gefärbter Gemengteil enthalten.

19. Marmor. Rücken, vom östlichen Steilabfall der Massaisteppe in die Panganiebene vorspringend.

Grobkörniger, schneeweißer kristalliner Kalk.

20. Probe fehlt.

21. Steppenalk.

22. Steppenalk mit Einschlüssen von Quarz, Orthoklas, Plagioklas, Glimmer, Hornblende und Granat. Flache Gneishügel westlich des oberen Pangani bedeckend.

23. Salz aus dem Überschwemmungsgebiet des Pangani.

Hellgraue bis weißliche, pulverige, unreine Soda.

Anmerkung: Ein Teil der Gesteinsproben 1 bis 23 wird von anderer Seite bearbeitet. Es ist daher von einer Beschreibung dieser Gesteine an dieser Stelle Abstand genommen worden.

4. Gebiet des Kilimandscharo.

24. Lapilli. Kilimandscharosteppe zwischen Unter-Aruscha und Kahe.

Bis über haselnußgroße Rhombenporphyr-Lapilli und Bruchstücke von glasig frischen Anorthoklas-kristallen.

25. Melilithbasalttuff. Explosionskrater an der Nordwestecke des Djallasees.

Dunkelaschgrauer, verhältnismäßig feinkörniger Brockentuff, der wesentlich aus kleinen, selten über

erbsengroßen Melilithbasaltlapillis und Fragmenten von Augit, Hornblende und Biotit besteht. Verfestigt ist dieser Tuff durch kalkiges Bindemittel.

26. Biotitgneis. Einschluß in dem Melilithbasalttuff.

Etwas löcherig zerfressenes, feinkörniges Gestein mit deutlicher Lagenstruktur, das im wesentlichen aus farblosem Quarz, teilweise zersetztem Feldspat und dunklem Glimmer besteht.

27. Nephelinbasanit. Westlicher Steilrand des Djallasees.

Graues, feinkörniges Gestein von sehr unregelmäßig splittigem Bruch mit vielen mikroskopisch nicht hervortretenden Einsprenglingen von Olivin, dessen Grundmasse wesentlich aus schmalen Leistchen von Plagioklas, Säulchen von Augit und winzigen Körnchen von Magnetit besteht. Der Plagioklas wird von einem schwach lichtbrechenden und schwach doppelbrechenden Mineral begleitet, das die Zwickel zwischen den Plagioklasleistchen ausfüllt und wohl als Nephelin zu deuten ist.

28. Trachydolerit. Gerölle im Sangaibach.

Dunkelgraues bis schwärzliches Gestein, in dessen feinkörniger bis dichter Grundmasse zahlreiche, zum Teil über 10 mm große Einsprenglinge von sehr dünntafeligem Plagioklas in paralleler Anordnung eingebettet sind.

Das Gestein stimmt in seinem Habitus mit den basaltoiden Trachydoleriten vom Typus der Essexitporphyrite Bröggers, die in weiter Verbreitung am Mawensi (Kilimandscharo) anstehen, überein.

29. Limburgit. Nangaschlucht.

Tief dunkelgraues, porphyrisches Gestein mit bräunlicher Verwitterungsrinde, das in feinkörniger bis dichter Grundmasse zahlreiche, zum Teil etwas größere Einsprenglinge von basaltischem Augit und von frischem hellgrünen Olivin enthält. Die Grundmasse besteht wesentlich aus winzigen Säulchen von Augit und kleinen Körnchen von Magnetit, sowie einem farblosen, zum Teil sicher als Plagioklas bestimmbar Mineral, das die Zwischenräume zwischen den Augitkriställchen erfüllt. In geringer Menge findet sich neben den erwähnten Gemengteilen auch Biotit in unregelmäßig lappig begrenzten Täfelchen.

34. — 47. Kibogesteine, Phonolithe, Rhombenporphyre, Trachyandesite und Trachydolerite.

Siehe Jaeger, Forschungen in den Hochregionen des Kilimandscharo, Mitteilungen aus den deutschen Schutzgebieten 1909, S. 196.

5. Merugebiet.

48. Tephritischer Brockentuff. Weg Moschi-Aruscha.

Hellbräunlichgraues, brecciöses Gestein mit zum Teil über walnußgroßen Brocken von Nephelintephrit.

49. Leucitnephelintephrit. Lavablock aus dem Brockentuff am Wege Moschi-Aruscha.

Ein mattglänzendes, tiefdunkelbraunes Gestein, das durch schlierigen Wechsel von dunkleren und

helleren mehr porösen Partien gebändert erscheint und in sehr feinkörniger Grundmasse kleine Einsprenglinge von schlank prismatischem Augit enthält. Die Grundmasse setzt sich im wesentlichen zusammen aus Mikrolithen von Plagioklas, winzigen, gut ausgebildeten Kriställchen von Nephelin, spärlichem Leucit, Säulchen von Titanaugit und einer reichlichen Glasbasis von hellerer oder dunklerer bräunlicher Farbe, die stellenweise durch eingelagerte Pyroxenmikrolithen getrübt erscheint.

6. Weg Aruscha-Umbugue.

a. Mondul-Essimingorgruppe.

50. Basalt. Weg Aruscha Umbugue, $\frac{3}{4}$ Stunden östlich Neirascherasch.
51. Zersetzter Basalt. Fundort derselbe.
52. Zersetzter Basalt, in bröckligen Lateritlehm umgewandelt. Fundort derselbe.
53. Erbsengroße Lateriteisenkonkretionen aus dem zersetzten Basalt. Fundort derselbe.
54. Zersetzter Basalt. Fundort derselbe.
55. Eisenschüssiger Basaltlehm mit Kristallen von basaltischem Augit und Hornblende. Fundort derselbe.
56. Hellgelbbrauner basaltischer Aschentuff. Fundort derselbe.

Der frische Basalt dieser Gegend ist ein dunkelgraues, porphyrisches Gestein, das in dichter Grundmasse zahlreiche, bis 5 mm große Einsprenglinge von Augit und vereinzelte von frischem Olivin führt. Nach dem mikroskopischen Befunde erscheint der Olivin außerdem in zahlreichen kleinen makroskopisch nicht hervortretenden Einsprenglingen in der im wesentlichen aus winzigen Plagioklasleistchen, Körnchen von Augit und aus Titaneisen bestehenden Grundmasse. Durch Zersetzung geht dieses Gestein in einen braungefärbten Basaltlehm über. Die einzelnen Proben zersetzten Basaltes gehören verschiedenen Stadien dieses Vorganges an.

57. Rot zersetzter Nephelinit. Südhang des Essimingor.
58. bis 61. Nephelinite. Fundort derselbe.

Dunkelgraue, zum Teil etwas poröse Gesteine, die in sehr feinkörniger Grundmasse kleine Einsprenglinge von schlank prismatischem Titanaugit und zum Teil solche von weißlich getrübt Nephelin enthalten. Die Grundmasse dieser Gesteine besteht wesentlich aus Augit, Nephelin, Magnet Eisen und bisweilen etwas gelblicher Glasbasis. Der Nephelin erscheint in der Grundmasse als jüngste Ausscheidung, die Zwischenräume zwischen den idiomorph begrenzten Augiten jüngerer Generation ausfüllend, in derselben Weise, wie die Nephelinfüllmasse der Nephelinbasalte, zu denen diese femischen Nephelinite auch hinüberleiten. Sie führen auch sehr vereinzelt etwas Olivin. Eines dieser Gesteine ist durch die Führung von Perowskit ausgezeichnet.

Mitteilungen a. d. D. Schutzgebieten, Ergänzungsheft 4.

62. Augitit. Südhang des Essimingor.

Dunkelgraues, porphyrisches Gestein mit bräunlicher Verwitterungsrinde, in dessen feinkörniger Grundmasse zahlreiche kleine, selten etwas größere Einsprenglinge von Augit eingebettet sind. Die Grundmasse setzt sich im wesentlichen aus Augit und Magnet Eisen zusammen. Durch einen kleinen Gehalt an Nephelin in der Grundmasse gibt sich die nahe genetische Beziehung dieses Gesteines zu den Nepheliniten des Essimingor zu erkennen.

63. Zelliger Steppenalk. Südlich des Essimingor, westlich Lager Mbuyuni.
64. Stark zersetzter Basalt. Südlich des Essimingor.
Hellgraubraunes, feinkörniges Gestein mit kleinen unregelmäßigen Blasenräumen, deren Wandungen von dünnen Kalkkrusten überzogen sind.
65. Knochenrest aus Kalken der Wasserstelle Msuakini.
66. Steppenalk mit Chalcedonkonkretionen. Südlich des Essimingor.
67. Chalcedonkonkretionen aus 66. ausgewittert.

b. Kristallines Gebiet bei Umbugue.

68. Quarz. Hügel nordöstlich von Umbugue.
69. Feinkörniger Zweiglimmergneis. Fundort wie 68.
Weißlichgraues, feinkörniges Gestein, mit deutlicher Lagenstruktur, das wesentlich aus Quarz, Orthoklas, Muskovit und etwas Biotit zusammengesetzt ist.
70. Heller Muskovitgneis. Fundort wie 68.
Mittelkörniges, granitartiges Gestein, das im Handstück nur angedeutet Lagenstruktur erkennen läßt und wesentlich aus Quarz, Orthoklas sowie spärlichem Muskovit besteht.

7. Gebiet des Ngurue (Hanang).

a. Grundgebirge.

76. Diabas. Mangati.
Ein dunkelgraues, fein- bis mittelkörniges Gestein mit sehr unregelmäßig splitterigem Bruch, das wesentlich aus einem kalkreichen Plagioklas und Augit besteht und ausgesprochen ophitische Struktur besitzt. Der Augit zeigt stellenweise beginnende Uralitisierung. Zu den erwähnten wesentlichen Gemengteilen treten noch etwas Eisenerz und Granat hinzu.
77. Gefältelter Zweiglimmergneis. Mangati, Dugumiek.
78. Biotitgranit. Mangati, Dugumiek.
79. Glimmerreicher Gneis. Mangati, Dugumiek.
80. Biotitgneis. Mangati, Dugumiek.
83. Granit. Nordfuß des Ngurue.

Die Hauptgesteine des Grundgebirges des Nguruegebietes sind Gneise und Granit. Der im wesent-

lichen aus Quarz, Feldspäten, Muskovit und Biotit bestehende Zweiglimmergneis zeigt deutliche Lagenstruktur durch lagenartige Anordnung seiner Gemengteile, besonders der Glimmermineralien. In dem glimmerreichen Gneis von Mangati, der neben Quarz und Feldspäten ebenfalls Muskovit und Biotit führt, erscheint der Feldspat zum Teil als augenartiger Einsprengling in der stark geschieferten Grundmasse. Als Biotitgneis ist ein stellenweise sehr glimmerreiches Gestein von feinkörnigem Gefüge bezeichnet worden, das sich von den übrigen Gneisen dieses Gebietes durch das Fehlen des Muskovits unterscheidet.

Der Granit von Mangati ist ein hypidiomorph-körniges Gestein von mittlerer Korngröße, das sich in der Hauptsache aus Quarz, rötlichem Orthoklas, etwas weißlichem Plagioklas und Biotit zusammensetzt. Das am Nordfuß des Ngurue anstehende Gestein ist ein nur wenig gepreßter Granit von mittlerer Korngröße, das in seinen Gemengteilen mit dem Granit von Mangati übereinstimmt.

b. Nguruevulkan.

81. Nephelinit. Nordfuß des Ngurue.
82. Melilithbasalt. Isolierter Lavahügel nördlich des Ngurue.
84. Nephelinit. Nordfuß des Ngurue.
85. Nephelinitoider Phonolith. Nordhang des Ngurue.
86. Steppenalk. Nordfuß des Ngurue.
87. Nephelinit. Nguruegipfel.
88. Graniteinschluß im Nephelinit des Nguruegipfels.
89. Basalttuff. Parasitischer Krater am Nordfuß des Ngurue.
90. Glimmertafeln (Meroxen) aus dem Basalttuff.

Am Aufbau des Nguruevulkans beteiligen sich im wesentlichen, soweit aus dem vorliegenden Material geschlossen werden kann, Nephelinite und ihnen nahestehende Phonolithe. Die Nephelinite des Ngurue sind grünlich-graue, zum Teil etwas dunkler gefärbte Gesteine, die in einer feinkörnigen bis dichten Grundmasse zahlreiche, seltener spärlichere kleine Einsprenglinge von glasig frischem oder weißlich trübem Nephelin und solche von schlank prismatischem Ägyrinaugit erkennen lassen. Die mikroskopische Untersuchung dieser Gesteine hat ergeben, daß in der im wesentlichen aus idiomorph begrenztem Nephelin, Ägyrinmikrolithen und spärlichem Glas bestehenden Grundmasse neben den erwähnten schon makroskopisch hervortretenden Ausscheidungen noch Einsprenglinge von Hauyn, Melanit und von Titanit enthalten sind. Auch Apatit ist in diesen Gesteinen in verhältnismäßig reichlicher Menge vorhanden.

Der am Nordhang des Ngurue anstehende Phonolith ist ein grünlich-graues porphyrisches Gestein, das wie die Nephelinite kleine, glasig frische Nephelinsprenglinge neben etwas Ägyrinaugit in fein-

körniger Grundmasse enthält und sich von ihnen äußerlich nur durch hellere Färbung, die auf geringerem Gehalt an gefärbten Gemengteilen beruht, unterscheidet. Die mikroskopische Untersuchung hat gezeigt, daß sich an der Zusammensetzung der Grundmasse neben Nephelin und Ägyrin Sanidin in reichlicher Menge beteiligt.

Der Melilithbasalt des Lavahügels im Norden des Ngurue ist ein bräunlich-graues Gestein, in dessen dichter Grundmasse zahlreiche, bis 20 mm große, glasig frische Olivineinsprenglinge von grünlich-gelber Farbe und vereinzelte, zum Teil resorbierte Tafeln von Biotit eingebettet sind. Die Grundmasse besteht wesentlich aus Melilith, der größtenteils unter Neubildung von Karbonaten zersetzt ist, Augitmikrolithen, viel Magnetit in winzigen Körnchen und reichlichem Perowskit.

Das Gestein der großen parasitischen Krater am Nordfuß der Ngurue ist ein grauer Melilithbasalttuff, der aus erbsengroßen Bröckchen von stark zersetztem Basalt und Bruchstücken von Augit besteht und zahlreiche Tafeln von braunem Glimmer führt, die zum Teil einen Durchmesser von über 5 mm besitzen. Dieser Glimmer gehört nach der Lage seiner Axenebene dem Meroxen an.

105 — 106. Siehe 19. Iraku-Maussa.

8. Gebiet der Maare.

107. Brockentuff. Masodischkrater.

Ein bräunlich-graues, brecciöses Gestein, das wesentlich aus haselnußgroßen eckigen Gesteinsbruchstücken von Phylliten, Hornfels und Gneisen, sowie winzigen Splitterchen von Augit, Plagioklas und kleinen Blättchen von Biotit besteht. Diese Gemengteile sind durch ein kalkreiches Cäment verkittet.

108. Aschentuff. Masodischkrater.

Feinkörniges Gestein von bräunlich-grauer Farbe, das aus feinem Aschenmaterial, besonders Kristallbruchstücken von Quarz, Orthoklas, Mikroklin, Plagioklas, Augit und von Biotit besteht und durch reichliches kalkiges Bindemittel verfestigt ist. Bruchstücke eines jungen Ergußgesteines konnten in diesen Tuffen nicht nachgewiesen werden. Es ist wahrscheinlich, daß es basaltische Tuffe sind; vielleicht deutet der reichliche Gehalt an frischem Biotit auf Melilithbasalt.

109. 110. Olivindiabas. Auswürflinge des Masodischkraters.

Dunkelgraue, mittelkörnige Gesteine mit deutlicher ophitischer Struktur, die in der Hauptsache aus kalkreichem Plagioklas, Augit und Olivin, sowie etwas Titaneisen zusammengesetzt sind.

111. Glimmerhornfels. Auswürfling des Masodischkraters.

Dunkelgraues, feinkörniges und scharfsplitteriges, hartes Gestein, das im Handstück undeutlich Schichtung erkennen läßt. Es ist ein aus Quarz und Feldspäten, sowie feinverteiltem frischem Biotit in winzigen, meist unregelmäßig lappig begrenzten Blättchen und etwas Schwefelkies bestehendes klastisches Gestein, das sowohl seinen Hornfelscharakter, als

- den reichlichen Gehalt an neugebildetem Glimmer kontaktmetamorphen Vorgängen verdankt.
112. Phyllitischer Schiefer. Auswürflinge des Masodischkraters.
113. Stark gefältelter phyllitischer Schiefer. Auswürflinge des Masodischkraters.
114. Probe fehlt.
115. Wasserprobe aus dem See des Maars VI, siehe Abschnitt XII.
116. Porphyrischer Granit. Auswürfling Maar V.
Mittelkörniges Gestein, das wesentlich aus farblosem Quarz, reichlichem gelblich-weißen Plagioklas, rötlich-weißem Orthoklas, Biotit und Hornblende besteht. Der Orthoklas erscheint zum Teil in größeren Individuen und verleiht dem Gestein einen porphyrischen Charakter.
117. Glimmerhornfels. Auswürfling Maar IV.
Graues, feinkörniges, sehr hartes Gestein, das wesentlich aus Bruchstücken von Quarz und Feldspäten, etwas Muskovit und reichlichem feinverteilten Biotit in winzigen Blättchen besteht.
118. Salzausblühung am Paß zwischen Maar VII. und VIII.
119. Glimmerschiefer. Südwestlich des Basotusees.
Hellgraues, in verwittertem Zustande bräunlich-graues, feinschieferiges Gestein, das aus hellem Glimmer und Quarz zusammengesetzt ist.
120. Nephelinit-Aschentuff. Maar XV.
Bräunlich-rotes, etwas poröses, sehr feinkörniges klastisches Gestein, in dem kleine Kristallfragmente von Augit, Quarz, Nephelin, Mikroklin, Biotit und Titanit durch ein stark kalkiges Bindemittel verkittet sind.
121. Granitit. Auswürfling des Maars XVI.
Hypidiomorph-körniges Gestein von mittlerer Korngröße, das wesentlich aus Quarz, Orthoklas, weißlichem Plagioklas und Biotit besteht.

9. Issansu-Iramba.

122. Olivindiabas. Östlich Ijambi.
Dunkelgrünlich-graues, mittelkörniges Gestein von ophitisch-körnigem Gefüge, das im wesentlichen aus basischem Plagioklas, Augit, Olivin und etwas Titanit zusammengesetzt ist.
123. Steppenalk. Pombobach bei Ijambi.
Etwas löcherig-poröser Kalk von rötlicher Farbe, der zahlreiche, zum Teil größere Bruchstücke von Quarz und von Feldspat einschließt.
124. Diorit (Gerölle). Östlich Mkalama.
Hypidiomorph-körniges Gestein, das aus natronreichem Plagioklas, der dem Oligoklas nahesteht, etwas Mikroklin und primärer Hornblende neben viel sekundärer schilfiger Hornblende von hellgrüner Farbe besteht.
125. Schmutziggrauer, toniger Alluviallehm. Turobach bei Mkalama.

137. Granit. Östlich Mkalama.

Ein hypidiomorph-körniges Gestein von mittlerer Korngröße, das aus weißlich-grauem Quarz, rötlich-weißem Orthoklas, weißlichem Plagioklas und spärlichem, in Chlorit umgewandelten Biotit besteht.

138. Diabas. Östlich Mkalama.

Dunkelgraues, mittelkörniges Gestein von ausgesprochen ophitischem Gefüge, das nur aus stark zersetztem Plagioklas, verhältnismäßig frischem Augit und etwas Erz zusammengesetzt ist.

139. Granit. (An der Grenze gegen den Diabas.) Östlich Mkalama.

Stark zersetzter, mittelkörniger Granit, dessen Glimmer vollständig in Chlorit umgewandelt und der durch Infiltration von Eisenhydroxyd bräunlich gefärbt ist.

140. Granitaplit, Gang im Granit. Östlich Mkalama.

Feinkörniges, hellrötlich-graues Gestein, das aus Quarz, Orthoklas und etwas Plagioklas besteht.

141. Granitpegmatit. Gang im Granit. Südwestlich Mkalama.

Großkörniges Gestein, das wesentlich aus weißlich-grauem Quarz, rötlich-weißem Orthoklas und Muskovit besteht.

Die folgenden Gesteine — Nr. 142 bis 160 — aus Iramba, der Wemberesteppe, Ussukuma und der Gegend von Ikoma sind bereits zum Teil von F. Tornau auf Grund von Untersuchungen an eigenem Material beschrieben worden¹⁾. Herr Dr. Tornau hat daher auch die Bearbeitung des vorliegenden Materials aus den angeführten Gebieten übernommen; seine Bestimmungen sind daher wörtlich wiedergegeben.

142. Porphyrischer Granit. Iramba, 10⁴² der Route vom 2. November.

Ein mittelkörniger Granit, der makroskopisch im frischen Bruch aus grauem Quarz, verhältnismäßig frischem, schwach rötlichem Orthoklas, weißlichem Plagioklas und reichlichem Biotit besteht. Der Orthoklas erscheint in Einsprenglingen, deren Durchschnitte eine Länge von mehreren Zentimetern erreichen.

143. Bräunlichgelber, sandiger Ocker mit Eisenkonkretionen. Iramba, 10⁵³ der Route vom 2. November.

144. Krusteneisenstein. Iramba, Trockenbett 11⁴⁵ der Route vom 2. November.

Löchrige Breccie aus sandigen, zum Teil manganschüssigen, bis haselnußgroßen Eisenerzkongkretionen, Quarzkörnern und zum Teil größeren Quarzistbrocken, durch ein eisenschüssiges Bindemittel verkittet.

¹⁾ Zeitschr. d. Deutsch. Geol. Ges. 1907 Monatsber. S. 60.

145. Feinkörniger Amphibolit, aus Diabas hervorgegangen. Iramba, Punkt 1³⁵ der Route vom 2. November.

Tiefdunkles, grünliches, ziemlich dichtes Gestein mit undeutlich plattiger Absonderung und splittrigem bis muschligem Bruch. Nach der mikroskopischen Untersuchung besteht das Gestein im wesentlichen aus grüner Hornblende, Plagioklas und feinverteiltem Magnetit. Zu diesen Gemengteilen tritt noch etwas Zoisit, der sich stellenweise anhäuft. Das Gestein zeigt zum Teil noch Andeutung an ophitische Struktur des ursprünglichen Diabases.

146. Gangquarz. Iramba, Kirondatal.
Der schwach eisenschüssige Quarz ist zum größeren Teile milchig-glasig und grobkristallin, zum kleineren von zuckerigem Aussehen und schwach grünlich; er enthält Nester von dunkelgrünem Turmalin und kleine Pyritkristalle.

147. Gangquarz mit Freigold. Iramba, Schürfstelle Kirondatal.

Der Quarz ist vorwiegend milchig-glasig und etwas stenglig. Fast sämtliche Stücke sind stark von zum Teil ockrigem Brauneisenerz durchsetzt. Eine Probe zeigt eine stark löchrige, zerfressen aussehende Oberfläche.

148. Grobkörniger Olivin-Diabas. Iramba; anstehend im Kengagombe-Bach bei Kirondatal.

Das Gestein besitzt schon makroskopisch deutlich hervortretende ophitische Struktur und besteht nach der mikroskopischen Untersuchung aus kalkreichem Plagioklas, Augit, Olivin, etwas Biotit und Titaneisen.

149. Glimmer-Hornfels. Iramba; anstehend im Kengagombe-Bach bei Kirondatal.

Ein ziemlich dunkles, grünlich-graues, sehr dichtes, splittrig brechendes Gestein, das deutlich Schichtung erkennen läßt. Die mikroskopische Untersuchung zeigt, daß es hauptsächlich aus Quarz und etwas Feldspat (Plagioklas) mit feinverteiltem Glimmer besteht, der größtenteils farblos, zum Teil aber sicher ein mehr oder weniger stark ausgebleichter Biotit ist.

150. Phyllitischer Schiefer mit Quarzadern. Iramba; anstehend im Kengagombe-Bach bei Kirondatal.

Infolge weit vorgeschrittener Sericitisierung zeigt das Gestein starken Seidenglanz auf den Schieferungsflächen.

151. Graugrünēr Tonschiefer. Iramba, Kengagombe-Bach bei Kirondatal.

Das Gestein besitzt durch Ausscheidung von Sericit in geringem Grade phyllitisches Aussehen. Außer deutlicher Schichtung zeigt es transversale Schieferung, so daß es stellenweise als typischer Griffelschiefer entwickelt ist.

10. Wembere-Steppe.

152. Steppenalk. Bodenwelle 1 Stunde nordwestlich von kwa Mtegasi.

Hellgrünlichgrauer, fester, etwas splittriger, reiner Kalk mit kleinen Kalkspatnestern.

153. Steppenalk. Wembere-Steppe, Westrand. Talmulde des Mangubaches, unterhalb Maschere-Mündung.

Ein fleckiges, schmutzig-rötliches Gestein von dichter Beschaffenheit, das anscheinend aus reinem Kalk besteht.

11. Ussukuma.

154. Quarzit. Uduhe, Rücken 10⁴⁵ der Route vom 7. November.

Ein lichtgraues, fein- bis grobkörniges Gestein, das deutlich discordante Parallelstruktur erkennen läßt.

288. Quarzit. Meatu, Klippe im Bachbett.

Dunkelgraues, sehr feinkörniges bis dichtes Gestein, mit ebenem, etwas splittrigem Bruch, das im Handstück keine Schichtung zeigt.

289. Bis walnußgroße Kalkkonkretionen im Eluvialboden. Ussukuma, östliche Landschaft Nera.

155. Granitit. Urima, Straße Tabora—Muansa, 1 Stunde nördlich Magogo-Fluß.

Das vollkommen frisch erscheinende Gestein ist feinkörnig, von grauer Farbe und besteht im wesentlichen aus Orthoklas, der von Mikroklin und saurem Plagioklas begleitet wird, Quarz und Biotit. Accessorisch tritt in geringer Menge Muscovit auf, der aber makroskopisch nicht sichtbar ist.

156. Kieselsinter. Berg von Ngasamo (nordöstliches Ussukuma).

Das Gestein ist zum Teil braun-rot, zum Teil grünlich-weiß gefärbt. Der braun-rote Teil, den man als Jaspis bezeichnen könnte, zeigt kleine, rundliche Flecken von milchweißer Farbe und ist wenig porös. An der Grenze gegen den grünlich-weißen Teil wird er von einem Netz von milchig-weißen Chalcedonadern durchzogen. Die weißliche Partie ist stark löcherig und zum Teil fein porös. Die Hohlräume sind von warzigen Chalcedonaggregaten ausgekleidet.

157. Krusteneisenstein. Straße Muansa—Ikoma, Südhang der Berge zwischen Ruwana und Mbalageti-Steppe.

Breccie aus Quarzit- und Quarzbrocken, durch Brauneisenerz verkittet.

158. Gneisgranit. Straße Muansa—Ikoma, im Mao-miro-Bachbett anstehend.

Ein mittelkörniger, durch feinverteilten Pistazit grünlich gefärbter Granit, der Andeutung von Gneisstruktur zeigt. Nach der mikroskopischen Untersuchung besteht das Gestein aus Orthoklas, Mikroklin, etwas saurem Plagioklas, Quarz, der durch Druck zuckerkörnig geworden ist, und Biotit in verhältnismäßig geringer Menge neben vereinzelten Muscovitblättchen. Als Neubildung erscheint in feiner Verteilung Epidot.

12. Gegend von Ikoma.

159. Hämatitquarzit. Lager Sasagu vor Ikoma. Im Tal an der Wasserstelle.

Ein durch feinverteilten Hämatit rötlich-violett gefärbtes Gestein mit winzigen Muscovitblättchen, das feingeschichtet erscheint.

160. Sericitschieferartiger Phyllit. Mumussi-Bachbett, östlich Ikoma.

Das Gestein ist grünlich-grau, feingeschiefert und hat auf den Schieferungsflächen durch feinschuppigen Sericit starken Seidenglanz erhalten.

13. Sonjobergland (Ndassekera).

161. Muskovitreicher Quarzit. Westlicher Lamunjane.

Verhältnismäßig grobkörniges Gestein von rötlicher Farbe, auf dessen Schichtflächen reichlich kleine Muskovitblättchen eingelagert sind. Durch den reichlichen Gehalt und die lagenweise Anordnung der Glimmerblättchen, die auch durch die größeren Quarzkörner hindurchsetzen, macht das Gestein einen durchaus gneisartigen Eindruck.

162. Quarzit. Westlicher Lamunjane.

Weißliches, mittelkörniges Gestein mit feinen Muskovitschüppchen, die im Querbruch kaum hervortreten. Die vorliegende Probe läßt noch deutlich schwach diskordante Schichtung erkennen, obwohl das Gestein im übrigen den ursprünglichen Sandsteincharakter vollkommen verloren hat.

163. Glimmerschieferartiger Gneis (wahrscheinlich Sedimentgneis). Östlicher Lamunjane.

Graues, sehr glimmerreiches und ziemlich feinkörniges dünn geschiefertes Gestein, das nach dem makroskopischen Befunde wesentlich aus Quarz, Muskovit und Biotit, sowie spärlichem und nur stellenweise etwas angereichertem weißlich-trübem Feldspat besteht.

164. Alluviallehm. Schuttkegel des Sanjangbaches.

Schwach kalkiger, fein- bis grobsandiger Lehm von bräunlich-grauer Farbe mit größeren Körnern von Quarz und Feldspat und Blättchen von Muskovit. Das Gestein ist so stark sandig, daß es sich leicht zerreiben läßt.

- 165a. Quarzit. Anstehend, Talwände des Sanjangbaches.

Ein grobkörniges, plattig abgesondertes Gestein von hellgrauer, wenig rötlicher Farbe mit reichlichem Muskovit auf den Schichtflächen, der im Querbruch kaum hervortritt. Dieser Quarzit läßt seine ursprüngliche Schichtung noch deutlich erkennen.

- 165b. Glimmerführender Quarzit. Gerölle des Sanjangbaches.

166. Plagioklasamphibolit. Gerölle des Sanjangbaches.

Mittelkörniges, dunkelgrünes Gestein mit weißen plagioklasreichen Lagen, das dem makroskopischen Befunde nach aus grüner Hornblende, Plagioklas und etwas Quarz besteht und hin und wieder Biotit in größeren Blättchen führt.

167. Biotitgneis (wahrscheinlich Sedimentgneis). Gerölle des Sanjangbaches.

Sehr glimmerreiches, feinkörniges und feingeschiefertes, mürbes Gestein von hellgrauer Farbe, das wesentlich aus Quarz, etwas Feldspat und reichlichem Biotit besteht.

168. Feinkörniger Gneis (wahrscheinlich Sedimentgneis). Gerölle des Sanjangbaches.

Festes, sehr feinkörniges Gestein von rötlich-grauer Farbe, das deutliche, an feine Schichtung erinnernde Parallelstruktur zeigt. Nach dem makroskopischen Befunde setzt sich dieses Gestein hauptsächlich aus Quarz, Feldspat, der zum Teil sicher dem Plagioklas angehört, und feinverteilten kleinen Schüppchen von Muskovit zusammen.

169. Wasser des Sanjangbaches. Siehe Abschnitt XII.

170. Toniger alluvialer Feinsand. Schuttkegel des Sanjangbaches (tieferer Teil).

Gelblich-graues, zum Teil feingeschichtetes, tonig-feinsandiges Gestein.

175. Dickbankiger Quarzit. Südliche Vorkette des Sonjoberglandes.

Grobkristallines, wesentlich aus Quarz bestehendes Gestein, das feine Muskovitschüppchen in paralleler Anordnung enthält.

14. Tuffhügelland zwischen Sonjobergland und Balbal.

- 171a. Trachydolerit. Ausgang der Lolgarienschlucht.

Feinkörniges bis dichtes porphyrisches Gestein von dunkelbräunlich-grauer Farbe, das in einer wesentlich aus fluidal angeordneten Leistchen von Plagioklas und Sanidin, kleinen Säulchen von Augit und Körnchen von Magnetit bestehenden Grundmasse kleine, seltener bis 10 mm lange Einsprenglinge von brauner Hornblende in nadelförmigen, zum Teil resorbierten Kriställchen, solche von Augit und spärliche von Olivin, sowie größere Körner von Magneteisen enthalten.

- 171b. Nephelintephrit. Ausgang der Lolgarienschlucht.

Bräunlich-graues, porphyrisches Gestein, das durch die Führung von zahlreichen kleinen, zum Teil bis 10 mm langen Kriställchen von Titanaugit in einer dichten Grundmasse ausgezeichnet ist. Die Grundmasse setzt sich im wesentlichen aus kleinen Leistchen von Plagioklas, zum Teil idiomorph begrenztem Nephelin, Augit und reichlichem Magneteisen zusammen und besitzt pilotaxitisches Gefüge.

172. Tuffit. Flußabsatz, Schuttkegel des Lolgarien.

Ein hellgraues, feinkörniges Gestein, das aus Bruchstücken von Augit, Hornblende, Feldspat und in reichlicher Menge von Biotit in kleinen Blättchen besteht. Diese Gemengteile entstammen zum großen Teil den in diesem Gebiete anstehenden Nephelinit-Aschentuffen.

173. Nephelinit-Aschentuff. In Trockenbetten der Tuffhügel zwischen Salesteppe und Balbal.

Ein fein- bis mittelkörniger, feingeschichteter Aschentuff von dunkelgrauer Farbe, der wesentlich aus Kristallen und Kristallfragmenten von Nephelin, Melilith, Ägyrinaugit, Titanaugit und Blättchen von Biotit zusammengesetzt ist. Die einzelnen Kriställchen zeigen meist eine dünne Haut eines dunkelgefärbten Glases.

174. Trachydoleritischer Brockentuff. Harter Tuff, überlagert von dem hellgrauen Tuffit. Watunjtrockenbett. Punkt 10.58 der Route.

Ein hartes, brecciöses Gestein, an dessen Zusammensetzung in der Hauptsache dunkelgrau gefärbte Brocken eines basaltoiden Trachydolerits mit kleinen Einsprenglingen von dünntafeligem Plagioklas, sowie solchen von Augit und Olivin in einer dichten Grundmasse und feineres Aschenmaterial beteiligt sind. Verfestigt ist dieser Tuff durch ein teils kalkiges, teils zeolithisches Bindemittel.

175. Dickbankiger Quarzit. Südliche Vorkette des Sonjoberglandes, Ostende.

Hellrötlich gefärbtes, verhältnismäßig grobkristallines Gestein, das durch die Führung von lagenartig angeordneten, winzigen Muskovit- und Eisenglanzblättchen ausgezeichnet ist.

15. Balbal und Serengetisteppe.

176. Schlackiger Trachydolerit. Block in einem Trockenbett; nördlicher Balbal (möglicherweise Gerölle vom Olmoti).

Aschgraues, etwas schlackiges Gestein, das in feinkörniger Grundmasse vereinzelte, sehr dünn-tafelige Plagioklaseinsprenglinge führt.

276. Gelber Trachyttuff. Nordweststeilrand des Balbal, an der Mündung der Duwaischlucht.

Schaumig lockeres, brecciöses Gestein von hellgrau-gelber Farbe, das aus bimssteinartigem Aschenmaterial, tafelligen Kriställchen von glasigem Sanidin und vereinzelten kleinen Augitkriställchen besteht.

277. Aschentuff. Nordweststeilrand des Balbal, an der Mündung der Duwaischlucht.

Bräunlich-graues, festes Gestein, das aus kleinen Bröckchen eines basaltischen oder trachydoleritischen Gesteins sowie reichlichen Kristallfragmenten von Mikroklin, Orthoklas, Plagioklas, Titanaugit, Ägyrinaugit, verhältnismäßig viel Melanit und von Perowskit besteht. Diese Gemengteile sind durch ein kalkiges Bindemittel verfestigt. Ägyrinaugit, Melanit und vielleicht auch der Perowskit lassen auf Nephelinitmaterial schließen. Die Feldspäte entstammen vermutlich durchbrochenen Graniten. Es läßt sich aus dem vorliegenden Handstück jedoch nicht entscheiden, ob das Gestein als trachydoleritischer Tuff oder als Nephelinituff aufzufassen ist.

278. Doleritischer Basalt. Duwaischlucht.

Schwärzliches, mittelkörniges Gestein, aus dessen Grundmasse die kleinen dunkelgefärbten Olivineinsprenglinge nur wenig hervortreten. Die Grund-

masse besteht wesentlich aus kalkreichem Plagioklas, basaltischem Augit und Titaneisen und zeigt ausgesprochen intersertales Gefüge.

279. Gelbgrauer Tuffit. Duwaischlucht.

Hellgelb-graues, feingeschichtetes und verhältnismäßig feinkörniges, leicht zerreibliches Gestein, das sich wesentlich aus Aschenmaterial zusammensetzt.

280. Basalttuff. Duwaischlucht.

Geschichteter, grobkörniger Aschentuff von gelb-grauer Farbe mit helleren und dunkleren Lagen. Nach dem mikroskopischen Befunde setzt sich dieser Tuff aus kleinen Lapillis von Feldspatbasalt, sowie Bruchstücken von Plagioklas und von Augit zusammen. Diese Gemengteile sind durch reichliches kalkiges Bindemittel verkittet.

281. Feinkörniger, grauer Tuffit. Duwaischlucht.

282. Kalkige Konkretionen im Basalttuff. Duwaischlucht.

Kugelige Konkretionen von Ei- bis Faustgröße mit konzentrisch-schaliger Struktur.

283. Lateritisch zersetzter Basalttuff. Duwaischlucht.

284. Steppenalk. Duwaischlucht.

285. Radialstrahliger Arragonit. Duwaischlucht.

286. Chalcedongerölle. Duwaibach, 1 Stunde vor Einmündung in Balbal.

287. Aschentuff. Südliche Serengetisteppe. Kleiner Nordsüd-Steilrand.

Hellgraues, feinkörniges, festes Gestein, das aus Kristallbruchstücken von Augit, etwas Hornblende, Biotit und reichlichem kalkigen Bindemittel besteht. Der Augit gehört zum Teil dem Ägyrinaugit an. Vereinzelt wurden auch Körner von Perowskit beobachtet. Durch die Untersuchung der vorliegenden Gesteinsprobe läßt sich die Zugehörigkeit dieses Tuffes zu einem bestimmten Eruptivgestein mit Sicherheit nicht feststellen.

16. Hochland der Riesenkrater.

a. Ngorongoro-Vulkan.

177. Alkalitrachyt. Ngorongoro, westlicher Außenhang.

Durch schlierigen Wechsel von heller oder dunkler grau gefärbten Gesteinpartien fluidal erscheinender phonolithoider Trachyt, der in dichter Grundmasse zahlreiche kleine Einsprenglinge von Sanidin führt. In der mikrofelsitähnlichen Grundmasse ist in reichlicher Menge eine dem Arfvedsonit nahestehende Hornblende in winzigen, unregelmäßig lappig begrenzten Körnchen vorhanden.

178. Wasserprobe des Sees im Krater Ngorongoro, siehe Abschnitt XII.

179. Hellgrauer Sapropelton. Bodenprobe des Ngorongorosees.

180. Schlackiger Augittrachyt. Ngorongoro, Olgeleruani-Berg; nahe dem Gipfel.

Stark schlackiges, graues Gestein, in dessen feinkörniger Grundmasse vereinzelte kleine Einspreng-

linge von Sanidin, weißlichem Plagioklas, der dem Andesin nahestehen dürfte, und von Augit liegen. Die Grundmasse besteht im wesentlichen aus fluidal angeordneten Sanidinleistchen, die von Plagioklas-mikrolithen begleitet werden, verhältnismäßig reichlichem diopsidischen Augit in winzigen Säulchen und auffallend viel Titaneisenglimmer, der sich stellenweise anreichert. Dem Reichtum an gefärbten Gemengteilen und Erz nach steht dieser Trachyt dem Arso-trachyt nahe. Olivin konnte jedoch in der vorliegenden Probe nicht nachgewiesen werden.

272. Steppenalk. Kraterboden von Ngorongoro.

Schmutzig-graues, fleckiges, dichtes, stellenweise etwas poröses Gestein, das in reichlicher Menge sehr feines Aschenmaterial, unter anderem winzige Augitkriställchen einschließt.

273. Aschentuff. Flacher Hügel im Westen des Kraterbodens.

Schmutzig-gelb-braunes, mittelkörniges, mürbes Gestein mit sehr rauher Oberfläche, dessen grobe Aschenteilchen durch radialstrahligen Arragonit verkittet sind. Seinem Aussehen nach ist es ein den limburgitischen Laven des Ngorongoro zugehöriger basaltischer Tuff.

274. Steppenalk. Kraterboden.

Schmutzig-hellgrauer, teilweise etwas poröser Kalk von ziemlich reiner Beschaffenheit.

275. Phonolithoider Trachyt. Westlicher Krater-
rand.

252. Limburgit. Ngorongoro, kleiner Lavastrom
im Südwesten des Kraterbodens.

Schwarzes, bräunlich geflecktes, stellenweise etwas poröses Gestein, das in sehr feinkörniger Grundmasse kleine Einsprenglinge von Olivin und von Titanaugit führt. Die Grundmasse besteht wesentlich aus Augit, reichlichem Magneteisen in winzigen Oktaëderchen, farblosem Glas und etwas Plagioklas, der stellenweise als Füllmasse zwischen den übrigen individualisierten Gemengteilen auftritt. In den bräunlichen Flecken ist der Augit gelbgefärbt, und neben dem Eisenerz findet sich etwas Pseudobrookit. Diese Umwandlung ist auf die Wirkung von Fumarolengasen zurückzuführen.

253. Augittrachyt. Ngorongoro, Südwest-Krater-
rand.

Dunkelgraues, porös-rauhes Gestein, das sich durch Fehlen von makroskopisch hervortretenden Gemengteilen kennzeichnet. Wie der Augittrachyt des Keleruani-Berges ist auch dieses durch reichlichen Gehalt an Eisenerzen und gefärbten Gemengteilen ausgezeichnet. Olivin als mikroporphyrischer Einsprengling konnte vereinzelt nachgewiesen werden. Demnach ist dieses Gestein dem Arso-trachyt nahe verwandt.

254. Hellgrauer löcheriger Mergel. Ngoron-
gorokrater, Südwestseite. Alter Seeabsatz des
Kratersees.

255. Trachytischer Aschentuff. Ngorongoro-
krater, Nordwestseite.

Feinkörniges, festes Gestein von schmutzig-bräunlich-grauer Farbe, das aus feinem Aschenmate-

rial besteht. Sicher bestimmbar sind Fragmente von Augit und von braunem Glimmer, die verhältnismäßig reichlich vorhanden sind neben Bruchstücken eines erzeichen, wohl trachytischen Gesteins.

b. Baumann-Hochland.

a. Ol Deani.

181. Trachydolerit. Loiropi-Gipfel, Ol Deani.

182. Trachydolerit. Fundort derselbe.

256. Trachydolerit. Ol Deani, Schlucht bei Ndo-
rossi.

257. Den Limburgiten nahestehender Basalt.
Parasitischer Hügel. Südostfuß des Deani.

Die Trachydolerite des Deani gehören dem basaltoiden Typus der Trachydoleritfamilie an und stehen den Essexitporphyriten Bröggers nahe. Es sind graue porphyrische Gesteine mit mehr oder weniger zahlreichen Einsprenglingen von dünntafeligem Plagioklas, sowie mehr vereinzelt von Olivin und von Augit in einer feinkörnigen Grundmasse, die wesentlich aus Plagioklas, Augit und Magneteisen besteht. Der Plagioklas der Grundmasse wird von etwas Sanidin begleitet. In dem Gestein der Schlucht bei Ndorossi, dessen Grundmasse schlierig gebändert erscheint, tritt der Plagioklas als intratellurische Ausscheidung mehr zurück. Nur ganz vereinzelt kleine Täfelchen von Plagioklas lassen sich neben kleinen Einsprenglingen von Augit und Olivin in der grauen feinkörnigen Grundmasse erkennen.

Das Gestein eines parasitischen Hügels am Südostfuß des Deani ist ein dunkelgraues bis fast schwarzes, porphyrisches Gestein mit zahlreichen, zum Teil etwas größeren Einsprenglingen von Titanaugit und frischem Olivin in einer feinkörnigen Grundmasse, die aus Augit, Magneteisen und etwas Plagioklas besteht. Zu diesen wesentlichen Gemengteilen tritt noch etwas Biotit und in sehr geringer Menge eine braune Hornblende hinzu. Es ist ein den Limburgiten nahestehender Basalt, der ebenso wie die Trachydolerite des Deani eine Ergußform eines essexitischen Magmas darstellt.

β. Malanja-Vulkan.

183. Nephelinitoider Phonolith. Südostfuß des
Malanja-Vulkans.

228 u. 229. Nephelinitoider Phonolith. Krater-
rand des Malanja-Vulkans.

Die Gesteine des Malanja-Vulkans sind den Nepheliniten des weiteren Gebiets nahestehende Phonolithe. Es sind dunkelgrünlich-graue porphyrische Gesteine, die in einer feinkörnigen bis dichten und mattglänzenden Grundmasse zahlreiche, teils nur kleinere, teils etwas größere Einsprenglinge von glasig frischem Nephelin und von Ägyrinaugit enthalten. Die mikroskopische Untersuchung hat ergeben, daß die Grundmasse im wesentlichen aus idiomorphem Nephelin, Leistchen von Sanidin, Säulchen von Ägyrin und in dem Gestein vom Südostfuß des Malanja einer reichlichen Glasbasis von bräunlicher Farbe besteht. Die Einsprenglinge

von Ägyrinaugit zeigen mehr oder weniger breite Ägyrinmäntel. Neben diesen Alkaliaugiten erscheint stellenweise in geringer Menge ein im durchfallenden Lichte farbloser diopsidischer Augit. Diese Gesteine sind außerdem durch einen reichlichen Gehalt an Titanit und an Apatit ausgezeichnet und führen spärlich Melanit. In einer Gesteinsprobe vom Kraterrand zeigt die Grundmasse trachytisches Gefüge; dieses Gestein, in dem neben dem Nephelin auch Sanidin in kleinen Täfelchen als intrallurische Ausscheidung erscheint, stellt also ein Übergangsglied zu den trachytoiden Phonolithen dar.

γ. Lemagrut.

184. Nephelinitoider Phonolith. Lemagrut. Lavastrom am Südhang.

Grau-grünes, porphyrisches Gestein, das in dichter, mattglänzender Grundmasse sehr zahlreiche, bis über 5 mm große Einsprenglinge von glasig frischem Nephelin und mehr vereinzelt kleinere von Ägyrinaugit führt. Der Habitus der gut ausgebildeten Nephelineinsprenglinge ist dicktafelförmig mit m und c. Die Grundmasse setzt sich im wesentlichen aus Nephelin, kleinen Leistchen von Sanidin und reichlichem Ägyrin in winzigsten Mikrolithen zusammen.

185. Trachydolerit (Typus Essexitporphyrit Brögger). Lemagrut, Gipfel β.
 186. Trachydolerit. Blaurote Lava am Südfuß des Lemagrut.
 187. Trachydolerit. Fundort derselbe.
 188. Trachydolerit. Fundort derselbe.
 189. Trachydolerit. Gerölle vom Nordwest-Njarasagrabenrand (zum Lemagrut gehörig).
 190. Schlackiger Trachydolerit. Gerölle vom Nordwest-Njarasagrabenrand.
 191. Limburgit. Gerölle vom Nordwest-Njarasagrabenrand.

Die Trachydolerite des Lemagrut sind dunkelgraue porphyrische Gesteine, die durch die Führung von Einsprenglingen eines dünntafeligen, kalkreichen Plagioklases neben solchen von Augit und Olivin ausgezeichnet sind. Es sind wie die Gesteine des Deani den Essexitporphyriten Bröggers entsprechende basaltoide Trachydolerite, deren Grundmasse wesentlich aus Plagioklas, der von etwas Sanidin und vielleicht Nephelin begleitet wird, Augit und Magneteisen oder Titaneisen besteht. Die blau-rote Lava des Lemagrut ist ein porös-rauhes, sehr feinkörniges Gestein, das nur sehr vereinzelt kleine Einsprenglinge enthält, sich aber im übrigen von den anderen Laven nicht unterscheidet.

Die am Nordwest-Njarasagrabenrand gesammelten Gerölle sind ebenfalls zum Teil Trachydolerite, die mit denen des Lemagrut vollkommen übereinstimmen. Auf den rauhwandigen Blasenräumen eines dieser Gerölle ist goldgelber Glimmer in kleinen Täfelchen ausgeschieden. Das als Limburgit bezeichnete Gestein besteht im wesentlichen aus Titanaugit, Olivin, reichlichem Magneteisen und

etwas Plagioklas und Biotit. Es entspricht in seiner Zusammensetzung dem limburgitähnlichen Gestein vom Südostfuß des Deani.

c. Winterhochland.

a. Ol Olmoti.

230. Limburgit. Olmotigipfel.

Ein schwarzes, kompaktes Gestein mit bräunlicher Verwitterungsrinde, das viele kleine Einsprenglinge von frischem grünlich-gelben Olivin in einer dichten Grundmasse enthält. Die Grundmasse besteht wesentlich aus Augitmikrolithen, reichlichem Magnetit in winzigsten Körnchen und einer farblosen Glasbasis. Neben dem Olivin erscheint in geringer Menge teilweise resorbierter Biotit, der einer älteren Phase der Gesteinsbildung angehört.

β. Embulbul.

231. Aschentuff. Oberer Rand des Embulbulkraters.

Schmutziggraues, etwas poröses Gestein, das aus feinem Aschenmaterial besteht. Nach dem mikroskopischen Befunde ist es ein Melilithbasaltuff, der viel Nephelinitmaterial enthält. Außer kleinen Melilithbasalttränen beteiligen sich an der Zusammensetzung dieses Tuffes in reichlicher Menge Bruchstücke von Nephelin, Melilith, Titanaugit, Ägyrinaugit und von Perowskit, Kriställchen von Melanit und Körner von Magneteisen, sowie kleine Täfelchen eines etwas ausgebleichten, bräunlich-gelben Biotits.

232. Trachydolerit. Untere südliche Kraterwand des Embulbulkraters.

Dunkelgraues bis schwärzliches Gestein, in dessen feinkörniger Grundmasse zahlreiche, meist nur kleine Einsprenglinge von Titanaugit und sehr dünntafeligem, glasig frischem Plagioklas, sowie mehr vereinzelt von Olivin eingebettet sind. Außerdem sind schon bei makroskopischer Beobachtung kleine schwarze und metallisch glänzende Körnchen von Magneteisen zu erkennen. Die sehr feinkörnige Grundmasse besitzt pilotaxitisches Gefüge und setzt sich im wesentlichen aus Mikrolithen von Plagioklas und wahrscheinlich auch von Sanidin, kleinen Säulchen und Körnern von Augit, winzigsten, lappig begrenzten Blättchen von Biotit und viel Magnetit in kleinen Körnchen zusammen.

γ. Elaneirobi.

233. Trachydoleritischer Brockentuff. Elaneirobi, südwestlicher Kraterrand.

Schmutzigbräunliches klastisches Gestein, das aus bis haselnußgroßen Trachydoleritbrocken und feinerem Aschenmaterial, sowie Bruchstücken von Augit besteht. Verkittet ist dieses Tuffmaterial durch Aragonit.

234. Nephelinit. Südlicher Kraterrand des Elaneirobi.

235. Leucitnephelinit. Somma des Elaneirobi, Jaegergipfel.

244. Nephelinit. Elaneirobikraterboden, zwischen großem und kleinem Salzsee.

Die Nephelinite des Elaneirobi sind dunkelgraue, zum Teil dunkelgrünlich-graue bis fast schwarze porphyrische Gesteine mit zahlreichen, teils kleineren, teils etwas größeren Einsprenglingen von Nephelin, der bald glasig frisch, bald weißlich getrübt ist, sowie solchen von Titanaugit, seltener von Aegyrinaugit in feinkörniger bis dichter Grundmasse. In dem Leucitnephelinit tritt zu dem Nephelin noch reichlich Leucit in kleinen, makroskopisch nicht hervortretenden Kriställchen hinzu. Die Grundmasse dieser Gesteine besteht wesentlich aus Nephelin, Augit und auffallend viel Magnet Eisen. In dem Gestein des Kraterbodens zwischen dem großen und kleinen Salzsee tritt zu diesen Gemengteilen noch eine bräunliche Glasbasis hinzu. Diese Gesteine gehören einem femischen Typus der Nephelinitfamilie an. Sie sind aber stellenweise durch Führung von leukokraten Schlieren ausgezeichnet, in denen an Stelle des Titanaugits Aegyrinaugit tritt und stellenweise in geringer Menge auch Sanidin neben dem Nephelin erscheint.

236. Trachydolerit. Ende des Lavastromes auf der Südseite des Elaneirobikraterbodens.
245. Trachydolerit. Südliche Kraterwand des Elaneirobi.
246. Trachydolerit. Fundort wie 245.
247. Kalksinter. Alter Quellabsatz; Elaneirobi-Kraterwand.
248. Trachydoleritischer Tuff. Krater des Elaneirobi.
237. }
249. } Wasserproben aus den Seen des Elaneirobi-
250. } kraters, siehe Abschnitt XII.
251. }

Die Trachydolerite des Elaneirobi sind ebenfalls zum Teil den Essexitporphyriten Bröggers nahestehende Gesteine, die in einer dunkelgrauen, feinkörnigen Grundmasse zum Teil etwas größere Einsprenglinge von dünn tafeligem Plagioklas, sowie solche von Augit und Olivin enthalten. Das Gestein der südlichen Kraterwand ist ein tief dunkelgrauer, basaltähnlicher Trachydolerit mit vielen kleinen Einsprenglingen von Augit und Olivin in einer feinkörnigen, ausgesprochen trachytoiden Grundmasse.

δ. Loolmalassin.

238. Trachydolerit. Loolmalassin, Hettnergipfel.

Dunkelgrünlich-graues, porphyrisches Gestein mit vielen kleinen Einsprenglingen von dünn tafeligem Plagioklas und von Augit in einer feinkörnigen Grundmasse, die sich aus Plagioklas, reichlichem Sanidin, Nadelchen von Aegyrinaugit, kleinen Täfelchen von Biotit und spärlicher tiefdunkelbrauner, barkevikitischer Hornblende und Magnet Eisen zusammensetzt. Ein Gehalt an Nephelin oder eines ihn ersetzenden Minerals der Sodalithgruppe konnte mit Sicherheit nicht festgestellt werden. Dieser

Mitteilungen a. d. D. Schutzgebieten, Ergänzungsheft 4.

Trachydolerit dürfte den phonolithoiden Trachydoleriten des Loolmalassin, die Rosenbusch¹⁾ beschreibt, sehr nahestehen.

ε. Ol Ossirwa.

239. Trachydolerit. Ossirwa, Gipfel der Zentralkuppe.
240. Nephelinbasanit. Fundort derselbe.
241. Trachydolerit. (Typus Essexitporphyrit Brögger.) Ossirwa, kleiner Lavastrom im Atrium.
242. Nephelinbasanit. Ossirwa, Gipfel des Westgrates der Somma.
243. Verwitterte Asche. Lockerer, dunkelbrauner Boden des Ossirwa am Südwesthang.

Der Trachydolerit vom Gipfel der Zentralkuppe des Ossirwa ist ein etwas porös-rauhes Gestein von grauer Farbe, auf dessen vereinzelt Blasenräumen sich weißliche Zeolithkrusten angesiedelt haben. In der feinkörnigen Grundmasse liegen kleine, selten etwas größere Einsprenglinge von Augit und von Olivin. Nach dem mikroskopischen Befunde setzt sich die Grundmasse aus Plagioklas, verhältnismäßig viel Sanidin, etwas Nephelin, Säulchen von Augit, Blättchen von Biotit und Titaneisen, das zum Teil in winzigen keuligen Gebilden erscheint, sowie einer spärlichen gelblichen Glasbasis zusammen. Als Trachydolerit ist das Gestein durch hohen Gehalt an gefärbten Gemengteilen gekennzeichnet.

Das Gestein des kleinen Lavastromes im Atrium des Ossirwa ist ein dunkelgrauer, im angewitterten Zustande hellgrauer Trachydolerit, der in einer feinkörnigen Grundmasse zahlreiche Einsprenglinge von sehr dünn tafeligem Plagioklas, die parallel angeordnet sind, sowie solche von Augit und mehr vereinzelt von Olivin enthält. Die Grundmasse besteht aus Leistchen von Plagioklas und von Sanidin, etwas Nephelin als Zwickelausfüllung zwischen den Feldspatleistchen, der sich stellenweise anreichert, Augit in kleinen Säulchen, der zum Teil dem Aegyrinaugit angehört, spärlicher tiefbrauner Hornblende, Körnchen von Magnet Eisen und etwas Titaneisen, sowie Apatit in verhältnismäßig reichlicher Menge.

Die Nephelinbasanite des Ossirwa sind dunkelgraue bis schwärzliche Gesteine mit vielen zum Teil größeren Einsprenglingen von Augit und Olivin in einer feinkörnigen Grundmasse, die aus Plagioklas, Nephelin, Augit, etwas Biotit und reichlichem Magnetit besteht. Der Feldspat und der Nephelin bilden zwischen den idiomorph begrenzten Augitkriställchen der Grundmasse eine Art Füllmasse in derselben Weise, wie die Nephelinfüllmasse in den Nephelinbasalten.

17. Njarasagraben.

a. Südostufer.

126. Hellbrauner sandiger Lehm. Alluvialboden nahe der Südecke des Njarasasees.

¹⁾ Rosenbusch, Mikroskop. Physiogr., 4. Aufl., 2. Bd., 2. Hälfte, S. 1345.

127. Kalksinterkruste eines Baumstammes. Südöstliches Ufer des Njarasasees.
128. Salzhaltige Soda, weißliche, lockere Salzkrusten. Südostufer des Njarasasees.
129. Schwach kalkiger dunkelgrauer Sapropelton mit nachträglichen Gipsausblühungen. Südostufer des Njarasasees.
130. Wasserprobe des Njarasasees. Siehe Abschnitt XII.
132. Kalkkrusten. Ufer des Sibitiffusses.

b. Nordwestlicher Njarasagrabenrand.

192. Zweiglimmergneis. Gerölle aus einem Trockenbett am Nordwest-Njarasagrabenrand nahe dem Lemagrut.

Verhältnismäßig grobkörniges Gestein, das auch im Handstück deutliche Lagenstruktur erkennen läßt und im wesentlichen aus Quarz, Orthoklas, Biotit und Muskovit besteht.

193. Skapolithamphibolit. Gerölle. Fundort wie 192.

Mittelkörniges, grau-grünes Gestein, das deutliche Lagenstruktur erkennen läßt. Auf der angewitterten Fläche erscheint das Gestein weiß und grün gefleckt. Es besteht dem mikroskopischen Befunde nach im wesentlichen aus grüner Hornblende, Skapolith, Epidot und verhältnismäßig viel Titanit in kleinen Körnchen.

194. Glimmerschieferartiger Biotitgneis. Gerölle. Fundort wie 192.

Dunkelgraues, mittelkörniges Gestein, das auf dem Hauptbruch deutliche Lagenstruktur erkennen läßt, die jedoch im Querbruch nicht hervortritt. Es besteht im wesentlichen aus Quarz, Feldspat und dunklem Glimmer.

195. Glimmerschiefer. Gerölle. Fundort wie 192.

Deutlich geschiefertes Gestein, das wesentlich nur aus Quarz und Muskovit besteht. Auf dem Hauptbruch tritt nur der verhältnismäßig großblättrige Glimmer in Erscheinung; im Querbruch dagegen läßt sich erkennen, daß sich an der Zusammensetzung des Gesteins Quarz in reichlicher Menge beteiligt, der zwischen dem ihn faserig umhüllenden Glimmer dünne linsenförmige Lagen bildet.

196. Hornblende führender Quarzit. Gerölle. Fundort wie 192.

Rötlich-graues, mittelkörniges, hartes Gestein mit ebenem Bruch, das wesentlich aus Quarz und etwas grüner Hornblende, sowie spärlichem Plagioklas und Apatit besteht. Die Hornblende reichert sich in feinen Lagen etwas an, so daß eine ausgesprochene Lagenstruktur sich erkennen läßt.

197. Glimmerquarzitschiefer. Gerölle. Fundort wie 192.

Deutlich geschiefertes Gestein von rein weißer Farbe, das wesentlich aus Quarz und hellem Glimmer

besteht. Im Querbruch zeigt das Gestein zucker-körniges Gefüge. Die feinen Glimmerblättchen, die der Schieferung parallel gelagert sind, treten nur im Hauptbruch hervor und verleihen dem Gestein bei oberflächlicher Betrachtung ein glimmerschieferartiges Aussehen.

198. Melilithbasalttuff. Gerölle. Fundort wie 192.

Verhältnismäßig grobkörniger, weißlich gefleckter Aschentuff von bräunlich-grauer Grundfarbe, der sich wesentlich aus kleinen Melilithbasalt-Lapillis und zahlreichen Bruchstücken von Aegyrinaugit neben vereinzelt von Nephelin und Melanit zusammensetzt. Der Tuff ist durch zeolithisches Bindemittel verfestigt.

199. Feinkörniger Biotitgneis. Geröll. Fundort wie 192.

Feinkörniges, rötlich-graues Gestein mit deutlicher Lagenstruktur, das im wesentlichen aus Quarz, Mikroklin und Biotit besteht.

200. Nephelinit. Deckenartiger Lavastrom vom Lemagrut.

Tiefgrünes, porphyrisches Gestein, das in feinkörniger Grundmasse zahlreiche bis über 5 mm große Einsprenglinge von glasig-frischem Nephelin und kleinere von schlank prismatischem Aegyrinaugit enthält.

201. Zersetzter Tuffit. Nordwest-Njarasagrabenrand.

Feinkörniges, mürbes, deutlich geschichtetes Gestein von hellbräunlich-gelber Farbe, dessen Komponenten zum größten Teil unter reichlicher Neubildung von Carbonaten zersetzt sind. Vereinzelt Bruchstücke von Perowskit und Blättchen von braunem Glimmer lassen auf umgelagertes Material eines Melilithbasaltaschentuffs schließen.

202. Kalkader im Tuffit (Nr. 201).

203. Bekinkinit. Kopfgroßer Block aus den Basalttuffen. Nordwest-Njarasagrabenrand.

Hypidiomorph-körniges Tiefengestein, das wesentlich aus glasig-frischem Nephelin, Olivin und zahlreichen kleinen, scharf ausgebildeten, schwarzen Oktaëderchen, eines perowskitähnlichen Minerals, das von O. Hauser¹⁾ auf Grund einer von ihm ausgeführten Analyse als ein neues, der Keilhaut-Zirkelitreihe zugehöriges Mineral erkannt und als Uhligit benannt wurde, besteht.

204. Nephelinitoider Phonolith. Deckenartiger Strom vom Lemagrut. Nordwest-Njarasagrabenrand.

Bräunlich-grünes Gestein, das in feinkörniger Grundmasse größere Einsprenglinge von glasig-frischem, tafeligem Sanidin und etwas kleinere von frischem Nephelin und von Aegyrinaugit führt.

205. Probe fehlt.

206. Granitgneis. Anstehend Nordwest-Njarasagrabenrand.

¹⁾ Otto Hauser, Über die Keilhaut-Zirkelitgruppe und ein neues dieser angehöriges Mineral. Zeitschr. für Anorgan. Chemie, 1909, Heft 4, S. 340.

- Mittelkörniges, hellgraues Gestein, das im Handstück keine Lagenstruktur erkennen läßt. Es besteht im wesentlichen aus Quarz, Orthoklas und Biotit.
207. Amphibolit. Linsenförmige Lager im Granitgneis.
Dunkelgrünes, etwas hellgeflecktes, feinkörniges Gestein, das deutlich geschiefert ist und nach dem mikroskopischen Befunde im wesentlichen aus grüner Hornblende, Plagioklas und etwas Biotit besteht. Zu diesen Gemengteilen treten noch Titanit, Apatit und Magneteisen hinzu.
208. Wasserprobe vom Njarasasee, siehe Abschnitt XII.
209. Schwach kalkiger, bräunlicher Ton. Grundprobe des Njarasasees.
210. Lehmiger Sand. Bodenprobe einer Uferbank des Njarasasees.
Leicht zerreibliches, feinkörniges, lehmig-sandiges Gestein von bräunlich-grauer Farbe.
211. Porphyrischer Granit. (Dem Jrambagranit sehr ähnlich.) Nordwest-Njarasagrabenrand. Plateauhöhe bei der „Hohen Ecke“.
Ein im wesentlichen aus Quarz, Orthoklas und dunklem Glimmer bestehender Granitit von rötlicher Farbe und mittlerer Korngröße, der größere Einsprenglinge von Orthoklas enthält.
212. Feinkörniger Granitit. Nordwest-Njarasagrabenrand. Plateauhöhe bei der „Hohen Ecke“.
Feinkörniges, verhältnismäßig helles Gestein, das sich wesentlich aus Quarz, Orthoklas, saurem Plagioklas und Biotit zusammensetzt. Die Gemengteile lassen deutliche Druckerscheinungen erkennen, so ist der Quarz in zuckerkörnige Aggregate zertrümmert, ferner zeigen die Zwillingslamellen des Kalknatronfeldspats sowie die Biotittäfelchen schwache Biegungen.
213. Amphibolit. Nordwest-Njarasagrabenrand. Plateauhöhe bei der „Hohen Ecke“.
Dunkelgrau-grünes, sehr feinkörniges Gestein, das im Handstück keine Lagenstruktur erkennen läßt. Es besteht wesentlich aus grüner Hornblende, Plagioklas in feinen, zuckerkörnigen Partien und Erz.
214. Amphibolite (aus Diabas hervorgegangen in verschiedenen Umwandlungsstadien). Abfall der „Hohen Ecke“.
Mittelkörnige, dunkelgrünlich-graue Gesteine, die zum Teil die ursprüngliche ophitische Struktur des primären Gesteines schon bei makroskopischer Beobachtung erkennen lassen. Sie bestehen wesentlich aus grüner Hornblende, Plagioklas und Titaneisen, sowie etwas Leukoxen, der aus letzterem hervorgegangen ist, und stellenweise spärlichem Zoisit. Reste des dem ursprünglichen Diabas eigenen Pyroxen sind in keiner der vorliegenden Proben nachgewiesen worden.
215. Zweiglimmergneis. Abfall der „Hohen Ecke“.
Stark geschiefert, feinkörniges Gestein, das sich wesentlich aus Quarz, Orthoklas, Muskovit und Biotit zusammensetzt. Im Hauptbruch treten die Glimmerblättchen stark in Vordergrund, so daß das Gestein ein glimmerschieferartiges Aussehen erhält.
216. Biotitgneis. Bunter Schluchtausgang am nordwestlichen Njarasagrabenrand.
Feinkörniges, stark schieferiges Gestein, das im Hauptbruch wesentlich nur kleine, gestreckte Täfelchen von braunem Glimmer erkennen läßt. Im Querbruch zeigt sich, daß neben dem Biotit in reichlicher Menge farblose Gemengteile vorhanden sind, die dem mikroskopischen Befunde nach als Quarz und Plagioklas erkannt wurden. Die Struktur dieses Gesteines ist ausgesprochen hornfelsartig.
- 217a. Feinschieferiger Amphibolit. Fundort wie 216.
Sehr feinkörniges, feingeschieferetes Gestein von dunkelgrüner Farbe, das wesentlich aus grüner Hornblende und Plagioklas besteht und accessorisch Rutil führt.
- 217b. Amphibolit. Fundort wie 216.
Dunkelgrau-grünes, feinkörniges Gestein mit vereinzelt größeren Blättchen von Talk, an dessen Zusammensetzung wesentlich nur grüne Hornblende und Plagioklas in zuckerkörnigen Partien beteiligt sind.
218. Pegmatit. Fundort wie 216.
Kleines Stück eines grobkörnigen, aus Quarz und Orthoklas bestehenden Gesteines, das ein Stück verhältnismäßig grobkörnigen Amphibolits einschließt.
219. Amphibolit. Fundort wie 216.
Dunkelgrünes, verhältnismäßig grobkörniges, weißgeflecktes Gestein, das wesentlich aus großen nadelförmigen Kristallen von grüner Hornblende und aus Plagioklas, der die Zwischenräume zwischen den Hornblendenadeln erfüllt, sowie etwas Titanit besteht. Lagenweise tritt der Feldspat mehr in Vordergrund in feinen zuckerkörnigen Massen, in denen viele bis etwa 1 cm lange Nadeln von Hornblende eingebettet sind.
220. Granatführender Amphibolit. Fundort wie 216.
Schmutziggrau-grünes, deutlich geschiefertes Gestein, das in einer feinkörnigen, wesentlich aus grüner Hornblende, Plagioklas, frischem Biotit und Titaneisen bestehenden Grundmasse vereinzelt kleine Granaten enthält.
221. Amphibolit. Fundort wie 216.
Stark geschiefert, Gestein, das aus schmäleren, dunkelgrünen, hornblendereichen und breiteren, weißlichen, plagioklasreichen Lagen mit vielen großen Hornblendekristallen besteht.
222. Talkschiefer. Fundort wie 216.
Sehr dünnblättriges, etwas gefaltetes Gestein von phyllitischem Aussehen, das wesentlich aus Talk und etwas Eisenerz besteht.
- 223 u. 224. Zweiglimmergneis. (Sedimentgneis.) Fundort wie 216.
Feinkörnige, hellgraue Gesteine, die im Hauptbruch Lagenstruktur, die im Querbruch nicht her-

vortritt, erkennen läßt. Feine, gestreckte Glimmertäfelchen erscheinen in feinen Lagen in dem Gestein, das im übrigen wesentlich aus Quarz, etwas Plagioklas, Biotit und Muskovit besteht. In geringer Menge wurde neben diesen Gemengteilen bei der mikroskopischen Untersuchung Granat beobachtet.

225. Granitgneis. Fundort wie 216.
Mittelkörniges, graues Gestein, das deutliche Lagenstruktur zeigt und sich wesentlich aus Quarz, Orthoklas, Mikroklin und Biotit besteht. Mikroskopisch wurde auch ein kleiner Gehalt an Epidot nachgewiesen.
226. Grobkörniger flaseriger Granitgneis. Fundort wie 216.
227. Dolomitischer dichter Kalk. Gänge in den Gneisen und Amphiboliten mit Einschlüssen von Talkschiefer. Fundort wie 216.

c. Südöstlicher Njarasagrabenrand.

258. Alkalitrachyt. Südost-Njarasagrabenrand.
Graues, porös-rauhes Gestein mit vielen kleinen Einsprenglingen von glasig-frischem Sanidin in einer sehr feinkörnigen Grundmasse, die nach dem mikroskopischen Befunde ein vollkommen entglastes, stark schlieriges Glas darstellt. Neben dem Sanidin finden sich spärliche Körner von Aegyrinaugit und ganz vereinzelt Cossyrit als mikroporphyrische Einsprenglinge.

18. Hohenlohegraben.

134. Feinkörniger Gneis. Südöstlicher Grabenrand.
Feinkörniges, graues, hellefintartiges Gestein, das sich im wesentlichen aus Quarz, Orthoklas, dem Oligoklas nahestehendem Plagioklas und etwas Chlorit, der aus Biotit hervorgegangen ist, zusammensetzt.
135. Quarzit. Kinjangiru-(Harara)-Berg.
Dichtes bis feinkörniges, weißlich und rötlich-grau geflecktes Gestein, das wesentlich aus Quarz besteht und von vereinzelt Quarzadern durchzogen ist.
136. Olivindiabas. Südöstlicher Grabenrand beim Kinjangiru-(Harara)-Berg.
Mittelkörniges, dunkelgraues Gestein von ausgesprochen ophitischem Gefüge, das wesentlich nur aus Plagioklas, Augit, Olivin und etwas Erz besteht. Der Augit zeigt stellenweise Umwandlung in wirrfaserige Aggregate von hellgrüner Hornblende.

19. Iraku-Maussa.

71. Probe fehlt.
72. Wasserprobe, Chuntejbach.
73. Gelbbrauner, staubfeiner Ocker, Chuntejbach.
74. Probe fehlt.

75. Biotitgranit. Oberer Baschenedbach.

Hypidiomorph-körniges, schwach gepreßtes Gestein von mittlerer Korngröße, das wesentlich aus weißlichem, zuckerkörnigem Quarz, Orthoklas und verhältnismäßig viel Biotit besteht.

105. Muskovitgneis. Am Abfluß des Madumega-secs.
Weißlich-graues, stark geschiefertes Gestein von feiner bis mittlerer Korngröße, das sich wesentlich aus Quarz, Feldspaten und Muskovit zusammensetzt.
106. Gepreßter, feinkörniger Granit. Laghangaberge.
Feinkörniges, granitisches Gestein von rötlich-grauer Farbe, das wesentlich aus Quarz, Orthoklas, Plagioklas und spärlichem Biotit besteht und deutliche Pressungserscheinungen erkennen läßt.
259. Quarz. Maraberg (Iraku).

260. Skapolithführender Plagioklasamphibolit. Iraku, Chuntejbach.

Mittelkörniges, weiß- und dunkelgrüngeflecktes Gestein, das deutliche Lagenstruktur zeigt und sich wesentlich aus grüner Hornblende, Plagioklas, Skapolith und verhältnismäßig viel Titanit neben spärlichem Titaneisen zusammensetzt.

261. Hornblendeschiefer. Iraku, beim Jumben Gehandu.

Dunkelgrünes, feinfilziges Gestein, das wesentlich nur aus Nadelchen von grüner Hornblende und etwas Talk in feinen Blättchen besteht.

262. Talkschiefer. Iraku, bei Gehandu.

Aus dem Vorigen hervorgegangenes, feinschuppiges Gestein, das in der Hauptsache aus feinen Schüppchen von Talk und etwas grüner Hornblende zusammengesetzt ist.

263. Granitit. Mburru (Iraku), Gipfel der Labahügel.

Mittelkörniges, granitisches Gestein von grauer Farbe, das wesentlich aus Quarz, Orthoklas, Mikroklin und Biotit besteht.

20. Engotiekplateau.

264. Arfvedsonittrachyt. Südlich des Dilibergeres.
Hellgraues Gestein mit vereinzelt kleinen Einsprenglingen von tafeligem Sanidin in einer feinkörnigen Grundmasse, die wesentlich aus Sanidin, lappigem Arfvedsonit und etwas Cossyrit besteht.
265. Epidotierter Granit. Diliberggipfel.
266. Kalkkruste. Diliberggipfel.
Feinkörniger Kalk mit Einschlüssen von unfrischem Biotit, der offenbar Krusten auf den Graniten bildet.
267. u. 268. Epidotierter Granit. Südabhang des Dilibergeres.

Mittelkörnige Granite, die wesentlich aus Quarz und Mikroklin bestehen. Gefärbte Gemengteile sind nicht nachzuweisen, dagegen sind diese Gesteine reich an Epidot, der in den vorliegenden Proben zum Teil auch schmale Trümer bildet. In dem Gestein des Diliberggipfels, das durch Ausscheidung von

Limonit schmutzig-braungefärbt erscheint, tritt der Quarz stark zurück.

269. Kalk mit Magneteisenkristallen. Südabhang des Diliberggipfels.

Löcherig zerfressener bräunlicher Kalk, der zahlreiche bis 1 cm große, sehr unregelmäßig ausgebildete Kristalle von Magneteisen, Blättchen von unfrischem, stark ausgebleichtem Biotit und mehr vereinzelte Bruchstücke von Feldspat einschließt. Auf Anwitterungsflächen sind die Magnetitkristalle teilweise ausgewittert. Ob dieses Gestein als ein in Kalk umgewandelter Tuff anzusehen ist, läßt sich aus dem vorliegenden Handstück mit Sicherheit nicht entscheiden.

270a. Arfvedsonittrachyt. Südwestflügel der Diliberggruppe.

Blaugraues Gestein mit kleinen Einsprenglingen von Sanidin in einer dichten Grundmasse von felsitischem Gefüge, die Andeutung einer Fluidalstruktur

zeigt und im wesentlichen aus Sanidin, Arfvedsonit, Cossyrit und einem hellbräunlichen wirr- oder radialfaserigen glimmerähnlichen Mineral besteht.

270b. Zersetzter Arfvedsonittrachyt. Fundort derselbe.

Gelblich-graues, porös-rauhes, tuffartiges Gestein mit vielen kleinen Einsprenglingen von Sanidin und vereinzelt brockenartigen Partien. Auf kleinen langgezogenen Drusen sitzen zahlreiche schlanke Nadelchen von Alkalihornblende. Die Grundmasse der kleinen Brocken ist ausgesprochen trachytisch, dagegen zeigt das sie umgebende Gestein felsitisches Gefüge und erscheint schlierig-fluidal. Dieser Trachyt, dessen Grundmasse zum Teil ursprünglich glasig, vielleicht bimssteinartig entwickelt war, ist also durch eutaxitische Struktur ausgezeichnet.

271. Lateriteisenerz. Westlich des Diliberges.

272 — 275 siehe Ngorongoro.

XII. Chemische Analysen einiger Wasser- und Bodenproben.

Die Kgl. geologische Landesanstalt in Berlin hat auf meinen Antrag etliche Wasser- und Bodenproben meiner geologischen Sammlung durch Herrn Dr. Arthur Böhm analysieren lassen, wofür ich hier meinen besten Dank abstatte. Die bei jeder Probe angegebene Nummer ist die Nummer der Probe in meiner geologischen Sammlung. Die speziellen Gewichte wurden am Fundort selbst bestimmt.

Nr. 23. Salz aus Überschwemmungsgebiet des Pangani, den Boden in Vertiefungen bedeckend, nachdem das Wasser eingetrocknet ist.

Qualitative Analyse.
Auszug mit conc. HCl.

Eisenoxyd	} ziemlich reichlich
Tonerde	
Kalk	vorhanden
Magnesia	sehr geringe Spuren
Natriumoxyd	reichlich
Kaliumoxyd	wenig
Lithiumoxyd	nicht vorhanden
Schwermetalle außer Fe	nicht vorhanden
Rückstand vom Auszug	sandig-tonig
Kohlensäure	reichlich
Schwefelsäure	vorhanden
Phosphorsäure	Spuren.

Einzelbestimmungen.

Salpetersäure	nicht vorhanden
Chlor	geringe Menge
Brom	} nicht vorhanden.
Jod	

Nr. 72. Wasserprobe. Chuntejbach, Iraku.

Allgemeine Eigenschaften.

Aussehen Das Wasser enthielt einen Bodensatz von Eisen-Tonerdehydrat; das filtrierte Wasser war farblos

Geruch	geruchlos
Geschmack	—
Reaktion	neutral
Spez. Gewicht	
Rückstand bei 180°	0,0122%

Analyse des Rückstandes nicht ausgeführt.

Nr. 104. Wasserprobe. Nordöstlicher Zufluß des Balangdasees (Abfluß des Baschenedsumpfes).

Allgemeine Eigenschaften.

Aussehen	Das Wasser hatte einen sehr geringen Bodensatz; das filtrierte Wasser hatte hellgelbe Farbe und wurde nach kurzem Stehen an der Luft milchig trübe
Geruch	deutlich nach H ₂ S. In frischem Zustande nicht wahrgenommen
Geschmack	in frischem Zustande etwas erdig schmeckend
Reaktion	neutral
Spez. Gewicht	—
Rückstand	0,0586%

Analyse des Rückstandes nicht ausgeführt.

Nr. 102. Wasserprobe. Balangdasee, uferfernste Gegend im SW des Sees.

Allgemeine Eigenschaften.

Aussehen	Das Wasser enthält einen dunkelgrauen tonigen Bodensatz; das filtrierte Wasser war gelb gefärbt
Geruch	unangenehm, z. T. nach H ₂ S
Geschmack	—
Reaktion	stark alkalisch
Spez. Gewicht	1,102 bei 18°.

Analyse des Rückstandes.

Tonerde	} 0,0025% } fehlt	Bariumoxyd
Eisenoxyd		Strointiumoxyd
Manganoxydul		Calciumoxyd

Magnesia	fehlt	Kohlensäure ge-	
Kaliumoxyd	0,1480%	bunden	1,8997%
Natriumoxyd	6,3780%	Schwefelwasserstoff	—
Lithiumoxyd	fehlt	Chlor	3,1100%
Ammoniak	—	Brom	fehlt
Kieselsäure	0,0025%	Jod	fehlt
Schwefelsäure	1,3535%	Organische Substz.	
Salpetersäure	—	(Verbrauch an	
Salpetrige Säure	—	$\frac{1}{100}$ K Mn O ₄)	—
Phosphorsäure	—		
12,8942%			

Nr. 101. Salzkruste vom Südufer des Balangdasees.

Qualitative Analyse.
Auszug mit conc. HCl.

Eisenoxyd	} ziemlich reichlich
Tonerde	
Kalk	vorhanden
Magnesia	Spuren
Natriumoxyd	reichlich
Kaliumoxyd	geringe Spuren
Lithiumoxyd	nicht vorhanden
Schwermetalle außer Fe	nicht vorhanden
Rückstand vom Auszug	sandig
Kohlensäure	reichlich
Schwefelsäure	ziemlich reichlich
Phosphorsäure	geringe Spuren.

Einzelbestimmungen.

Salpetersäure	nicht vorhanden
Chlor	etwas größere Menge
Brom	} nicht vorhanden.
Jod	

Nr. 115. Wasserprobe. See im Krater VI der Marlandschaft.

Allgemeine Eigenschaften.

Aussehen	Das Wasser enthielt einen gelbbraunen lehmigen Bodensatz, der z. T. von aufgequollenen Papierfetzen herrührte; auch waren geringe Mengen Pflanzenreste beigemischt; das filtrierte Wasser war gelb gefärbt.
Geruch	deutlich nach H ₂ S
Geschmack	—
Reaktion	stark alkalisch
Spez. Gewicht	1,014 bei 30°.

Analyse des Rückstandes:

Tonerde	} 0,0003%	Salpetersäure	—
Eisenoxyd		Salpetrige Säure	—
Manganoxydul	} fehlt	Phosphorsäure	—
Bariumoxyd		Kohlensäure ge-	
Strontiumoxyd		bunden	0,3124%
Calciumoxyd	} 0,0028%	Schwefelwasserstoff	—
Magnesia		Chlor	0,6177%
Kaliumoxyd	0,0246%	Brom	fehlt
Natriumoxyd	0,9546%	Jod	fehlt
Lithiumoxyd	fehlt	Organische Substz.	
Ammoniak	—	(Verbrauch an	
Kieselsäure	0,0016%	$\frac{1}{100}$ K Mn O ₄)	—
Schwefelsäure	0,0796%		
1,9936%			

Nr. 118. Salzausblüfung. Mare südl. Tungobesch, Paß zwischen Krater VII und VIII.

Qualitative Analyse.
Auszug mit conc. HCl.

Eisenoxyd	} vorhanden
Tonerde	
Kalk	deutlich vorhanden
Magnesia	deutlich vorhanden
Natriumoxyd	vorhanden
Kaliumoxyd	geringe Menge
Lithiumoxyd	nicht vorhanden
Schwermetalle außer Fe	nicht vorhanden
Rückstand vom Aufschluß	gering, sandig
Kohlensäure	deutlich vorhanden
Schwefelsäure	nicht vorhanden
Phosphorsäure	geringe Menge.

Einzelbestimmungen.

N ₂ O ₅	nicht vorhanden
Chlor	geringe Menge
Brom	} nicht vorhanden.
Jod	

Nr. 133. Wasserprobe. Jaidasumpf.

Allgemeine Eigenschaften.

Aussehen	Das Wasser enthält einen geringen Bodensatz; das filtrierte Wasser war ungefärbt
--------------------	--

Geruch	—
Geschmack	—
Reaktion	neutral
Spez. Gewicht	0,996 bei 34,0°
Rückstand bei 180°	0,0215%

Analyse des Rückstandes nicht ausgeführt.

Nr. 128. Salzkruste auf zeitweilig trockenem Boden vom SO-Ufer des Njarasasees.

Qualitative Analyse.
Auszug mit conc. HCl.

Eisenoxyd	} vorhanden
Tonerde	
Kalk	geringe Menge
Magnesia	sehr geringe Spuren
Natriumoxyd	reichlich
Kaliumoxyd	geringe Spuren
Lithiumoxyd	nicht vorhanden
Schwermetalle außer Fe	nicht vorhanden
Rückstand vom Auszug	gering, sandig
Kohlensäure	reichlich
Schwefelsäure	vorhanden
Phosphorsäure	geringe Spuren.

Einzelbestimmungen.

Salpetersäure	nicht vorhanden
Chlor	etwas größere Menge
Brom	} nicht vorhanden.
Jod	

Nr. 129. Bodenprobe. SO-Ufer des Njarasasees; zeitweise nicht überflutet.

Qualitative Analyse.
Auszug mit conc. HCl.

Eisenoxyd	} reichlich
Tonerde	
Kalk	deutlich vorhanden

Magnesia	Spuren
Natriumoxyd	reichlich
Kaliumoxyd	geringe Spuren
Lithiumoxyd	nicht vorhanden
Schwermetalle außer Fe	nicht vorhanden
Rückstand vom Auszug	reichlich tonig mit sandigen Beimengungen
Kohlensäure	reichlich
Schwefelsäure	nicht vorhanden
Phosphorsäure	geringe Mengen

Einzelbestimmungen.

Salpetersäure	nicht vorhanden
Chlor	etwas größere Menge
Brom	} nicht vorhanden.
Jod	

Nr. 208. Wasserprobe. Njarasasee, nordöstl. Teil.

Allgemeine Eigenschaften.

Aussehen	Das Wasser enthielt einen hellgrauen tonigen Bodensatz; das filtrierte Wasser war gelb gefärbt.
Geruch	schwach nach H ₂ S
Geschmack	—
Reaktion	alkalisch
Spez. Gewicht	1,006 bei 32,5°

Analyse des Rückstandes.

Tonerde	} 0,0006%	Salpetersäure	—
Eisenoxyd		Salpetrige Säure	—
Manganoxydul	—	Phosphorsäure	—
Bariumoxyd	} fehlt	Kohlensäure gebunden	0,1386%
Strontiumoxyd		Schwefelwasserstoff	—
Calciumoxyd		Magnesia	0,0007%
Magnesia	0,0007%	Chlor	0,4366%
Kaliumoxyd	0,0066%	Brom	fehlt
Natriumoxyd	0,6036%	Jod	fehlt
Lithiumoxyd	fehlt	Organische Substz. (Verbrauch an 1/100 K Mn O ₄)	—
Ammoniak	—		
Kieselsäure	0,0110%		
Schwefelsäure	0,0341%		

1,2318%

Nr. 209. Grundprobe aus dem Njarasasee, 3 km vom NW-Ufer.

Qualitative Analyse.

Auszug mit conc. HCl.

Eisenoxyd	} reichlich
Tonerde	
Kalk	deutlich vorhanden
Magnesia	vorhanden
Natriumoxyd	vorhanden
Kaliumoxyd	Spuren
Lithiumoxyd	nicht vorhanden
Schwermetalle außer Fe	nicht vorhanden
Rückstand vom Auszug	reichlich, tonig mit sandigen Beimengungen
Kohlensäure	vorhanden
Schwefelsäure	nicht vorhanden
Phosphorsäure	geringe Menge.

Einzelbestimmungen.

Salpetersäure	nicht vorhanden
Chlor	geringe Menge

Brom	} nicht vorhanden.
Jod	

Nr. 178. Wasserprobe. See von Ngorongoro.

Allgemeine Eigenschaften.

Aussehen	Das Wasser enthielt einen hellgrauen tonigen Bodensatz; das filtrierte Wasser war gelb gefärbt.
Geruch	schwach nach H ₂ S
Geschmack	—
Reaktion	alkalisch.
Spez. Gewicht	1,007 bei 19,5°

Analyse des Rückstandes.

Tonerde	} 0,0005%	Salpetersäure	—
Eisenoxyd		Salpetrige Säure	—
Manganoxydul	—	Phosphorsäure	—
Bariumoxyd	} fehlt	Kohlensäure gebunden	0,1716%
Strontiumoxyd		Schwefelwasserstoff	—
Calciumoxyd		Magnesia	0,0001%
Magnesia	0,0001%	Chlor	0,0958%
Kaliumoxyd	0,0510%	Brom	fehlt
Natriumoxyd	0,3156%	Jod	fehlt
Lithiumoxyd	fehlt	Organische Substz. (Verbrauch an 1/100 K Mn O ₄)	—
Ammoniak	—		
Kieselsäure	0,0149%		
Schwefelsäure	0,0385%		

0,6880%

Nr. 249. Wasserprobe. Elaneirobikrater, großer Salzsee.

Allgemeine Eigenschaften.

Aussehen	Das Wasser war gelb gefärbt
Geruch	geruchlos (?)
Geschmack	—
Reaktion	alkalisch
Spez. Gewicht	1,008 bei 21°
Rückstand	1,2246%

Analyse des Rückstandes nicht ausgeführt.

Nr. 250. Wasserprobe. Elaneirobikrater, kleiner Süßwassersee.

Allgemeine Eigenschaften.

Aussehen	Das Wasser war farblos
Geruch	geruchlos
Geschmack	—
Reaktion	neutral
Spez. Gewicht	1,0001 bei 23,5°
Rückstand bei 180°	0,0573%

Analyse des Rückstandes nicht ausgeführt.

Nr. 251. Wasserprobe. Elaneirobikrater, kleiner salziger See.

Allgemeine Eigenschaften.

Aussehen	Das Wasser war gelb gefärbt
Geruch	geruchlos (?)
Geschmack	—
Reaktion	stark alkalisch
Spez. Gewicht	1,0075 bei 24°
Rückstand	1,0072%

Analyse des Rückstandes nicht ausgeführt.

Nr. 169. Wasserprobe. Sanjangbach.

Allgemeine Eigenschaften.

Aussehen Das Wasser enthielt neben Papierstückchen einen geringen Bodensatz; das filtrierte Wasser war bräunlich-gelb gefärbt

Geruch deutlich nach H_2S'
 Geschmack —
 Reaktion alkalisch
 Spez. Gewicht —
 Rückstand 0,4606%
 Analyse des Rückstandes nicht ausgeführt.

XIII. Die gesammelten Pflanzen, nach Gegenden, Standorten und Vegetationsformationen geordnet.

Die Bestimmung der Pflanzen hat das Königliche Botanische Museum zu Dahlem freundlichst übernommen. Ich spreche allen Bestimmern und besonders den Herren Geheimrat Engler und Professor Volkens meinen verbindlichen Dank für ihre Mitarbeit aus. Die mit einem * statt mit einer Nummer bezeichneten Pflanzen sind an der betreffenden Stelle zwar beobachtet, aber nicht gesammelt. Die Diagnosen der hier fettgedruckten neuen Arten werden in Englers Jahrbüchern für systematische Botanik veröffentlicht.

1. Nördliches Usigua.

a. Baum-, Busch- und Grassteppe, manchmal parkartig; manche Nummern aus Lichtungen und Rodungen.

1. Bignon. Markhamia lanata K. Schum.
2. Stercul. Dombeya Kirkii Mast.
3. Lichenes Theloschistes flavescens Nym.
5. Legum. Cassia goratensis Fres.
6. Acanth. Crossandra nilotica Oliv.
7. Legum. Acacia pennata Willd.
8. Convolv. Ipomoea Kilimandschari U. D.
9. Acanth. Hypoestes verticillaris (L.) Soland.
10. Compos. Vernonia leucocalyx O. Hoffm.
11. Compos. Achyrocline luzuloides Vatke.
13. Meliac. Turraea robusta Gürke.
14. Cucurb. Sphaerosicyos sphaericus Cogn.
15. Capparid Cleome hirta Oliv.
16. Convolv. Astrochläena polycephala Hall. f.

b. Bachufervegetation.

12. Gram. Pennisetum.

2. Südöstliche Massaisteppe.

(Hochplateau, 800 bis 1300 m.)

a. Lichte Baumgrassteppe zwischen Mgera und Kijungu.

19. Malv. Hibiscus cannabinus L.
22. Compos. Sphaeranthus microcephalus Willd.
24. Malv. Hibiscus dongolensis Del.
25. Legum. Cassia mimosoides L.
26. Tiliac. Grewia villosa Willd.
27. Morac. Cardiogyne africana Bur.
- 27a. Compos. Senecio subscandens Hochst.

b. Dornbusch auf trockenem Rotlehm-, manchmal steinigem Boden, zwischen Kibarbara und Kitwejgrassteppe, am Abhang der Kijunguberge und am Rand gegen Panganiebene.

29. Liliac. Aloë.
30. Liliac. Aloë.

32. Tiliac Grewia villosa Willd.
33. Crassul. Kalanchoë glandulosa Hoch.
34. Acanth. Ecbolium hamatum O. Ktz.
35. Acanth. Justicia debilis Vahl.
- 35a. Amarant. Celosia Schweinfurthiana Schinz.
36. Compos. Achyrocline luzuloides Vatke.
37. Tiliac. Grewia bicolor Juss. var. tephrodermis (K. Sch.) Burret.
38. Loranth. Loranthus panganensis Engl.
41. Simarub. Harrisonia abyssinica Oliv. var. mollis Engl.
43. Loranth. **Loranthus Oehleri Engl. n. sp.**
44. Amaryll. Haemanthus multiflorus Martig.
45. Gram. Cynodon plectostachyum (K. Sch.) Pilg.
46. Legum. Cassia abbreviata Oliv.
49. Lab. Coleus lasianthus Gürke.
50. Asclepiad. Sarcostemma viminale R. Br.
55. Compos. Gutenbergia polycephala O. et H.
60. Euphorb. Euphorbia spinescens Pax.
64. Euphorb. Euphorbia monocephala Pax.
65. Lab. Plectranthus Fischeri Gürke.
74. Filic. Pellaea viridis (Forsk) Prantl.
75. Amarant. Pupalia lappacea (L.) Moq.
76. Euphorb. Euphorbia sparsiflora Vlk.
77. Capparid. Boscia coriacea Pax.
91. Acanth. Neuracanthus scaber S. M.
92. Acanth. Blepharis fruticulosa Clk.
93. Amarant. Cyathula orthacantha Schinz.
94. Amarant. Aerea javanica (L) Juss.
95. Olac. Ximenia americana L.
- * Euphorb. Euphorbia cuneata Vahl.

c. Lichte Buschgrassteppe nördlich der Kitwejgrassteppe.

86. Acanth. **Asystasia massaiensis Lindau n. sp.**
87. Malvac. Abutilon indicum (L.) Don.
88. Rub. Oldenlandia flosculosa Hi.

d. Grassteppen (mit ganz vereinzelt Sträuchern).

a. Grassteppe Kitwej.

78. Rub. Oldenlandia Wiedenmannii K. Sch.
79. Scrophul. Rhamphicarpa veronicifolia Vatke.
82. Solan. Solanum.
83. Amarant. Aerea lanata (L) Juss.
85. Compos. Polycline psyllioides Oliv.
- * Gram. Cynodon plectostachyum (K. Sch.) Pilg.

β. Grassteppe Kiniarok

(78 bis 85 hier so gut wie gar nicht).

89. Gram. Cynodon plectostachyum (K. Sch.) Pilg.

e. Wasserstellen

(67 bis 73 von Mnaingo, die andern von Kaita Mgoi).

a. Auf trockenem, festem, sandigem Rotlehmboden der Umgebung.

51. Legum. . . . Sesbania punctata D. C.
 57. Legum. . . . Indigofera.
 59. Euphorb. . . . Euphorbia Volkensii Pax.

β. Auf nacktem Gneisfels, in den Felsritzen.

52. Compos. . . . Ageratum conyzoides L.
 54. Amarant. . . . Alternanthera sessilis (L.) R. Br.
 56. Compos. . . . Bidens pilosus L.
 58. Liliac. . . . Aloë (nur Blätter, nicht bestimmbar).
 67. Apoc. . . . Adenium somalense Hk. f.
 70. Vellos. . . . Barbacenia.
 71. } Morac. . . . Ficus Rehmannii Wrbg.
 72. }
 73. Compos. . . . Vernonia cinerascens Sch. Bip.

γ. Im Wasser der Löcher.

31. Aroid. . . . Lemna spec.
 61. Malv. . . . Hibiscus cannabinus L.
 68. Polygon. . . . Polygonum tumidum Delile.

3. Panganiiebene.

a. Dornbusch der Schuttkegel und Trockenbetten am Fuß des Steilabfalls der Massaiestepe.

96. Compos. . . . Vernonia cinerascens Sch. Bip.
 97. Legum. . . . Rhynchosia caribaea DC.
 98. Euphorb. . . . Euphorbia cuneata Vahl.

b. Rand der Steppe gegen den Panganisumpf (bei starkem Hochwasser überflutet).

99. Euphorb. . . . Euphorbia Jaegeriana Pax. n. sp.
 104. Acanth. . . . Peristrophe bicalyculata (Vahl) Nees.
 105. Malv. . . . Pavonia zeilanica Cav.
 108. Aizoac. . . . Trianthema salsoloides Fenzl.
 109. Chenopod. . . . Suaeda monoica Forsk.
 111. Lab. . . . Ocimum canum Sims.
 113. Acanth. . . . Asystasia fuchsiifolia Lindau n. sp.
 115. Compos. . . . Vernonia pauciflora Less.
 116. Lab. . . . Leonotis nepetifolia (L.) R. Br.
 117. Acanth. . . . Barleria brevispina R. Br. = B. setigera Rdl. var. brevispina Cl.
 118. Sapindac. . . . Cardiospermum halicacabum L.
 126. Cucurb. . . . Cucumis dipsaceus Ehrbg.
 128. Compos. . . . Triplocephalum Holstii O. Hoffm.
 129. Amarant. . . . Sericocomopsis Hildebrandtii Schinz.

c. Ufervegetation eines großen Trockenbettes beim Lager 17./18. Juli 1906.

120. Euphorb. . . . Flueggea obovata Wall.
 121. Amarant. . . . Achyranthes aspera L.
 122. Nyctag. . . . Boerhavia diffusa L.
 123. Vitac. . . . Cissus rotundifolia (Forsk) Vahl.
 124. Vitac. . . . Cissus kilimandscharica Gilg.

d. Auf nacktem, steinigem, kalkigem Boden mit Dornbüschen.

130. Euphorb. . . . Euphorbia isacantha Pax.

e. Buschsteppe zwischen Unteraruscha und Kahe.

136. Chenopod. . . . Suaeda monoica Forsk.
 140. Malv. . . . Hibiscus micranthus L.

Mitteilungen a. d. D. Schutzgebieten, Ergänzungsheft 4,

142. Stercul. . . . Hermannia Volkensii K. Sch.
 145. Malv. . . . Pavonia Kraussiana Hochst.

f. Überschwemmungsgebiet des Panganiflusses.

a. Alluvialwald in Unteraruscha.

133. Cucurb. . . . Melothria longipedunculata Cogn.

β. Uferwald (unmittelbar am Ufer), Unteraruscha und Kahe.

132. Legum. . . . Mucuna quadrialata Bak.
 144. Legum. . . . Piptadenia sp.

γ. Auf Rodungen in Unteraruscha.

131. Legum. . . . Sesbania punctata D. C.
 134. Compos. . . . Vernonia oxyura O. Hoffm.

δ. Wasserpflanzen des Sumpfes außerhalb des Flußbetts.

107. Legum. . . . Neptunia oleracea Lour.
 106 = 135. Lentibul. . . . Utricularia Thonningii Schum.

4. Kilimandscharo.

a. Steppe am Ostfuß (800 bis 1400 m).

In den Felsritzen der Steilwände des Dschallasees.

146. Crass. . . . Crassula Volkensii Engl.

b. Adlerfarn- und Ericazone über Madschame (1600 bis 1900 m).

156. Ericac. . . . Blaeria Johnstonii Engl.

c. Urwald (2700 m).

158. Compos. . . . Senecio Johnstonii Oliv.

d. Ericawald (2800 bis 3900 m).

α. Trockner Standort (3400 m).

157. Lycopod. . . . Lycopodium Saururus Lam.

β. Feuchte Stellen (3500 m).

155. Comp. . . . Arctotis Rueppellii O. Hoffm.

e. Oberste Vegetation der Halbwüste des Hochgebirges, Westfuß des Kibo (4300 bis 4500 m).

150. Rub. . . . Galium glaciale K. Krause. n. sp.
 151. Compos. . . . Senecio Telekii (Schweinf.) O. Hoffm.
 152. Compos. . . . Senecio Telekii var. subglabra Muschler n. var.
 153. Legum. . . . Dolichos biflorus L.
 153a. Lich. . . . Gyrophora umbilicarioides Stein.
 Usnea articulata Hoffm.
 154. Caryophyll. . . . Sagina abyssinica Hochst.

5. Esimingor, Südseite.

a. Buschdickicht am Urwaldrand (etwa 1700 m).

159. Ranuncul. . . . Clematis Wightiana Wall. var. pilosissima Engl.
 160. Verben. . . . Lippia asperifolia Rich.

b. Urwaldrand (etwa 1700 m).

162. Rhizophor. . . . Weihea Eickii Engl.

6. Umbugwe und östlich angrenzende Steppen und Fuß der Bruchstufe.

(970 bis 1100 m.)

a. Trockne Steppen östlich Umbugwe.

163. Compos. . . . Epaltes gariepina (D. C.) Steetz.
 168. Eine nicht weiter bestimmbare Frucht einer Asclepiadacee.

b. Sümpfe (Wasserstelle Msuakini, Kwou).

165. Marsil. . . . Marsilia diffusa Lepr.
 165a. Nymph. . . . Nymphaea capensis Thbg. var.
 166. Legum. . . . Trifolium Johnstonii Oliv.
 167. Algae Lagarosiphon.
 169. Lentibul. . . . Utricularia Thonningii Schum.

c. Rand des Kwousumpfs, auf trockenem Boden.

171. Gram. . . . Chloris spec.

d. Fuß der Bruchstufe, beim Lager am Affenbrotbaum.
Akazienwald und Busch.

172. Cyper. . . . Cyperus flabelliformis Rttb.
 173. Commel. . . . Commelina benghalensis L.
 174. Capp. . . . Courbonia virgata A. Brongn.

7. Mburu, Iraku.

(1600 bis 2300 m.)

a. Grasland und Brachland.

177. Convolv. . . . Astrochlaena Volkensii Dammer.
 178. Compos. . . . Ethulia conyzoides L.
 179. Compos. . . . Berkheya insignis (Harv) Bth. & Hk. f.
 180. Labiat. . . . Leonotis mollissima Gürke.
 182. Campanul. . . . Lightfootia Sodenii Engl.
 183. Compos. . . . Carduus chamaecephalus Vtke.
 184. Morac. . . . Ficus Kilimandscharica Wrbg.
 209. Compos. . . . Cotula anthemoioides L.

b. Guaberg (Gipfel 2185 m), größtenteils mit Phoenixpalmen
bestanden.a. Lichte Laubbuschsteppe des Nordabhanges
(1700 bis 2000 m).

186. Phytolac. . . . Phytolacca dodecandra l'Hér.
 187. Compos. . . . Helichrysum foetidum (L) Cass.
 188. Compos. . . . Psidium punctulata (DC) Vatke (arabica
J. et Sp.)
 189. Compos. . . . Inula glomerata Ol. & Hiern.
 190. Compos. . . . Carduus chamaecephalus Vtke.
 192. Compos. . . . Coreopsis kilimandscharica O. Hoffm.
 193. Acanth. . . . Thunbergia fuscata T. And.
 194. Malvac. . . . Hibiscus fuscus Garcke.
 195. Labiat. . . . Micromeria ovata (R. Br.) Bth.

β. Daselbst im feuchten Grund eines Bachbetts.

191. Melastom. . . . Dissotis phaeotricha Hochst. Tr.

γ. Gipfelgebiet, z. T. auf nacktem Fels, teils grasig.

196. Balsam. . . . Impatiens Sodenii Engl. et Warb.
 197. Crass. . . . Crassula Illichiana Engl.
 198. Legum. . . . Tephrosia aequilata Bak.
 199. Legum. . . . Crotalaria lachnocarpoides Engl.
 200. Comp. . . . Athrixia rosmarinifolia Sch. Bip.
A. et Hiern.

201. Euphorb. . . . Euphorbia depauperata Hochst.

δ. Im Grase des Süd- und Westabhanges.

202. Labiat. . . . Micromeria spec.
 203. Moraea.

c. Adlerfarn- und Buschvegetation in Iraku (Land der
Mama Isara).

210. Campanul. . . . Lobelia Holstii Engl.
 212. Solan. . . . Solanum sepium U. D.

213. Crass. . . . Kalanchoë glaberrima Vks.
 214. Borag. . . . Cynoglossum coeruleum Hochst.
 215. Compos. . . . Helichrysum panduratum O. Hoffm.
 216. Asclepiad. . . . Gomphocarpus spec.
 217. Hyperic. . . . Hypericum Schimperii Hochst.
 218. Legum. . . . Smithia recurvifolia Taub.
 219. Malvac. . . . Pavonia Schimperiana var. tomentosa
Hochst.
 220. Malvac. . . . Pavonia urens Cav.
 221. Geraniac. . . . Geranium simense Hoch.
 223. Euphorb. . . . Cluytia robusta Pax.

d. Urwald.

α. Vom Rand einer Waldparzelle mit Phoenixpalmen
am Khuntejbach (1846 m).

205. Apoc. . . . Rauwolfia natalensis Sond.
 206. Amarant. . . . Cyathula globulifera (Boj.) Moq.
 207. Acanth. . . . Hypoestes triflora (Fork) Nees.
 208. Solan. . . . Solanum.

β. Stark gelichteter Urwald (Graslichtungen)
zwischen Iraku und Tumbati (2100 bis 2300 m).

224. Scrophul. . . . Celsia brevipedicellata Engl.
 225. Euph. . . . Euphorbia depauperata Hochst.
 226. Amaryll. . . . Dierama pendula (Thbg.) Bak.
 227. Asclepiad. . . . Gomphocarpus spec.
 229. Thym. . . . Gnidia glauca (Fres) Gilg.
 230. Compos. . . . Gynura cernua Bth.
 231. Compos. . . . Microglossa Oehlerii Muschler n. sp.
 232. Malvac. . . . Abutilon longicarpa Hochst.

8. Hochplateau der Landschaften Maussas,
Gebiet der Maare.

(1600 bis 2200 m.)

a. Steppenlandschaften nahe der Bruchstufe, parkartiges
Grasland mit vielen Urwaldsträuchern und -Bäumen
(2000 bis 2200 m).

234. Prot. . . . Protea madiensis Oliv. forma latifolia.
 236. Stercul. . . . Dombeya reticulata Mast.
 237. Legum. . . . Acacia spec.
 238. Legum. . . . Lupinus Princei Harms.
 239. Apoc. . . . Carissa edulis Vahl.
 241. Celastr. . . . Gymnosporia putterlickioides Loes.
 242. Santal. . . . Osyris abyssinica Hochst.
 243. Amaryll. . . . Hypoxis villosa L. var. Schweinfurthii
Harms.
 244. Compos. . . . Gerbera abyssinica Sch. Bip.
 245.¹⁾ Scrophul. . . . Limosella spec.
 246. Oleac. . . . Jasminum abyssinicum R. Br.
 247. Celastr. . . . Gymnosporia.
 248. Asclepiad. . . . Englerodaphne leiosiphora Gilg.
 289. Anacard. . . . Rhus glaucescens Rich.

b. Lichte Dornbusch-, Akazien- und Grassteppe des Laghanga-
gebirges und des Maargebiets (1600 bis 2000 m).

290. Cappar. . . . Boscia caloneura Gilg.
 291. Liliac. . . . Asparagus racemosus Willd.
 292. Tiliac. . . . Grewia lilacina K. Sch.
 293. Amaryll. . . . Haemanthus?
 294. Legum. . . . Dalbergia aff. Stuhlmannii Taub.
 296. Liliac. . . . Asparagus africanus Lam.

¹⁾ In einem Quellsumpf der Landschaft Baschened.

9. Gebiet des Vulkans Ngurue (Hanang).

(1500 bis 3400 m.)

a. Steppengebiet am Fuße rings um den Ngurue (1500 bis 2200 m).

249. Plumbagin. . . Plumbago zeylanica L.
250. Convolv. . . Ipomoea Hildebrandtii Vtke.
251.¹⁾ Legum. . . . Acacia aff. drepanolobium Harms.
251a. Resed. . . . Caylusea abyssinica (Fres.) Fisch et Mey.
252. Legum. . . . Acacia aff. drepanolobium Harms.
253. Solan. . . . Lycium spec.
278. Nyctagin. . . Boerhavia plumbaginea Cass.
279. Malvac. . . . Hibiscus crassinervis Hochst.
281. Asclepiad. . . Stathmostelma pedunculatum (Hochst.)
K. Sch.
282. Solan. . . . Withamia-somnifera Dun.
283. Amaryll. . . . Haemanthus multiflorus Mart.
284. Amaryll. . . . Haemanthus multiflorus Mart.

b. Sumpfige Standorte der Steppe.

254. Compos. . . . Gnaphalium Unionis Sch. Bip.
255. Lyth. . . . Ammannia crassissima Koehn. var.
Uhligi i. Koehn. nov. var.
280. Scroph. . . . Mimulus gracilis R. Br.

c. Urwald am Nordabhang, sehr licht und unterbrochen (2400 bis 2600 m).

258. Euphorb. . . . Cluytia robusta Pax.
274. Amarant. . . . Cyatula cylindrica Moq.
275. Amarant. . . . Aerea lanata (L.) Juss.
276. Acanth. . . . Justicia rostellaria (Nees) Lindau.
277. Acanth. . . . Hypoestes triflora (Forsk.) Nees.

d. Hochgebirgsstrauchzone mit Adlerfarn (2600 bis 3100 m).

- 259.²⁾ Comp. . . . Echinops Oehlerianus O. Hoffm. n. sp.
260. Legum. . . . Lotus Jaegeri Harms n. sp.
261. Compos. . . . Stoebe Kilimandscharica O. Hoffm.
262. Compos. . . . Artemisia afra Jaq.
263. Scroph. . . . Hebenstreitia dentata L.
264. Compós. . . . Helichrysum abyssinicum Sch. Bih.
265.²⁾ Rub. . . . Anthospermum usambarense K. Sch.

e. Gipfelzone, vorwiegend Hochgebirgsstauden (3000 bis 3400 m).

267. Crass. . . . Crassula abyssinica A. Rich.
268. Compos. . . . Senecio Telekii (Schweinf.) O. Hoffm.
269. Compos. . . . Helichrysum Newii O. et H.
270. Compos. . . . Helichrysum.
271. Compos. . . . Helichrysum odoratissimum (L.) Less.
272. Eric. . . . Agauria salicifolia Hk. f.

f. Steilrand der Bruchstufe, Aufstieg beim Baschenedbach (1550 bis 2100 m).

285. Vitac. . . . Rhoicissus Thunbergii Planch.
286. Pittospor. . . . Pittosporum Jaegerii Engl. n. sp.
287. Crassul. . . . Kalanchoë cf. Stuhlmannii Engl.
288. Compos. . . . Crepis.

10. Issansu, Iramba.

(1200 bis 1700 m.)

a. Issansu, vorwiegend Buschland und Rodungen, Granitfelsberge.

298. Malvac. . . . Thespesia Garckeana F. Hoffm.
299. Legum. . . . Derris violacea (Klotsch) Harms.

¹⁾ Auf Stoppelfeldern im westlichen Mangati.

²⁾ Auf dem ganzen Nordabhang.

300. Combr. . . . Combretum purpuriflorum Engl.
301. Cappar. . . . Capparis Stuhlmannii Gilg?
302. Cappar. . . . Cadaba farinosa Forsk.
303. Cappar. . . . Capparis Stuhlmannii Gilg?
304. Rub. . . . Randia Fischeri K. Sch.
305. Asclepiad. . . . Calotropis procera Oliv.
306. Legum. . . . Albizzia hypoleuca Oliv.
307. Legum. . . . Cassia abbreviata Oliv.
330. Combr. . . . Terminalia Hildebrandtii Engl.
331. Olac. . . . Ximenia americana L. var. tomentosa
Engl.

b. Iramba.

- α. An der Karawanenstraße, im Gras und Ackerland.**
333. Thymel. . . . Gnidia Kraussiana Meisn.

β. Buschland des westlichen Abfalls.

334. Legum. . . . Dichrostachys nyassanae Taub.
335. Combr. . . . Combretum splendens Engl. (?)

11. Njarasagraben (einschließlich Wemberesteppe).

(1030 bis 1100 m.)

a. Dornbusch der Schuttkegel.

α. Am Fuß des südlichen Grabenrands.

308. Salvad. . . . Salvadora persica L.
309. Acanth. . . . Ruttya speciosa (Hochst.) Engl.
310. Asclepiad. . . . Sarcostemma viminalis R. Br.
311. Convolv. . . . Ipomoea stenosphon Hallier f.
312. Borag. . . . Cordia Gharaf (Forsk.) Ehrenb.
313. Legum. . . . Rhynchosia caribaea D. C.
314. Compos. . . . Pluchea ovalis (Pers.) Oliv.
315. Compos. . . . Blumea aurita L.
316. Legum. . . . Crotalaria laburnifolia L.
318. Legum. . . . Sesbania punctata D. C.
319. Burs. . . . Commiphora ugogensis Engl.

Außerdem *Euphorbia Jaegeriana Pax charakteristisch,
doch nicht von hier gesammelt, da nicht blühend gefunden.

β. Am Fuß des nördlichen Grabenrands und des Lemagrut.

430. Legum. . . . Acacia nutica Benth.
429. Capp. . . . Maerua Johanns Volk. et Gilg.

b. Grassaum des Njarasasees.

320. Gram. . . . Diplachne Jaegeri Pilger n. sp.

c. Ufervegetation des Mangu (Trockenbett mit Grundwasser).

336. Borag. . . . Cordia Gharaf (Forsk.) Ehrenb.
337. Polygon. . . . Polygonum tumidum Del.

d. Südlicher Njarasagrabenrand. In feuchtem Talboden.

321. Asclepiad. . . . Gomphocarpus semilunatus A. Rich.

12. Hohenlohegraben.

a. Jaidasumpf.

322. Liliac. . . . Albuca Fischeri Engl.

b. Baum- und Buschsteppe der Schuttkegel des südlichen Grabenrands.

323. Nyctagin. . . . Boerhavia plumbaginea Cas. f. trichocarpum Heinel.
324. Acanth. . . . Blepharis longifolia Lindau.

c. Laubbuschsteppe der westlichen Hohenlohegrabensohle.

325. Rub. *Randia dumetorum* Lam.
 326. Combr. *Combretum splendens* Engl.
 327. Acanth. *Justicia spec.*
 328. Burs. *Lanea ambigua* Engl.
 329. Legum. *Dalbergia melanoxylon* G. et P.

13. Ussukuma, von der Wemberesteppe bis Muansa.

(1100 bis 1400 m.)

338. Liliac. *Scilla.*
 339. Euphorb. *Euphorbia Jaegeriana* Pax. n. sp.
 526. Liliac. *Asparagus racemosus* Willd.
 527. Labiat. *Aeolanthus Stuhlmannii* Grke.
 528. Commel. *Aneilema spec.*
 529. Legum. *Ormocarpum trichocarpum* Taub.
 341. Legum. *Tamarindus indica* L.
 342. Euphorb. *Jatropha afrocurcas* Pax.
 344. Nyctagin. *Boerhavia paniculata* L. C. R. Heinel.
 345. Acanth. *Asystasia rostrata* (Hochst.) Solms.

14. Busch- und Baumsteppen zwischen Ikoma und Sonjobergland.

(1200 bis 1900 m.)

347. Commel. *Cyanotis lanata* Benth.
 349. Acanth. *Crossandra infundibuliformis* (L) Nees.
 350. Liliac. *Chlorophytum densiflorum* (Bak) Engl.
 351. Liliac. *Chlorophytum macrophyllum* (Rich.)
 Aschers.
 352. Geraniac. *Monsonia longipes* R. Kn.

15. Bergland von Sonjo.

a. Parksteppe mit Urwaldtypen auf der Lamuniane Berggruppe (2100 bis 2300 m).

353. Liliac. *Anthericum Jaegeri* Engl. et Kr. n. sp.
 354. Liliac. *Anthericum Oehleri* Engl. et Kr. n. sp.
 355 u. 361. Scroph. *Craterostigma plantagineum* Hoch.
 356. Acanth. *Thunbergia Fischeri* Engl.
 357. Cenvolv. *Ipomoea Jaegeri* Pilger. n. sp.
 358. Rub. *Pentanisia uranogyne* Sp. Moore.
 359. Euphorb. *Monadenium stapelioides* Pax.
 360. Verben. *Clerodendron discolor* (Kl.) Vtke.
 362. Commel. *Commelina africana* L.
 364. Tiliac. *Grewia similis* K. Sch.
 365. Aizoac. *Mesembrianthemum Oehleri* Engl. n. sp.
 365a. Compos. *Senecio phallorrhizus* Muschler.
 366. Scroph. *Hebenstreitia dentata* L.

b. Bäume aus Bachwäldern des Ostabhanges (Malambo).

367. Anacard. *Rhus glaucescens* Rich. var. *Fischeri* Engl.
 368. Rutac. *Calodendron capense* Thunbg.
 369? Euphorb. *Acalypha ornata* Hochst.

16. Ol Balbal und Serengeti.

a. Grassteppe des Bodens.

523. Gram. unbestimmbar.

b. Buschland des nordwestlichen Steilrands.

524. Tiliac. *Grewia lilacina* K. Sch.

c. Serengeti, Grassteppe nordwestlich des Balbalsteilrands.

525. Compos. *Berkheyopsis diffusa* (Oliv.) O. Hoffm.

17. Das Hochland der Riesenkrater.

A. Ngorongoro.

a. Lichte Buschsteppe des NW Abhangs.

370. Commel. *Aneilema aequinoctiale* Kth.
 371. Liliac. *Albuca longibracteata* Engl.

b. Grasland der Kraterwände.

- 372.¹⁾ Orch. *Eulophia milaniana* Rendle.
 373.¹⁾ Legum. *Crotalaria megistantha* Taub.
 374.¹⁾ Liliac. *Gloriosa virescens* Lindl.
 385.²⁾ Asclepiad. *Xysmalobium lapathifolium* Decne.
 386.²⁾ Amarant. *Cyathula Schimperiana* Hochst.
 387.²⁾ Legum. *Astragalus abyssinicus* Steud.
 388.²⁾ Legum. *Crotalaria recta* Steud.

c. Grassteppe des Kraterbodens (1700 bis 1800 m).

375. Asclepiad. *Stathmostelma pedunculatum* Hochst.
 K. Sch.
 376. Amaryll. *Crinum scabrum* Herb.
 383. Borag. *Heliotropium Steudneri* Vtke.

d. In fließendem Bach bei der Viehboma im SW.

384. Balsam. *Impatiens Hochstetteri* Warb.

e. Urwald nebst Lichtungen am Olgelerianigipfel

(2200 bis 2500 m).

377. Liliac. *Asparagus africanus* Lam.
 378. Gram. *Eleusine Jaegeri* Pilger n. spec.
 379. Compos. *Berkheya zeyheri* Ol. et Hiern.
 380. Compos. *Senecio multicorymbosus* Klatt.
 381. Melianth. *Bersama Holstii* Gürke.
 382. Orch. *Eulophia Holstiana* Kränzl (*Eulophia graciliscapa* Schlchtr.).

In den Waldlichtungen sehr dichter Busch, darunter **Vernonien*, **Senecio multicorymbosus* Klatt, große weiße Lilien 2 m hoch. Wald wechselt mit Buschlichtungen. Gipfelkuppe nur Gras, *Eleusine Jaegeri*.

B. Baumannhochland.

a. Hochlandsgrasflächen zwischen Deani und Lemagrut.

389. Campanul. *Lightfootia Oehleri* Engl. n. sp.
 390. Viol. *Viola abyssinica* Steud. var. *longipes* Engl.
 413. Amaryll. *Gladiolus Quartinianus* Rich.
 415. Legum. *Dolichos formosus* A. Rich.
 416. Legum. *Argyrolobium Fischeri* Taub.
 427. Acanth. *Thunbergia nymphaeifolia* Lindau.
 432. Gram. *Setaria glauca* (L.) P. B.

Das Charaktergewächs dieser Hochlandsflächen ist das Gras **Themeda Forskalii* Hack. var. *punctata*.

b. Hochgebirgsstrauch- und Staudenzone des Deani (2600 bis 3185 m).

a. Hauptcharakterpflanzen (außerdem Gras).

391. Compos. *Helichrysum abyssinicum* Sch. B.
 392. Compos. *Helichrysum fruticosum* (Forsk.) Vtke.
 393. Compos. *Artemisia afra* Jaq.
 394. Compos. *Stoebe Kilimandscharica* O. Hoffm.
 395. Rub. *Anthospermum usambarense* K. Sch.

β. Außerdem sehr häufig

396. Scroph. *Hebenstreitia dentata* L.
 397. Thymel. *Sruthiola Kilimandscharica* Gilg.

¹⁾ Von der nordwestlichen Kraterwand.²⁾ Vom SW-Rand.

398. Legum. . . . Psoralea foliosa Oliv.
 399. Ericac. . . . Ericinella Mannii Hook. f.
 400. Euphorb. . . . Cluytia robusta Pax var. rhododendroides Pax.

γ. Ziemlich häufig

401. Scroph. . . . Selago Holstii Rolf.
 402. Scroph. . . . Rhamphicarpa Meyeri Johannis Engl.
 404. Commel. . . . Cyanotis hirsuta Fisch. et Mey.
 405. Compos. . . . Senecio deaniensis Muschler n. spec.
 407. Compos. . . . Conyza stricta Willd.

Ferner *Viola abyssinica, var. longipes, *Protea (abyssinica?), *Hypericum, *Brombeeren.

δ. Nicht selten

408. Amaryll. . . . Dierama pendula (Thbg.) Bak.
 409. Legum. . . . Lathyrus Kilimandscharicus Taub.
 410. Liliac. . . . Androcymbium striatum Hoch.

c. Urwald des Deani (vom Rand bei Ol Tiribe).

412. Gram. . . . Arundinaria alpina K. Schum.

Letztere ist der Bambus, die charakteristischste Pflanze des Berges, die ihm den Namen gegeben hat.

Im Urwald des Kraterinnern, am Ausgang der großen Schlucht des Olbosarebaches *Juniperus procera-Bestände. Auch *Hagenia abyssinica.

d. Urwald des Lemagrut, nur in den Schluchten und in der höchsten Gipfelregion (2700 bis 3130 m).

418. Rosac. . . . Hagenia abyssinica J. Fre.
 426. Conif. . . . Juniperus procera Hochst.

Ersterer $\frac{1}{3}$ bis $\frac{1}{2}$ des ganzen Waldes, letzterer in den Schluchten Bestände bildend.

419. Hyperic. . . . Hypericum lanceolatum Lam.

Für das Unterholz sehr charakteristisch, ferner *Cluytia robusta, var. rhododendroides, *Stoebe Kilimandscharica O. Hoffm. sowie eine rosa blühende Balsamine.

e. Grasmatten der Abhänge des Lemagrut-Centralkegels (2600 bis 3100 m).

420. Borag. . . . Cynoglossum coeruleum Hoch.
 421. Campanul. . . . Campanula Quartiniana Rich.
 422. Legum. . . . Lotus Oehleri Harms n. sp.
 423. Borag. . . . Lithospermum officinale L. v. abyssinicum (Vtke.) Engl.
 425.¹⁾ Amaryll. . . . Aristeia alata Bak.

f. Oberer Rand der Buschsteppe des Südwestabfalls des Baumannhochlands (2000 bis 2200 m).

431. Proteac. . . . Protea abyssinica Willd.

C. Winterhochland.

a. Grashochflächen zwischen den Vulkanbergen.

434. Ranuncul. . . . Delphinium Gommengingeri Volk. var. macrosepalum Engl.
 436.²⁾ Gram. . . . Themeda Forskalii Hack. var. punctata Hack.
 437. Gram. . . . Setaria glauca (L.) P. B.
 * Lab. . . . Salvia spec.

¹⁾ Vereinzelt in 2600 bis 2800 m gefunden.

²⁾ Das charaktergebende Gras.

b. Olmoti (2400 bis 3060 m).

α. Urwald,

am Osthang stark mit Graslichtungen durchsetzt, fast parkartig.

438. Melianth. . . . Bersama Holstii Gürke.
 Häufig *Hagenia abyssinica.

β. Hochgebirgsstrauchvegetation überm Urwald, auch in seinen Lichtungen und im Krater.

- 439.¹⁾ Compos. . . . Artemisia afra Jaq.
 440. Borag. . . . Cynoglossum amplifolium Hoch.
 441. Compos. . . . Tripteris Volkensii O. Hoffm.

Im untern Teil dieser Vegetationsformation fast ausschließlich *Artemisia afra und *Eleusine Jaegeri Pilger. Im oberen Teil dieselben Sträucher, wie am Deani, aber die Artemisia vorherrschend. Die *Stoebe kilimandscharica O. Hoffm. bis 2 m hoch mit zollstarken Ästen. *Cluytia robusta, var. rhododendroides, *Rhamphicarpa Meyeri Johannis Engl.

c. Elaneirobi.

α. Grasland mit Hochgebirgsstauden

(an den untern Außenhängen, in Urwaldlichtungen an flachen Stellen, z. B. Terrasse der südwestlichen Kraterwand, Lavastrom des Kraterbodens).

459. Legum. . . . Vicia hirsuta Koch.
 518.²⁾ Chenopod. . . . Chenopodium foetidum Schrader.
 Häufig auch *Cynoglossum coeruleum Hoch.

β. Hochgebirgsstrauchzone (2700 bis 3200 m),

auf den oberen Teilen der Hänge zu beiden Seiten des Krater-rands. Darin im Süden namentlich *Helichrysum abyssinicum, im Westen, besonders auf dem Sommarücken fast ausschließlich vorherrschend *Artemisia afra. In der Partie des höchsten Gipfels auch *Stoebe Kilimandscharica O. Hoffm. und *Cluytia robusta, var. rhododendroides sehr häufig.

449. Labiat. . . . Salvia spec.
 450. Cyper. . . . Cyperus Kerstenii Bökl.
 451. Orch. . . . Disa Walleri Rchb. f.
 452. Amaryll. . . . Gladiolus watsonioides Bak.

Außerdem *Anthospermum usambarense K. Sch., *Hebenstreitia dentata L., *Ericinella Mannii Hook, *Senecio deaniensis Muschler, *Androcymbium striatum Hoch., *Anthemis abyssinica J. Gay.

γ. Urwald.

An den Kraterwänden. 2200 bis 3100 m. Außen nur spärlich. Hauptcharakterbaum, namentlich in den oberen Partien *Hagenia abyssinica. In den Schluchten im Krater öfters *Juniperus procera.

453. Filic. . . . Asplenium loxocaphoides Bak.
 454. Tiliac. . . . Sparmannia abyssinica Hoch.
 455. Euphorb. . . . Cluytia abyssinica Jaub. et Spach.
 457. Balsam. . . . Impatiens Jaegeri, Gilg. n. sp.
 458. Compos. . . . Vernonia Oehleri Muschler. n. sp.
 462. Solan. . . . Discopodium penninervium Hoch.
 508. Borag. . . . Cynoglossum amplifolium Hoch.
 509. Rub. . . . Pavetta Schelfleri K. Sch.
 510. Rutac. . . . Teclea unifoliata H. Baill.
 512. Anacard. . . . Brucea antidysenterica Lam. var. crassivenia Engl.
 513. Legum. . . . Glycine javanica L.
 515. Melianth. . . . Bersama Holstii Gürke.
 516. Legum. . . . Desmodium scalpe D. C.
 517. Verben. . . . Lantana salviifolia Jacq.
 Auch Vernonia pauciflora Less.

¹⁾ Vorherrschende Charakterpflanze.

²⁾ Auf dem Lavarücken westlich des Sees, im Kraterboden.

- δ. Dichter Busch auf dem Kraterboden (2200 bis 2400 m).
 511. Compos. . . . Vernonia lasiopus O. Hoffm.
 514. Compos. . . . Vernonia pauciflora Less.
 460.¹⁾Ranuncul. . . . Thalictrum rhynchocarpum Dill et Koch.
 461. Asclepiad. . . . Gomphocarpus fruticosus (L.) R. Br.

Hauptcharakterpflanzen des Busches sind die Vernonia lasiopus, Lantana salviifolia und *Cluytia robusta, var. rhododendroides.

d. Loolmalassin, Hochgebirgsstrauch- und Staudenvegetation.

α. Untere Zone (etwa bis 3000 m).

463. Compos. . . . Conyza stricta Willd.
 464. Asclepiad. . . . Gomphocarpus fruticosus (L.) R. Br.
 466. Myric. . . . Myrica Kilimandscharica Engl.
 467. Borag. . . . Lithospermum officinale L.
 468. Euphorb. . . . Cluytia robusta Pax var. rhododendroides Pax.
 469. Euphorb. . . . Euphorbia depauperata Hochst.
 470. Compos. . . . Athrixia rosmarinifolia Ol. et Hiern.
 493. Hyper. . . . Hypericum intermedium Steud.
 494. Crass. . . . Crassula abyssinica A. Rich.

Ferner *Artemisia afra, *Stoebe Kilimandscharica, *Anthospermum usambarense K. Sch., *Hebenstreitia dentata L., *Rhamphicarpa Meyeri Johannis, *Viola sp.

β. Obere Zone (etwa 3000 bis 3650 m)
enthält außerdem:

488. Compos. . . . Anthemis abyssinica J. Gay.
 489. { Rosac. . . . Alchemilla Jaegeri Engl. n. sp.
 { Comp. . . . Carduus Schimperii Sch. Bip.
 490. Comp. . . . Helichrysum fruticosum (Forsk) var. compactum Vtke.
 491. Compos. . . . Helichrysum Newii O. & H.
 492.²⁾Ranuncul. . . . Anemone Thomsonii Oliv.

Außerdem *Helichrysum fruticosum, *Hypericum lanceolatum; vereinzelt *Dierama pendula, *Gladiolus watsonioides.

γ. In der Bachschlucht am Lager (3050 m).

465. Legum. . . . Trifolium usambarense Taub.
 471. Compos. . . . Gnaphalium Unionis Sch. Bip.
 472. Malvac. . . . Malva verticillata L.
 473. Caryoph. . . . Silene lomalasinensis Engl. n. sp.
 474. Scroph. . . . Celsia brevipedicellata Engl.
 477. Polygon. . . . Rumex Steudelii Hoch.
 478. Geran. . . . Geranium simense Hoch.
 479. Compos. . . . Cineraria grandiflora Vatke.

Alle häufig; ferner häufig: *Cynoglossum coeruleum Hoch., *Eleusine Jaegeri Pilger.

¹⁾ 4 m vom Ufer eines fließenden Baches.

²⁾ Vereinzelt.

- 480.¹⁾Compos. . . . Senecio augustilobatus Muschler n. sp.
 481.²⁾Compos. . . . Carduus leptacanthus Fres.
 482.¹⁾Caryophyll. . . . Silene macrosolen Steud.
 483. Thymel. . . . Gnidia glauca (Fres) Gilg.
 484. Ericac. . . . Agauria salicifolia (Comm.) Hk. f. var. latissima Engl.

δ. Im Bach daselbst.

485. Scroph. . . . Veronica anagallis L.
 486. Callitrichac. . . Callitriche.

e. Ossirwa (2700 bis 3300 m).

α) Hochgebirgsstrauchvegetation, hier stark mit
Höchstlandsgrasvegetation vermischt.

495. Compos. . . . Senecio Oehleri Muschler n. sp.
 496.³⁾Amaryll. . . . Kniphofia Thomsoni Bak.
 498. Compos. . . . Carduus Schimperii Sch. Bip.
 503. Gram. . . . Koeleria convoluta Hochst.
 504. Amaryll. . . . Aristeia alata Bak.
 505. Commel. . . . Cyanotis hirsuta Fisch. et Mey.
 506. Rub. . . . Galium ossirwense K. Krause. n. sp.
 507.⁴⁾Leg. . . . Crotalaria megistantha Taub.

Hauptcharakterpflanze überall *Artemisia afra.

β. Am Ufer der Seen (3100 m).

442. Legum. . . . Trifolium Johnstonii Oliv.
 Auch *Gnaphalium Unionis Sch. Bip.

γ. In den Seen.

500. Gram. . . . Phalaris arundinacea L. subspec. Oehleri Pilger.
 501. Potamog. . . . Potamogeton natans L.
 502. Crass. . . . Crassula Vaillantii (Willd.) Schoenl.

18. Buschsteppe zwischen Deani und Mburu.

519. Tiliac. . . . Triumfetta flavescens L.
 520. Malvac. . . . Hibiscus micranthus L.
 521. Legum. . . . Acacia spirocarpa Hoch.
 522. Ranuncul. . . . Clematis Stuhlmanii Hiern.

¹⁾ Vereinzelt, desgleichen vereinzelt *Thalictrum rhynchocarpum Dill. et Roch.

²⁾ Häufig im Grasland und der Hochgebirgsstrauchformation.

³⁾ Im ganzen Riesenkraterhochland verbreitet, doch stets nur vereinzelt auftretend.

⁴⁾ Als Charakterpflanze auf den Schuttkegeln am Fuß der Schluchten des Westhangs.

XIV. Liste der gesammelten Tiere.

Die Tiere wurden im Königlichen Zoologischen Museum zu Berlin bestimmt, wofür ich allen Bestimmern, besonders Herrn Direktor Prof. Dr. Brauer meinen herzlichen Dank sage.

Fische.

- Cyprinidae { Labeo 1 Art. Fundort Mto ya Mat etc 8. 4. 07.
Die Gattung ist bisher nur aus dem Süßwasser bekannt.
Barbus 1 Art. Simbiti 21. 10. 06 und Yaidabach 24. 10. 06. Gattung nur aus Süßwasser bekannt.
- Siluridae: Clarias 1 Art. Yaidabach 24. 10. 06. Außer im Süßwasser ist die Gattung auch einmal in salzhaltigem Wasser gefunden.
- Cichliden: Tilapia 1 Art. Njarasasee, 19. 10. 06. Die Gattung ist bereits in stark natronhaltigen Wasserlöchern gefunden.

Reptilien.

- 1 Chamaeleon bitaenia. Elanairobikrater.
- 2 Bufo vegularis. Am Njarasasee in feuchtem Sand von Wasserlöchern.
- 2 Xenopus petersi. Yaidabach.
- 3 Larven von Rana, wahrscheinlich von R. adspersa. Ossirwasee.

Säugetiere.

- 1 Nashornzahn.
- 1 Schädel ohne Unterkiefer von Cephalophus harveyi Thos.

Mollusken.

- Limicolaria nilotica } verwitterte Schalen vom Ufer des
" martensiana } Njarasasees.
- Ampullaria ovata } vom Simbiti.
Spatha-Art }

Arachniden.

- 1 Süßwassermilbe, Hydrachnide. Simbiti.

Orthopteren.

- Ephemeriden-Larven
Acridioe

Rhynchoten.

- Pentatomiden (Gattung Coptosoma) Harara(Kinjangiru)berg.
Gerride. Bassotusee.

- Nolonectiden. Von Simbiti, Ngorongoro, Bassotu, großer Salzsee Elanairobikrater, kleiner süßer See im Elanairobikrater, Massaisteppe. Gattungen im Süßwasser verbreitet.
- Covixiden. Großer Salzsee im Elanairobikrater, Ngorongorosee, Bassotusee. Gattungen im Süßwasser verbreitet.
- Nepa. Iraku. Im Süßwasser verbreitet.

Coleopteren.

- Ancylonotus tsibulus F., Jumbe Kipapa, Iramba.
Anomalipus heraldicus Girst., Steppe östlich von Njarasasee.
Polyhirma smilophora Fairm, Iraku, Njarasasee.
Aspidomorpha, Berg I₃, Mburu.
- Agabus } Ossirwasee.
Lanophilus }
- Ridersus } Bassotusee.
Spercheus }
- Aulonagyris caffer Rch. }
Hydaticus } N. W. Abhang des Loolmalassin.
Agabus }
Herophydrus }
- Brachygastor pubescens Muls. }
Nerophydrus guineensis Aubi } Simbiti. Süßwasser.
Cauthydrus notula Er. }
Paracymus }

Hymenopteren.

- 1 Wabe einer Wespe, wahrscheinlich Polistes.

Dipteren.

- 3 Larven von Gyrostigma rhinocerontis bicornis Br.
- 23 Larven von Chironomus. Simbiti und Ossirawasee.

Odonaten.

- 1 Libellulidenlarve. Loolmalassin (?)
 - 1 Aeschniden-Larve. Bassotusee
 - 11 Agrioniden-Larven. Simbiti
- } unbestimmbar.

Crustaceen.

- Diaptomus }
Ostracoden } Njarasasee
Ephippine }
Diaptomus. Elanairobikrater }
Diaptomus } See von Ngorongoro
Ostracoden }
- } alles Süßwassergattungen.
- 2 Taschenkrebse Telphura } Süßwasserkrabben. Simbiti.
Caridina Mycki }

XV. Ethnographisches.

(Hierzu Tafel I bis III.)

Im folgenden gebe ich unsere ethnographischen Beobachtungen und Erkundungen wieder, die zu speziell sind, um in der landeskundlichen Beschreibung der einzelnen Gegenden Platz zu finden. Die Aufzeichnungen sind der Kürze halber ohne Stilisierung aneinandergereiht, in der Reihenfolge sich anschließend an die vom Königlichen Museum für Völkerkunde in Berlin herausgegebene Anleitung für ethnographische Beobachtungen und Sammlungen in Afrika und Ozeanien. Da ethnographische Forschungen nicht in unserm Plan lagen (S. 4), so konnten wir uns nur gelegentlich etwas eingehender damit befassen. Das muß die Unvollständigkeit dieser Aufzeichnungen entschuldigen. Die gesammelten Gegenstände, auf die hier manchmal Bezug genommen ist, sind im Besitz des Königl. Museums für Völkerkunde in Berlin.

1. Iraku.

Geographie und Statistik.

Über den Namen von Land und Leuten widersprechen sich die Angaben. Im September 1906 sagt Dschägüé (Kisuaheliorthographie wäre Chagwe), Land heißt „Iraku“, „Mburu“ ist Kisuaheliname, Leute „Wairaku“, zwei „Mangi“, Isara und Akida Maussa, welche viele Akiden unter sich haben. (N. B. Der Akida Maussa und seine Leute sind Tatoga!) März—April 1907 hörte ich stets, auch von den Offizieren des Postens, daß Mburru oder Umburru = das Land Isaras, Iraku = ein Stück des Landes der Mama Isara. (Isaras Mutter, im Lande Mama Isara genannt, ist Unterhäuptling im südöstlichen Teile des Landes). Auch wurde gesagt Iraku seien die Leute bei Mama Isara und beim Unterhäuptling Dafi.

Das ganze Gebiet liegt in etwa $35\frac{3}{4}^{\circ}$ ö. L. v. G. $3\frac{3}{4}^{\circ}$ S. Br. in Deutsch-Ostafrika und erstreckt sich etwa einen Tagemarsch in Länge und Breite.

Die Irakuleute sind wohl als Hamiten zu bezeichnen. Nachbarn: im S die Tatoga, im O, am Fuß der großen Bruchstufe, Wambugwe, im W und N Wildnis, früher von Massai, jetzt nur von Wakindiga durchstreift.

Das Land hat keine geschlossenen Dörfer, sondern die Hütten liegen einzeln über die Felder zerstreut. Die Einwohnerzahl schätzte Feldwebel Scheffel auf 30 000. Die bewohnte Fläche mag 500 qkm betragen, also 60 Einwohner pro qkm. Stimmt gut überein mit Isaras Angaben über die durchschnittliche Größe des Ackerlandes (S. 99).

Mburu—Iraku ist ein Bergland von 1500—1900 m Meereshöhe, umgeben und unterbrochen von Bergen bis 2300 m. Grasland, sehr bachreich, an den Grenzen Regenwald.

Bevölkerung scheint durchaus einheitlich. Natürlich leben seit Anlage des Militärpostens außer den Europäern und den schwarzen Soldaten der Schutztruppe auch einige Inder und Wasuaheli als Händler im Land. Man sieht viele alte Leute, oft prächtige Typen, aber schwerlich gibt es Leute über 70 Jahre. Bevölkerung ganz sesshaft, lebt vorwiegend von Ackerbau, auch ausgedehnte Viehzucht. Jagd untergeordnet.

Wohnstätten und Einrichtung.

Die typische Form des Wohnhauses ist die Tembe, do. Fig. 1 a, b, c, und Abb. 2, 3, 4 (Tafel I). Die Temben sind an die Berghänge gebaut, manche teilweise in den Hang eingebaut, bei anderen wurde der Boden ringsum ausgehoben, alle aber sind ein wenig versenkt, d. h. Boden der Hütte etwas tiefer (10 bis 20 cm) als äusserer Boden. Nur im südlichen Teile des Landes

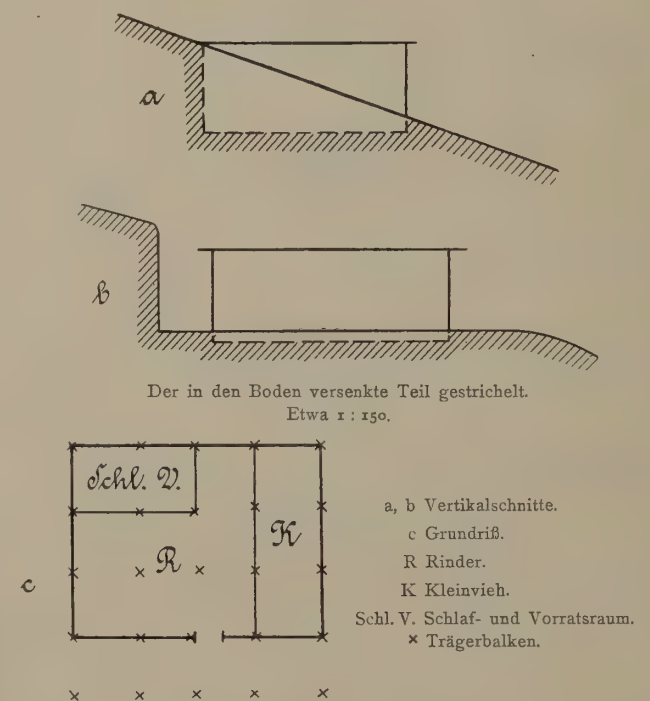


Fig. 1. Hütten in Mburu.

der Mama Isara stark versenkte Temben. Grundriß quadratisch, Maße wechselnd, etwa zwischen 5 und 10 m Länge. Höhe innen ca. 1,70 m (konnte nur mit gesenktem Kopf darin stehen, bin 1,75 m). Tür stets bergabwärts schauend. Die Anordnung

der Verschlage fur Kleinvieh und Schlaf- und Vorratsrume ist etwas verschieden in verschiedenen Hutten. Darin in halber Hohe ein Zwischenboden aus Holzstaben. Ein Teil desselben mit Rindshauten belegt, als Schlafstelle. Dahinter stehen Vorratsgefae. Feuerstelle unter dem Zwischenboden. Offener Vorraum unter vorstehendem Dach (fehlt hufig).

Technik des Bauens. Ahnlich wie bei den Tatoga (S. 103), wahrscheinlich genau so, doch hier nicht in den Einzelheiten beobachtet. Die Tragerbalken sind an der Gabelung nicht entrindet zum Schutz des Holzes gegen Feuchtigkeit. Auenwande Knuppelholz, mit Rindermist verschmiert, Dach mit dem sandigen roten Lehm bedeckt, zu ebener Tenne befestigt. Die Balken werden aneinander gebunden, wenn ich mich recht erinnere mit Rindenbast. Im Land der Mama Isara gibt es ein geschlossenes Gebiet, wo nur groe Rundhutten vorkommen (durch den Paubergang nach Mburu reicht diese Huttenform ein Stuckchen in Isaras Land hinein), sonst nur Temben.

Dachkonstruktion der Rundhutten mit Spitzdach (an verbranntem Haus und Neubau beobachtet). Siehe Fig. 2 b. Zwei oder drei solche Tragerreihen stehen hintereinander. Daruber ein Bundel zusammengebogener dicker Gerten als Dachbalken! (Offenbar, weil ein Balken sich nicht so

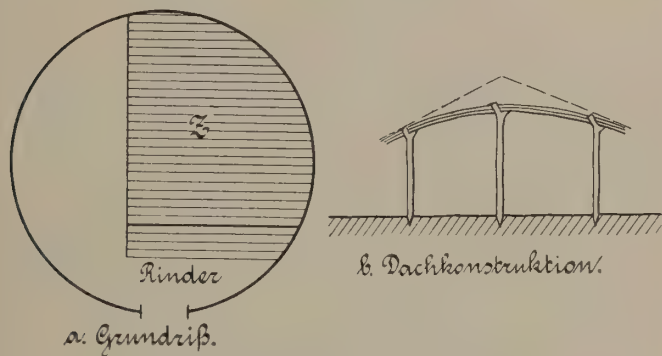


Fig. 2. Rundhutten in Iraku.

Etwa 1 : 200.

biegen liee.) Dacher mit dem Schilf gedeckt, das uberall in den Bachen wachst. Diese Huser heien Ura (Tafel I, Abb. 1) Durchmesser 8 m, Hohe 4 m. Grundri siehe Fig. 2a. Z, Zwischenboden in 1,50 m Hohe, darunter Schafe, Kalber, Ziegen. Darauf liegen hata (Sammlung Nr. 47) als Schlafmatten. Ferner stehen auf dem Zwischenboden Vorratskorbe, Khundigefae und Topfe herum. Wande glatt mit Lehm verschmiert und dann mit weiem Sand sauber bestrichen. Tur schaut, wenn Haus am Berghang, talwarts.

Jede Familie hat ihr eigenes Haus, der Haupt-

Mitteilungen a. d. D. Schutzgebieten, Erganzungsheft 4.

ling Isara hatte fur jede Hauptfrau ein besonderes Haus. Isaras Temben waren groer als die anderen, weil er mehr Vieh darin unterzubringen hatte. In jedem seiner Huser (Temben) fanden 60 Rinder Platz. Huser fur besondere Zwecke gibt es nicht. Das Vieh wird in denselben Temben untergebracht wie die Familie, nur durch Verschlage getrennt. „Hofe“ gibt es nicht, doch ist um jede Tembe ein etwas freier, ebener, von Pflanzenwuchs entbloter Platz, meist ziemlich rein gefegt. Eigene Abtritte, eigenen Platz fur Trophaen nicht gesehen noch davon gehort.

Der Turverschlu besteht aus roh geglatteten Brettern (d. h. flach geschnittene Knuppel, zersagen konnen sie die Stamme naturlich nicht). Sie werden zwischen den Turbalken horizontal ubereinandergelegt, bis das ganze Turloch verschlossen ist. Sowohl in der Tembe (do) wie in der Rundhutte (ura) dieser Turverschlu. Bei den Rundhutten jedoch ein geglattetes Brett als Turpfosten, damit die Rinder sich nicht mit den Hornern darin verhaken. Wo sich in diesem Fall die Widerlager fur die Verschlubretter befinden, habe ich nicht beobachtet. Alles ohne jede Verzierung.

Gemeindebauten gibts nicht. Dorfer gibts nicht, Huser uber das ganze Land zerstreut, zwischen den Feldern.

Innere Einrichtung: Verschlage trennen den Raum fur das Kleinvieh und den Schlaf- und Vorratsraum vom groten Raum ab, der fur die Rinder bleibt. Schlafstelle stets auf dem Zwischenboden. Rindshaute oder hata (Matten) als Unterlage. Als Kopfkissen dienen ebensolche Bretter wie die Turverschlubretter. Herd, wenn nicht immer, so doch meist unter dem Zwischenboden.

Gefae: Ein aus Holz geschnittener Morser (kune) dient lediglich zum Enthulsen des Getreides. Khundi, Gefae aus Rindermist ohne Holzgestell,

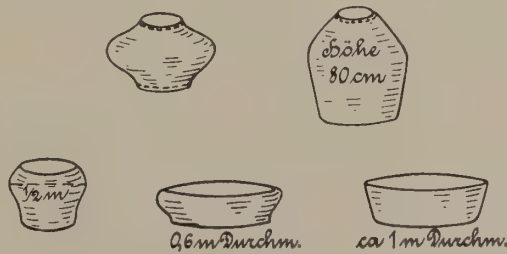
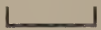


Fig. 3. Khundigefae.

werden in verschiedenen Formen geknetet und auf den flachen Tembendachern zum Trocknen aufgestellt und wenn sie fertig sind, ins Haus genommen und Vorrate (Getreide, Bohnen) hineingelegt.

Formen der Gefäße (Größen geschätzt), siehe Fig. 3. Ferner flache Schalen 0,6 m Durchmesser, Rand 10 cm hoch. Querschnitt: 

Große bauchige Gefäße. Randverzierung durch Fingereindrücke.

Andere Gefäße sind Körbe, gleich den Matten aus Schilf genäht. Kürbisschalen (maaramo) zum Aufbewahren des Mehls, Kürbisflaschen. Kochtopf aus Ton.

Dé'eti (Sammlung Nr. 38) kleiner Korb aus Blättern der Phoenixpalme (Sánsá).

Hudhlai, große Tongefäße etwa von der Größe der mittleren Khundi, von Irakuleuten gefertigt, aus Lehm, im Feuer gehärtet.

Lampen oder Fackeln nicht gesehen.

Ernährung.

Der Herd besteht aus den üblichen drei Steinen. Trinkgefäße: Tsharima, ein Rindshorn zum Pombe-trinken (Nr. 31 meiner Sammlung).

Das Getreide wird von den Frauen erst im Mörser durch Stampfen enthülst, dann mit Steinen gemahlen, nicht gestoßen. Mühle besteht aus einem Handstein auf flacher Platte, beides zusammen sa'a genannt. Mehl in waaramo (Kürbisschalen) aufbewahrt.

Aus Mehl wird fáa (= ugali d. Wasuaheli, Mehlbrei, Kleister) gekocht. Bohnen werden unzerkleinert in gekochtem Zustand gegessen. Fleisch von Haustieren und Wild (jedoch nicht vom Nashorn) wird teils roh, teils am Spieß gebraten, teils gekocht gegessen. Trinken Milch, aber kein Blut. Doch kochen sie Rinderblut, das wie bei den Massai und Tatoga durch Anschließen der Halsader gewonnen wird, mit bassoro-(Pennisetum)-Mehl zu einem Brei, fojan genannt. Honig wird auch gegessen, nicht nur zu Honigbier verwandt. Honig = denu.

Menu: 1. Tag fáa und amu (Kürbis), 2. Tag fáa und Fleisch, 3. Tag fáa und Milch. Alle drei Tage wieder dasselbe Menu.

Fáa aus bambare (Eleusine coracana) wird nur von Weibern und Kindern gegessen, nicht von Männern. Grund dafür: „Das ist unsre Sitte“, sagte Isara. Im übrigen essen beide Geschlechter dieselben Speisen. Doch essen beide Geschlechter, auch die Kinder, getrennt, „weil die Weiber sich fürchten, die Männer könnten ihnen alles vorwegnehmen“.

Schmuck und Haartracht.

Schmuckstücke als Rangabzeichen scheint es nicht zu geben. Isara hatte eine bunte Indermütze,

doch wohl nicht als Abzeichen, sondern weil er sich's leisten konnte. Er trug sie auch zu europäischem Kakianzug.

Schmuck der Männer: Perlenschnüre, meist etwa 10, aus grünen Perlen, doch auch andersfarbige, um den Hals. (Sammlung Nr. 39.) Perlen = Kwassu. Einzelne haben Elfenbeinspangen um den Oberarm, die meisten Pflöcke von 2 bis 3 cm Durchmesser in den Ohrläppchen und die meisten haben einzelne Federn (von Perlhuhn oder andren Vögeln) im Haar. Ringe aus Leder um die Knöchel, manchmal mit Messingplättchen (aus Patronenhülsen hergestellt!) verziert (Nr. 41 Girigiria der Sammlung).

Frauen: Schmuck reicher als der der Männer. Z. B. tragen sie noch Armbänder (Nr. 43 der Sammlung tongo, Stroharmband, über den Ellenbogen getragen, aus mehreren Ringen, von denen einer geflochten, die andren gewickelt waren).

Haartracht der Männer: Gewöhnlich vordere Kopfhälfte rasiert, hintere in lauter kleine Zöpfchen gedreht, die wie grober Bindfaden aussehen. Wo nicht gepflegt, kommt das krause Haar heraus. Oft bärtig.

Weiber: Das ganze Kopfhaar zu solchen Zöpfchen gedreht.

Künstliche Verunstaltungen.

Bemalung: Nicht beobachtet.

Tätowierung: Manche Frauen hatten das Gesicht mit dunklen Kurven tätowiert.



Fig. 4.
Tätowierung
einer Frau
in Mburu.

Ziernarben: Die Weiber haben zahlreiche Narben am Rücken und den Armen, auch auf dem Bauch und auf den Brüsten. 2 cm große, erhöhte Narben. An den Armen Anordnung der Narben in Form von Armbändern.

Anordnung
der Zier-
narben.

Männer und Frauen durchbohren das Ohrläppchen für Schmuck.

Beschneidung nach Wasuaheliart. Grund: „Wenn einer sich nicht beschneiden läßt, so ist es schlimm, dann kriegt er keine Frau.“

Auf Veranlassung des verstorbenen, um die Ethnographie Ostafrikas so hochverdienten Hauptmanns Merker ließ ich mir zeigen, wie die Operation ausgeführt wird: Der zu Beschneidende legt sich mit dem Rücken auf den Boden und wird an den Oberschenkeln und der Brust festgehalten, während der Operateur schneidet.

Kleidung.

Die Leute sind stets bekleidet, außer kleinen Kindern. Thläu (Thlaw) wurden die Ledergewänder sowohl der Männer (Sammlung Nr. 29) als auch der Weiber (Nr. 40) genannt. Letztere mehr mit Perlen (Kwássu) bestickt. Die meisten Männer tragen jedoch jetzt erdbraungefärbtes Baumwolltuch, das sie ebenso über die rechte Schulter schlagen wie ehemals die Ledergewänder.

Beim Tanzen hatten sie es nur um die Hüften, bis zum Knie reichend, Oberkörper frei. Doch zuletzt, als es kühl wurde, bedeckten sie auch beim Tanzen den Oberkörper. Isara hatte seiner Mutter und seiner Frau scheußliche buntgemusterte Kattunkleider gekauft.

Mode: Die grünen Glasperlen sind einmal von einem Inder ins Land gebracht worden und seitdem sehr beliebt.

Kopfbedeckung niemals gesehen, außer Häuptling Isara (S. 98).

Waffen.

Speere, Nr. 37 der Sammlung, Láualá. Hármahái = Schaft. Láualá = Blatt, mit Ziegenleder am Schaft befestigt. Komáthi = Eisenspange zum Ausbalanzieren. Andere Speere haben auch einen richtigen Schuh = Geshübene. Pfeile haben Eigentumsmarken.

Jagd, Viehzucht, Ackerbau.

Die Jagd wird ausgeübt mit Speeren, mit Bogen und Pfeilen (vergiftet!), und zwar auf Kongoni, Swala (Kuhantilope und kleine Antilopenarten), ehemals auf Giraffe und Zebra (auf letztere Tiere heute vom Gouvernement verboten). Kurz vor unserer Ankunft war, nach Mitteilung des Postenchefs, ein Leopard erlegt worden, indem die Leute ein Kesseltreiben veranstalteten und ihn mit den Speeren erstachen. Früher legte man Fanggruben fürs Wild an, das ist aber jetzt amtlich verboten. Flinten waren Anfang 1907 noch nicht vorhanden. Von Fischfang habe ich trotz des Reichtums an kleinen Bächen nichts gehört und gesehen.

Haustiere: Rinder jékwa. Schafe bé'ang, Ziegen árá. Esel dógwai. Hühner kónga. Katze maitzi.

Die Esel dienen als Lasttiere, um bei Hungersnot Mtama aus anderen Ländern zu holen. Jede Familie hat eine Katze zum Rattenfangen. Hühner zahlreich (habe nirgends in Ostafrika soviel Hühner gesehen wie hier). Ein Mann hat 3 bis 40 Rinder, manche noch mehr.

Zur Gewinnung des Rinderbluts (S. 98) wird die Halsader abgeschnürt und dann mit besonderem Bogen und Pfeil angeschossen.

Gále der Bogen, Sahára (Sakhara) der Pfeil. Nr. 32 und 33 der Sammlung.

Unteroffizier Scheffel sagte mir, die Tiere würden nicht geschlachtet, sondern erwürgt, weil die Leute kein Blut sehen dürfen. Der Mist des Viehs wird zum Trocknen vors Haus gelegt und dann dem Vieh als Streu untergelegt.

Der Ackerbau ist sehr entwickelt. Sorgfältiger Anbau. Auf einzelnen Hügelrücken sind wohl 95% des Areals bebautes Feld! Nur die Temben dazwischen und der zugehörige freie Raum. Das Ackerland eines gewöhnlichen Mannes etwa 250 m im Quadrat, also etwa 6 ha. Tembe in der Nähe. Geackert wird von Männern, Frauen und großen Kindern. Samen von Männern und Frauen eingesteckt, und zwar von Mtama 8, Mais 4, Bohnen 3, Wimbi viel, Bassoro 30 Körner in ein Loch. Die Löcher in einer Reihe. Geerntet wird von Männern und Knaben, nicht von Frauen. Die Frauen enthülsen das Getreide und mahlen es. Wasser zum Begießen (nur bei Isara, im Lande der Mama Isara regnet es das ganze Jahr hindurch, dort wird nicht künstlich bewässert) der Felder bringen Männer, Weiber und Kinder in Kürbisflaschen heran. Dursai, Holzstöcke, etwa 1,10 m lang, zum Aufstechen des Grasbodens, wenn auf vorher unbebautem Land ein Acker angelegt wird. Kúrmu, Hacke mit Eisenblatt, das in den Holzstiel schräg eingelassen ist (Sammlung Nr. 36), und Toagóno, hölzerne Hacke (Nr. 46). Damit werden die Furchen ausgekratzt. Die eiserne Schaufel der Kurmu (Hacke) wird von Irangi oder Ümbugwe gekauft.

Feldfrüchte: baláng (Mtama, Sorghum) bei weitem vorherrschend. áito (Mais) und bassoro (Pennisetum) häufig, bambáre (Eleusine coracana) weniger häufig. Amu (Kürbisse, Cucurbita maxima). Vereinzelt Tabak. Süßkartoffeln (nach Scheffel). Wenn ich mich recht erinnere, standen im unteren Mtungurital, in der Gegend des Jumben Dafi, auch einige Bananenpflanzungen an geschützten Stellen. Losi, eine Bohnenart.

Äcker rechteckig. Saat in Reihen, die wenigstens im Land der Mama Isara in der Isohypse gezogen sind. Nach dem Aufackern mit der hölzernen Hacke (toagono) wird mit Rindermist gedüngt. In Mburu pflanzt man nach Isaras Angabe alljährlich auf jedem Acker gleichzeitig Mais, Bohnen (maragwe, Kisuaheli), mtama reihenweise nebeneinander, immer eine Reihe Mais, eine Bohnen, eine Mtama. Kein Fruchtwechsel. Nur einmal jährlich

wird das Feld bestellt. Gesät wird etwa Mitte November, in der Regenzeit. Andererseits sagte mir Isara auch: Mais wird etwa Mitte Juni gesät, wird alle 8 Tage einmal begossen, indem man in Kürbisgefäßen Wasser herbeiträgt, und wird in 3½ bis 4 Monaten reif. In der Tat standen Mitte September 1906 die Mtamafelder in Stoppeln, die Maisfelder noch frisch, nicht geerntet, aber bald reif. Andererseits sah ich im März Mtama, Mais, Pennisetum und Eleusine auf den Feldern stehen. Auch Mais und Bohnen sah ich reihenweise abwechselnd gepflanzt. Im Land der Mama Isara Fruchtwechsel: 1. Jahr Mais und Bohnen, 2. Jahr mtama und kunde (Bohnenart), 3. Jahr bassoro (Pennisetum). Dort gibt es keine Trockenzeit, daher auch kein Begießen der Felder.

Ernte: Die Maiskolben werden ausgebrochen. Die Blätter und Stengel fressen dann die Rinder.

Die Feldfrüchte werden in den etwa halbkugligen Schilfkörben (Sammlung Nr. 45), lagüanti, heimgetragen, von den Männern auf dem Kopf, von den Weibern auf dem Rücken wie ein Rucksack. Doch müssen sie dann etwas gebückt gehen.

Die Feldfrüchte werden auf die flachen Temben-dächer gelegt zum Trocknen, die verschiedenen Früchte in getrennten Haufen (Tafel I, Abb. 2, 3, 4). Bohnen sind nach einem Monat, die andern Feldfrüchte nach zwei Monaten trocken. Nach dem Trocknen werden sie enthülst (siehe unten).

Das Land (siehe S. 99) wird an den ältesten Sohn vererbt.

Feldschutz: Am Bassota Merka sind die dem See zunächst gelegenen Felder mit Dornen eingehegt, damit die Nilpferde nicht hineingehen.

Vogelscheuchen: a) Überall stehen etwa 2 m hohe Gestelle (ebenes Lehmdach wie das einer Tembe, auf Pfählen) in den Feldern, auf denen zur Reifezeit ein Mann sitzt und die Vögel vertreibt durch Rufen, Lärmen oder indem er mit einer Schnur peitscht oder mit Erdschollen nach ihnen wirft. b) Es werden Kürbisschalenscherben an den Mtama-halmen befestigt, die vom Winde bewegt ein Geräusch machen, wodurch die Vögel verscheucht werden sollen. c) (Nur einmal gesehen.) Eine Reihe von hohen Stäben oder Gerten steckt locker im Boden, darüber ist eine Schnur gelegt. Es sieht aus wie eine Telegraphenleitung, jedoch kann die Schnur durch Ziehen hin- und herbewegt und dadurch auch die Telegraphenstangen hin und her gebogen werden. Diese Leitung geht von der Tembe ins Feld, so daß der Besitzer, vor der Tür sitzend, die Leitung in Bewegung setzt. Dadurch

werden auch die Mtama- oder Maishalme hin und her bewegt und ziemliches Geräusch verursacht.

Enthülsen der Frucht: Bohnenkerne werden aus den Hülsen ausgetreten, die Hülsen an die Schafe verfüttert, die Kerne in Khundigefäßen aufbewahrt. Getreide wird von den Frauen durch Stampfen mit Holzstangen enthülst, in hölzernem Mörser (Küne), der nur zum Enthülsen, nicht zum Mahlen dient. Gemahlen wird von den Frauen mit Reibsteinen.

Genußmittel.

Tabak wird vereinzelt gepflanzt, viel gebraucht zum Schnupfen, nicht zum Rauchen. Ob auch Frauen schnupfen, nicht beobachtet. Haschisch und Betel dürften den Irakuleuten unbekannt sein.

Berauschende Getränke: búra wird aus mangóre¹⁾ (Mtama) gemacht. Körner in Wasser aufgeweicht, in die Sonne gestellt, dann getrocknet und gemahlen. Das Mehl wird in Wasser geschüttet und vier Tage stehen gelassen, dann ist búra fertig.

dangali: Honig wird in Wasser getan, der Schmutz abgeschöpft, in Kürbisflaschen ans Feuer gestellt, wo das Getränk in neun Tagen héae, „scharf“, wird, am zehnten Tag getrunken. dangali wird angesetzt, wenn einer sein Feld beackert, und getrunken, wenn er damit fertig ist. Bei andern Gelegenheiten nicht. Aber beim mangi (Häuptling) wird jeden Tag dangali gemacht und von ihm, den Akiden und der Verwandtschaft getrunken, auch von Weibern.

búra machen sich die Leute selbst, so oft sie Lust haben, bringen aber die Hälfte davon dem mangi oder der Mama Isara. Ebenso erhält er eine Abgabe vom dangali.

Der Genuß scheint mäßig zu sein, niemals sah ich Gelage, wie bei den Wadschagga täglich. Importierten Schnaps gab es 1906/07 Gott sei Dank noch nicht.

Musik und Tanz.

Die folgenden Tänze ließ Isara eines Tages uns in der angegebenen Reihenfolge vormachen. Die meisten sind Kreistänze (d. h. die Tanzenden sind in einem großen Kreis aufgestellt, in der Mitte die Einzeltänzer oder die Musik). Die allgemeine Tanzbewegung ist nicht der Hopsschritt, den wir bei den Wadschagga und Leuten von Aruscha sahen, sondern ein Emporhüpfen gleichzeitig auf beiden Beinen ohne Fortbewegung. Es wird nicht hoch gehüpft und nur wenig in die Kniee gesunken.

¹⁾ Angabe von Dschagwe. Warum heißt das Mtama hier nicht balang (S. 99)? Andere Art, anderer Zustand der Körner?

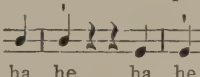
Unterarme wagrecht nach vorn gehalten, bei manchen Tänzen mit, bei andern ohne Stock, der senkrecht nach oben in der Hand gehalten wird. Etwa 80 bis 90 solche Bewegungen in der Minute, je vier zu einem Takt vereinigt. Bei den Tänzen hatten die Männer ihre Baumwolltücher nur um die Hüften geschlungen, erst bei den späteren zogen sie sie über den Oberkörper, wohl weil es kühl wurde.

Tanz 1: (Tafel I, Abb. 3 und 5.) Zwei Leute schlagen mit Stöcken an die Schilde und singen: „Führt einen schönen Tanz auf, nicht faulenzten“. Nur diejenigen, welche schon im Kampfe Massai-krieger erschlagen haben, tanzen in hohen Sprüngen dazu, die andern stehen im Kreis herum und singen ziemlich auf einen Ton. Die Jungen, die noch nicht den nötigen Kriegerstatus erreicht haben, tanzen bisweilen dazwischen, werden aber sofort zurückgewiesen.

Tanz 2 wird getanzt, wenn der Mais noch nicht reif ist. Zwei hübsche Weiber in der Mitte des Kreises sitzen rittlings auf einem großen Gefäß, über welches sie ihre Lederschürzen mit den Knien spannen (Abb. 2). Auf diesen Schürzen trommeln sie mit Holzstäbchen die Begleitung. Im Kreise um sie herum die tanzenden Männer, an Ort und Stelle tanzend und dazu singend. Allmählich mischen sich auch einige Weiber in den Kreis der Tanzenden.

Tanz 3 wird getanzt, „wenn recht viel zu essen da ist“ (d. h. nach der Ernte). In der Mitte schlagen zwei Vorsänger mit Holzhacken (toagono) einen tönenden Balken und singen dazu: „Wir sind betrunken“. Die Männer des Kreises tanzen, indem sie voreinander (nicht nebeneinander) stehen, linke Schulter nach der Kreismitte, mit Stöcken in der rechten Hand, in der Tanzstellung, im Kreise herum vorschreitend. Auch einzelne Weiber. Bei großer Teilnehmerzahl auch zwei konzentrische Kreise, dicht nebeneinander. Dazu der allgemeine Gesang:

 (Sekunde). Manchmal auch Bewegung in

beiden Kreisen gegeneinander. Später lautet die Melodie des Gesangs  (große Terz),

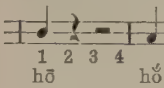
auf jedes hahe einmal vorwärts gehüpft. Später noch

 (Prim). Dazu die Melodie der Vorsänger. Bei

der Gesangsbegleitung wechseln öfters obige Motive. Manchmal auch ziemliches Durcheinander in Gesang und Tanz. Am Ende eines Abschnitts laufen alle mit Gekreisch in Fistelstimme ziemlich rasch im Kreise herum, im Sinne der Tanzbewegung.

Tanz 4. (Tafel I, Abb. 6.) Die Männer, mit den Stöcken in der Hand, sind in drei rechteckigen Heerhaufen, meist fünf in einer Reihe, wie drei Ba-

taillone aufgestellt. So laufen sie vorwärts, nach einer Strophe wieder zurück.

 (kleine Sekunde) schallt wuchtig und drohend ihr Gesang.

Tanz 5. In der Mitte Vorsänger, schlagen mit Stöcken aneinander, andere ringsum schnellen sich senkrecht in die Höhe (wie die Massai). Zuletzt eine Art Hochruf, bei dem sie die Stöcke hochheben.

Tanz 6. Wiederholung von 1. Dann: Fünf Stöcke in der Mitte hingelegt, ein Mann mit Schild sitzt daneben, einer steht in der Mitte mit einem Bein auf den Stöcken und erzählt von seinen Heldentaten gegen die Massai. Dann wieder wie 1.

Andere Musikinstrumente als die hierbei genannten gibt es nicht.

Transportmittel.

Wege: Breite, gut ausgetretene Fußwege zwischen den Feldern. Seit Ende 1906, nach Gründung des Militärpostens, auch breiter gerodete und geglättete, gerade Straßen. Besonders im Lande der Mama Isara waren viele Brücken über die kleinen Bäche gelegt. Die Bäche sind zu klein, um schiffbar oder flößbar zu sein.

Handel.

Europäisches Geld (Rupie) kam unter Hauptmann Merker ins Land, wird aber nur im Verkehr mit Europäern und Indern gebraucht. Unter Nachbarvölkern Tausch. Das Eisenblatt für die Hacke kaufen die Irakuleute für Mtama oder Hühner in Umbugwe oder Irangi, die Eisenteile der Speere in Mangati, Iramba oder Umbugwe.

Technik.

Ich habe nie etwas von Berufshandwerkern gesehen und gehört und möchte glauben, daß alles im Haushalt hergestellt wird, mit Ausnahme der Eisenteile von Speeren und Hacken.

Nur einheimische Töpferei. Große Tongefäße, Hudhlai, von Wairaku selbst gefertigt, aus Lehm, im Feuer gehärtet.

Von Flechtarbeiten verfertigen sie Matten und Körbe verschiedener Art. Große Matte, háfta, aus dem Schilfgras der Bachläufe hergestellt, meist als Schlafmatte verwandt (Nr. 47 der Sammlung). Kleiner ziemlich flacher Korb, de'ėti, aus Blättern der Phoenixpalme (sānsā) (Nr. 38). Großer Korb, lagúánti, in dem die Weiber die Feldfrüchte heimtragen, wird wie ein Rucksack getragen (Nr. 45).

Holzschnitzerei nicht bedeutend. Weberei gibts nicht. Rindenzeuge gibts nicht. Metalltechnik unbekannt.

Politische Verhältnisse.

Regierungsform: Isara ist alleiniger Häuptling (mangi), hat etliche Akiden unter sich. Seine Mutter, allgemein Mama Isara genannt, scheint seine Stellvertreterin im südlichen Landes- teil zu sein. Mama Isara hat ebenfalls etliche Akiden unter sich. Isara und seine Mutter ver- trugen sich zur Zeit ausgezeichnet.

Vor dem soeben (August 1906) geführten Kriege, bei dem Isara wohl aus politischer Klugheit regierungstreu geblieben und deshalb vertrieben worden war, scheinen manche Akiden ihm gegen- über viel selbständiger gewesen zu sein.

(NB.: Der Akide Maussa ist ein Tatoga, seine Leute auch, gehören also ethnographisch nicht zu den Irakuleuten. Doch läßt obige Angabe von Dschagwe (S. 96) darauf schließen, daß ein ge- wisser politischer Verband besteht.)

Der Mangi erhält: Die Hälfte des búra- und dangali-Getränks. Von der Ernte an Mtama, Mais und bassòro bringt ihm jeder einen Korb voll. Vom Vieh keine Abgaben, nur auf Reisen erhält der Mangi von jedem Akiden je ein Rind am Tage des Aufbruchs und eines am Tage der Rückkehr.

Besondere Abzeichen nicht bemerkt, es sei denn die Kopfbedeckung (S. 98).

Das Land ist abhängig nur von der deutschen Regierung.

Rechtspflege und soziale Verhältnisse.

Das Haus und das zugehörige Ackerland wird an den ältesten Sohn vererbt.

Von Standesunterschieden, Kasten, Dienst- boten, Sklaven nichts bemerkt.

Familie.

Polygamie: Der etwa 13jährige Bruder von Isara hatte schon zwei erwachsene Frauen. Isara hatte mehrere.

Die Verwandtschaft wird weit verfolgt. Ein Führer von mir war „nah verwandt“ (Kisuaheli ndugu) mit Isara. „Sein und Isaras Großvater hatten dieselbe Mutter.“

Religion.

Irgendwelche Kultusgegenstände habe ich nie gesehen, noch irgend etwas von dem religiösen Leben bemerkt. Es scheint also, daß die Religion wenigstens äußerlich im Leben keine große Rolle spielt.

Sprache.

Sprache hart, mit Kehllauten, stark aspi- riertem h, fast wie Schweizer ch, von mir kh ge- schrieben. Auch Vokale sprechen sie manchmal hinten im Gaumen. Auffällig ist die scharfe Trennung verschiedener Vokale, von mir mit ' be- zeichnet, z. B. de'éti (Körbchen), Sé'ane (Berg- name). Von den Sprachen der Nachbarvölker sehr verschieden, so daß sie sich gegenseitig nicht ver- stehen (Tatoga, Umbugwe). Z. B. hörte ich Isara mit einer Umbugwefrau Kisuaheli sprechen. Die wenigen von mir aufgezeichneten Worte hat Bernhard Struck freundlichst bearbeitet (Ab- schnitt XVI).

2. Die Tatoga.

Geographie und Statistik.

Die Tatoga bewohnen die Landschaften Tun- gobesch, Madumega, Nar, Basched (alle nach Ge- wässern benannt) auf dem Hochland von 1900 bis 2200 m, das an die große Bruchstufe des zentralen Deutsch-Ostafrika angrenzt, sowie Mangati am Fuß dieser Bruchstufe und am Nord- und Nordostfuß des Vulkans Ngurue in 1500 bis 1700 m. Der Berg wird von ihnen Hanang genannt. Einige Tatogakolonien befinden sich in Ussukuma, so angeblich in den Landschaften Ntussu und Muagalla, eine kleine, mit Washashi vermischt, trafen wir im Dorf Hantadjiga (an der Straße Muansa—Ikoma gelegen) an. Sie selbst nennen sich Tatoga, Wataturu ist wohl Kisuaheliname, Mangati (d. h. Fremde) heißen sie bei den Massai.

Siedelung nur vereinzelt in geschlossenen Tem- benkomplexen, meist sind die Temben einzeln über das Land zerstreut. Das Land ist wellige bis stark hügelige Steppe mit viel Gras und weniger Busch und Baumwuchs. Im Osten der hochgelegenen Teile, unmittelbar an der Bruchstufe Urwald, aus dem die Bäche des Landes kommen. Auch Mangati am Fuß der Bruchstufe ist Steppenland, bewässert vom Basched und Bubu, die von der Bruchstufe herabkommen, sowie von periodischen Bächen vom Hanang (Ngurue). Die Tatoga sind jetzt über- wiegend sesshafte Ackerbauer, zum Teil nomadi- sierende Viehzüchter.

Die Anzahl der Temben in den Landschaften des Akida Maussa (hochgelegener Teil) schätzte ich auf 1000, in Mangati, wo wir nur einen kleinen Teil des Landes sahen, dürfte es mindestens 500 Temben geben. Fünf Bewohner pro Tembe scheint mir gering angesetzt, da die Leute mehrere Frauen haben. Die Anzahl der in dem Hauptgebiet

(abgesehen von den Kolonien) wohnenden Tatoga dürfte sonach mit 8000 Köpfen nicht überschätzt sein.

Wohnstätten und Einrichtung.

Drei Formen der Ansiedlung: a) einzelne über das Land zerstreute Temben (häufigste Form), b) Tembendörfer (Tafel II, Abb. 14), die Temben dicht wie die Häuser einer Stadt aneinander gebaut, so daß sie Höfe umschließen und sozusagen eine kleine Festung bilden, die manchmal noch durch eine

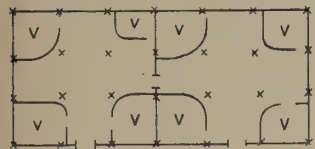


Fig. 5a.

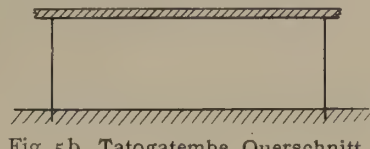


Fig. 5b. Tatogatembe, Querschnitt.



Fig. 5c. Türverschluß im Grundriß.

o Die Türpfosten.

Grundriß einer Doppeltembe bei Akida Maussa.

x Trägerbalken. v Verschlüsse.

Dornumzäunung befestigt ist, c) Krale der nomadisierenden Viehzüchter mit starker Dornenumzäunung und schlecht gebauten Temben. Letztere Form nur rings am Fuß des Hanang gesehen (Fig. 7, S. 104).

Das Wohnhaus ist die Tembe (Fig. 5, 6, Tafel II, Abb. 15 ff.), eine Hütte von rechteckigem, meist quadratischem Grundriß und flachem Dach. Bei 2 m Höhe und mindestens 5 m Länge und Breite sieht eine Tembe aus wie ein flacher Kasten. Der Boden ist zu ebener Erde. „Versenkte“ Temben nur vereinzelt gesehen, im östlichen Mangati sowie in Tumbati.

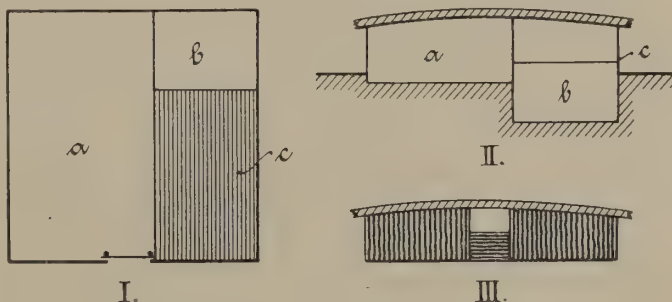
Konstruktion der Tembe: In quadratischer Anordnung, wie die Kegel des Kegelspiels, sind mit 2 m gegenseitigem Abstand 9 oder 16 oder 25 usw. oben gegabelte Trägerbalken in den Boden getrieben, etwa 10 cm starke Knüppel, die oben eine natürliche Astgabel tragen. Über jede Reihe ist horizontal ein Deckbalken gelegt, darüber folgt eine Schicht von Stangen, die senkrecht zur Richtung der Deckbalken dicht nebeneinander liegen. Darüber, senkrecht dazu, also parallel mit den Deckbalken, eine Schicht dünnerer Stäbe und schließlich eine Schicht von Gras, mit Lehm und Sand dicht verschmiert. Die Hauswände gebildet aus starken Knüppeln, die zwischen den äußeren Trägerbalken dicht nebeneinander im Boden stecken. Ihre Zwischenräume sind mit Lehm verschmiert. Bei vielen Häusern läßt eine Hauswand die äußerste Reihe der Trägerbalken frei, so daß vor dem Haus ein offener, oben gedeckter Vorraum entsteht, der Lieblingsaufenthalt der Leute. Auch wo kein eigentlicher Vorraum, steht das Dach etwas über.

Türverschluß: Beiderseits stehen zwei Türpfosten nahe hintereinander. Zum Schließen werden etliche Knüppel mit den Enden im Zwischenraum der beiderseitigen Türpfosten, an denen sie widerlagern, aufgeschichtet. So wird die Tür bis obenhin mit Knüppeln ausgefüllt, ein umständlicher, aber fester Verschluß. Alles Gebälk nur roh von der Rinde befreit, selten geglättet, ohne Verzierungen.

Solche Temben sind nicht nur raubtiersicher, sondern wegen der Lehmverschmierung und Lehmbedeckung auch leidlich feuersicher. Nur bei den Temben der Krale sind Dach und Wände viel leichter gebaut. Die Tür schaut nach der Leeseite, in bergigem Gelände talwärts, in geschlossenen Tembendörfern und Kralen nach dem inneren Hof. Aneinandergebaute Temben geschlossener Dörfer haben manchmal eine Durchgangstür in der gemeinsamen Wand.

Inneneinrichtung: Stets besondere Verschlüsse als Schlaf- und Vorratsräume, sowie für Kleinvieh, während die Rinder im Hauptraum (bei Kralen im Hof, außerhalb der Hütten) ihren Stall haben. Die Lagerstätte befindet sich, vermutlich aus hygienischen Gründen, niemals auf dem Fußboden, sondern stets auf einem Zwischenboden, der zu diesem Zweck mit einer Rindshaut bedeckt ist. Verschlüsse und Zwischenboden aus Bambus oder anderen Stäben, mit Rindermist und Erde verschmiert.

Abweichende Hüttenformen: In der Landschaft Tumbati, die politisch unter Isara (Mburu) steht (Leute Tatoga oder Wamburu??), Temben etwas eingesenkt (Fig. 6), der Teil fürs



I.

Fig. 6. Hütte in Tumbati, etwa 1:150.

I Grundriß.
II Querschnitt.
III Aufriß von vorn, mit halbverschlossener Tür.

a Raum für Rinder.
b „ „ Kleinvieh.
c Zwischenboden.

Kleinvieh etwa 0,8 m tiefer in den Boden gegraben als der für Rinder. Dach sanft gewölbt wegen Regenabfluß. Zwischenboden etwa 1,20 m über dem Boden des Teils für Kälber, Ziegen und Schafe. Über unterirdische Gänge gaben die Leute keine Auskunft, doch in einem zerstörten Haus konnte ich

einen jetzt ziemlich verschütteten Höhleneingang sehen.

In den Kralen am Fuß des Hanang sind die Temben kleiner und schlechter gebaut, nur etwa 1,20 m hoch, nicht versenkt; die Seitenwände mit Rindermist verschmiert (Abb. 21). Das flache Dach (aus Balken, Reisig, Gras und Lehm) steht etwas über, manche Häuser mit offenem Vorraum. Die

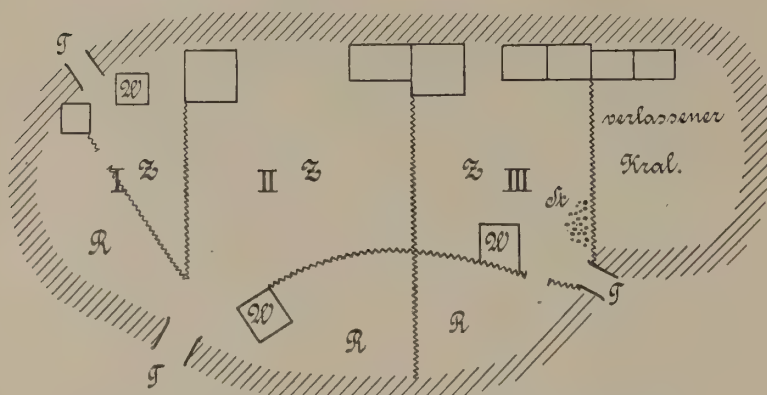


Fig. 7. Tatogakral am N-Fuß des Hanang, etwa 1:500.

T Toreingang. Z Raum für Ziegen. R Raum für Rinder. W Wächterhaus. St Steinhaufen. Das Schraffierte die 2 m dicke Dornenumzäunung, die zackigen Linien Zäune aus Holzknüppeln. Die Abteilungen I, II, III enthalten das Vieh verschiedener Besitzer.

Wächterhäuser der Krale haben keine Seitenwände, nur die Lagerstätte (Zwischenboden aus Holzstäben, 15 cm über dem Boden, Rindshaut darüber gelegt) ist durch einen Verschluss geschützt.

Das Tembendorf, in dem der Akida Maussa und seine Söhne wohnen, auf dessen Misthaufen als dem am höchsten emporragenden Punkte die deutsche Flagge weht und bei dem wir 18./19. September 1906 Lager aufschlugen, war ehemals ganz von einem geschlossenen Ring („Boma“) aneinandergebauter Temben umgeben, zwischen denen einzelne wohlverschließbare Klapptore die Ausgänge boten. Die Temben dieses Rings sind meist länglich rechteckig, die im Innern des Rings freistehenden wie sonst überall quadratisch. Auch diese inneren Tembenhütten sind oft Wand an Wand gebaut, man möchte fast sagen in Straßen angeordnet. Die Klapptore bestehen aus Brettern, die nach oben in die Höhe geklappt und dadurch in erhobener, horizontaler Lage erhalten werden, daß ein Stock zwischen den Wänden der Nachbartemben waagrecht eingesteckt wird, auf dem das Tor aufliegt. Jetzt sind etliche Hütten des Außenrings niedriger und die Tore haben daher ihren Sinn verloren.

Die Krale (Fig. 7, Tafel II, Abb. 20 und 21) sind ähnlich denen der Massai mit einer Dornenumzäunung umgeben, als Schutz gegen Raubzeug. Umzäunung sehr dicht, 2 m dick,

4 bis 5 m hoch, unten auch mit Lehm und Mist befestigt. Besondere Stöcke, die an einem Ende einen Haken, am andern eine Gabel haben, dienen dazu, durch Ziehen und Stoßen die Dornen recht dicht zu verflechten. Trotz dieser hohen Umzäunungen kommt es angeblich vor, daß ein Löwe darüberspringt, ein Stück Rindvieh schlägt, dieses erst über die Umzäunung wirft und dann selbst zurückspringt. Die Tore haben gerade Rinderhöhe. Sie sind durch Knüppel befestigte, tunnelartige Durchgänge durch die Umzäunung, welche nachts durch Dornen verstopft werden. Die Abbildung zeigt einen Grundriß eines Kral am Nordfuß des Hanang. Andere Krale sind im wesentlichen ebenso eingerichtet, größer oder kleiner, mit mehr oder weniger Abteilungen. Diese sind durch Knüppelzäune abgegrenzt. Die Abteilungen I, II, III enthalten das Vieh von drei verschiedenen Besitzern. Jede ist wieder besonders abgeteilt für Rinder und Ziegen. Jede Abteilung besitzt Wohnhäuser und ein Wächterhaus. Bemerkt der Wächter ein wildes Tier, so sucht er es zunächst durch Steinwürfe zu vertreiben. Steine liegen eigens dafür bereit. Wenn abends das Vieh von der Weide heimkehrt, so ist ein kolossales Gewimmel im Kral.

Hausgeräte: Die großen Gefäße aus Rindermist hier seltener als bei den Irakuleuten. In Tumbati sah ich ein zerbrochenes solches Gefäß. Enthält kein Holzgestell. Dagegen gibt es auch geflochtene Körbe, die mit Rindermist ausgeschmiert und gedichtet sind. In den Hütten im Kral gesehen: Sehr viele Kürbisflaschen, zum Aufhängen umflochten, an Decke und Wänden hängend; flache verzierte Kürbisschalen, aus Irangi gekauft; Tontopf; kugeliges, verziertes Kürbistöpfchen „gidischteid“ für Rinderfett. Die Rinde wird am unreifen Kürbis

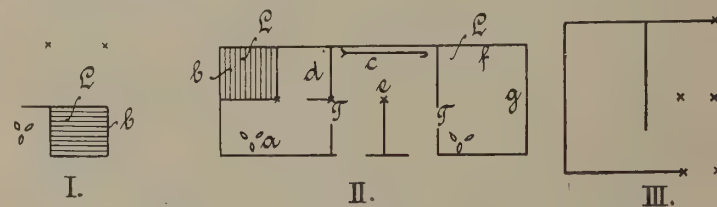


Fig. 8. Hütten aus dem Kral am N-Fuß des Hanang, Grundrisse, etwa 1:150.

I Wächterhaus. II Doppelhaus. III Einfaches Haus (Inneres nicht beobachtet). × freistehende Trägerbalken. a Herd. b Zwischenboden. c Hakengabel. d Geschirr. e Stall, in dem die jungen Ziegen angebunden werden. T Tür, durch horizontale Stäbe bis $\frac{2}{3}$ Höhe verschlossen. L Lagerstätte (Rindshaut). An den Wänden f, g und an der Decke dieser Hütte hängen viele Kürbisflaschen.

teilweise losgelöst, so daß ihre Reste als Verzierung bleiben. Birnenförmige, am dicken Ende offene Kürbisschale, mit Lederring (als Henkel) versehen, der durch einen Lederriemen um den Rand festgehalten wird. In dies Gefäß wird Ziegenmilch gemolken, der Daumen dabei durch den Lederring

gesteckt. Hakengabel für den Dornzaun. Im westlichen Mangati gesehen: flache Holzschüsseln zum Mehltragen, wie die, in denen unsere Metzgerburschen das Fleisch bringen.

Tracht, Sitten, Gebräuche.

Hierin erinnern die Tatoga sehr an die Massai. Die Lederumhänge sind meist, wenigstens bei den Männern, durch erhandelte Baumwollstoffe ersetzt, die im Schlamm einer Pfütze die nötige braune Farbe erhalten. Wie bei den Massai besteht der Schmuck der Frauen aus zahlreichen Halsketten (aus aneinandergereihten Glasperlen), den tellerförmigen Halsspiralen, vielen eisernen Armspangen (etwa 10 an jedem Unterarm sah ich einmal) und manschettenartigen Armspiralen. Die Spiralen aus Messingdraht. Abweichend von der der Massai ist die Frisur. Die Weiber tragen den Kopf nicht kahl rasiert, sondern schmieren sich die Haare mit roter Erde und Fett ein, die Männer nur mit Fett, nicht mit Erde. Von Waffen wird der Speer, der ein etwas breiteres Blatt hat als die modernen Massai-speere, am meisten getragen.

Vollständig stimmen folgende Gebräuche bei Massai und Tatoga überein: die Rinde einer von den Tatoga *bardjōmur*, von den Massai *engloriti* genannten Akazienart¹⁾ wird abgeschält und mit Holz zerschlagen, dann einen Tag lang in Wasser gelegt. Dieses Wasser, das nicht sehr bitter schmeckt (Tatoga *njōdet*, Massai *engare engloriti*), trinken sie und regen sich daran zur Kriegslust auf. Auch das Blut der Rinder trinken die Tatoga. Sie zapfen es ab, indem sie die Halsader zuschnüren und mit besonders hierzu dienenden Pfeilen anschießen. Das Blut wird in Töpfe gefüllt, umgerührt und das Gerinnsel weggeworfen, das klare Blut mit Milch oder auch mit Honig vermischt getrunken. Dieses Getränk wird auch von Kranken als Arznei genossen.

Wirtschaftliches Leben.

Die Tatoga waren einst, so berichtete mir mein Tatogaführer Kambesinde, nur Viehzüchter wie die Massai, bauten keine Temben, sondern umzäunte Krale mit Hütten, ähnlich denen der Massai, aus Rindshäuten, mit Rindermist verschmiert. Je nachdem die Futterverhältnisse es erforderten, zogen sie im Lande herum. Seit der Kindheit meines Berichterstatters (etwa 1875, wenn ich sein Alter richtig schätzte), zur Zeit der großen Viehsterbe, siedeln sie sich in Temben an und bauen Mtama, etwas Mais und Kürbisse an, treiben aber auch jetzt noch

¹⁾ Merker, Die Masai, Berlin 1904, S. 179, bringt die Form *ol giloriti* und gibt an, daß es *Acacia abyssinica* ist.

in erster Linie Viehzucht. In der Regenzeit bebauen sie die Felder. Das Vieh findet unterdessen in der Nähe der Temben genügend Futter, das ja überall schnell emporsprießt, und braucht nicht in die Steppe getrieben zu werden. In der Trockenzeit gehen sie in die Steppe und weiden das Vieh wie früher, nachts wird es in den Kral getrieben. Eine Frau begleitet den Mann in den Kral, die andern bleiben in der Tembe zurück. Manche Leute, die Vieh genug besitzen, haben die alte Lebensweise als reine Viehhirten beibehalten.

Viehzucht: Rinder, Esel (besonders in Madumega gesehen), Ziegen und Schafe. Das Vieh hüten im allgemeinen die Männer, das Kleinvieh auch Knaben.

Ackerbau: Negerhirse (Mtama) ist das bei weitem vorwiegend angebaute Gewächs. In Ostmangati ausgedehnte Mtamafelder, bisweilen auch Tabak dazwischen gepflanzt. Häufig stehen auf den Feldern kleine Lauben, auf deren Dächern zur Zeit der Fruchtreife ein Mann als Vogelscheuche tätig ist.

Häuptlinge.

Der Akida Maussa (Taf. I, Abb. 8), der in der Landschaft Tungobesch ansässig ist, ein schmerzbäuchiger, schnapsliebender Herr, dem Aussehen nach wohl ein Mischling, beherrscht die hochgelegenen Tatogalandschaften westlich der Bruchstufe, der Jumbe Marumbi das tiefgelegene Mangati an deren Fuß.

Historisches.

Die Ruinen von Steinhäusern, die Uhlig und ich 1904 in Engaruka (südlich des Magadsees) beobachteten, sollen, wie ich nun von dem Führer *Kambesinde* erfuhr, von den Tatoga stammen, die sich darin gegen die Massai verschanzten. Jetzt leben dort keine Tatoga mehr.

3. Wakindiga.

Ich habe niemals einen Vertreter dieses kleinen Volksstamms gesehen, erhielt aber von mehreren Seiten so bestimmte Nachrichten darüber, daß meine ursprünglichen Zweifel an seiner Existenz geschwunden sind.

Leute aus Mkalama (Issansu) erzählten: Die Wakindiga (ich hörte stets Wakindiga, nicht Watingiga) leben zerstreut in den buschreichen Bergen südöstlich des Njarasasees. Sie leben von Jagdbeute und Wurzeln, die sie graben. Häuser bauen sie nicht, sondern lagern, wo sie ein Tier erlegt haben, und ziehen weiter, wenn das Fleisch aufgegessen ist. Die Wahi (Washi) sind mit ihnen eines Stammes. Mit diesen Namen werden die Leute von

den Waniramba benannt, die andern nennen sie Wandorobo.

Beim Marsch quer über die buschreichen Kideroberge südöstlich des Njarasasees beobachtete ich am 23. Oktober 1906 mehrfach kleine Dornverhaue, die von Wakindiga stammen sollten. Auch waren Holzstücke in die Rinde vieler Affenbrotbäume gesteckt, die als Leiter dienen, um Honig zu sammeln. Ein größeres Wakindigalager befand sich im lichten Dornbusch südlich des Jaidasees (Hohenlohegraben): Kreisrunde Dorneinzäunung, 20 m Durchmesser. Darin zwei Gestelle zum Fleisch-trocknen, bestehend aus wagerechter Stange, auf zwei gegabelte Pfähle und einen Baumast gestützt. Ferner $\frac{3}{4}$ m hohes Holzgestell zum Rösten oder Trocknen des Fleisches überm Feuer (vier gegabelte Pfähle, darüber zwei parallele, wagerechte Stangen, darüber Querstäbe gelegt). Lagerstätte aus trockenem Gras, sowie noch eine Feuerstelle. Das ist alles. Das Lager war wohl erst gestern verlassen.

Ein Mann aus Mburu (Iraku) erzählte, die Wakindiga kommen nach Mburu, um Tabak zu kaufen. Ohne daß ich danach fragte, machte er mir vor, wie sie sprächen (Schnalzlaute).

Herr Siedentopf, Ansiedler in Ngorongoro erfuhr von seinen Massai manches über die Wakindiga: Früher hätten sie in der Bambusregion des Vulkans Deani (2500 bis 3000 m), also äußerst schwer zugänglich, einen großen Kral gehabt. Aber die Massai, mit denen sie in steter Fehde lebten und sich gegenseitig Leute totschlügen, hätten sie vernichtet. Mit den Wassukuma von Meatu ständen sie im Freundschaftsverhältnis oder seien gar mit ihnen verschwägert. In trockner Zeit gingen sie durch den ausgetrockneten Njarasasee und tranken Wasser aus einem Tümpel an seinem Rand.

Ich selbst sah im Januar 1907 mitten aus dem dichtesten Urwald des Deani den Rauch eines Lagerfeuers aufsteigen, also wohl von Wakindiga herrührend.

4. Wakuafi von Unteraruscha.

Die verschiedenen Quellflüsse des Pangani bilden bei ihrem Zusammenfluß südlich des Kilimandscharo ein verzweigtes Netz von Flußarmen, welche eine Anzahl Inseln zwischen sich einschließen, die Flußoase Unteraruscha. Die üppige Vegetation des Ufer- und Alluvialwaldes verstärkt den natürlichen Schutz, den die schwer überschreitbaren Flußarme der Inseln bieten, der fruchtbare und durchfeuchtete Alluvialboden begünstigt mitten in der trockenen Steppe den Ackerbau. In dieser

Schutzlage haben sich schon zu den Zeiten, als die kriegerischen Massai noch als räuberische Viehnomaden die Steppen durchschweiften, ihre Verwandten, ein Stamm der Wakuafi, niedergelassen, die von Ackerbau, Viehzucht und Fischfang leben. Die natürliche Vegetation hat hier größtenteils der künstlichen weichen müssen. In Ufer- und Alluvialwald sind große Partien gerodet — eine frisch gerodete Partie sahen wir — um den Pflanzungen der Waaruscha Platz zu machen. Erhebliche Flächen sind auch wieder verwildert und mit dichtem Buschwerk erfüllt. Der häufige Wechsel von gepflegter Pflanzung und von verwildertem Busch ist ein charakteristisches Bild. Unter den Pflanzungen scheinen die Bananenwälder und Maisfelder den größten Raum einzunehmen. Sonst sah ich namentlich noch Süßkartoffeln und Bohnen, aber auch Tabak. Die größten Schädlinge der Pflanzungen sind die Affen, die hier auf den Bäumen zwischen den Feldern ein paradiesisches Leben führen. Viehzucht: Rindvieh, Schafe, Ziegen vorhanden. Die Rinderwege werden durch Barrikaden aus Holzstämmen gegen die Felder abgeschlossen, wenigstens einseitig, auf der anderen Seite treiben die Leute das Vieh auf den Weg. Erhebliche Bienenzucht. Die Bienenröhren werden nicht nur hoch auf den Bäumen, sondern auch an den untersten Ästen wenig über dem Boden aufgehängt (Tafel III, Abb. 25). Fischfang: Mit eigenartigen Speeren — langer Holzstab mit eingelassener Eisen spitze — stechen die Leute nach Fischen.

Die Hütten — bananengedeckte Hütten von Bienenkorbform mit sehr kleiner Tür — liegen in den Schamben weit zerstreut, aber meist mehrere zusammen, die noch mit einer starken Boma umfriedigt sind. Die dichte Hecke ist am Eingang durch einen dicken Knüppelzaun verstärkt, in welchem sich der kaum 1 m hohe Eingang befindet. Das Schutzbedürfnis muß früher sehr groß gewesen sein, da die Lage auf den Strominseln kein ausreichender Schutz schien. Und dabei liegen die Häuser nur auf der NO-Seite, auf der äußersten der Inseln, da hier der größte Fluß sie schützt, im SW sind sie durch mindestens zwei Flußarme von der Außenwelt getrennt. Daß heute, nachdem die Massai ihre Macht verloren haben, derartige Schutzvorrichtungen nicht mehr nötig sind, sieht man daran, daß die Umzäunungen der Weiler teilweise zerfallen sind, so daß man auch neben dem Eingang hinein kann.

Zu all dieser Mannigfaltigkeit kommt noch ein solches Gewirr von Wegen, daß wirklich nur der Einheimische sich zurechtfinden kann.

XVI. Über die Sprachen der Tatoga und Irakuleute.

(Mit einer Kartenskizze der hamitischen Sprachgebiete in Äquatorial-Ostafrika.)

Von Bernhard Struck.¹⁾

Nur noch wenige Gebiete größeren Umfangs gibt es in Afrika, wo die Sprachwissenschaft, und zwar zunächst in ihrer Eigenschaft als Hilfswissenschaft der Völkerkunde, auch mit primitiven Mitteln bereits wichtige Fragen anschnitten und wesentliche Ergebnisse gewinnen kann. Im mittleren Teile des Kontinents sind hierzu bemerkenswerterweise in erster Linie gerade diejenigen Länderstrecken zu zählen, in denen eine genaue Kenntnis der linguistischen Verhältnisse auch für die landes- und volkskundliche Forschung zum mindesten als höchst erwünscht bezeichnet werden muß, wo nämlich im Westen, kurz gesagt, die Bantu-Sudangrenze noch der Aufklärung harret (in Adamaua) und im Osten ganz im Gegensatz zu der durch einheitliche Königstraditionen leicht zu übersehenden Bahamaexpansion im sogenannten abflußlosen Gebiete eine Hamitenintrusion vor uns liegt, deren verschiedene Phasen man infolge der gründlichen Auflösung dieser Völkermasse in geographisch, politisch, ja auch sozial wohlgeschiedene Einzelteile im wesentlichen nur auf linguistischem Wege wird anfangen können zu studieren. Die Rückständigkeit der linguistischen Erkenntnis ist in diesen Fällen das gemeinsame Ergebnis sowohl der geringen praktischen Bedeutung der Sprachen, wie sie angesichts von so ausgezeichneten Verkehrsmitteln gleich dem Suaheli bzw. Ful so gut wie selbstverständlich ist, als auch der geringen Kopffzahl dieser wirtschaftlich unzugänglichen und vorläufig unbedeutenden Eingeborenenstämme. Was überdies die Gegend der Bruchstufe betrifft, so erscheinen auch die jüngst dort errichteten katholischen Missionen noch zu jung und zu sehr von äußeren Arbeiten in Anspruch genommen, um schon sprachliche Ergebnisse von ihnen erwarten zu können. Nachdem ich daher vor kurzem über einige Ergebnisse meines zur ersten Erforschung der Adamauasprachen ausgegebenen Fragebogens einen wenigstens vorläufigen Bericht erstatten konnte,²⁾ freue ich mich, an dieser Stelle auf die Aufforderung Dr. Jaeger's hin auch über das östliche Gebiet ähnlicher Probleme einige Mitteilungen machen zu können, wenn auch das eigentliche Ziel dieser Untersuchungen — eine kritische Bearbeitung des Namenmaterials der Jaeger'schen

Karte — teils infolge quantitativ wie qualitativ dafür ungenügender Beschaffenheit des Materials, teils durch außerhalb von Material oder Bearbeiter liegende Hindernisse nicht erreicht worden ist.

Von den Materialien, die mir für die Untersuchung der Tatoga- und Irakusprachen zu Gebote standen, sind in erster Linie Aufzeichnungen von Dr. Jaeger zu erwähnen, kleine Vokabelsammlungen, die mir aber gerade für die Phonetik gute Dienste geleistet haben. Für Iraku habe ich sonst nur noch einige wenige nach Aufzeichnungen Werthers, Glaunings und Merkers in den Katalogen des Kgl. Museums für Völkerkunde angegebene Wörter benutzen können, während für Tatoga bereits einzelnes gedruckt ist:

1. J. T. Last, Polyglotta Africana Orientalis. London 1885. Nr. 45, Taturu S. 25 f., 188 f., 231.
2. O. Baumann, Durch Massailand zur Nilquelle. Berlin 1894. VII. Sprachproben. Tatoga (Kitaturu) S. 366, Zahlwörter auch S. 193 f. Von den Texten läßt sich vorläufig nur der erste genügend analysieren, so daß ich ihn für Formenlehre und Wörterverzeichnis habe ausnutzen können.
3. W. Werther, Die mittleren Hochländer des nördlichen Deutsch-Ostafrika. Berlin 1898. Wörterverzeichnis aus der Sprache der Waturu (Tatôga) S. 490 bis 493.
4. Kannenberg, Reise durch die hamitischen Sprachgebiete um Kondoa. Mitt. a. d. Dtsch. Schutzgeb. XIII (1900), S. 144 bis 172. Die hier gegebenen sprachlichen Notizen sind nur ein Auszug aus an A. Seidel übergebenen, nie veröffentlichten umfangreicheren Aufzeichnungen (s. Ztschr. f. afr. u. oz. Spr. V, S. 165).

Stuhlmann's Juni 1892 in Kondoa-Irangi niedergeschriebenes Vokabular ist leider verloren gegangen (Mit Emin Pascha, S. 805), dagegen konnte ich noch eine Anzahl von Merker aufgezeichneter Namen von ethnologischen Gegenständen, sowie einige in der Literatur verstreute Notizen verwerten.

Die Beschaffenheit dieses Quellenmaterials, das sich zwar unter sich und durch den Vergleich mit den verwandten Sprachen nicht unglücklich ergänzt, aber doch nicht systematisch und mit Sachkenntnis vorgenommenen Aufzeichnungen gleichgeachtet werden darf, ist eine solche, daß jedenfalls das vergleichende Wörterverzeichnis sowohl als

¹⁾ Für die linguistische Bearbeitung der Namen meiner Karten und für diesen Beitrag sage ich Herrn B. Struck herzlichen Dank. F. Jaeger.

²⁾ Zeitschr. f. Ethnol. XLII (1910), S. 444—450.

auch ganz besonders die beigegebene Kartenskizze mehr der Beachtung wert sein dürften, als die phonetischen und grammatischen Feststellungen, die ich selbst nur als vorläufige Erläuterungen zu dem im Wörterverzeichnis gebotenen Tatsachenmaterial gelten lassen möchte. Was dieses letztere betrifft, so habe ich in der Vergleichung noch etwas mehr Zurückhaltung angestrebt, als beispielsweise Meinhof in seinen Studien über die verwandten Sprachen der Mbulunge (Mitt. Sem. or. Spr. IX, 1906, 3, S. 325 bis 333) und namentlich Ndorobo (ebd. X, 1907, 3, S. 110 bis 123), und obwohl hier also nur ein Teil des während der Arbeit zusammengebrachten Wörtermaterials der Kritik unterbreitet wird, so zweifle ich nicht, daß ich dennoch in vielen Fällen daneben gegriffen habe. Das mag natürlich zunächst daran liegen, daß ich mich bisher nur ganz sporadisch mit eigentlichen Hamitensprachen habe beschäftigen können; ein weiterer Grund dafür ist aber — und wenn ich die Sachlage vom Standpunkte unserer Sudan- und namentlich Bantukennnisse aus überschaue, erscheint mir dieser Grund der wesentliche zu sein — der heutige Zustand der Hamitenstudien überhaupt. Wir besitzen zwar für diese östlichen Hamiten, um die es sich hier vorzugsweise handelt, besonders durch die langjährige, emsige Tätigkeit Leo Reinischs eine stattliche Anzahl mustergültiger Monographien, deren Wörterverzeichnisse und Lautlehren auch eine Fülle fleißig zusammengetragener Wortgleichungen bergen. Aber über diesen Feststellungen des Sachbestandes ist bisher, notgedrungen und ganz natürlicherweise, die methodische Sprachvergleichung zu kurz gekommen: Reinischs Versuche über das Zahlwort, das Pronomen und die Verbalflexion haben für den unbefangenen Beobachter im wesentlichen nur die Erkenntnis gebracht, daß diese Aufgaben nur sehr mühsam und unter der Gefahr vielfach zu irren, zu studieren und außerordentlich schwer nur zu lösen sein werden.

Was sich bei der Durchsicht meines Wörterverzeichnisses sowie der erwähnten von Meinhof über das Mbulunge und Ndorobo geschriebenen Studien schon heute erkennen läßt, sei kurz im folgenden zusammengestellt.

Die Zahl der ausschließlich zwischen Iraku und Tatoga vorliegenden Wortgleichungen ist, immer von Lehnworten abgesehen, überaus klein, so daß für die Annahme eines etwaigen nahen genealogischen Zusammenhangs dieser geographisch benachbarten Hamitensprachen wenig Raum bleibt; dagegen führen vom Iraku etwa 85% aller Vergleiche auf die beiden südlichen Hauptsprachen des

Niederkuschitischen, auf das Somali und besonders Galla,¹⁾ so daß die unmittelbare Zugehörigkeit des Iraku samt den beinahe dialektisch verwandten Nachbaridiomen von Ufiome,²⁾ Uassi, Mbulunge und Ungomyva zum Niederkuschitischen überhaupt außer Zweifel ist, zumal Meinhof auch den regelmäßigen Lautwandel Somali-Mbulunge hat nachweisen können (a. a. O., S. 328). Dagegen lassen sich die für das Tatoga charakteristischen Wortstämme in vielen der im östlichen oberen Nilgebiet verbreiteten und durch gewisse Einwirkungen sudanischer Elemente ausgezeichneten Sprachen verfolgen, innerhalb des Niederkuschitischen aber vorzugsweise in dessen nördlichen und mittleren Sprachen.³⁾ Die engsten Beziehungen zum Tatoga weisen Ndorobo und das durch die jüngste Arbeit Hollis' so ausgezeichnet erschlossene Nandi⁴⁾ auf, deren Zusammenhang untereinander schon Johnston erkannt hat.⁵⁾ Die frühere Einheit dieser heute weit auseinander gesprengten Sprachgruppe wird noch anschaulicher, wenn man berücksichtigt, daß das ganze Gikuyuland einstmals zum Jagdgebiet der Ndorobo ge-

¹⁾ Die reiche Vokalisation des Iraku findet hier ihre beste Parallele unter allen kuschitischen Idiomen.

²⁾ Dr. Jaeger, Stuhlmann und Werther schreiben Ufiome (letzterer mit der ausdrücklichen Angabe, diese Schreibung sei richtiger als die mit -i). Übrigens ist dieser Name (nach Kannenberg) nur bei den Karawanenleuten in Gebrauch, sich selbst nennen sie Gūrūmō, die Sprache Gōrōa, das Land Gōrōa-dzea. Gōrōa begegnet auch als Name eines im nō. Mbulunge gelegenen Berggebiets (Mitt. a. d. Dtsch. Schutzgeb. 1906, Karte 3), Uassi soll bei den Einheimischen Korēa heißen, vgl. in der Fiomesprache selbst gōrōa „Dorf“.

³⁾ Die Wertherschen Somali fanden (a. a. O., S. 491) Ähnlichkeiten im Tatoga mit ihrer eigenen Sprache, die sich zumal in Anbetracht der zwischen Saho und Somali bestehenden engen Beziehungen durchaus bestätigt haben; doch muß auch daran erinnert werden, daß nicht wenige der in Aden als „Somali“ angeworbenen Leute aus dem Norden stammen und über Massaua zu kommen pflegen.

⁴⁾ Unter Nandi sind hier und auf der Karte auch die sehr nahe verwandten, mehr oder weniger wichtigen Stämme Lumbwa, Elgeyo, Mutei, Japtuleil, Elgonyi, Sabei (vgl. den Bann Sabei in Mañati!) und Sotik zusammengefaßt. Auch die Kamassia gehören hierher.

⁵⁾ Uganda Protectorate Bd. II, S. 854. Er scheint auch (in sehr unklaren Worten, auf der Karte durch die Streifung des Gebiets von Sotik bis Ikoma hin ausgedrückt) die Existenz eines dritten nahe verwandten Volkes südlich der deutsch-englischen Grenze zu vermuten, was eben unsere Tatoga sind. Auf seine in diesem Zusammenhang gemachten Angaben über die Ilkonono („Elgunono“) braucht nach Merker und Hollis wohl nicht mehr eingegangen zu werden, es handelt sich wieder um jenen mit dem Namen „Wandorobo“ verknüpften Wirrwarr, siehe meine Darstellung in Uhlig, Bruchstufe I, S. 61.

hörte,¹⁾ sowie daß manche topographische Namen an der mittleren Bruchstufe unzweifelhaft auf Sprachen dieser Gruppe hinweisen (z. B. der Berg Mosónik südwestlich vom Magad = Nandi „die Paviane“).²⁾ Diese Sprachen, zu denen nach Paulitschkes Karte bis auf weiteres auch das Idiom der Burkenedzi zählt, unterscheide ich mit Johnston, und zwar nach den beiden wichtigeren Vertreterinnen,³⁾ als Nandi-Tatogagruppe von den nach Merker erheblich später in diese südlichen Gebiete hin ausgebreiteten Sprachen der Masai, Kwafi und Asa, die in mehr (Ngišu, Elgumi) oder weniger nahe verwandten Idiomen nach den Feststellungen Fr. Müllers, Sir Ch. Eliots und des Verfassers bis zum Bari an den oberen Nil hin verfolgt werden können. Diese zweite oder Bari-Masaigruppe wird zweckmäßig mit der Nandi-Tatogagruppe als „Nilotohamitisch“ zusammengefaßt. Der Gebrauch dieser von Stuhlmann, Hans Meyer und C. Velten neuerdings zunächst ohne scharfe Definition für alle südlich und südwestlich der Kuschiten vorhandenen osthemitischen Völker und Sprachen angewandten Bezeichnung⁴⁾ scheint mir deshalb besonders empfehlenswert, weil in den Sprachen dieses Zweiges sowohl von Reinisch auf Grund grammatischer Vergleichen, als auch von Johnston mehr auf den Gesamteindruck hin allerlei nilotische, das heißt ostsudanische, Sprach-elemente aufgewiesen worden sind, die sich übrigens auch phonetisch beispielsweise in dem Fehlen der für das echte Hamitische beiläufig charakteristischen „emphatischen“ Konsonanten und Faulkale zu äußern scheinen. Dazu kommen hier die bekannten, durch v. Luschan und F. C. Shruballs, neuerdings auch von Czekanowski studierten Vernegerungen des hamitischen Typus, die bei der Tatogagruppe vielleicht noch durchgreifender sind als etwa bei den Masai;

¹⁾ Journ. African Soc. IX, S. 235.

²⁾ Beachte auch die dem Masai fremde Akzentuierung.

³⁾ Ndorobo ist deshalb nicht in den Terminus des Oberbegriffs hineingenommen, weil einmal der Name bekanntlich nicht eindeutig gebraucht wird, und weil die Sprache im Süden besonders vom Masai (und wohl auch vom Asa) beeinflusst und auch im Norden den dortigen Sprachen schon näher gekommen ist, als dem eigenen Süddialekt. Über eine besondere Sprache der Masai-Schmiede siehe Hollis, Masai, S. 330 f.

⁴⁾ Der allenfalls noch in Betracht zu ziehende Name „Äquatorialhamitisch“ scheint mir ziemlich ungeeignet, weil der Äquator zum größeren Teil nicht das Gebiet dieser Sprachen, sondern das des Niederkuschitischen durchläuft; zudem bezeichnet nilotohamitisch an sich ganz treffend das Gebiet der in nord-südlicher Erstreckung im Nilbecken sitzenden Hamiten.

wenn auch hier wieder die Bari aus' bisher nicht recht geklärten Ursachen mehrere wesentliche Eigenschaften der Hamiten überhaupt vermissen lassen.¹⁾ Daß die Entwicklung dieses nilotohamitischen Sprachzweiges älter sein muß als die Differenzierung des Kuschitischen in hoch- und niederkuschitische Idiome, dürfte daraus zu entnehmen sein, daß neben zahlreichen Entsprechungen des Tatoga zum Niederkuschitischen noch über 10% der Wortgleichungen ausschließlich zum Hochkuschitischen (Kafa) führen, obwohl, wie erwähnt, andere Zusammenhänge wieder auf die Vorfahren der Afar- und Sahoidiome hindeuten.²⁾ Ob auf der sudanischen Seite dieser Nomenklaturfrage „nilotisch“ als Unterbegriff eines daneben die „äquatoriale Sprachfamilie“ Friedrich Müllers umfassenden ostsudanischen Sprachastes gelten soll, oder die letztere mit F. N. Finck³⁾ zum Westsudanischen gezogen und nilotisch = ostsudanisch gesetzt wird, mag bis auf weiteres dahingestellt bleiben; jedenfalls sind die zwischen den nilotischen und den „äquatorialen“ Sprachen obwaltenden Verschiedenheiten schon W. Junker und Reinisch aufgefallen⁴⁾ und auch von Gerland schon angedeutet, wenn sie auch bei Johnston und Czekanowski wieder verloren erscheinen. Die Annahme eines Zusammenhangs der Irakugruppe mit dem Niederkuschitischen ist dagegen schon seit Stuhlmanns Völkerkarte⁵⁾ vorhanden, wo dieselbe direkt zu den Galla gestellt wird,⁶⁾ und wurde bald darauf ebenso wie die Unterscheidung von den Bari-, Masai- und Tatoga-

¹⁾ Daß aber die Ansicht Johnstons, der die Bevölkerung des ganzen nilotohamitischen Sprachgebiets summarisch als „Negroes mixed with Hamites“ abtut (siehe seine anthropologische Karte, Ug. Prot. Tafel 8 bei S. 486), in dieser Form wenigstens nicht zutrifft, zeigen gerade seine eigenen Photos aufs deutlichste. Ich verweise auch auf meine in Isarithmen des Kopfindex gezeichnete anthropologische Karte von Äquatorial-Afrika 1:7500000 (im Druck) und die Erläuterungen dazu.

²⁾ Diese Zugehörigkeit tritt in Meinhofs Ndorobostudie weniger hervor, da dort Saho in, wenigstens im Vergleich zum Somali, ungenügendem Umfang herangezogen ist.

³⁾ Sprachstämme des Erdkreises, S. 121.

⁴⁾ Junkers Reisen Bd. III, S. 310.

⁵⁾ „Ethnographische Übersicht der Völker des äquatorialen Ostafrika“ 1:3000000 (in: Mit Emin Pascha. Karte 2).

⁶⁾ Was bei der ehemaligen Verteilung der Wohnsitze der Galla und Somali auch gar nicht unwahrscheinlich ist (siehe Kärtchen bei Schleicher, Somalisprache S. XI, und den in anderen Punkten abweichenden Karton auf Paulitschkes Völkerkarte). Paulitschke gibt sogar an, daß die Galla im 15. Jahrhundert bis an den Pangani gekommen seien und erst durch die heute unter dem Namen der Nilotohamiten zusammengefaßten Stämme nach Norden zurückgeschlagen wären (Mitt. d. Anthr. Ges. Wien XIX, 1889, S. 175).

sprachen, also meinem nilotohamitischen Zweige, rein intuitiv durch Reinischs geschulten Blick festgelegt (s. Baumann a. a. O., S. 363).

Die Karte gibt in der Hauptsache die geographische Präzisierung dieser Ausführungen und weist außerdem (durch farbige Unterstreichung der Sprachnamen) auf gewisse neuere Beeinflussungen hin.¹⁾ Die allgemeinen Beziehungen der hier dargestellten Sprachgebiete sind meiner „Übersichtskarte der Hauptsprachfamilien in Afrika“ (in Meinhof, die Moderne Sprachforschung in Afrika) und den Begleitworten dazu zu entnehmen.

Unter den Wortgleichungen des Kapitels III verdienen die allerdings wenig zahlreichen Beziehungen zum Ful besondere Aufmerksamkeit. Diese Wortstämme müssen, falls die Gleichungen richtig sind, als die ältesten Bestandteile im heutigen Wortschatze des Tatoga bzw. Iraku gelten. Über das Alter der immerhin merkwürdigen Übereinstimmungen mit dem von Meinhof als sudanisch erwiesenen Mbugu in West-Usambara läßt sich nichts gewisses angeben. Die Ähnlichkeiten einiger Tatogawörter mit den entsprechenden Bezeichnungen im Sandawe dürften dagegen junge Entlehnungen aus dem Tatoga oder einer verwandten Sprache sein; gleichwohl ist zu bemerken, daß sich die für das Sandawe charakteristischen silbenbildenden Konsonantenanlaute mit folgendem

¹⁾ Meine Darstellung weicht in vielen Punkten mehr oder weniger von der Weuleschen Völkerkarte ab (in Hans Meyers Deutschem Kolonialreich Bd. I), der letzten zusammenfassenden Arbeit über dieses Gebiet. Ich kann nicht umhin, der Hoffnung Ausdruck zu geben, daß mein Versuch der kritischen Prüfung besser standhalten möge, als es bei der genannten, durchaus oberflächlich gearbeiteten Völkerkarte der Fall ist. Man sollte auch meines Erachtens auf ethnischen Karten so kleinen Maßstabs „unbewohnte Gebiete“ nicht ausscheiden, zumal nicht mit derselben für die Grenzen besiedelter Landschaften angewandten Grenzsignatur. Die in Rede stehenden unbewohnten, d. h. fester Siedlungen ermangelnden Gebiete sind durch die Banneinteilung Teile bestimmter Volks- und Sprachgebiete; für kleinere Kartenmaßstäbe haben sie als graduell abgestufte und daher nicht ausscheidbare Grenzwerte der Bevölkerungsdichte zu gelten. Wo die Banneinteilung nicht bekannt ist, hält man sich am besten an die Analyse der topographischen Nomenklatur, eventl. auch, um Verwirrungen vorzubeugen, an die hergebrachten Literaturangaben. Praktisch sind diese Erwägungen der einzige Weg, um „nomadische Sprachgebiete“, z. B. in meinem Fall das südliche Ndorobo, überhaupt auf der Karte niederzulegen. „Bann“ nenne ich jetzt die früher als „Gemarkung“ bezeichnete Unterabteilung des afrikanischen „Gaus“, da die Grenzen nicht „markiert“ sind, wohl aber ein „Bannrecht“ besteht (z. B. Jagdverbot). Vgl. meine früheren Darlegungen bei C. Uhlig, Ostafr. Bruchstufe I, S. 53.

Punktierte nichtfarbige Grenzen bedeuten auf der vorliegenden Karte Dialektgrenzen, und haben nur ganz approximative Gültigkeit.

Kehlverschluß (wohl mit Pressung) auch im Fiome finden, und daß ebenso in den Di- und Triphthongen Anklänge an das Fiome vorzuliegen scheinen;²⁾ merkwürdig ist, daß Claus auch im Ngomvya echte Schnalze festgestellt hat.

Die Zahl der Wortgleichungen ist natürlicherweise dadurch beschränkt, daß der mir zur Verfügung stehende Wortschatz im allgemeinen nicht die bei systematischer Aufzeichnung nächstliegenden Vokabeln: Körperteile, Elemente, Tiere usw. enthält, sondern sich vielfach auf sehr spezielle Teile des ethnographischen Besitzes bezieht, die in den zu vergleichenden Sprachen teils überhaupt fehlen, teils aus vielerlei Ursache anders benannt werden. Für umso bedeutsamer halte ich die verschiedenen Wortgleichungen, die uns vielleicht später noch Blicke in eine bemerkenswert einheitliche osthamitische Kultur tun lassen können: Das Wirtschaftsleben muß bereits Rinder, Schafe und Ziegen neben dem Hackbau (Andropogon Sorghum) gekannt haben, als Waffen dienten Bogen (mit der von Frobenius „papillot“ genannten Besehung) und Pfeil, sowie Speer und ein länglicher Lederschild, an Kleidung und Schmuck wurden ein Lederschurz teils um die Lenden, teils cape-artig über die Schulter, ferner Perlen- und Spiralschmuck um Arme und Hals getragen, die Wohnungen (Bienenkorbbütten) enthielten Matten, allerlei Körbe, Kalabassen usw.²⁾ Dies nur ein paar Andeutungen für

¹⁾ Noch bestimmter nimmt C. Meinhof (Moderne Sprachforschung in Afrika. Berlin 1910. S. 46) das Sandawe als (durch die angeblich von Pygmäen entlehnten Schnalzlaute modifizierte) Hamitensprache in Anspruch, er scheint zwar die Veröffentlichungen von Fuchs und Nigmann nicht zu kennen, aber anderes, unveröffentlichtes Material eingesehen zu haben (siehe seine Bemerkungen Ztschr. f. Ethnologie 1910, S. 496 f.). Auch Werther sucht den Ursprung der Schnalze nicht bei den Sandawe selbst, sondern bei den „Wahi“ und „Watindiga“ (a. a. O., S. 345), also in dem auf meiner Karte als „Nege“ bezeichneten Sprachgebiet, von dem leider immer noch keine Proben vorliegen.

²⁾ Vgl. auch Ankermann, Kulturkreise und Kulturschichten in Afrika: Ztschr. f. Ethnologie 1905, S. 54 bis 84, und mein Kärtchen 4 „Althamitische Kultur“ in den Erläuterungen zu meiner anthropologischen Karte. Ich lege Wert darauf, daß diese althamitische Kultur hier aus sprachlichen Argumenten auf das Gebiet der Osthamiten beschränkt erscheint, weil andere zur hamitischen Sprachfamilie gehörenden Verbände, wie die Berbern, der Mittelmeerrasse nahe stehen und mit dem durch die Bahima wohl am reinsten dargestellten physischen „hamitischen Typus“ nichts zu tun haben. Dieser Unterscheidung läuft die von Desplagnes gemachte Einteilung in „schwarze Äthiopier“ (Somali, Danakil, Bedja und Stämme in der Sahara) und in „Rote“ (Kuschiten, Nubier, Berber, Fulbe) parallel, ohne mit ihr allerdings zusammenzufallen. Da es scheint, als ob die Vorstellungen von Desplagnes Schule machten (vgl. z. B. Passargé in H. Meyers Dtsch. Kolonialreich II, S. 50ff. und Ztschr. Ges.

die im Verhältnis zu den Nachbargebieten bisher ja ziemlich untätig gewesene kulturgeschichtlich vergleichende Ethnologie Nordostafrikas.

Kapitel I.

Die Tatogasprache.

Das Volk der Tatoga stellt nach der klaren, zuletzt von Velten gegebenen Definition¹⁾ die ersten Einwanderer der nilotohamitischen Völkergruppe in die Steppengebiete am Kilimandscharo dar. Nach Merkers Erkundungen scheinen die ersten Versuche zur Selbsthaftigkeit am Meru gemacht worden zu sein, von wo sie dann durch die Il-Oikop (Wakwafi) verdrängt worden wären;²⁾ die eigene Tradition läßt sie aus dem gleichen Grunde, denen das ganze Masaiaffentum entsprang, von verirrtten Kindern der Kilimandscharo-Masai abstammen, die nach Turus (Enotiek) kamen und dort reich wurden. Ihres Viehs von den Masai beraubt, sollen sie dann hinter Ufome in die Berge geflohen sein und nach ihrem eigenen ursprünglichen Masai-Schlachtruf den Namen Manati („Fremde, Wilde, Feinde“) erhalten haben.³⁾ Die Karte zeigt in der Tat durch die beispiellose Zerstückelung des Tatogasprachgebiets das Bild eines im Niedergang bereits weit fortgeschrittenen Volkes, das nur noch in und bei Manati geschlossene Siedelungen besitzt, sonst allenthalben unter anderen Eingeborenen wohnt und nach Baumanns Schätzungen nicht viel mehr als 5000 Köpfe zählen dürfte (a. a. O., S. 169).

Es scheinen sich nach den Ermittlungen Stuhlmanns,⁴⁾ Werthers,⁵⁾ Merkers⁶⁾

und namentlich Baumanns¹⁾ noch drei historische Unterabteilungen unterscheiden zu lassen. Im Nordwesten finden sich die Brariga, die nach ihrer alten Heimat Gamrit (Rotigenga, südöstlich Ikoma) bei den benachbarten Bantu Wagamrita bzw. bei den Masai Il-Gamrit heißen und in spärlichen Überresten auf Ukerewe, in Utimba und sonst am Speke-Golf, unter den Waschaschi von Ikoma, in Miatu und anderen Teilen Ussukumas südlich bis Ussiha verstreut sind. Ebenfalls am Viktoriasee, aber in einigen wenigen Gruppen auch in Manati und nördlich davon sind die von den Bantu Wanonega genannten Simityek zu erwähnen, während die dritte und, wie es scheint, noch lebenskräftige Abteilung der Bayuta im Zentrum und südöstlichen Teile des gesamten Verbreitungsgebiets vorherrscht. Teilweise sitzen nun diese Leute in der alten Brarigaheimat Gamrit, wohin sie nach dem Eindringen der Masai in Enotiek flohen, teilweise haben sie sich (Sagiros Leute) in dem Irakugaue Mburu niedergelassen (die sogen. Wambulu); die große Mehrzahl aber, auf die allein wohl sich die eingangs erwähnten Traditionen beziehen dürften,²⁾ lebt in Manati, Massogoloda, Sabei Muitu usw. um den Ngurueberg, von wo wieder einzelne Familien bis Itura und Ugogo versprengt worden sind.³⁾ Ebenso leben Tatoga vielfach in Iraku und Ufome in einflußreichen Stellungen, in Klein-Ufome auch in geschlossenen Kleinsiedelungen. Hier im Osten sind auch bei den ansässigen Nachbarvölkern sowohl wie bei den Swahili und anderen Küstenleuten und den Masai, möglicherweise in unbewußter Anlehnung an den Namen des Volkes von Turu (Bantu, Vanatulu), aus dem echten Namen Tatoga jene Namensformen Wataturu bzw. Il-ataturu entstanden, die seit Cust⁴⁾ fortwährend zu den bekannten unerwünschten Verwechslungen Anlaß gegeben haben; erst v. Luschan hat die beiden Bezeichnungen

¹⁾ Durch Masailand zur Nilquelle S. 168 ff.

²⁾ Obwohl Baumann auch für diese Gamrit als Urheimat und dann direkte Auswanderung nach Turus angibt.

³⁾ Dort, oder schon früher scheint das Tatoga auch mit dem Ngomvya in nähere Beziehungen getreten zu sein, die, wie Kapitel 3 zeigt, wesentlich enger sind, als nach Meinhofs unvollständigen Vergleichen (er berücksichtigt aus der Tatogaliteratur nur Werther) angenommen werden müßte (Ztschr. f. Ethnologie 1910, S. 496).

⁴⁾ Modern Languages of Africa II, S. 372 f. Später unterdrückt Cust sogar die von Last ganz richtig geäußerte Vermutung, das Tatoga möchte zu jener provisorischen Nuba Fulah-Gruppe gehören (Polyglotta S. XI bzw. S. 1 u. 25), obwohl schon Stanley die Sprache der ihm am Simiyu begegneten „Wataturu“ als von den benachbarten Bantusprachen ganz verschieden angegeben hatte (Through the dark Continent I. S. 120).

f. Erdk. Bln. 1908, S. 549 bis 557), so bemerke ich, daß der Begriff „Kuschiten“, Somali, Danakil und Bedja einschließt, daß die Nubier sprachlich und anthropologisch hamitisierte Sudaner sind, und die Fulbe sprachlich nicht von den Osthaiten getrennt werden können. Die Nomenklatur ist ziemlich unglücklich gewählt, da weder die Berber rote, noch die Osthaiten schwarze Hautfarbe haben; man könnte sie als „gelb“ bzw. „braun“ unterscheiden, aber das Wesentliche in Desplagnes Theorie ist die ethnologische Gruppierung. Hier gibt er in der Tat manche gute Übereinstimmung mit den aus den Verhältnissen weiter im Süden (durch Ankermann u. a.) gewonnenen Ergebnissen, aber viel unrichtiges und unvollkommenes hätte durch deren Berücksichtigung vermieden und verbessert werden können.

¹⁾ Suaheli-Wörterbuch I, Berlin 1910, S. 510.

²⁾ Die Masai S. 3.

³⁾ Kannenberg, Beiträge zur afrikanischen Sagenkunde Nr. 4: Ztschr. f. afr. u. oz. Spr. V, S. 162.

⁴⁾ Mit Emin Pascha, S. 754, 768 u. 846.

⁵⁾ a. a. O., S. 491.

⁶⁾ a. a. O., S. 2 f.

eindeutig definiert und den alten Namen Tatoga wiederhergestellt.¹⁾

Die Sprache wird in mehreren Dialekten gesprochen. Die vorliegenden Quellen beziehen sich fast ausschließlich auf die, wie es heißt, reinste Mundart von Mañati; sehr schätzenswerte Parallelen aus der Mundart der in Ufiome angesiedelten Tatoga hat Kannenberg aufgezeichnet, über die dialektisch angeblich ziemlich verschiedene Sprache der Simityek ist nichts näheres bekannt. Die Angaben der folgenden Studie beziehen sich daher ohne weiteres auf den Mañatidialekt, ein beigezeichnetes „(Dial.)“ deutet die in Ufiome gebräuchliche Ausdrucksweise an. Sagiros Leute sprechen außer der Muttersprache sämtlich Njamwesi, und in Ukerewe und Ussukuma ist das ganze Tatoga schon stark mit Bantuelementen versetzt.

A. Lautlehre.

Durch die wechselseitige Ergänzung und Korrektur der verschiedenen Quellen sind wir über den Lautbestand des Tatoga leidlich unterrichtet, obwohl diese Sprache bisher nicht mit den Mitteln der wissenschaftlichen Phonetik niedergelegt worden ist. Schreibt z. B. der eine Autor e, der zweite i, so ist der betreffende Laut entweder als e oder i aufzufassen, was durch Berücksichtigung einer dritten Quelle zu entscheiden ist; fehlt beim einen Gewährsmann ein Vokal, den der andere verzeichnet, so ist der Vokal als vorhanden, aber kurz anzusehen usw. Ich habe diese Transskriptionsmethode, die sich naturgemäß stets dem Sprachcharakter entsprechend modifiziert, bei Verarbeitung von fremden Materialien in ein sonst auf eigenen Aufnahmen beruhendes Yaunde-Wörterbuch angewandt und dabei ihre Fehlerquellen und -grenzen studiert. Die Sicherheit des Ergebnisses wächst ungefähr proportional dem Quadrate der Anzahl der verschiedenen verwerteten Quellen; auf Sprachgebieten, deren phonetische Gesetze bereits klar erkannt sind, dürften sich die wesentlichen Fehler überhaupt auf ein Minimum zurückführen.

Danach lassen sich die Konsonanten des Tatoga in folgender Weise gruppieren:

	Explosivä.	Nasale.	Frikativä.	Semi-vokale.
Velar . . .	k nk g ng	ñ	χ γ	
Palatal . .	tj dj, gj	ñ	χ, š j	y
Alveolar	t nt d nd	n	r l	
	ts		s, š dz	
Dentilabial			f v	
Bilabial . .	p b mb	m		w

¹⁾ Bei Werther a. a. O., S. 370.

In auslautender Stellung finden sich die folgenden Konsonanten und Konsonantenverbindungen: d, dj, f, g, gt, k, kt, l, m, n, nd, nt, ñ, nk, nt, r, rt, s, sk, st, št, t, tj, ts, χ, χt, χt; außer den in der Tabelle schon angeführten echten nasalen Verbindungen sind noch die folgenden Konsonantenverbindungen aus- bzw. inlautend beobachtet: fg, ft, kt, ld, mn, mg, nd, rd, rdj, rg, sk, st, št, tg. Über die Entstehung einiger dieser Vorkommnisse siehe im grammatischen Teil unter Kl. 2 der Nomina.

Dafür, daß viele der Lenes, zunächst natürlich die auslautenden, eigentlich stimmlos sind, spricht der folgende, bei der Suffigierung von -a häufig beobachtete Wandel: gēt „Haus“ und geda, bañék „Fleisch“ und bañega, fwatj „geh weg“ und fwadja.

j ist entweder aus g entstanden (siehe „Berg“), oder Gleitlaut (siehe „Feuerquirl“). γ kann durch Assimilation aus g entstehen z. B. im Verbalpräfix go: γoyena „faulen“. Beachtenswert ist aber auch der in vielen nilotohamitischen Sprachen vorliegende, individuelle Wechsel von ' bzw. γ mit einem Teil der k-Laute (der Tatoga); es dürfte dies k dem q der kuschitischen Sprachen entsprechen (da dem Nilotohamitischen die „Emphase“ zu fehlen scheint), so wie ich selbst jüngst in Eysa-Somali den Wechsel von q und ' beobachtete (vgl. Reinisch, Somalisch, Bd. III, p. 15f. u. 18, wo auch q = γ), was mir auch durch D. Westermann für das Hausa bestätigt wird, übrigens auch aus Meinhofs Mbulunge-Aufnahmen unschwer zu entnehmen ist.¹⁾ Auf eine andere phonetische Beziehung des Tatoga zum Somali hat schon Meinhof aufmerksam gemacht (Ndorobo, a. a. O., S. 119).

Vokalisiertes l (silbenbildend) liegt vor in llā „sechs“. An Faulkalen finden sich nur der leise, feste und gehauchte Einsatz.

Die Vokale sind die folgenden: i, i, e, e, a, a, o, o, o, u, sowie e, a und e sind nur kurz nachgewiesen, sonst können alle Vokale kurz oder lang sein. Mit e bzw. o habe ich sowohl eine mittlere, als auch eine näher nicht bekannte Artikulation wiedergeben müssen; ebenso ist die durch das Fehlen von e und u bedingte, zuerst auffallende Parallele i zu o lediglich der ungenügenden Beschaffenheit

¹⁾ Dieser Ausfall des linguales gegenüber den andern Artikulationsmomenten ist etwa dem in vielen Bantusprachen häufige Nebeneinander von Kl. 5 li und i zu vergleichen. Man beachte ferner, daß in den Stummeschen Beduinenliedern, in denen alle „emphatischen“ Laute verschwunden sind, für q nicht k, sondern g eintrat. Die algerischen Juden sprechen q als ' , und auch für Teile Marokkos z. B. Tetuan ist diese Aussprache gut bezeugt.

des Materials zuzuschreiben. Diphthonge sind namentlich au und oi, auch ai und ei; au ist oft = o z. B. áhau „groß“ neben áho.

Von zusammentreffenden gleichen Vokalen wird der erste gewöhnlich elidiert z. B. mboit' a tet, „Ziegen und Ochsen“ für mboita a tet; doch kommen auch sonst Verkürzungen vor z. B. undamias „ein guter Mann“ für untu amias.

Was den Akzent betrifft, dessen Besonderheiten schon Lasf (a. a. O., S. 4) bemerkt, so läßt sich zwar erkennen, daß von vokalisches auslautenden Wörtern alle Zweisilber und die Mehrsilber mit langem Vokal oder Diphthong der vorletzten Silbe als Paroxytona, die Mehrsilber mit kurzem Vokal in der vorletzten als Proparoxytona behandelt werden; konsonantisch auslautende Wörter werden aber ohne bisher erkennbare Regel teils auf der letzten, teils auf der vorletzten Silbe betont. Das adjektivische a- zieht immer den Hauptton auf sich. Nebentöne sind sowohl bei drei- als auch zweisilbigen Oxytonen zu beobachten.

Einem regelmäßigen dialektischen Lautwandel sind insbesondere die Lenes und die Vokale unterworfen. Meist wird die Explosiva des Mañati-Dialekts bei den in Ufiome sitzenden Tatoga frikativ. Beispiele:¹⁾

Mañati d > r z. B. medjod „Amulett“ dial. medjor,
gägjed „Pfeil“ dial. gägjer,
katemoda „Frau“ dial. katemora,
madaminianda „Feld“ dial. mara-
minianda,
minuedixt „Brei“ dial. munuerir;²⁾

Mañati b > v z. B. sabutš „Leibgurt“ dial. sayutk,
balanda „Salz“ dial. valand,
banék „Fleisch“ dial. vanek;

Mañati r > l z. B. mangore „roter Hirse“ dial.
mangole,
kiwereg „Pennisetum“ dial. kiwele,
serenien „Sklave“ dial. salenienda;

Mañatimu > nu z. B. mutet „Speer“ dial. nut.

Jedenfalls geht aus einigen dieser Beispiele hervor, daß die Mañati-Mundart nicht durchweg die ältere Form bewahrt hat vgl. auch geadox < dial. geladjibok „Ernte“.

Von Vokalen und Semivokalen werden namentlich i und u, bzw. y und w vertauscht z. B. minu-

¹⁾ Weitere Beispiele sind im Wörterverzeichnis (Kap. 3) enthalten und besonders bezeichnet.

²⁾ χ ist sekundär durch die Einwirkung des (wahrscheinlich gespannten) i auf das t < auslautenden d entstanden.

Mitteilungen a. d. D. Schutzgebieten, Ergänzungsheft 4.

edixt „Brei“ dial. munuerir, marugya „Bier“ neben marguek; vgl. ferner manan „klein“ dial. minen, aset „Gott“ dial. asit.

B. Zur Grammatik.

I. Das Nomen.

Die große Mehrzahl der Tatoganomina ist durch Suffixe in eine Anzahl von Kategorien eingeteilt, nach denen sich analog den Verhältnissen im Nandi, Ndorobo, Masai, Bari, Ful und andern Hamiten-sprachen die Pluralbildung regelt. Daß es sich hier nicht um Determination (wie im Nandi), sondern um Kategorien im Sinne der Bantu- und Fulgrammatik handelt, zeigen gewisse Suffixwechsel z. B. balent „Knabe“, balodjik „Sohn“ (zu Saho bala, weiteres siehe im Wörterverzeichnis), ebenso „Pfeil“ gädjeg, gägjed oder gägjida, „Frau“ kademga und katemoda (wo aber der Bedeutungsunterschied nicht klar), kamuniend od. (dial.) kamunianda „Honig“ und kamunk (dial.) „Honigbier“, marugya neben marguek „Bier“. Über den Ursprung dieser Suffixe läßt sich zurzeit nicht einmal eine Vermutung aufstellen. Im Ful hält Westermann (Ful-Handbuch S. 204) die „Endungen“, wie er sie nennt, nicht ohne Grund für früher selbständige Wörter; so mag auch das Tatogasuffix 3 (siehe unten) zu Bedaue da „Ding“ verglichen werden, wenn es nicht vielmehr aus -t + a entstanden ist.

Ohne Suffix finden sich eine Anzahl einsilbiger oder durch noch nicht zu deutende Präformative¹⁾ zweisilbig gewordener Stämme mit konsonantischem (auch nasalem) Auslaut z. B. kut „Mund“, badut „Hügel“ (Somali dūd-ki „isolierter Sandberg“, Galla tulu usw.), meñ „Stern“. Sie werden im Plural nicht verändert, z. B. nduk „Kuh“ und „Kühe“. Ferner entbehren die Fremdwörter der Suffixe; tumbatit neben tumbat „Tabak“ zeigt aber, wie solche Wörter auch formell in den Tatoga-Sprachschatz aufgenommen werden. Soweit diese Fremdwörter nicht durch Bantupräfixe eine andere Bildungsweise nahelegen, bleiben auch sie in der Mehrzahl unverändert z. B. kipundi „Tabakspfeife“, Pl. kipundi (zu Mbugu kipundē, Mbulunge kubendē, Ngomvya kipunditúko).

Bemerkenswerterweise scheint sich bei der Pluralbildung nicht suffigierter Zweisilber (nicht Fremdwörter) Veränderung des Anfangskonsonanten zu

¹⁾ Von denen sich ha- auch im Somali findet (Reinisch a. a. O. III, S. 40; Schleicher a. a. O., S. 98), ebenso auch in toten Bildungen ba-, falls Schleichers Beispiel richtig ist (S. 80).

finden z. B. kagem „Frau“, Pl. 'agem, was ganz ans Ful gemahnt; vgl. dort in der Personenklasse Sing. k- Pl. h- bzw. in der Nichtpersonenklasse Sing. h- Pl. k- zu Ndorobo hudunda „Knie“, Pl. gudunwek.

Veränderung des Vokals in der ersten Silbe findet sich, wie schon angedeutet, bei den aus dem Bantu stammenden Fremdwörtern in der charakteristischen Weise, daß u (o) des Singulars im Plural mechanisch zu a verschoben wird, was zugleich zeigt, wie unverständlich im Grunde genommen den Tatoga die Pluralbildung des Bantu sein muß.

Beispiele: untu „Mann“, Plural antu,
mosungu „Europäer“, „ masungu.

Die große Masse der mit Suffixen versehenen Nomina läßt sich nach der Art ihrer Pluralbildungen in vier Abteilungen gruppieren:

- A. Singular und Plural gleichlautend,
- B. Singularsuffix im Plural durch ein anderes ersetzt,
- C. Plural- von der Singularform durch Suffixe abgeleitet,
- D. Singular- von der Pluralform durch Suffixe abgeleitet.¹⁾

Die Grundbedeutungen der von dieser formalen Gruppierung unberührten Suffixkategorien sind, wenn sie sich überhaupt noch im Tatoga klar vorfinden, jedenfalls nicht aus dem vorliegenden unzureichenden Material ersichtlich. Wichtig ist es (im Vergleich zum Bantu), daß hier dasselbe Suffix in der einen Kategorie den Plural, in der andern den Singular bilden kann z. B. Sing. Kl. 6 -eg = Pl. Kl. 5. Soviel sich erkennen läßt, finden sich die meisten Tiere in Kl. 2, kleine Lebewesen und kleine Dinge vorzugsweise in Kl. 5 (von Meinhof im Ndorobo als „Individualis“ aufgefaßt), große Dinge, auch Körperteile in Kl. 3 usw. Ob übrigens Suffix 3 (-da) und 4 (-ga) jüngeren Zusammensetzungen aus 2 (-d) bzw. 6 (-g) und 1 (-a) sind, weiß ich nicht; solche Kombinationen kommen aber sowohl im Bantu wie auch im Ful vor, so daß ich auch hier nicht anstehe, eine Anzahl Beispiele so zu deuten. Es kommen vor neben

hut „Mädchen“ auch huta,
mutet „Speer“ „ muteta,
bárid „Messer“ „ bári^oda,
banék „Fleisch“ „ banega.

¹⁾ Dies Gegenspiel der Abteilungen C und D ist, worauf Meinhof vor einiger Zeit schon aufmerksam machte (Ztschr. f. Ethnologie 1905, S. 638), ein für die hamitische Grammatik besonders charakteristischer Vorgang, vgl. auch Reinisch, Die Bilinsprache, Wien 1882, S. 87 und Hollis, The Masai, S. 30ff. Meinhof bezeichnet diese Erscheinung jetzt als „Polarität“.

Daß -a ein selbständiges Suffix ist und auch an vokalisch auslautende Stämme tritt, läßt sich z. B. aus go „Dorf“, Nebenform kóa entnehmen; es ist also nicht als etwa durch Sandhi entstandenes Flick-a aufzufassen. Übrigens gehören die Klassen 6 und 4 auch begrifflich zusammen: beide bezeichnen (einschl. der Namen einiger Körperteile) den Menschen als Angehörigen einer Familie oder überhaupt sozialer Einheit (vgl. oben balent Kl. 5 zu balodjik Kl. 6). a hat vielleicht substantivbildende Funktion vgl. amana „Kleines (Kind)“ zu amanā „klein“.

Die Vokalisierung der Suffixe hängt wie im Ndorobo, Nandi und auch Masai von den Vokalverhältnissen des Stammes ab; Regeln werden sich erst nach genauen phonetischen Aufnahmen ergeben.

Beispiele für Klasseneinteilung und Pluralbildung (weiteres siehe Wörterverzeichnis):

- A. 1. Singular -a, Plural -a:
 - geta „Baum“, Pl. geta,¹⁾
 - bwaba „Vater“, „ bwaba,
 - aiana „Auge“, gulaña „Messingperlen“.
2. Singular -t, Plural -t (-et, -ed, -it, -id, -ot, -od, -ut, -ud):²⁾
 - kudiet „Hündin“, Pl. kudiet,
 - laganēt „Stein“, „ laganēt,
 - singiét „Zebra“,
 - genued „Hammer“,
 - mitit „Katze“,
 - haftid „Matte“,
 - matinōt „Rührschieb“,
 - jolōd „Kerbmesser“,
 - engagut „Huhn“,
 - lugud „Krieg“.

Bemerkung: Nach velarem Stammaslaut wird nur -t suffigiert z. B. kilukt „Ochse“ Pl. kilukt; legt „Bohrer“; roxt „Köcher“; gint „Blasebalg“. Eine Endung -ad besteht nur scheinbar, da tšomād „Axt“ < Suaheli chuma „Eisen“.

3. Singular -da (-ta), Plural -da (-ta):
 - gatenda „Hand“, Pl. gatenda,
 - gāgjida „Pfeil“, „ gāgjida,
 - mboita „Ziege“, „ mboita,
 - gijédā „Berg“,
 - moneda „Finger“,
 - sereta „Nase“.
4. Singular -ga (-ka), Plural -ga (-ka):
 - díwiga „Kind, Sklave“, Pl. díwiga,
 - kademga „Frau“, „ kademga,

¹⁾ Nicht zu Kl. 3, da t stammhaft ist vgl. die verwandten Sprachen im Wörterverzeichnis.

²⁾ Bzw. dialektisch -r siehe Lautlehre.

gika „Schuh“, Pl. gika,
 buadika „Bruder“,
 gidamudiga „Schmiedekaste“.

B. 5. Singular -ant (-ent, -end, -ind), Plural -eg
 (-ek):

sogéant „Kauri“, Pl. sogeg,
 soskiant „Körbchen“,
 ramerant „Pfeilspitze“,
 balent „Knabe“,
 tarietend „Vogel“,
 gonind „Schröpfunghorn“.

Bemerkung: Als Kollektivum gehört hierher: beek
 „Wasser“.

C. 6. Singular -ek (-ik, -uk), Plural -egi:

awiek „Tochter“ Pl. awegi,
 balodjik „Sohn“,
 ṅgadīsik „Häuptling, König“,
 kesituk „Zahn“.

7. Singular -s, Plural -sen:

amias „gut“, Pl. amiasen,¹⁾
 kuagwis „Hirte“.

D. 8.²⁾ Singular -da'os, Plural -da:

guargweda'os „alter Mann“, Pl. guargweda.

Einige Plurale werden von anderem Stamm gebildet als der Singular z. B. tet „Ochsen“, Sing. kilukt, búnida „Männer“, Sing. sida (in beiden Beispielen auffälligerweise mit demselben Klassensuffix).

Dialektische Verschiedenheiten scheinen im Suffixwesen in ziemlichem Umfange vorzuliegen. Meist wird in der in Ufiome gesprochenen Mundart noch ein erweiterndes a-Suffix Kl. I beobachtet z. B.

	in Mañati.	in Ufiome.
„Hirse“ . . .	bog,	boga,
„Haus“ . . .	gēt,	geda,
„Dorf“ . . .	ganid,	ganida,
„Bestattung“	punged,	pungeda,
„Bohne“ . .	sayorod,	sayoroda,
„Honig“ . .	kamuniend,	kamunianda,
„Sklave“ . .	serenien,	salenienda.

Umgekehrt fehlen mitunter der Fiome-Aussprache sowohl die linguale als die velare Suffixe des Mañati-dialekts, z. B.

	in Mañati	in Ufiome
„Gemüse“	norid,	nor,
„Tabak“	tumbatit,	tumbat,
„Pennisetum“	kiwereg,	kiwele.

Grammatisches Genus existiert nicht, z. B. mboita „Bock“ und „Ziege“. Das natürliche Geschlecht wird sonst teils durch den Gebrauch ver-

schiedener Stämme, teils durch nominale Attribute bezeichnet, z. B. kudiet „Hund, Hündin“; soll ein männlicher Hund besonders bezeichnet werden, so heißt es kudiet tákutit. Vgl. jedoch nduk < *n-luk „Kuh“ zu ki-luk-t „Ochse“.

Besondere Kasusformen bestehen gleichfalls nicht. Der Subjektsnominativ steht vor dem Verbum, der Akkusativ nach demselben. Beispiele:¹⁾

side nunu gólasa díwiga nana,
 Mann dieser schlägt Sklaven seinen;
 búneda nunu gólasa díwiga nana,
 Leute diese schlagen Sklaven ihre;
 kademga dida gógasa díwiga nana,
 Frau diese liebt Kind ihr.

Diese Beispiele zeigen zugleich die Sandhi-Veränderungen der unbetonten Vokale.

Der Genitiv wird durch die lediglich kopulative Präposition a (s. u.) mit seinem Regens verbunden z. B. a bwaba „eines Vaters“, hayod a hut „das Kleid des Mädchens“, hayod a katemoda „das Kleid des Weibes“. Bei oft gebrauchten Verbindungen fällt a weg z. B. hayod hadig „Männerschurz“, gaded nasant „Hanfpfeife“, oldawaš-enda „Ente“ (enda „Fluß“), gabiiya „Schwester“ (iiya „Mutter“). Soll eine Herkunft deutlicher bezeichnet werden, so kann (nach Last) gesagt werden: origet a bwaba „von einem Vater“, wobei origet als richtunggebendes Nomen regens zu a von dem in den meisten nilotohamitischen Sprachen vertretenen Wortstamm or „Weg“ abgeleitet ist (mit doppelter Suffigierung nach Kl. 6 und 2).

2. Adjektivum.

Echte Adjektiva scheinen dem Tatoga zu fehlen. Ein großer Teil der in adjektivischer Bedeutung gebrauchten Formen lauten mit akzentuiertem a an und sind deshalb als Substantivstämme (natürlich ohne Klassensuffixe) im Genitivverhältnis aufzufassen. Dazu würde auch ihre entschieden nominale Pluralbildung stimmen (s. oben Klasse 7). Beispiele:

amias „gut, schön“, amuin „schlecht, häßlich“,
 áho, áhau „groß“, amanañ „klein“,
 ágean „lang“, ánoas „kurz“,
 áduruman „schwer“, ánwa „scharf“.

Andere Adjektiva sind Verba z. B. gohesa „faul“, gwóuna „fremd“. Diese Formen erinnern merkwürdig an die zahlreichen mit gu (go) präformierten Adjektiva des Mbulunge.

Das attributive Adjektiv folgt seinem Substantiv und verliert das Präformativ a z. B. katemoda hau

¹⁾ Von Last als Sing. fem. angegeben, was nach Analogie des Nandi sicher falsch ist.

²⁾ Vgl. Hollis, Nandi S. 175 ff.

¹⁾ Nach Werther a. a. O., S. 492.

„die große Frau“ (Hauptfrau), *Katēmoda manān* „die kleine Frau“ (Nebenfrau).

3. Zahlwort.

Von Zahlwörtern ist nur die Kardinalreihe bekannt geworden, und zwar durch die verschiedenen Gewährleute in stark abweichender Form. Am zuverlässigsten scheint die von Baumann gegebene Reihe zu sein, Werther und sein Eingeborener waren schon bei „sechs“ auseinander. Ich gebe daher die Reihe so, wie sie mir durch den Vergleich der Quellen untereinander und mit den verwandten Sprachen am wahrscheinlichsten ist, und setze die abweichenden Quellenangaben bei:

- 1 *akī*,
- 2 *iyēn*,
- 3 *somók*,
- 4 *ānwán*,
- 5 *mut*,
- 6 *llā* (L. 9),
- 7 *isupá* (L. 6, W. 9),
- 8 *sīsē* (L. 7),
- 9 *segés* (L. 8, W. 8),
- 10 *táman*,
- 11 *táman akī* (W. 7),
- 20 *tigítém* (W. 6),
- 21 *tigítém akī*,
- 40 *háradam* (W. 10),
- 41 *háradam akī* (W. 11),
- 42 *háradam iyēn* (W. 12),
- 43 *háradam o somók* (W. 13),
- 44 *háradam ānwán* (W. 14),
- 45 *háradam mut* (W. 15),
- 46 *háradam o llā* (W. 16),
- 47 *háradam isupá* (W. 19),
- 49 *háradam o segés* (W. 18),
- 51 *háradam o táman akī* (W. 17),
- 60 *llātem* (W. 30),
- 80 *sítém* (W. 40),
- 100 *boyal(a)* oder *boyaleda* (W. 50 u. 100).¹⁾

Die zusammengesetzten Zahlen sind ursprünglich durch das alte Bindewort *o* (vgl. Nandi *ok*) gebildet; lautet das zweite Wort vokalisch oder mit einem *an*

¹⁾ Für „1000“ wird 100 mal 10 gesagt, nach Kannenberg *bughala jeraman-umgush*; die letztere Form für „10“ hat auch Last als *taman mgosh*, was also nicht, wie Meinhof anzunehmen scheint (Ndorobo S. 123), aus einem Bantuwort *mugosi* o. ä. „Mann“ mißverstanden sein dürfte.

derselben Stelle wie der Auslaut des ersten Wortes artikulierte Konsonanten an, so ist das Bindewörtchen verloren. Die Zählmethode ist ziemlich rein vigesimal, aber deutlich aus einer Dezimalen entstanden.¹⁾ *háradam* „40“ und vielleicht auch *tigítém* „20“ dürften dem Masai entlehnt sein; die letzte Silbe ist aus *táman* „10“ entstanden. Was 40, 60, 80 anbetrifft, so gibt Kannenberg die für die vorliegenden Formen natürlich nicht zutreffende Erklärung als Multipla von 20, teilt aber seine Formen nicht mit (a. a. O., S. 166); die Zusammensetzung von 20 mit *táman* hat er schon richtig gesehen. Die Zahlwörter werden nachgestellt.

4. Pronomen.

Die von Last angegebenen absoluten und, aus den Formen zu schließen, emphatischen Personalpronomina lauten:

<i>anini</i>	ich,	<i>esesa</i>	wir
<i>alabasa</i>	du,	<i>asalene</i>	ihr,
<i>kwiyen</i>	er,	<i>gowa</i>	sie;

nach den im Wörterverzeichnis mitgeteilten Parallelen aus verwandten Sprachen können nur die Formen der 1. und 3. Pers. Sing. und der 1. und 2. Pers. Plur. als einigermaßen sicher angesehen werden. Die von Last weiter angeführte Form *adeni* „von mir“ vermag ich nicht zu erklären (a Genitivpartikel, ni „ich“).

Das Possessivum folgt seinem Regens. In der attributiven Form wird offenbar eine Grundform des Personalpronomens suffigiert z. B. *āmana-ni* „mein Kleines“ (Last: Kind). Vgl. auch *kalemoda-nu* „mein Weib“ (Last: Frau) zu Nandi-Formen wie *sesēn-nyō* „mein Hund“ (Hollis S. 185). Die Prädikativformen sind durch allerlei Afformative weiter entwickelt, werden übrigens auch in attributivem Sinne gebraucht z. B. *diwiga nana* „sein Sklave“ oder „ihre Sklaven“, (für beide Numeri und Genera, nach Werther).

Vom Demonstrativum gibt Werther nunu „dieser, diese“, *dida* „jene“ (fem.) für beide Numeri. Sie werden nachgestellt z. B.

<i>side nunu</i>	„dieser Mann“,
<i>búneda nunu</i>	„diese Leute“,
<i>kademga dida</i>	„jene Frau“

Nach den Vokalen zu urteilen, dürften die Entfernungsbegriffe eher umgekehrt zu verstehen sein.

Die Fragepronomina siehe im Wörterverzeichnis.

5. Verbum.

Es ist nicht möglich, sich aus den von Last und Werther mitgeteilten Verbalformen ein klares Bild

¹⁾ Charakteristisch ist, daß Werther nach „5“ *mut* statt der gewünschten „6“ sofort *tigítém* „20“ zur Antwort bekam.

der verbalen Verhältnisse zu machen. Folgende Beobachtungen scheinen mir aber einstweilen mitteilenswert:

Viele Verba erinnern durch ihre Auslaute -a, -da, -an an Nominalbildungen, vgl. *nāt-a* „bauen“ (Nandi *not*), *γayoi-da* „ankommen“, *baloda* „sprechen“, *sáraman* „tanzen, spielen“ usw. Ohne Suffixe finden sich jedoch auch einige Beispiele vgl. *lil* „schlafen“ (Saho *din*). Man vergleiche dazu die sogenannten schwachen Verba des Somali, die wirkliche Nomina sind und mit den Personalpräfixen verbunden als Verba fungieren (Reinisch, Somalisprache III, S. 87).

Der Imperativ ist häufig mit dieser Stammform gleichlaufend z. B. *ben* „komm!“ *fwatj* „lauf!“, kann aber durch mehrfache vorläufig undurchsichtige Prä- oder Suffigierungen von *a* oder *ni* oder auch Reduplikation erweitert werden z. B.

fwadja „geh!“ (von *fwatj*),

agisigin „iß!“ (Bari *ngetj*),

adan „gib!“

abededa „sitze!“ (vgl. *Mbulunge* *ibithi*),

nime „stirb!“ (Nandi *me*),

fēkeni „steh!“

Unter den finiten Formen begegnet in vielen Beispielen das beim Adjektiv schon erwähnte Präfix *go*, das die 3. Pers. Sing. bildet und wohl auch in dem Absolutum *kwiyen* „er“ steckt. Beispiele:

gólāsa „er schlägt“ von *lāsa* „schlagen“,

gōneres „er wurde zornig“,

gošēla „er führte Krieg“.

Nach diesen Beispielen, die ich den als Ganzes leider immer noch nicht zu analysierenden Texten Baumanns (S. 366) entnehme, kann diese Tempusform als Aorist bezeichnet werden; sie dient der Erzählung in der Gegenwart und Vergangenheit. Als 1. Person mag hierzu nach Analogie des Nandi eine Form wie *a-lava* „ich folge“ (vgl. *Bedauye* *lām*, „folgen“) gehören; in der 2. Person hat das Nandi als Präfix *i(e)*, unter den von Werther gegebenen Formen dürften wohl *i-loga* „töten“ (*Galla gorā*) und *(h)i-stabū* „hinaufsteigen“ hierherzuziehen sein.

Ein reines Präsens wird durch ein gleichfalls pronominal-präfigiertes Hilfswort *i* gebildet z. B.

goi gōgāsa „er liebt“,

goi gōdaha „er sieht“.

6. Partikeln usw.

Das Adverb folgt unmittelbar seinem Zeitwort z. B. *abededa* eidem „sitze hier!“ Die große Mehrzahl der als Adverbien gebräuchlichen Wörter sind

Nomina, andere, die mit *a-* anlauten, dürften einstweilen zu den Adjektiven gestellt werden, und andere wie eidem „hier“ sind Demonstrativa. Beispiele:

omōngeyet „oben“,

nenit „unten“

kerakita „vorn“,

koodōs „hinten“,

aniki „nahe“

ašogi „ferne“,

askwert „heute“,

olomodji „gestern“,

numada „bald“,

saxet „morgen“.

Andere Formen sind zusammengesetzt z. B. *galāgase* „immer“ d. h. wohl „alle Tage“ vgl. Somali *wéli-ga*, Kafa *bulli-gōr*; ferner *ebubata minen* „allmählich, sachte“, vielleicht „ein kleines Stückchen“. *idzulu* „hoch“ ist natürlich Bantu.

Als wichtige Präposition ist noch *a* zu nennen, das dem Nandi *ak, ok* „und, mit“ entspricht. Die dumpfere Vokalisation finde ich im Tatoga nur beim Zahlwort *s.* oben, während *a* bei der Genitivbildung und wohl auch beim Adjektivum eine hervorragende Rolle spielt. Die Grundbedeutung scheint „mit“ (und zwar einschließlich des instrumentalen Sinns) z. B. *mboit' a tet* „Ziegen und Ochsen“; *gobeidj a bēlanket* „er schlägt mit dem Stock“. Übertragen auch für die Ortsbewegung z. B. *gedyak sit' a kōa* „ich schicke einen Mann ins Dorf“.

Als Grußformel dient für den ganzen Tag und für beide Geschlechter: *séiyu!* Geantwortet wird in *Mañati séiyu gōngolin!* in *Ufiome idik gōngolin!* (s. *Kannenberga a. a. O.*, *Glauning in Mitt. Sem. or. Spr. VI. 3, S. 136*). Zu vergleichen ist die Grußformel von *Iramba: séu*, Antwort: *séine*; ferner *Mbulunge* *gruß sayum*.

Das Kriegsgeschrei der *Mañati* lautet: *u-u'a-a!* *emudjin!* das der *Tatoga* in *Klein-Ufiome: uhaiyeda!*

Kapitel II.

Die Sprache von Iraku.

Die Irakusprache, deren Verbreitungsgebiet durchaus auf die gleichnamige Landschaft beschränkt und seit einigen Jahrzehnten in *Mburu* noch durch das *Tatoga* (siehe oben) eingeengt ist, bildet mit den Idiomen von *Ufiome*, *Uassi*, *Mbulunge* und *Ungomvya* (*Uséria*) eine nur durch das Bantu-gebiet von *Irangi* unterbrochene Einheit, zumal auch die Auswanderung jenes Trupps von *Waassi*, der heute bei *Handali* im mittleren *Ugogo* sitzt, erst von etwa 1800 an datieren dürfte und die Niederlassung der *Wangomvya* in *Ugogo* (aus *Usigua* über *Mbulunge* eingewandert) nach den Ermittlungen von *Claus*¹⁾ erst vor zwei Generationen erfolgt ist.

¹⁾ *Ztschr. f. Ethnologie* 1910, S. 489ff.

Der Zusammenhang war früher wohl ein noch engerer, da die Fiome nach ihrer eigenen Tradition aus *Iurus* (i. e. Enotiek) stammen¹⁾, und auch die Mbulunge von der Bruchstufe hergekommen sein müssen, wenn anders man ihrer Tradition vom Felsen „*χ*ibebanduk“²⁾ irgend Wert beimessen will³⁾. Was die Leute von Uassi betrifft, so bezeichnen merkwürdigerweise die Warangi den Muassi, Stammvater der Waassi, als den Bruder ihres eigenen, autochthonen, Ahnen Mrangi; danach wären die Waassi die ältesten Hamiten in dieser Gegend. Mit ihnen müssen aber wieder die Irakuleute enger zusammengehören, da Kannenberg diese Landschaft in Uassi als ein bei Meiri gelegenes „Nord-Uassi“ nennen hörte, dessen Bewohner desselben Stammes seien und dieselbe Sprache sprächen wie die Waassi bei Kondoa-Irangi⁴⁾, und da ein Bann im nördlichen Iraku noch den Namen Uassi führt. Kannenberg hat auch zuerst die Ansicht Baumanns von der Identität der in Rede stehenden vier Sprachen verbessert und die gesonderte Existenz des Mbulunge, Fiome und Uassi durch Proben nachgewiesen, was sich durch die Mbulunge-Aufnahmen Meinhofs (dem leider sowohl Kannenbergs als auch Seidels einschlägige Arbeiten nicht bekannt gewesen zu sein scheinen)⁵⁾ wie auch durch die folgenden Mitteilungen über die Irakusprache vollauf bestätigt. Die von Meinhof in seinem von zwei verschiedenen Gewährsleuten aufgezeichneten Material wahrgenommenen dialektischen Unterschiede präzisieren sich dahin, daß Leas Angaben vielfach zum Fiome neigen. Wenn übrigens einige von Baumanns Leuten sich mit den Wafiome, wenn auch nur notdürftig, verständigen konnten, indem sie ein Gemisch aus Nandidialekten redeten⁶⁾, so kann das heute nur dahin verstanden werden, daß sie entweder mit in Ufiome ansässigen Tatoga konversierten, oder mit Wafiome, welche durch den nachbarlichen Verkehr ihrerseits des Tatoga mächtig waren. Baumanns Sprachproben stammen ausschließlich aus Ufiome, nicht aus Iraku oder einer der beiden anderen Landschaften.

¹⁾ Kannenberg a. a. O., S. 145.

²⁾ Kannenberg gibt ausdrücklich *χ*, nicht *χ* an, der Laut fehlt aber in der Meinhofschen Tabelle (Mitt. Sem. or. Spr. IX, 3, S. 328); sollte *χ* = h sein? Ngomvya hat *χ* und *χ*.

³⁾ a. a. O., S. 149 (die Himmelsrichtungen sind sämtlich verkehrt).

⁴⁾ a. a. O., S. 158.

⁵⁾ Die Sprache von Ufiomi in Deutsch-Ostafrika, nach Aufzeichnungen des Hauptmanns Kannenberg und des Leutnants Glauning bearbeitet von A. Seidel: Ztschr. f. afr. u. oz. Spr. V., S. 165 bis 175.

⁶⁾ Baumann a. a. O., S. 174.

Wie mir P. Dr. Hallfell von den Weißen Vätern aus Briefen des Oberen von St. Mathias-Neu Trier mitteilt, haben die Missionare bereits mit dem Sprachstudium eingesetzt, stoßen aber dauernd auf große Schwierigkeiten. Ihre Ansicht, daß das „Ki-Mbulu“ wie sie es nennen, als vom Bantu völlig verschiedene Enklave zu den „nilotischen“ Sprachen gehöre, dürfte sich inzwischen wohl auch als unhaltbar erwiesen haben.

A. Die Laute.

Was sich bisher im Iraku an Lauten hat feststellen lassen — die untenstehende Tabelle ist sicher sehr unvollständig —, zeigt handgreiflich die nahen Beziehungen zum Mbulunge, Ngomvya und Fiome. Besonders wichtig ist die Lateralis *d*, von Dr. Jaeger als „etwas aspiriertes dhl“ aufgefaßt und möglicherweise besser *z* zu schreiben.¹⁾ Das Mbulunge hat neben *d* noch die beiden Fortes *t* und *s*, das Ngomvya anscheinend alle vier Lateralen, (*s*, *Claus* und *Meinhof*, Ztschr. f. Ethnol. 1910, S. 493 und 495 f.) während über den entsprechenden Laut im Fiome, von *Seidel* *dẓ* geschrieben (a. a. O., S. 166 f.), erhebliche Zweifel bestehen (ich setze, der Beschreibung des Lautes folgend, vorläufig *tẓ*).²⁾ Was die Reihe der velaren Frikativen und Faulalen betrifft, so sind *h* und *γ* gut bezeugt, *̄* ist von Dr. Jaeger wenigstens im Inlaut regelmäßig bezeichnet, *χ* beschreibt er als „Schweizer *ch*, doch nicht so scharf gesprochen“ (also nicht *χ̣*) und glaubt auch „zwei verschiedene derartige Laute gehört zu haben, einen scharfen *kh* (d. h. *χ*) und einen milden *h*“. Letzterer ist sicher *h*, das auch im Mbulunge und Fiome ganz gewöhnlich ist. Ein bemerkenswerter Unterschied gegen diese Sprachen liegt dagegen in der dürftigen Entwicklung nasalierter Fortes, im Fehlen der Palatalen des Mbulunge und Interdentalen des Fiome und im Mangel an nasalen Vokalen, wie sie in letzterer Sprache nicht gerade selten zu sein scheinen.

¹⁾ Ich lasse es bei *d*, da *z* im Mbulunge nicht nachgewiesen.

²⁾ Falls diese Entsprechung innerhalb vierer so nahe verwandter Idiome richtig ist, sind zu diesen südhamitischen Lateralen diejenigen in Südafrika (Kafir, Sotho usw.) zu vergleichen, worauf schon Meinhof hingewiesen hat. Sehr bemerkenswerter Weise finden sich aber auch in dem diesen Hamitensprachen nahe benachbarten Sagala neben nasalen Auslauten auch Lateralen, und zwar nicht als Entsprechung der sogen. grundsprachlichen Mischlaute z. B. *tlyoa* „anfangen“. Finck hält die Lateralen im Bantu für ursprünglich (Verwandtschaftsverhältnisse S. 89, 120 f.) und zwar stimmlos, was für die heutige Aussprache jedenfalls nicht mehr zutrifft. Unter Sagala verstehe ich hier den von der C. M. zur Schriftsprache erhobenen Kondoa-Solwe-Dialekt Lasts, also die um Kilossa gesprochene Mundart.

Die im Iraku nachgewiesenen Laute gruppieren sich mithin wie folgt:

	Explosivä		Nasale	Frikativä	Semi-vokale
	stimmlos	stimmhaft			
Velares	k	g	ŋg	ɲ	ɣ
Laterales		d			
Palatales					y
Alveolares	t	nt	d	nd	n
	ts, tṣ		dʒ		r, l
					s, z, nz
Labiales	p		b	mb	m
					f, v
					w
		Vokale:			
		a			
		(e) (o)			
		e		o	
				(o)	
	i				u
	Diphthong: ai				
	Fauciales: ʔ, ʔ̣, h, ḥ				

Von den Konsonanten finden sich nur \dot{n} , n und f als silbenauslautend, ähnlich dem Ngomvya aber im Gegensatz zu Mbulunge und Fiomí, wo in dieser Funktion noch mehrere andere, zunächst dentale und Faulale, beobachtet sind. Die Vokale sind in der Regel kurz, lange Vokale (\bar{e} , \bar{a} , \bar{o}) finden sich auch in geschlossenen Silben, aber nur in der vorletzten, und sind wohl durch den Einfluß des Wortakzents entstanden, der regelmäßig auf der Vorletzten ruht. Auf die von Seidel in extenso gegebenen Vokal- und Konsonantenverbindungen (a. a. O., S. 167) lege ich keinen Wert; die Aufzeichnungen sind phonetisch zu ungenau, mögen nun gekürzte Vokale überhört, oder in eigentliche Konsonantenverbindungen Vokale hineingehört sein, zumal die Aufnehmenden ja alle vom Bantusprachgebiet hergekommen sind.

B. Grammatisches.

Der einzige grammatische Vorgang, den ich im Iraku mit Sicherheit habe feststellen können, ist die Pluralbildung, die durch Veränderung des Auslautvokals erfolgt:

Plurale auf a: $\dot{a}ra$ „Ziegen“, zu Ngomvya Sing. $\dot{a}l$ -ito, dena „Weiber“, garma „Männer“, $\dot{k}onga$ „Hühner“, $\dot{y}ekwa$ „Rinder“ (Ngomvya Pl. $\dot{y}akwa$).

Plurale auf o(u): $\dot{to}yayono$ „die Hacken“ von Sing. $\dot{to}yayoni$, kwasu „Perlen“.

Plurale auf i: $\dot{x}undi$ „Gefäße aus Rindermist“, losi „Bohnen“; lautet schon der Singular auf i aus, so hat der Plural -ai z. B. kipi „Ohrrpflock“ Pl. kipai, vgl. auch dursai „Grabstöcke“, hudai „Tongefäße“.

Plurale auf \dot{n} (vielleicht zu -a vgl. Mbulunge) z. B. bean „Schafe“ vgl. Fiomé bei, Mbulunge mbe \dot{n} a

Viele Singulare enden auf -e, siehe Wörterverzeichnis.

Den Zusammenhang von sahara „Pfeil“ Pl. ma $\dot{h}eri$ verstehe ich nicht. Daß letztere Form nicht analog dem aus dem Bantu entlehnten mahanga „Pfeile“ verderbt ist, zeigt Fiomé mihéri oder mahau, Kafa máho.

Von Bantufremdwörtern finde ich aus dem Mbugwe entlehnt (wegen des h, Natulu hat p) mahanga „Pfeile“ (B. -paŋga), muari „heiratsfähiges Mädchen“ (B. -yalí). mardati „die Zierschnitte in den Lederkleidern“ ist wohl einfach das ad hoc entlehnte maradati des Suaheli.

Der Genitiv steht hinter seinem Regens, wahrscheinlich ohne verbindende Partikel z. B. $\dot{d}ao$ dena „Kleid der Weiber“, $\dot{d}ao$ garma „Kleid der Männer“. Auf jeden Fall ist das \dot{o} in $\dot{d}ao$ stammhaft und nicht mit der Genitivpartikel \bar{o} des Fiomé identisch vgl. die verwandten Sprachen. Namentlich im Ngomvya erscheint -o im weitesten Umfang als Nominal- und Verbalauslaut (ähnlich dem Kafa).

Kapitel III.

Vergleichendes Wörterverzeichnis.

Vorbemerkung. Für die hier verglichenen Sprachen habe ich teils die schon von Meinhof (Mitt. Sem. or. Spr. X, 3, S. 115) angeführte Literatur, teils andere von Meinhof nicht benutzte oder erst seither im Druck erschienene Quellen herangezogen, für deren Aufführung im einzelnen hier kein Raum ist. Einige wenige Ausdrücke des Bagirmi, Wolof und Ful entstammen meinen eigenen, noch unveröffentlichten Aufnahmen. Aus praktischen Gründen habe ich auch für die mehrsilbigen Sprachbezeichnungen tunlichst dieselben Abkürzungen gebraucht, wie Meinhof, nämlich: Elg. = Elgumi, Kam. = Kamasia, Karam. = Karamojo, Karam. S. = südwestliches Karamojo, Mbul. = Mbulunge, Ndor. = südliches Ndorobo (nach Meinhof und Kannenberg), Ndor. N. = nördliches Ndorobo (nach Johnston), Som. = Somali, Turk. = Turkana.

Ob die Vergleichenungen sich auf das Tatoga- oder Irakuwort beziehen, dürfte wohl nirgends zweifelhaft sein, manchmal gelten sie gleichmäßig für beide, wo ein Teil der Vergleichenungen für Tatoga, der andere für Iraku gilt, habe ich sie durch ein Semikolon unterschieden. Die Abkürzung „vgl.“ soll andeuten, daß diese Wortgleichung nur in geringerem Grade als sicher anzusehen ist; beige-setzte Fragezeichen beziehen sich auf den Charakter der Wortgleichung, nicht auf das Wort selbst.

	Tatoga:	Iraku:	Verglichene Sprachen:
acht	sise		Nandi sisiit, Kam. sisiit, Ndor. N. sisit, Ndor. isiet, Masai isyet, Som. sidded, Galla sadeta. Vielleicht Reduplikation zu Fiome siá „vier“ Mbul. tjigah?
achtzig	sitem		
ackern	ewarañai		Som. abur, Ndor. iward „bebautes Feld“, Nandi imbar dass.
Ader	kevoda		Vgl. Som. hédid, Galla híddā.
Akazienart ¹⁾	bardjómur		Som. gumár „Acacia sanguinea“, Saho gamaró dass.
Ale zum Vorstechen beim Nähen	sidaged		
allmählich	ebubata minén		siehe „klein“.
Amulet (um den Hals getragen)	medjod, dial. medjor		Mbul. umasei, Fiome und Uasi umasai, vgl. Mande basi.
ankommen	γayóida		
Antilope (Buschbock, Suah. sigiro)	saramadet		Ndor. N. saramat.
(Pallah, Suah. swara)	darawéda		Masai oltarawit, Ngisu endarawit, Ndor. N. terewitiot, Kam. tewiretiet, Ful ndarua oder darure.
Armring	loγumer (Leder)	fongo (Stroh)	
Armspiralen	ngonyant (Eisen), molemolaned oder moaniend (Messing)		Vgl. Saho milā, Galla malta, Gaya mola „Kupfer, Messing“.
Auge	aiana		Elg. akon, Karam. S. akonen (Pl.), Turk. ekon, Suk kon, Nandi kon bzw. konda, Kam. und Ndor. N. konda, Bari kone, Masai engono, Ngisu angono.
Axt	tsomad		Vgl. Suah. chuma „Eisen“.
Axtklinge	nomura		
bald	numada		Galla amuma.
bauen	ñata		Nandi not, Saho nadaq.
Baum	geta Pl. geta oder sen		Som. ged, Ndor. gedid, Ndor. N. ketet, Nandi ket bzw. ketit, Suk ket, Kam. kitit, Turk. aketoi, Teso akitoy, Karam. ingitó, Karam. S. angetó, Bari kaden (Pl.), Masai ingek (Pl.). Zu sen vgl. Ngomvya saunko, Pl. sauma, Mbul. saain.
— (der das Pfeilgift liefert)		anxe	
Beerdigung	puñged, dial. puñgeda		
begehren			siehe lieben.
Berg	gijéda, dial. gigéda		Karam. und Karam. S. agetare, Galla hida „Hügel“, Kafa gudō, Som. gól „bewaldeter Berg“, Ful 'yolde (?).
Beschneidung	geíl, dial. keban		Nandi kipkelel „ein Beschnittener“.
Biene	uduk (Pl.)		Vgl. Karam. S. nitjutj, Elg. etjutju, Dinka tjetj, Bari tjífat (Pl. tjíwa).

¹⁾ Masai engiloriti = A. abyssinica Hochst. oder A. Kirkii Oliver.

	Tatoga:	Iraku:	Verglichene Sprachen:
Bier (Hirse-)	marugya, marguek (in Mañati auch Honigbier, das in Kl.-Ufiome kamunk heißt)	bura	Masai olmárua, Teso marua, Mbugu mālá, A-Kahle madda, Nandi maiya, wahrscheinlich aus Bantu mayalwa siehe auch meine Notiz Philologiae Novitates III, S. 75; Fiome bura, Mbul. bura, Uasi bu'ra.
binden	gorat		Nandi rat.
Blasebalg	gint		Vgl. Masai engunei.
Bock	mboita		Vgl. Bedaue bok, Saho botina „junger Ziegenbock“, Ndor. kwianda, Kam. koianda, Nandi kwan, kwanget, Karam. S. emolo-koin, Elg. akan, Som. qans-o oder yans-o; Fiome yale, Mbul. ga'are, Uasi g'ari, Nuba arru, ³⁾ vgl. auch Ngisu angawu, Masai engauo.
Bogen	ywenda (auch die Sehne)	gale	Vgl. Ngoni und Suto ndozi „Erbse“, Biafada masodi.
Bohnen	sayorod, dial. sayoroda	losi	
Bohrer	legt ¹⁾		
Brei	minuedixt, dial. munuerir	fa'a	Nandi kimnyiet; Mbul. und Uasi faa, Fiomi fa oder fea.
Brettchen zum Feuerquirlen	gegait		
bringen	gotga		Vgl. Ful wadda.
Bruder	buadika		Vgl. Som. walal-ki, Galla oboleza, Ful bandi.
darauf	hamne (?)		Vgl. Nandi amu „deshalb“.
dick	yesea		Vgl. Nandi oo Pl. etjen, Ful teki.
dieser	nunu Pl. nunu		Nandi non „jener“, Turk. und Karam. S. nan, vgl. Bedaue un.
Ding	gida		Nandi kiito, Som. ged, Galla goda.
Dorf	go, kóa		Nandi ko „Kraal, Haus“, Suk go ³⁾ „Haus“, Ndor. N. kot, Turk. eqol, Lur ot.
	ganid, dial. ganida ²⁾		Ndor. kainya „Heimat“, Ndor. N. kaita dass., Nandi ka (Johnston kaita) dass., Masai enganan dass., Bari kadi „Ortschaft“, Ful gari. Hausa gari.
drei	somok		Nandi somok, Kam. somok, Suk somok, Ndor. somuk, Sandawe som'kaex, Koptisch soment, Agypt. xemt, Bedaue emhay, vgl. Fiome tam(u), Ngomvya tami.
du	alabasa		
ein	aki		Saho inki, Kafa ikka, Nandi akenge, Kam. akenge, Ndor. agenge, Suk okono, Bari gelen.
Eisen	odika		Bedaue endi, vgl. Yoruba ili, eri usw.
Elefant	beryet		Nandi peliot, Suk pelion, Kam. pelionde, Ndor. beliandē, Wolof bei „Elfenbein“, Bonnydial. d. Idzo bela, arab. fil.
Eleusine coracana		bambare	Vgl. Mande bimbiri „Pennisetum“, in Timbuktu angeblich „Andropogon“.
elf	taman aki		siehe „ein“ und „zehn“.

¹⁾ Zum Bohren des Loches für die Pfeilspitze in dem Schaft, geschieht quirlend.

²⁾ Diese beiden Wortstämme, sowie der dritte unter „Haus“ dürften zusammengehören, falls Meinhofs Liste (Mitt. Sem. or. Spr. X., 3, S. 117) richtig ist.

³⁾ Dazu ferner in Timbuktu kara, Vai kara, Mande und Wolof kala, Tene kala, Soso xala (Frobenius' papillote und papillot beeinflusste Formen?).

	Tatoga:	Iraku:	Verglichene Sprachen:
Ente	oldawaš-enda		siehe „Fluß“. Vgl. Masai <u>ōl</u> motoni <u>lēngarē</u> „Ente“ d. h. Vogel des Wassers.
er	kwiyen		Vgl. Kam. nenó, Nandi ine bzw. inendet, Masai ninye. Wegen des Anlauts siehe das verbundene Subjektspronomen des Nandi ko (?).
Erdnuß	mande		In Timbuktu <u>māntiye</u> (<u>matiya</u>). Vgl. Nandi makandia „Bohne“.
Ernte	geadoχ, dial. geladjibok		
Esel	<u>tīgīēt</u>	<u>dōgwai</u>	Nandi sigirio bzw. sigiriet, Kam. sigiriet, Ndor. N. sigirie, Suk sigiria, Karam. sigiriá, Masai <u>ōsigiria</u> , Ndor. <u>sīgīliē</u> „Zebra“; Bantu ndogove, siehe die Zusammenstellung bei Stuhlmann, Beiträge S. 734. ¹⁾
essen	agisigin (Imp.)		Bari <u>ngetjī</u> „iß!“, Ngomvya <u>áginō</u> , Mbul. <u>ṽagūn</u> .
Europäer	mosuṅgu Pl. masuṅgu		Suaheli <u>mzungu</u> , vgl. auch Nandi <u>asuṅgio</u> Pl. <u>asuṅgu</u> , Masai <u>olmusuṅgui</u> oder <u>olaisuṅgui</u> .
fallen	goweda		Vgl. Som. <u>bá</u> dah, Galla bua, Sandawe 'awáēs (?).
faul	gohesa		Bedauye <u>kesála</u> , Som. <u>wáhsan</u> (faul sein <u>wahso</u>), Saho <u>bohus</u> (faul sein <u>bahas</u> , Faulheit <u>bohōsá</u>).
faulen	<u>γoyena</u>		
Feigenbaum		<u>ansi</u>	
Feld	madaminianda, dial. maraminianda		Vgl. Ful. <u>demal</u> , dazu Bantu -lima „ackern“.
fern	<u>ašioḡi</u>		Bedauye <u>sáḡi</u> (fern sein <u>segī</u>), Som. <u>fógan</u> (fern sein <u>fog</u>), Galla fago.
Feuer	<u>bēsta</u>		Galla <u>ibida</u> , vgl. Kafa <u>nesto</u> „Feuerstahl“. ²⁾
Feuerquirl	<u>bejoned</u>		Nandi <u>piōn</u> bzw. <u>piōnet</u> .
Finger	<u>moneda</u>		Ndor. <u>mōrnē</u> , Ndor. N. <u>mornōt</u> , Kam. <u>mornē</u> , Nandi <u>morna</u> bzw. <u>mornet</u> , Bari <u>morinet</u> , Suk <u>mōren</u> , Masai <u>olkimōdjino</u> .
Fischhaken	<u>sidageda</u>		
Fischnetz	<u>lemūda</u>		Vgl. Saho <u>ramás</u> .
Fleisch	<u>banēk</u> , <u>banega</u> , dial. <u>biyed</u> , <u>vanek</u>		Ndor. <u>banyēg</u> , Nandi <u>panyek</u> (Pl. m. Art.), Suk <u>pēn</u> , Kam. und Ndor. N. <u>pendo</u> , Galla <u>fon</u> , <u>foni</u> , vgl. Koro <u>búna</u> .
fliehen	<u>fwatj</u>		Som. <u>bah-s-o</u> , Galla <u>figa</u> .
Fluß	<u>aīlut</u> <u>enda</u>		Som. <u>dúrdur</u> , Bari <u>gólotot</u> „Bach“. Ndor. <u>ōnda</u> , Kam. <u>oine</u> , Nandi <u>ainet</u> .
folgen	<u>alava</u>		Som. <u>rā</u> , Bedauye <u>rām</u> , Galla <u>ḡaga</u> .
Frau	<u>kagem</u> Pl. <u>agem</u> oder <u>kademga</u> Pl. <u>dass</u> . oder <u>katemōda</u> , dial. <u>katemōra</u>		Ndor. <u>kargā</u> , Ndor. N. <u>korget</u> , Kam. <u>korgē</u> , Nandi <u>korko</u> bzw. <u>korket</u> , Suk <u>korkó</u> , Som. <u>ōri</u> , Masai <u>enoriōn</u> , Turk. <u>ekāko</u> , Mbul. <u>hadē</u> , Fiome <u>harē</u> , Bedauye <u>takát</u> , Bari <u>wate</u> (Pl.)
fremd (der Fremde)	<u>gwóuna</u>		Saho <u>guána</u> .

¹⁾ Auch Ngomvya dauaxētuko Pl. dauaxēko wird aus Bantu ndogove verstümmelt sein. Man beachte, daß die Wangomvya erst unter dem Großvater des jetzigen Jumben Usigua verlassen haben.

²⁾ Nach Reinisch eine Verschreibung für náftō.

	Tatoga:	Iraku:	Verglichene Sprachen:
fünf	mut		Nandi mut, Suk mūt, Ndor. mūt, Kam. mut ^u , Masai emied, Hausa biet.
Fuß	kist		Ndor. keldā, Ndor. N. und Kam. keldó, Nandi kel bzw. keldo, Suk kel, Karam. akejek, Karam. S. akēju, Masai engedju.
geben	adau (Imp.)		
Gefäße aus Rindermist		χūndī	Fiomi kūnti „geflochtene, mit Kuhmist verkleidete und mit Bast umwickelte Getreidebehälter“, vgl. Som. hān-ti „Amphora für Wasser“, Galla okote „Kochtopf“ (?).
Geflechte zur Bierbereitung	tumbid, dial. tumbir		Fiome tumbi, Uasi tumbo, Mbul. utumbo.
gegoren		heāē (Honigbier)	Bedauye ha „jedes gegorene und berauschende Getränk, spez. Bier“ (siehe Reinisch a. a. O., S. 106). siehe „fliehen“.
gehen	fwadja (Imper.)		
Gemüse	norid, dial. nor	ámu	Mbul. nāmū (nānū „Zukost“ wohl identisch), Fiome nānu, Uasi nanu, Sandawe nāni.
gestern	olomodji		Zu Saho erre mā „vorgestern“ + Kafa yédji (?). Vgl. auch Masai nōle.
Getränk	nōdēt (aus der Akazienart bardjōmur, die Kriegslust erregend)	dāngāli (aus Honig)	
Giraffe	γait		
Gott	asēt, dial. asit	loa	Nandi asis, siehe „Mond“; vgl. auch „Sonne“.
groß	áho, áhau		Kafa ógō, Suk wo, Kam. o, Nandi oo.
gut	amias Pl. amiasen		Nandi mie Pl. miatj, vgl. Saho ma ē „Schönheit“ + 'as „schön“ (?).
Haar	budiega		Ndor. N. butek, Nandi putek (nach Johnston), Suk pution, Ndor. būdāndē, vgl. Kafa búkō „weißes Haar“.
Hacke	daxaxamut	tōyayoni Pl. tōyayono (Holz)	Galla dakara, Kafa dátjō.
	magemgend	kurmo (aus import. Eisen)	Bantu -yembe ¹⁾ , vgl. Nandi mokombe; Uasi kurmo, Fiome kurūmo, Mbul. kolo, Sandawe kōrō, Mbugu kurū „ackern“, Masai ēngūrūmā „Feld“, Som. gudūm-o, Bedauye gaddūm, Kanuri kúlō „Feld“, Bede-Ngodjin kúlām, Gurma kúli, Mossi kōri.
Hackmeißel	badjōt (auch zum Lederkratzen)		Vgl. Saho bahāti „Beil“.
Hahn	ēngagut		s. „Huhn“.
Halsschmuck	gitīd (für Frauen)		Kafa gītjō „Halsband der Mädchen“.
Hammer	genued		
Hand	bēnekta, gatenda Pl. dass.		Ndor. ēūnik (Pl.), Nandi ēunek (Pl.). Bedauye gán'a, Som. ga'án-ti.

¹⁾ Nicht aus dem Rangī entlehnt, da dort isīli.

	Tatoga:	Iraku:	Verglichene Sprachen:
hart	hangóine		
häßlich	ámuin		s. „schlecht“.
Hauptfrau	katemoda hau, dial. katemora hau		s. „Frau“, „groß“.
Häuptling	ngadísik, sogodjen, dial. mutemir		Masai olgásis, Ndor. olgajandē Pl. örgajig, Rangi mutemi, Gogo, Namwezi usw. dass. ¹⁾
Haus	gēt, dial. geda	ura (Rund- hütte)	Ndor. gēta „Laubhütte“, Kafa gētō, Galla gee; entweder Uasi mara, Mbul. māla (māra), Galla mana, Som. mel „Wohnsitz“, oder Saho arē usw. (s. Mitt. Sem. or. Spr. X, 3, 117).
		dō (Tembe)	Fiome dōō, Uasi ndoo, vgl. Seke tō, Afudu ntō, Bola, Kanyop usw. kato Pl. ito.
heute	askwert		Turk. nakwarna, vgl. Ngisu kawarie „Tag“, Galla harā.
hier	eidem		Masai idye „dort“, vgl. Kafa ebidj.
hinaufsteigen	hístabū		Zu Kafa sōt+yab(?), Galla yaba.
hinten	koodōs		Masai kurum.
Hirse (Andropogon Sorghum)	bog, dial. boga	balān	Fiome bālā, Uasi balu, Mbul. barūn, Som. bur „Weizen“, Nuba marē, Saho awaro, Bagirmi wā, vgl. Sandawe langelanga.
roter, scharfer	māngore, dial. māngole	māngōrē	Fiomi māngore, vgl. Ful gauri (?).
Hirte	kuagwis		Nandi koiokin.
hoch	idzulu		Bantu li-yulu.
Honig	malēt	dēnu	Mbul. ndīnu, Uasi dinu, Fiome dánu, Galla dagma (damma), Bedaue dīna „Biene“, Som. dūnyā-la „Art Biene.
	kamuniend, dial. kamunianda		Ndor. N. kūmniandēt, Kam. kumianda, Nandi kumia (t) Pl. kumin, Suk kamāt, vgl. Kanuri kemāgen usw., Kanem komāngan, Vai kumu „Biene“, Soso kumi dass.
Hüftschnur aus Straußeneierschalen für Frauen	simeñant		Nandi semwet.
Hügel	badut (Pl.)		Som. dūd „isolierter Sandberg“, Galla tulu „Berg“, Suk tuluo, Nandi tulua bzw. tuluēt, Kam. und Ndor. N. tuluēt, Ful tuluware „Berggipfel“ (Sokotodial.), tul'dē, (Djalondial.) „Berg“, tolde (Sok.) „Hügel“.
Huhn	engagut	kóngā (Pl.)	Ndor. N. ngogict, Nandi und Kam. ngokiet, Karam. S. kokoroit, Elg. ekokorr, Teso akokoro, Karam. ngugurōit, Ndorobo ingūgūi, Masai engugusieki, Bantu nkuku, vgl. Som. digāgad „Henne“, Fiome kōnki, Mbul. kōnkēkjā, Gogo nkhuñkhu und alle andern durch freie Nasalierung aus Urbantu *-kuku entstandenen Formen, vgl. Namwezi ikhuñgulume „Hahn“, Nyaturu ikūngu lume dass. Masai elliukuñgu.

¹⁾ Nach Kannenberg soll es aber „Greis“ oder „alt“ bedeuten, was ich jedoch für eine Verwechslung mit guargweda halte (siehe unten).

	Tatoga:	Iraku:	Verglichene Sprachen:
Hund	kudiet Pl. dass., ó kudiet tákutit		siehe kuli „Hund“ im Bondei (wo es schon Meinhof vergleicht und als Fremdwort bemerkt), Shambala, Zigula (nicht im Ngulu!) und Rangí. Bari dión, Masai oldia vergleicht Stuhlmann, Beiträge S. 715 f. und 830. Ful kuturu.
hundert	boyál(a), boyaleda		Nandi, Kam., Turk. und Suk pokol, Som. bógol, Fiome bágala, Saho baúl, Kafa bállō.
Hündin	kudiet		siehe „Hund“.
ich	anini		Bedauye aní, Fiome ani, Mbugu áni, Som. an oder aníga, Galla ani oder ana, Mbul. ána, Nandi ane, Kafa áne, Kam. und Suk ané, Saho anú, Masai nánu.
ihr (Pers. Pl.) (Poss. Sing.)	asaléne nana		Galla issini, Som. ídin, Saho átín, Kafa ítō-si.
immer	galágase		siehe „sein“.
Jahr	kwanéne		Vgl. Kafa bullí-gör, Som. wéli-ga (siehe Reinisch, Somalisp. Bd. II, S. 377 und 459).
jene (Fem.)	dida Pl. dass.		Ndor. kēnisiék (doch wohl Pl.), Nandi keny(ít) Pl. kenyis- (iek), Karam. takani, Bari kina.
Katze	mitit	maitsi	Masai enda Pl. kunda bzw. idya (Pl. nekwa), Som. tan(?), Kafa matje (nach Cecchi), Persisch maida, Bagirmi máge, Furu māi.
kaufen	gosaha		Vgl. Saho adag, Fiome tsakuni.
Kauri	sogéant Pl. sogeg		Saho saggani, Galla sagaria, Nandi sekeriot, Masai öse- gererai, Ful t̄jēde und dessen Ableitungen in Mittel- Kamerun.
Kind	díwiga Pl. dass., amanani („mein Kleines“)		Vgl. Nandi otuag Pl. do. siehe „klein“.
Kleid: Hüft- schurz d. Männer	hayod (dial. hayor, hayoda) hadig ¹⁾	daō garma (die zum Schmuck an- gebrachten Schnitte mar- dati = Suah. mardadi „eitel, ele- gant ¹⁾)	Som. qayd „Lederschurz“, Nuba kadē, Mbul. aidu (qāidu); Fiome t̄zau, Kafa táhō, Saho saró (?), Turk. elau, Karam. und Karam. S. elou, siehe auch „Mann“.
Hüftschurz der Weiber	hananguend	daō dena	Masai und Elg. enānga, Nandi anget, Kam. und Ndor. N. anget, Ndor. angē; siehe „Weib“.
Hüftschurz der Mädchen	hayod a hut		siehe „Mädchen“.
Umhang, Cape der Weiber	hayod a katemoda		siehe „Frau“.
Umhang der Krieger	sorarda		Saho sūrārā „Lederschürze“.
klein	ámanan, dial. minén		Suk mannen, Kam. minnín, Nandi minín, Ndor. nāmigin.
Knabe	balent		Ndor. wēlig Pl. wēlī, Som. wīl, Saho bālā, Ful 'bi'do.

¹⁾ ha-, ha- ist in diesen Wörtern wahrscheinlich präformativ, vgl. hananguend zu den verwandten Sprachen.

	Tatoga:	Iraku:	Verglichene Sprachen:
Knöchelschmuck		girigaya (Messing)	
Knochen	gafgeda		Ndor. $k\ddot{a}u\ddot{w}\ddot{e}$, Ndor. N. kawet, Suk $k\ddot{o}w\ddot{o}$, Kam. $k\ddot{o}w\ddot{e}t$, Nandi $k\ddot{o}w\ddot{e}t$, Turk. $ek\ddot{o}it$, Karam. S. $aq\ddot{o}it$, Karam. $ak\ddot{o}it$, Teso $akoity$, Masai $\ddot{o}l\ddot{o}it\ddot{o}$.
kochen	goakarer		Som. $kar-i$ (tr.), Kafa $q\ddot{a}dj$, vgl. Bedaue $g\ddot{u}r$.
Köcher	$di\ddot{x}edjant$, $ro\ddot{x}t^1$		Vgl. Mossi $l\ddot{o}ko$, Gurescha $l\ddot{o}ya$.
kommen	ben (Imp.)		Nandi punu „kommen von etw.“, Karam. S. $eb\ddot{u}ni$ „ich komme“, vgl. Bedaue $bedah$ „anlangen“.
König	$ng\ddot{a}d\ddot{i}s\ddot{i}k$		siehe „Häuptling“.
Kopf	unt, $huda$		Vgl. Ful $h\ddot{o}re$.
Korb	$kidjog\ddot{o}d$, dial. $kidjog\ddot{o}r$ (zum Aufbewahren von Getreide)	$de\ddot{e}ti$, $lag\ddot{u}anti$ (groß)	siehe „Körbchen“, vgl. Mbul. $kogir$; Fiome $lek\ddot{o}nti$, vgl. Galla $gundo$ (groß), Kafa $g\ddot{u}nd\ddot{o}$ (weit, tellerförmig), Som. $gun\ddot{a}d$ (mit Deckel).
Körbchen	$soskiant$		Nandi $soko(t)$ (aus Gras, für Kinder), vgl. Saho $s\ddot{a}f\ddot{o}$.
Kratzer zur Lederbereitung	$stagen$		
Krieg	$lugud$		Suk luk ($luk\ddot{e}$), Nandi $luk(et)$, Kam. $lug\ddot{e}$, Ndor. $l\ddot{u}g\ddot{e}$, Ndor. N. $luge\ddot{e}t$.
kriegen, Krieg führen	$g\ddot{o}s\ddot{e}la$ (lugud)		Nandi $set\ luket$.
Kuh	$nduk$ Pl. dass.		Vgl. Nandi $iyuog$.
Kürbis	$norid$ (Pl.)	$wa\ddot{r}amo$ (Schale) ²	Som. $b\ddot{a}r-o$ „Flaschenkürbis“, Saho $g\ddot{a}r'a$ (?).
Kürbistöpfchen	$gidisteid$		
kurz	$\ddot{a}no\ddot{a}s$		Nandi $nuatj$ Pl. $nuoken$, Bedaue $nek\ddot{a}s$.
lang	$\ddot{a}gean$		Ndor. $g\ddot{a}i$, Nandi koi Pl. $koiin$, Kafa $g\ddot{i}ndj\ddot{o}$.
laufen	$fwatj$ (Imp.)		siehe „fliehen“.
Lederbeutel	$\ddot{s}aged$		
Lederkratzmesser	$gurid$		
Leibgurt aus Schnüren	$sabuts$, dial. $sayutk$	$hedemi$	Fiome $holh\ddot{e}mi$.
lieben	$g\ddot{o}g\ddot{a}sa$		Fiome $as\ddot{a}$, Ngomvya $za\ddot{a}so$, Saho $kahan$, Som. $ja\ddot{r}al$ (?).
Mädchen, heiratsfähiges	hut , $huta$	$mu\ddot{a}ri$	Bedaue $k\ddot{u}a$, Mbul. $hw\ddot{a}ila$. Bantu $mu-yal\ddot{i}$.
Mahlstein	$king\ddot{e}l\ddot{i}si$	$sa\ddot{r}'a$ (Pl.)	Fiome $t\ddot{z}a\ddot{a}$, Uasi und Mbul. taa , Som. $dagah-a$, Galla $daka$ ($daku$), vgl. Suaheli und Kami $saga$ „mahlen“.
Mais	$hagu$	$\ddot{a}ito$	Som. $had\ddot{u}t$; vgl. Mamgbetu $\ddot{e}nd\ddot{o}$ (?).
Mann	$lungwa$, $auna$, untu Pl. $antu$, sida Pl. $b\ddot{u}nida$	$garma$ (Pl.)	Fiome $g\ddot{a}rima$ „Sohn“. Kafa $nono$ (nach Krapf), Som. $n\ddot{i}n-ki$ (?). Bantu $mu-ntu$. Nandi tji bzw. $tjito$ Pl. $piitj$ bzw. $piik$, Kam. und Ndor. N. $tjit\ddot{o}$ Pl. pik , Suk $kit\ddot{o}$, Saho $\ddot{i}nsi$ „Mensch“, Mbul. $h\ddot{i}d\ddot{a}$ (Pl.), Ngomoya $hir\ddot{a}ku$ Pl. $hir\ddot{a}o$.

¹) Wegen des Doppelnamens vgl. Nandi (Hollis a. a. O., S. 286), wo der Köcher anders bezeichnet wird, je nachdem er mit Pfeilen gefüllt, oder leer ist.

²) Vgl. Fiome $dere\ddot{e}mo$ „Trinkbecher aus Flaschenkürbis“; die Endungen dürften mit dem Individualis $-imo$ des Mbulunge identisch sein. Vielleicht finden sich auch im Ngomvya Spuren davon.

	Tatoga:	Iraku:	Verglichene Sprachen:
alter Mann	guargweda'os Pl. guargweda		Ndor. irwagedet „Richter“, Nandi kiruagindet, Kam. kirnoginde, Ndor. N. kirnogindet „Hauptling“ (?).
Matte	haftid	hafta	Kafa djabbō (nach Cecchi hebo), Som. hijāb, Bedauye hejāb (vor dem Zelteingang).
Meißel zum Zuschneiden der Pfeilspitzen	sonut		
Messer	bārid, bārida		vgl. Kafa aridjō.
Mehl	mutso, derank		Nandi pusio, Kafa butino, auch Rangi mutsu.
Messingdrahtschmuck		nawandi	Vgl. Som. nahās-ti „Messing“.
Messingperlen	gulana		Som. kul „metallene Halskette (Frauens Schmuck)“.
Milch, süße	anok		
sauere	riranga, dial. derank		
Mond	šeta		Ndor. asitta' „Sonne“, Nandi asista, Kam. und Ndor. N. asesta, Suk ases, Fiome seheo, Mbul. sehen, Ngomvya sahāiko, Mbugu sihe, Galla dzia.
morgen	saxet		Som. saka „heute Morgen“, sakub „übermorgen“, Kafa sārri „übermorgen“.
Mörser (aus Holz, für Getreide,	kuniōd, dial. kuniōr	kunē	Fiome kunē, Uasi und Mbul. kunu, Nandi ken(ut), doch auch Rangi nkuṅu neben dem Bantu inu.
Mörserkeule	moused, dial. mouser		Nandi mosit, Uasi und Mbul. maisu, Rangi musi, vgl. Som. mōya, Galla mōye, Kwara maū, Chamir magū „Mörser“.
Mund	kut		Nandi kut, Bari kutuk, Masai engūtuk, Turk. agedok, Dinka wtok, Ful hundūko.
Mutter	iiya		Mbul. iō, Sandawe iō, Lega ia, Masai jejo, Fiome aiō, Galla aiyiyo (ayo, Kosewort), Som. hōy-o usw.
Nacht	awaet		Karam. awarra, Karam. S. akoarr, Masai engewariē, Bari kwādje, Bedauye hawād, Galla ware (ein Teil der Nacht).
nahe	aniki		Nandi nēgit, Ndor. nēgid.
Nase	sereta		Nandi serut, Ndor. N. und Kam. serut, Suk serr, Ndor. selū, Kafa sulliya (nach Krapf), Som. sán-ki (?).
Nashorn	kudjanida		
Nebenfrau	katemōda manan, dial. katemōra minén		siehe „Frau“, „klein“.
neun	segés		1) Saho sagál, Som. sagal, Galla sagal, Afar sagála, Ndor. saal, Masai sal, Ndor. N. sogol, Kam. und Nandi sokol.
oben	omongeiyet		Vgl. Saho amō-d + Bedauye enki (?).
Ochse	kilukt Pl. dass., tet (Pl. tant.)		Ndor. tēta, Nandi teta Pl. titj, Suk teri, ti(t), tui(t), Nuba tī, Karam. S. atē, Karam. adē, Ganda ente usw.
Ohr	it		Nandi iit, Suk yit, Kam. idit, Ndor. i-dit, Saho áyti.
Ohrpflock	magariant	kipi Pl. kipai	Vgl. Khassonke xaréne.

¹⁾ Meinhof stellt das Wort, wohl nur versehentlich auf Grund der bei Last falsch angegebenen Bedeutung, zu den hier unter „acht“ angeführten Wörtern (Mitt. Sem. or. Spr. X., 3, S. 118).

	Tatoga:	Iraku:	Verglichene Sprachen.
Ohrschmuck	selán		Nandi solio „ein Grashalm, der in den oberen Rand der Ohrmuschel gesteckt wird“.
Palme (Phoenix)		zánzá	Vgl. Vemba umusanda, Nyaruanda igitānda, Kondjo ekitānda, Suah. (Mrima) msala, Amharisch asanno.
Pennisetum spicatum	kiwereg, dial. kiwele	basoro	Bantu -vele < -vila siehe Mitt. Sem. or. Spr. VII, 3, S. 147; Mbul. bosoro, Uasi busoro, Fiome busoro.
Perlen (Halsband u. Schurzbesatz)		kwasu	Mbul. koasa „Perlschnüre um den Hals“, werden von den Suahelihändlern gekauft, vgl. daher Kami ugasi Pl. migasi „Tauschperle“.
Pfeife, Hanf-Tabak-	gaded nasant kiranida, kipundi Pl. dass.		Bedauye kat, Galla gaya, Som. gáy-a. Mbugu kipundē, Mbul. kubēndē, Ngomvya kipunditúko. Wolof (Kadjordial.) pōñ, Serer (Kegem) mpon „Tabak“.
Pfeil	gāgjeg, gāgjida Pl. dass., gāgjed, dial. gāgjer	sahara Pl. mahēri	Ndor. kādē Pl. kādīg, Nandi kōtet, Kam. kōtē, Turk. ekau, Suk koyan, Karam. eqoyot, Teso eykodjo, Elg. ekoyo, vgl. Ful kūrā Pl. kūrē, Kanuri kanige, Fiome mihēri oder mahāũ, Kafa máho.
	šaunda, meerét	mahanga	Nandi meleito „Speerblatt“, Biafada búmēda Pl. mámēda; Bantu paŋga.
Pfeilgift	furut		
Pfeilspitze	ramerant		
Pflanzenmittel, Kriegsmedizin	luidanda (siehe Bau- mann a. a. O. S. 171)		
Quirl	kiskisid		
Rasiermesser	masonoed		Saho mōsū, Som. mūs-ki, Kafa masrāmē.
Richter	guargwed		siehe „alter Mann“.
Rind	(siehe „Kuh“)	yēkwa (Pl.)	Ngomvya séko Pl. yákwa, Fiome žē, Mbul. sé, Som. sá'i, Galla saa, Saho sagá, Bedauye šá' „Kuh“, vgl. auch Ngulu, Hehe und Bena isēnga, Khutu sēnga „Rind“.
Rötel	dawakt, dial. gelaskwir		
Rücken	badayit		Nandi patai, Kam. patē, vgl. Som. dábar, Saho dabán, Kafa dambō, Ful 'bāo.
Rührschieb (für den Brei)	matinot		
sachte	ebubata minén		siehe „klein“.
Sägemesser	yolod		
Salz	balānda, dial. valānd, (dial.) muniur		Vgl. Bedauye milāk (arab. milḥ) oder Ful lamb'dam (?). Bantu mu-yūnu vgl. Nandi munyu, Masai emunán siehe meine Notiz in Uhlig, Ostafrik. Bruchstufe, I. S. 59.
Schaf		bēan (Pl.)	Fiome bēi, Mbul. mbēgya (mbē'ā), Ful (Sokoto) mbē'a Pl. be'i bzw. (Djalón) mbē'wa, Pl. bēi „Ziege“ Amharisch beg, Tigrīna beyiēn, Kafa bāggō.
scharf	ánwa		Nandi natip.
schicken	goada, -dyak		Nandi yok (jem. nach etw. schicken).
Schild, ältere ovale Form,	lonoi		Suk loño, Nandi, Kam. und Ndor. N. loñet, Masai ellōno, Ndor. elōnoe.
jetzige längliche Form	gambōd, gambōda		Uasi gambod, Fiome gambōd(a), vgl. Saho gōbō (gōbe), Bedauye gūbe und Bantu ŋgavo bzw. ŋguva.

	Tatoga:	Iraku:	Verglichene Sprachen:
schlafen	lil		Saho $\bar{d}\bar{i}n$ ($\bar{d}\bar{i}n$), vgl. Som. $\bar{l}ad$, Bantu lala, vgl. auch Bantu $\bar{y}u$ -lili o. ä. „Bett“.
schlagen	$\bar{l}\bar{a}sa$, $\bar{g}\bar{o}\bar{l}\bar{a}sa$ gobeidj a $\bar{b}\bar{e}\bar{l}\bar{a}n\bar{k}e\bar{t}$ (Imp.) „mit dem Stoche“		Som. $\bar{l}\bar{a}y$, Saho was- $\bar{i}s$. Saho $\bar{b}e\bar{t}$ - $\bar{i}s$, Ndor. $\bar{b}i\bar{l}i\bar{s}\bar{i}\bar{e}$, Nandi pir.
schlecht	$\bar{a}m\bar{u}i\bar{n}$		Saho $\bar{u}m$ (am schlecht sein, $\bar{u}m\bar{a}n\bar{i}$ „Häßlichkeit“), Galla moga „häßlich“.
Schmiedekaste (siehe Bau- mann a. a. O. S. 172)	gidamudiga		Vgl. Nandi $\bar{k}i\bar{t}o\bar{n}i\bar{n}d\bar{e}t$ „Schmied“.
schneiden	ladja		
Schnupftabaks- dose	kirambōda		Fiome girambōda „Schnupftabak“. ¹⁾
schön	$\bar{a}m\bar{i}as$ Pl. $\bar{a}m\bar{i}as\bar{e}n$		siehe „gut“.
Schröpfunghorn	gonind		
Schuh	gika Pl. dass.		Vgl. Ndor. $\bar{k}w\bar{e}$ Pl. $\bar{k}w\bar{e}i\bar{k}$.
schwellen	mianda		vielleicht „geschwollen“, vgl. mi-as, mi-neñ.
schwer	$\bar{a}d\bar{u}r\bar{u}m\bar{a}n$		Saho $\bar{d}u\bar{l}\bar{u}s$ „schwerfällig“.
Schwester	gabiiya		Offenbar zu Ndor. $\bar{g}\bar{a}b\bar{a}e$ „weiblich“ + iiya „Mutter“.
sechs	lla		Ndor. $\bar{l}\bar{a}$, Ndor. N. $\bar{l}\bar{o}$, Kam. $\bar{l}\bar{o}$, Nandi $\bar{i}l\bar{l}\bar{o}$, Tambaro $\bar{l}\bar{o}$, Afar $\bar{l}ah\bar{a}y$, Dankali $\bar{l}eh\bar{e}i$, Fiome $\bar{l}\bar{a}ho$, Mbul. $\bar{l}ah\bar{u}$, Guderu $\bar{j}\bar{a}ha$, Som. $\bar{l}eh$, Saho $\bar{l}eh$ ($\bar{l}ih$), Masai ile, Boni leha ($\bar{l}\bar{i}$), Hadigya-Galla $\bar{l}ih\bar{u}a$.
sechzig	$\bar{l}\bar{l}\bar{a}t\bar{e}m$		
sehen	godaha		Vgl. daha „können“ in den benachbarten Bantusprachen (Gogo, Kami u. a.), Alt-Suaheli $\bar{h}\bar{a}d\bar{a}r\bar{i}$ „er kann nicht“.
sein (Poss. Sing.)	nana Pl. dass.		Masai lenye, enye Pl. lenyena, enyena, Nandi nyi und nenyi, doch siehe auch Hollis, Masai S. 66 nyanna und nyonna.
sie (Pl.)	gowa		Vgl. Turk. ekui, Nandi $\bar{t}\bar{j}\bar{u}$ (siehe auch ko Hollis S. 190), Kam. $\bar{t}\bar{j}\bar{u}n$.
sieben	$\bar{i}s\bar{u}p\bar{a}$		Nandi $\bar{t}i\bar{s}ap$, Som. $\bar{t}ad\bar{o}ba$ (Dschäbärti $\bar{t}\bar{o}d\bar{o}ba$), Nordgalla $\bar{t}\bar{o}r\bar{b}\bar{a}$, Südgalla $\bar{t}\bar{o}y\bar{b}\bar{a}$.
sitzen	fufa, abededa (Imp.)		Vgl. Som. $\bar{f}adi$, Saho $\bar{d}afay$. Mbul. $\bar{i}b\bar{i}th\bar{i}$, Nandi $\bar{t}epi$.
Sklave, Kriegs- gefangener	samodjenda, serenien, dial. salenienda		
Haussklave	$\bar{d}\bar{i}w\bar{i}ga$ Pl. dass.		siehe „Kind“ (wie Suah. mtoto).
Sohn	balodjik		siehe „Knabe“.
Sonne	$\bar{d}\bar{a}k\bar{o}n\bar{u}t$	loa	Vgl. Uasi $\bar{l}il'ea$, Fiome lila ($\bar{l}il\bar{e}'a$), Som. $\bar{o}r\bar{a}h$, Saho $\bar{a}y\bar{r}\bar{o}$, Galla adu (?), doch siehe Bantu $\bar{l}i$ - $\bar{y}u\bar{y}a$ z. B. Dschagga ruwa.

¹⁾ Wie auch das Wort für „Schild“ muß dieser Ausdruck wegen des Suffixes vom Fiome aus dem Tatoga entlehnt sein.
Mitteilungen a. d. D. Schutzgebieten, Ergänzungsheft 4.

	Tatoga:	Iraku:	Verglichene Sprachen.
Speer	farinant,	lavala	Som. wáran, Turk., Karam. und Karam. S. egwarra, Nandi erenatia (der alten Leute) ¹⁾ ; Fiome lawála, Uasi labala, Ful lá'bo (in Timbo lábōru).
	mutet(a), dial. nut(a), tanēla		Nandi und Suk not, Kam. und Ndor. N. notet, Ndor. noted.
Speise aus Mehl und Rinderblut spielen	sáraman	fóyan	Vgl. Saho foló (im allgem.).
sprechen	baloda		Som. širba-y „tanzen“.
springen	gosalda		Vgl. Som. oḍan, Galla dubada.
stehen	fēkēni (Imp.)		Galla utala.
Stein	laganēt (Pl.)		Galla daka, Som. ḍagāh, Kafa táqō, Ngomvya šáiko, vgl. Limbar rāga, Nalu melāk Pl. álāk.
Steppe sterben	muhēda ²⁾ nime (Imp.)		Nandi me, Som. dim-o, Kam. kamē „ich sterbe“, Suk kamē dass., Ndor. kamē „tot“.
Stern	meñ		Vgl. Wute muntar.
Stock	bēlanket	dursai (zum Roden der Felder)	Karam. S. ebēla, Turk. abela; Galla furguga.
Suppe	mwanamwadida		Bantu, vielleicht mwana + mwadi (siehe ugali, wali usw.) + Suffix -da?
Tabak	tumbatit, dial. tumbat		Fiome tumbāti, Mbul. tumbātiē, Sandawe tumbātō, Nandi tumbato, Ndor. tumbātu, Kafa tumbá'ō, Suah. tumbako usw., Bedauye tumbāk, Saho timbākō, Ngomvya itumbáko, Ndor. N. tumatet, Kam. tumate usw.
täglich tanzen	galágase sáraman		siehe „immer“. siehe „spielen“.
Tochter	awiek Pl. awegi		Vgl. Saho aũká.
Tongefäß, großes töten	iloga, gobara	hudai (Pl.)	Vgl. Galla gorā. Nandi par, Ful wara.
Toter	nimi, dial. must		siehe „sterben“, Nandi musiot „Leichnam“.
Trinkhorn		χarima	Mbugu lūχarēmū Pl. χaremu „Horn“.
Tür unten	γútagida nénit		wohl = kut a geda „Mund des Hauses“. Nandi ingoinuni, Bedauye nũ'te (?).
Vater	bwaba Pl. dass.		Masai baba, Fiome und Bedauye bába, Mbugu bába, Nuba bāb usw.
verwunden	fuda		
vier	ānwán		Ndor. ānwan, Nyifwa, Nandi und Suk anwan, Kam. anwan, Lur anuán, Dinka (u)nguan, Masai unghan, Bari unwan, Teso wongono, Turk. und Karam. nomwon, Karam. S. nomwon.

¹⁾ Dazu wahrscheinlich die folgenden sudanischen Ausdrücke: Fulup ebái, Filham kábai, Banyun gúal, Mampwa bal, Kissi b̄alo, Mende, Kpese u. Gbandi gbára, Toma gbái, Kru dī-gba, Legba agbāre, Tem ágba Pl.), Yoruba (dial.) áfara, Bonnydial. d. Idzo áfaragáda, Yala ógba, Afudí égūa, Yaskwa ángba, Bagba (in Bamum) ínfāe.

²⁾ Auch der Tatoga-Name für Groß-Ufiome.

	Tatoga:	Iraku:	Verglichene Sprachen:
vierzig	háradam		Ndor. árdám, Masai, Nandi und Kam. artam, Som. afartam, Galla afurtama usw. siehe Mitt. Sem. or. Spr. X, 3, 116 und Reinisch, Zahlwort S. 9f.
Vogel	tarietend		Nandi tarit (tarityet), Bari teret (nach Johnston), Elg. atoroqót, Turk. ètörak, Karam. S. abilikeret, Galla ti, Bedauye sarír, Fiome sírei.
von	a, oríget a		siehe Kapitel I, Suk orr, Kam. oré, Ndor. óréd, Ndor. N. u. Nandi oret, Turk. erót, Teso eroto, Karam. eroto „Weg“.
vorne	kerakíta		
Wald	endarabít		
wann?	gieni		
warum?	nángasa		
was?	kilnatia		
Wasser	beek		Ndor. beg, Kam. pěk, Nandi pei bzw. pěk, Teso akipi, Turk. ákipí, Karam. agipí, Suk pöye, Dinka piu, Bari piom, Lur pi (? siehe z. B. Mbum mbi), Som. bíyo, Galla bisan.
stehendes	basóda		Vgl. Som. bád-di „Meer“, Masai éwasó „Fluß“.
weggehen von	gösaréna		
Weib	katemóda	dena (Pl.)	siehe „Frau“; Fiome tieí bzw. tigá, Bedauye takát, Galla niti Pl. nateni (?), Mbul. tígei (Pl.).
wer?	ainéni		Vgl. Som. áyyo, Saho ay + Nandi nó, nóno oder Bantuwort.
wir	esesa		Nandi und Kam. atjek, Sandawe tsia, vgl. auch Bantu tí-e.
wissen	yonala		Nandi nai.
Zahn	kesítuk		Ndor. kálāk, Ndor. N. kelek, Kam. kelde, Nandi kelda bzw. keldet, Turk. engel, Suk kelat, Karam. engella, Karam. S. nékiáll, Bari kelé, Bedauye kule, Som. kalád „Hauzahn des Ebers“, vgl. Kafa hádjeto (?).
Zahnver- stümmelung ¹⁾	lodaned, dial. kelo- da (??)		Nandi -ot (Verb.).
Zange zum Schmieden	morin		
Zauberer	kabaged		
Zebra	síngiét		Nandi sigiriet-ap-tim „Esel des Waldes“, Kam. olloitigie usw. siehe „Esel“.
zehn	táman		Nandi und Kam. taman, Ndor. támán, Suk und Turk. tommon, Teso tomony, Karam. S. atomón, Masai domon, Som. tóban (Dschäbärti tómon), Saho tám-mán, Bedauye tamím (tamún), Afar tában, Ful (Djalón) sápo, Pl. tjäphän.
Zeit	ebubata (?)		siehe „allmählich“.
zerbrechen	gohíridja		Galla hurreza, Nandi iri.
Zeug	hánged		siehe „Kleid“.

¹⁾ Ausstoßen der unteren mittleren Inzisivi.

	Tatoga:	Iraku:	Verglichene Sprachen:
Ziege		á <u>ra</u> (Pl.)	Fiome á <u>ra</u> , Nandi ara bzw. artet, Kam. artet, Som. á <u>di</u> „Kleinvieh“, Som. (Benadir) wará „Zicklein“, Kafa d <u>ǰ</u> á <u>ll</u> ē, Ngomvya á <u>l</u> ito, Ndor. ná <u>l</u> á <u>l</u> í <u>e</u> , Mbugu al <u>e</u> n <u>o</u> „Schaf“, Ewe al <u>e</u> dass.
zornig werden	gon <u>e</u> res		Nandi neretj.
Zunge	ms <u>o</u> p <u>i</u> ta		Masai <u>o</u> l <u>e</u> nedj <u>e</u> p, Bari <u>n</u> é <u>d</u> eb, Turk. enedj <u>e</u> p, Karam. a <u>n</u> edj <u>e</u> p, Karam. S. a <u>n</u> edj <u>i</u> p, Suk ná <u>l</u> ie <u>p</u> , Nandi n <u>e</u> ly <u>e</u> p(ta), Kam. n <u>e</u> lie <u>p</u> ta, Ndor. N. n <u>e</u> lie <u>p</u> ta.
zwanzig	t <u>i</u> g <u>i</u> t <u>e</u> m		Ndor. t <u>i</u> y <u>i</u> t <u>a</u> m, Turk. t <u>i</u> k <u>i</u> t <u>a</u> m, Suk, Ndor. N. und Nandi t <u>i</u> p <u>t</u> e <u>m</u> , Kam. (ku)t <u>i</u> p <u>t</u> e <u>m</u> , Masai kit <u>i</u> k <u>i</u> d <u>a</u> m, Galla d <u>i</u> g <u>e</u> t <u>a</u> m, Teda d <u>i</u> g <u>e</u> d <u>i</u> m, Logone t <u>k</u> a <u>m</u> , Barna d <u>a</u> k <u>u</u> t <u>a</u> , Bedauye t <u>á</u> g <u>u</u> a siehe Reinisch, Somalisprache III, S. 56.
zwei	iy <u>e</u> n		Ndor. ay <u>i</u> n, Suk <u>o</u> y <u>e</u> n, Nandi o <u>i</u> e <u>n</u> , Ndor. N. <u>o</u> e <u>n</u> , Kam. o <u>e</u> n.



Berichtigungen zu Karte 1 des Ergänzungsheftes 4 (1911) der Mitteilungen aus den Deutschen Schutzgebieten.

Auf Karte 1, „Das Hochland der Riesenkrater“ ist folgendes zu berichtigen (von N nach S fortschreitend):

Am Elanairobi sind folgende Höhenzahlen zu ändern: Jaegergipfel 3180 statt 3220. Höchster Gipfel des Kraterlands 3200 statt 3210. Seespiegel 2200 statt 2208.

Die Hügel am Westrand der Karte unter $3^{\circ} 2'$ und unter $3^{\circ} 7'$ (Olduwai) bestehen aus altkrystallinen Gesteinen, die aus der Tuffdecke herausragen.

Loolmalassin: Höhe des Lagers 3050 statt 3260.

Trockenbett am Westrand der Karte unter $3^{\circ} 15'$, lies „zur Zeit 40 Liter i. Sek.“ statt „40 cbm i. Sek.“

Die Vulkane Lemagrut, Malanja und Oldeani bilden zusammen das Baumannhochland. Dieser Name fehlt auf der Karte.

Matetebach, $3^{\circ} 31'$. Die Angabe „30 m br., sandig“ bezieht sich auf den südlichen, trockenen Flußarm.

Am Ssoidobussibach, $3^{\circ} 35'$, beim Lager ist die Streichrichtung des Gneises 78° astron.

Unter $3^{\circ} 45'$ greifen die Schluchten weiter nach W ins Marang-hochplateau ein.

Der Kitolai ($3^{\circ} 47'$) und der nächst südliche Rücken sind nahe der Bruchstufe scharfe Grate.

Die Zahl 1681 muß am untern, nicht am obern Übergang meiner Route über dem Ssagassakbach ($3^{\circ} 49'$) stehen.

Am Maaribach ($3^{\circ} 51'$) lies 1735 statt 1785.

An der Marienwand der Bruchstufe ($3^{\circ} 54'$) fehlt die Felszeichnung.

Entgegen den S. 14 erörterten Grundsätzen sind leider infolge der Verwertung fremder Wegaufnahmen zahlreiche einzelne Tembenhütten mit der Signatur für Siedlung eingezeichnet. Alle diese Siedlungssignaturen in den größeren grünen Kulturlandflächen sollten weggelassen werden. Dagegen zeigen die einzeln oder zu mehreren in der Wildnis liegenden Siedlungssignaturen am Fuß des Hanang und in Ngorongoro wirklich sämtliche 1906/07 dort befindlichen Kräle an. Nur um mehr in die Augen zu fallen, sind sie durch einen grünen Fleck als bewohntes Land bezeichnet.

Madumagasee, $4^{\circ} 8'$, auch der versumpfte Teil blau, nicht grün.

Bruchstufe, $4^{\circ} 15'$. Der Unjabach entspringt weiter nördlich am Longo und führt wohl dauernd Wasser.

Am Halodischbachbett $4^{\circ} 19'$. Der Fleck jungvulkanischen Gesteins um Nr. 76 ist zu streichen. Es handelt sich um Diabase des Rumpflands.

Am obern Rand der Bruchstufe unter $4^{\circ} 24'$ fehlt die Höhenzahl ca. 1750.

Am Ostfuß des Hanang ist die flache Erhebung mit der Höhenzahl 1582 ($4^{\circ} 26'$) und der Hügel mit der Höhenzahl ca. 1590 ($4^{\circ} 27'$) als vulkanisch zu bezeichnen.



Zusätze zu Ergänzungsheft 4 (1911) S. 74 der Mitteilungen aus den Deutschen Schutzgebieten.

- | | |
|--|--|
| 91. Grauer, feinkörniger Nephelinit-Aschentuff. Ngurue, SSO-Fuß. | 97. Verwitterter Nephelinit mit Kalkkruste überzogen. Ngurue W-Fuß. |
| 92. Grauer Nephelinit-Aschentuff. Ngurue, SSO-Fuß. | 98. Bräunlichgrauer Steppenalk mit Einschlüssen von Nephelinitbrocken. Ngurue, W-Fuß. |
| 93. Granitgneis. Gerölle des Abflusses der großen Zentralschlucht. | 99. Bodenprobe des Balangdasees. |
| 94. Grober, hellgrünlichgrauer Nephelinit-Aschentuff. Ngurue, S-Fuß. | 100. Weiße Salzkruste (Soda). Am Ufer des Balangdasees. |
| 95. Feiner, hellgrauer Nephelinit-Aschentuff. WSW-Fuß des Ngurue. | 101. Gelbliche Salzkruste (chlornatriumhaltige Soda). (Analyse S. 86.) Am Ufer des Balangdasees. |
| 96. Bräunlichgrauer Steppenalk mit Einschlüssen von Aschenmaterial. Überlagert Nr. 95. | 102. Wasserprobe des Balangdasees. Analyse S. 85. |
| | 103. Nephelinit-Brockentuff. NW-Fuß des Ngurue. |
| | 104. Wasserprobe aus dem nordöstlichen Zufluß des Balangdasees (siehe S. 85). |

Zu: Dr. Jaeger, Das Hochland der Riesenkrater.

Mitteilungen aus den Deutschen Schutzgebieten. Ergänzungsheft 4.



Abb. 1. Rundhütte in Iraku.



Abb. 2. Tanzbegleitung in Mburu.



Abb. 3. Tanz in Mburu



Abb. 4. Tanz in Mburu.



Abb. 5. Tanz in Mburu.



Abb. 6. Tanz in Mburu.



Abb. 7. Leute aus Mburu (Iraku).



Abb. 8. Akida Maussa und seine Leute (Tatoga) vor unserm Zelt.

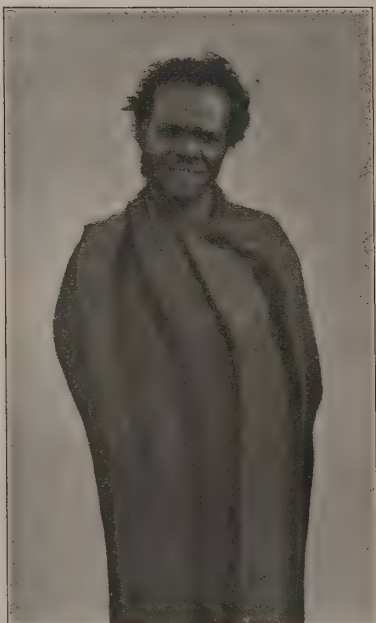


Abb. 9.

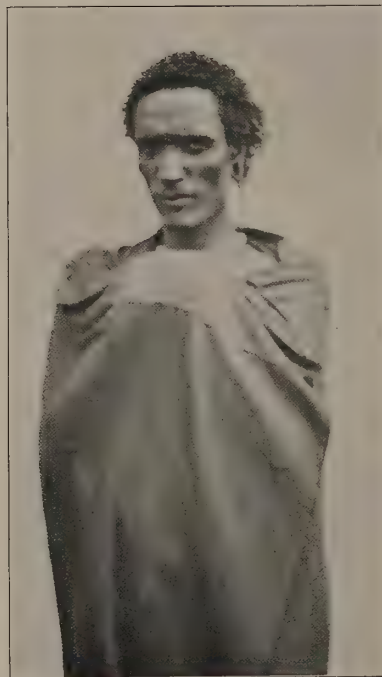


Abb. 10.

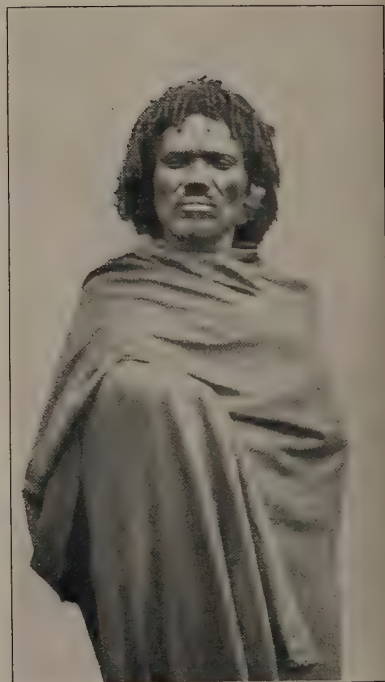


Abb. 11. Jumbe Finda.

Abb. 9 bis 11. Leute aus Mburu (Iraku).



Abb. 12. Tatogafräu bei Maussa.



Abb. 13. Szene aus dem Tembendorf des Akida Maussa.
Rechts an der Tür Mörser.



Abb. 14. Tembendorf des Maussa.



Abb. 15. Szene aus dem Tembendorf des Akida Maussa.



Abb. 16. Szene aus dem Tembendorf des Akida Maussa.



Abb. 17. Szene aus dem Tembendorf des Akida Maussa. Tembe (Tür unten verschlossen), rechts Zeltdach unsrer Träger.



Abb. 18. Szene aus dem Tembendorfe des Akida Maussa.



Abb. 19. Hirte, Schaf- und Ziegenherde der Tatoga bei Akida Maussa.



Abb. 20. Tatogakral am N-Fuß des Nguruebergs von außen. Toreingang durch das Dornengebüsch rechts verschließbar.



Abb. 21. Tatogakral am Nordfuß des Ngurue. Inneres.



Abb. 22. Mkuafi, Unteraruscha.



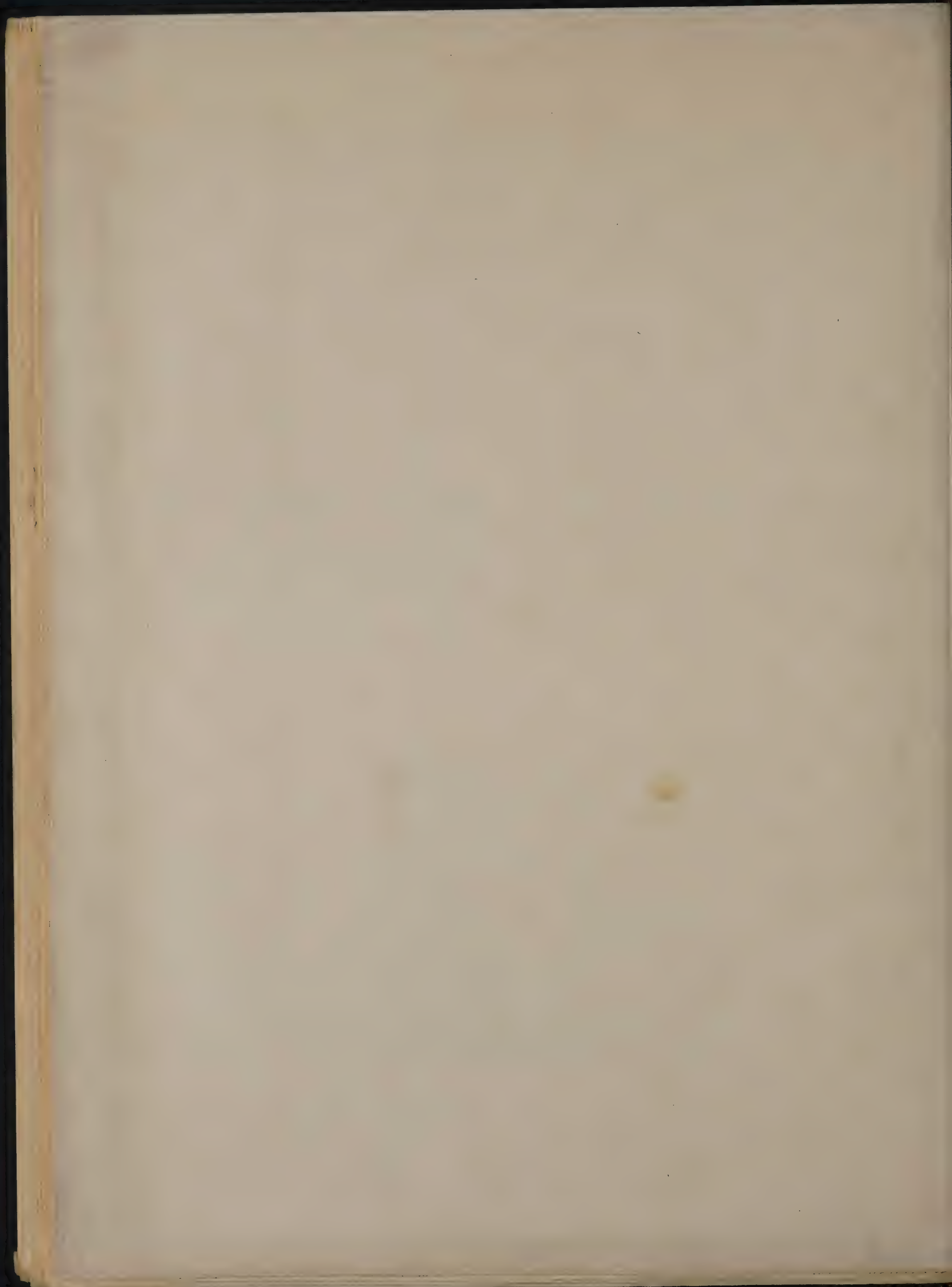
Abb. 23. Mkuafi, Unteraruscha.



Abb. 24. Mkuafimädchen, trägt Feldfrüchte, die in Bananenbast eingewickelt sind. Schmuck; Ziernarben.



Abb. 25. Bienenröhren der Wakuafi, Unteraruscha.





DAS HOCHLAND DER RIESENKRATER UND DIE SÜDLICH ANSCHLIESSENDEN GEGENDEN BIS ZUM HANANG

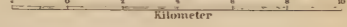
auf Grund eigener Aufnahmen
und mit Benutzung der Aufnahmen von Abel, Bast, Baumann, Glaming,
Graf v. Götzen, Hoesemann, Kannenberg, Kohlschütter, Lademann, Methner,
Reitzenstein, Schlobach, Sperling, Uhlig u. Uhlig's
Karte der Ostafrikanischen Bruchstufe

bearbeitet von FRITZ JAEGER

konstruiert u. gezeichnet von W. Rux

in dem von P. SPRIGADE u. M. MOISEL geleiteten kartograph. Institut von
DIETRICH REIMER.

1 : 150 000



Erklärungen:

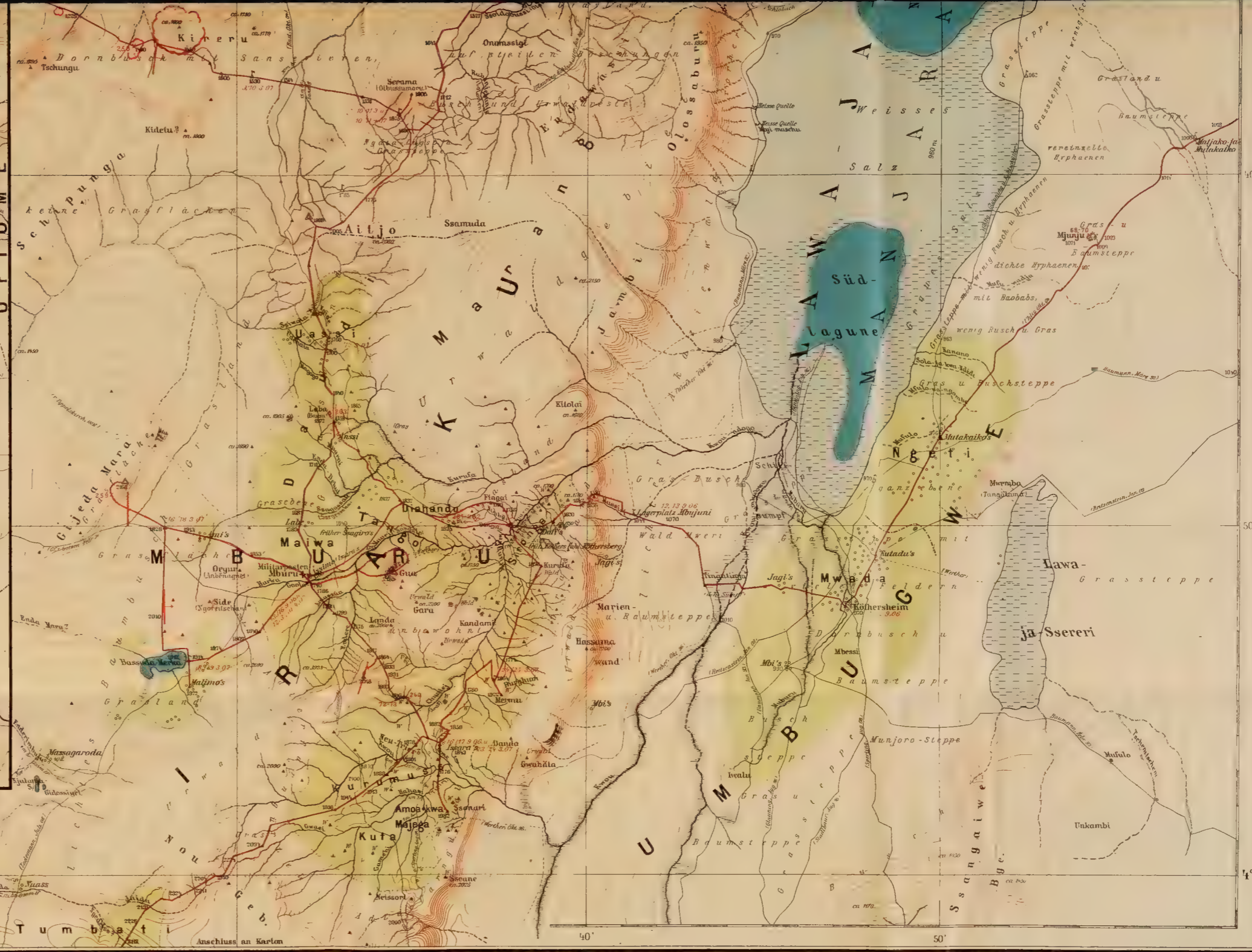
- ▲ Berechnete Hauptpunkte
- ▲ Berechnete Nebenpunkte
- ▲ konstruierte Punkte
- ▲ Lagerplätze
- ▲ Siedlung
- ▲ ehemalige Siedlung
- Jaegers Routenaufnahmen
- nicht aufgen. Märche Jaegers
- nicht aufgen. Märche Oelkers
- fremde Routen
- fremde Routen, die nur annähernd festliegen
- barometrisch gemessene Höhen Jaegers
- ca. 1800 geschätzte Höhen Jaegers
- barometrisch gemessene Höhen fremder Reisender
- ca. 1800 geschätzte Höhen fremder Reisender
- Fundpunkte der Gesteine nebst Nummer der Gesteinsammlung
- Gelände in Formationsformen, schematisch angegeben
- Höhen
- Streichen u. Fallen der Schichten
- Grosse des jungtertiär. Gesteins
- Vegetationsgrenze
- ca. 1800 Höhen altägyptischer
- dauernde Blüthe
- partielle Blüthe
- sichere Grenze des bewohnten u. unbewohnten Landes
- Sumpf



NJARASA
(EJASSI DER MASSAI)

MWERI
OPDALAGUNE







Mi

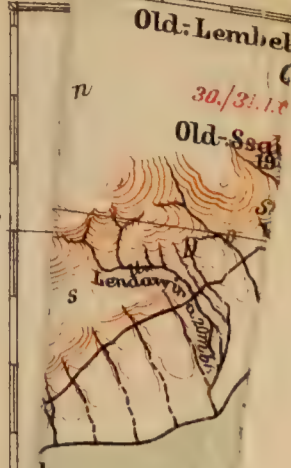
34°

Old-Lembel

30/31.1.18

Old-Saga

30'



R
er s
E

188





DAS ABFLUSSLOSE RUMPFSCHOLLENLAND ZWISCHEN IRAMBA, NJARASASEE, UMBUGWE UND UFIOME.

Auf Grund trigonometrischer Aufnahmen von F. Jaeger und Wegeaufnahmen von Baumann, Dantz, Glauning, Graf v. Götzen, Hoeseemann, Jaeger, Kammerberg, Kohlschütter, Lademann, Methner, v. Prittwitz, Schlobach, Seyfried, Sperling, Stadlbaur, Stuhlmann, Uhlig und anderen

bearbeitet von F. JAEGER und W. RUX,

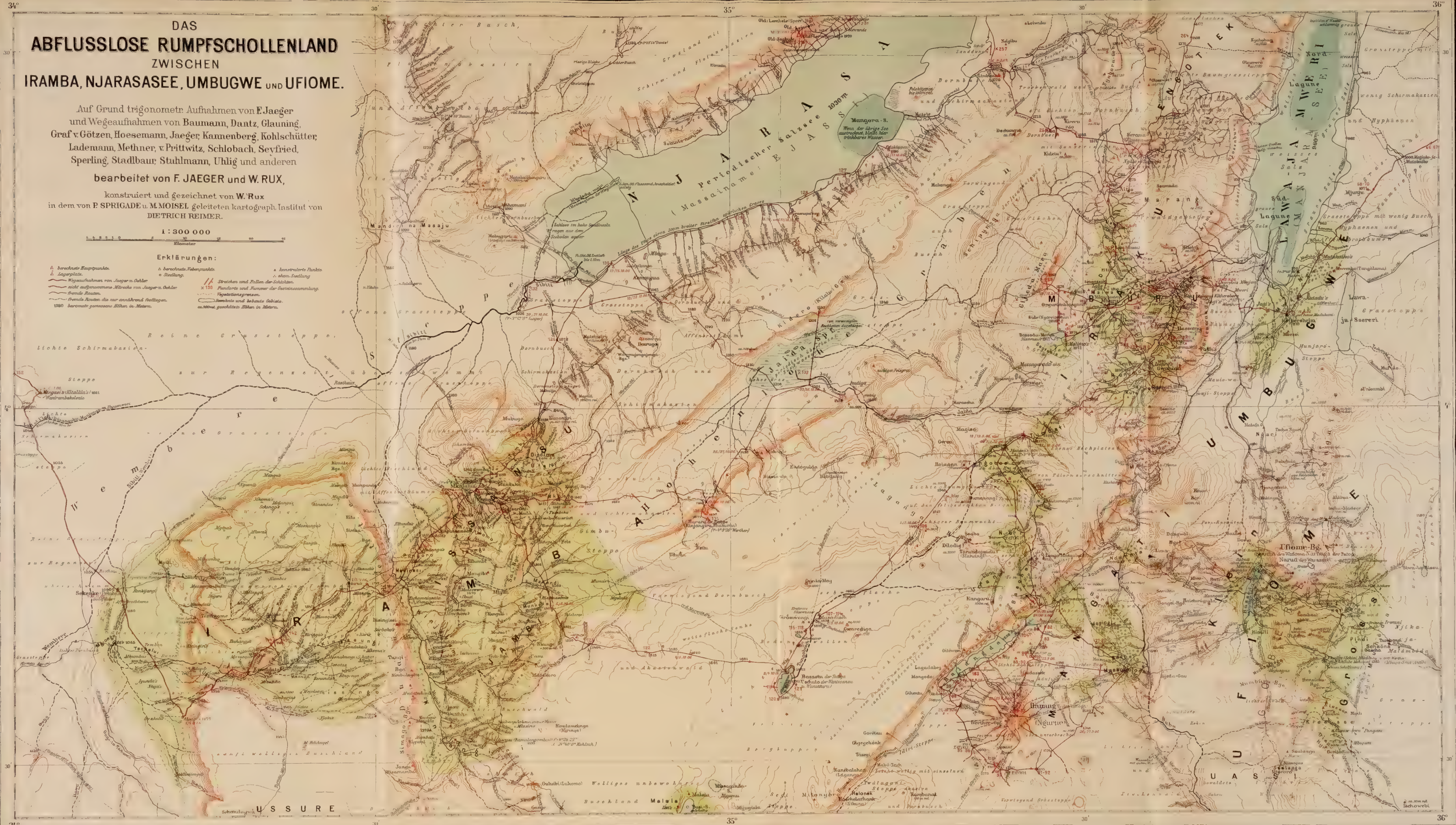
konstruiert und gezeichnet von W. Rux in dem von P. SPRIGADE u. M. MOISEL geleiteten kartograph. Institut von DIETRICH REIMER.

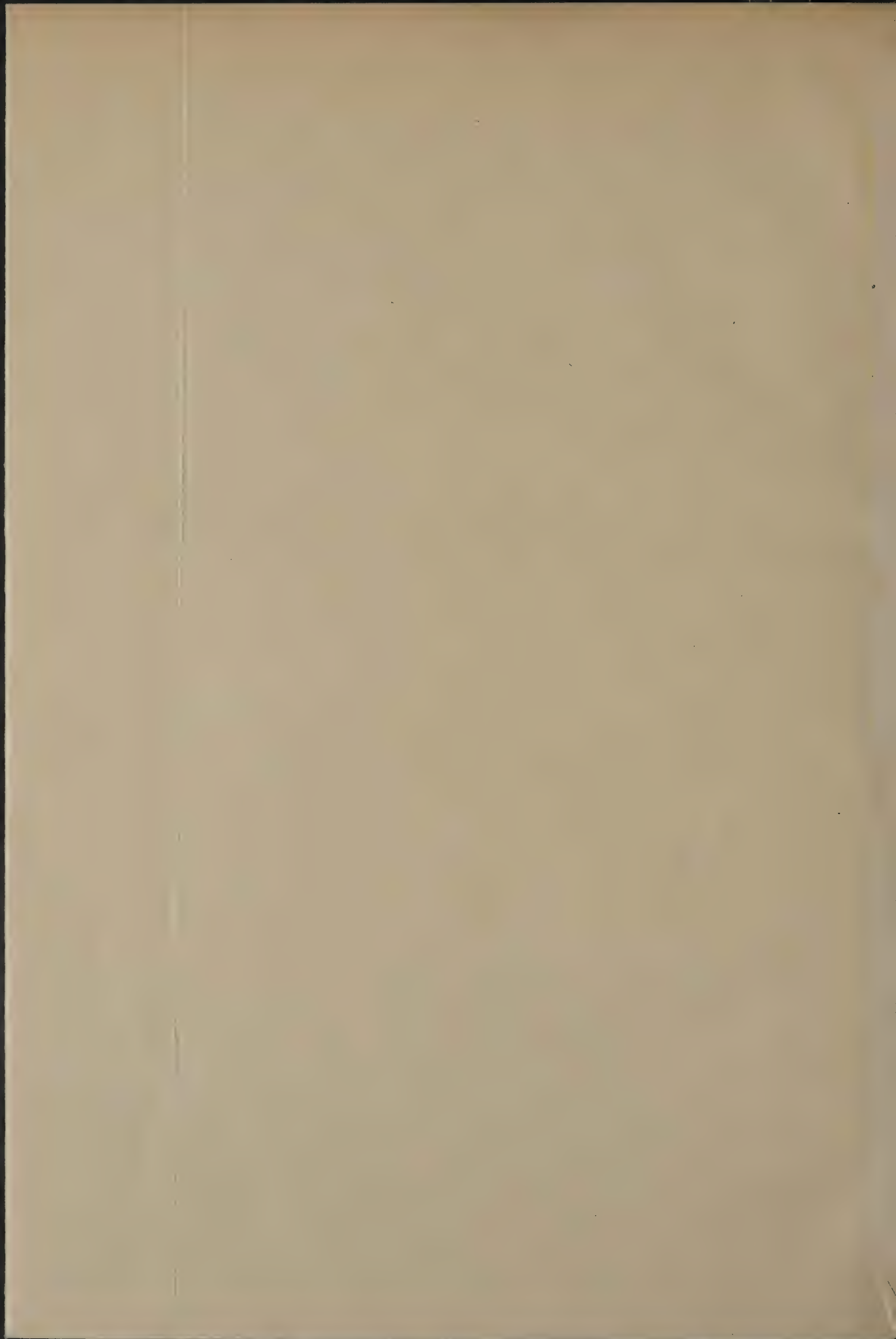
1 : 300 000

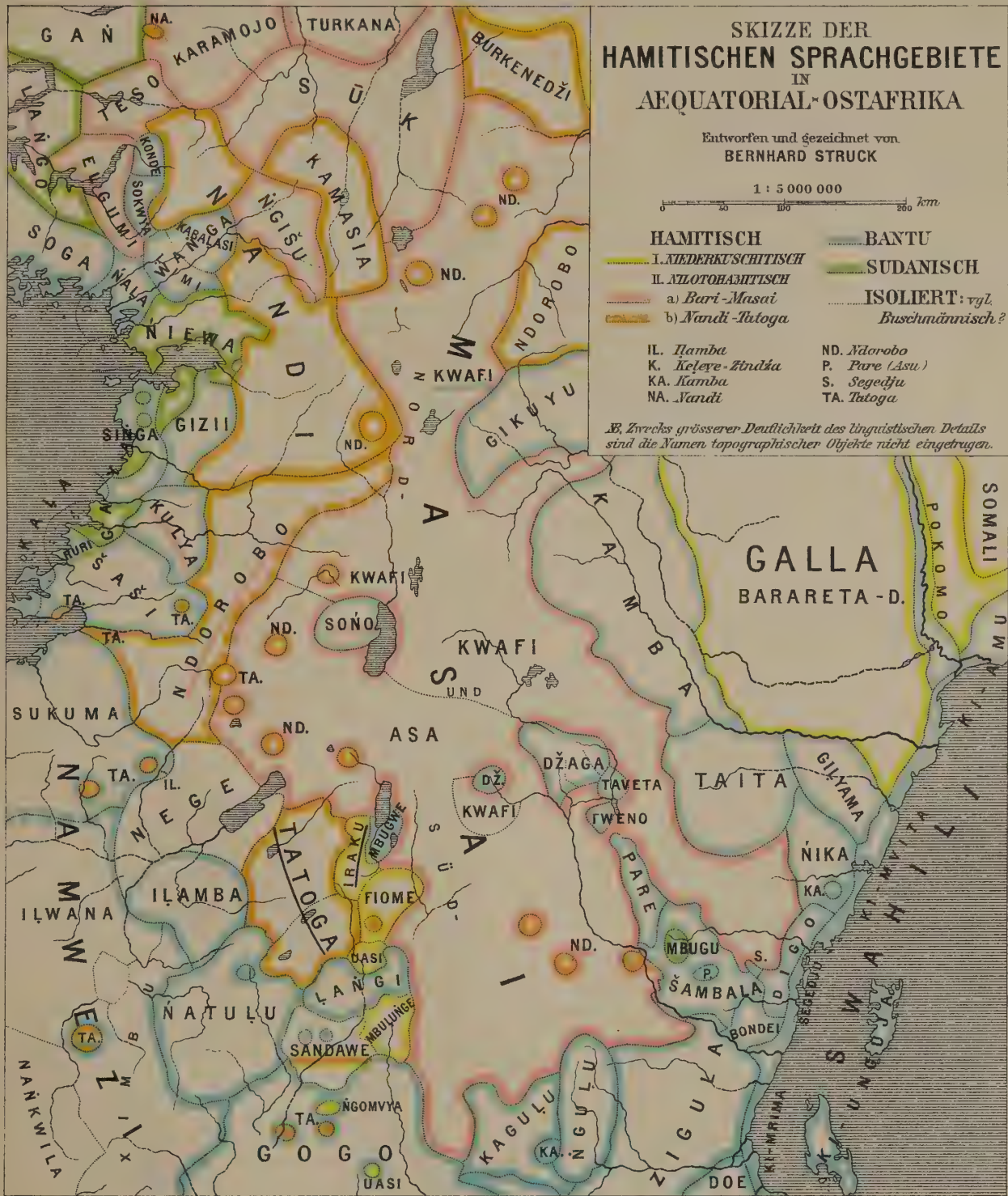


Erklärungen:

- berechnete Hauptpunkte
- △ Lagerplätze
- Wegeaufnahmen von Jaeger u. Oehler
- nicht aufgenommenen Märsche von Jaeger u. Oehler
- fremde Routen
- fremde Routen die nur aus der Luft festliegen
- 1:280 barometrisch gemessene Höhen in Metern
- berechnete Nebenpunkte
- o Stationen
- konstruierte Punkte
- ehem. Siedlung
- Strecken und Rollen der Schichten
- x 150 Punkte und Kurven der Gesteinsausbreitung
- Vegetationsgrenzen
- bekannte und bekannte Gebiete
- 1000m geschichtl. Höhen in Metern







April 1910

